Gerhard Girmscheid

# Leistungsermittlungshandbuch für Baumaschinen und Bauprozesse

4. Auflage







# Leistungsermittlungshandbuch für Baumaschinen und Bauprozesse

#### Gerhard Girmscheid

# Leistungsermittlungshandbuch für Baumaschinen und Bauprozesse

4. Auflage





Gerhard Girmscheid ETH Zürich Institut für Bau- und Infrastrukturmanagement Wolfgang-Pauli-Str. 15 8093 Zürich Schweiz girmscheid@ibi.baug.ethz.ch

ISBN 978-3-642-13794-5 Springer Heidelberg Dordrecht London New York ISBN 978-3-7281-3345-8 vdf Hochschulverlag AG an der ETH Zürich

e-ISBN 978-3-642-13795-2 DOI 10.1007/978-3-642-13795-2

Die Deutsche Nationalbibliothek verzeichnet diese Publikation in der Deutschen Nationalbibliografie; detaillierte bibliografische Daten sind im Internet über http://dnb.d-nb.de abrufbar.

© Springer-Verlag Berlin Heidelberg 2003, 2004, 2010

Dieses Werk ist urheberrechtlich geschützt. Die dadurch begründeten Rechte, insbesondere die der Übersetzung, des Nachdrucks, des Vortrags, der Entnahme von Abbildungen und Tabellen, der Funksendung, der Mikroverfilmung oder der Vervielfältigung auf anderen Wegen und der Speicherung in Datenverarbeitungsanlagen, bleiben, auch bei nur auszugsweiser Verwertung, vorbehalten. Eine Vervielfältigung dieses Werkes oder von Teilen dieses Werkes ist auch im Einzelfall nur in den Grenzen der gesetzlichen Bestimmungen des Urheberrechtsgesetzes der Bundesrepublik Deutschland vom 9. September 1965 in der jeweils geltenden Fassung zulässig. Sie ist grundsätzlich vergütungspflichtig. Zuwiderhandlungen unterliegen den Strafbestimmungen des Urheberrechtsgesetzes.

Die Wiedergabe von Gebrauchsnamen, Handelsnamen, Warenbezeichnungen usw. in diesem Werk berechtigt auch ohne besondere Kennzeichnung nicht zu der Annahme, dass solche Namen im Sinne der Warenzeichen- und Markenschutz-Gesetzgebung als frei zu betrachten wären und daher von jedermann benutzt werden dürften.

Einbandentwurf: WMXDesign GmbH, Heidelberg

Gedruckt auf säurefreiem Papier

Springer ist Teil der Fachverlagsgruppe Springer Science+Business Media (www.springer.com)

#### Vorwort zur dritten Auflage

Der wirtschaftliche, leistungsfähige, hoch mechanisierte Baubetrieb ist durch den optimalen Einsatz der Geräte und Bauhilfsmaterialien in einer Leistungserstellungsprozesskette für die jeweilige baubetriebliche Aufgabenstellung gekennzeichnet. Die Wahl der Geräte wird sowohl durch technische Gegebenheiten wie auch durch wirtschaftliche Gesichtspunkte geprägt. Die wirtschaftlichen Aspekte ergeben sich aus der Marktlage und den strategischen Unternehmenszielen. Daraus resultieren die unternehmensspezifische Art der Gerätebereitstellung, das Service- und Bauhofkonzept sowie die Finanzierung [1].

Die Leistungsermittlung von Einzelgeräten [2], eingebettet in Teil- und Gesamtprozesse, ist die Grundlage für die Auswahl und Anzahl der Leistungsgeräte, um die projektspezifischen Leistungsziele zu erreichen, und dient zudem als unverzichtbare Basis der Termin- und Kostenplanung (Kalkulation) sowie des Controllings. Daher kommt der Leistungsermittlung als Basis einer systematischen, ergebnisorientierten Kalkulation, die in meinem neuen Buch "Risikobasierte Kostenkalkulation und Preisbildung in Bauunternehmen" ausführlich behandelt wird, grösste Bedeutung zu; sie ist somit Grundlage einer ergebnisorientierten, effizienten Baustellenvorbereitung.

Dieses ursprünglich aus meinen Vorlesungen an der ETH Zürich entstandene Handbuch liegt nun, angeregt durch die grosse Resonanz auf die ersten beiden Auflagen, in der dritten, vollständig überarbeiteten und teilweise erweiterten Auflage vor. Es soll angehenden Bauingenieurinnen und -ingenieuren in der Arbeitsvorbereitung und Bauausführung sowie Maschineningenieurinnen/-ingenieuren in den Bau-/Werkhöfen als Nachschlagewerk dienen, um Leistungsermittlungen im Baubetrieb vorzunehmen. Dazu wird ein analytisches Grundkonzept zur Leistungsermittlung von Baugeräten sowie der Produktionsketten hintereinander von parallelen und geschalteten Geräten Gegenüber der zweiten unterschiedlicher Teilprozesse vorgestellt. Auflage wurde die Flüssigkeitsförderung in Kapitel 4 um eine Beispielrechnung für die Dimensionierung der Flüssigkeits-Feststoff-Förderung ergänzt und das Jetgrouting in Kapitel 6 um die Berechnung der erforderlichen Pumpenleistung erweitert. In der Regel werden in "Standardwerte". sondern die elementaren diesem Buch keine analytischen Zusammenhänge angegeben.

Nichts ist perfekt - der Autor weiss, dass ein solches Handbuch weiterentwickelt werden muss und erwartet gerne konstruktive Kritik. So haben aufmerksame Leser auf Fehler in den beiden früheren Ausgaben hingewiesen, die nun berichtigt wurden.

Auch bei dieser dritten Auflage möchte ich meinen Mitarbeitern am Institut für Bauplanung und Baubetrieb der ETH Zürich, insbesondere Herrn Dipl.-Ing. Thorsten Busch, danken, die mit ihrer engagierten Unterstützung dazu beigetragen haben, das Buch in dieser Qualität herzustellen.

Zürich. Januar 2004

Prof. Dr.-Ing. Gerhard Girmscheid

#### Vorwort zur vierten Auflage

Das Handbuch wurde von den Nutzern und vom Autor auf mögliche Unstimmigkeiten überprüft und korrigiert. Hier meinen besonderen Dank an die Nutzer. In dieser Auflage wurden die Transportsysteme LKW, SKW und Dumper sowie die Flüssigkeitsförderung überarbeitet. Die jetzige Fassung dient als umfassende Formelsammlung zur Leistungsermittlung und zur Konfiguration des Bauprozesses des Hoch-, Tief-, Spezialtief-, Tunnel-, Brückenbaus und des Rohrvortriebs.

Ich wünsche allen Nutzern viel Erfolg bei der Gestaltung von Produktionsprozessketten und bei deren Leistungsbestimmung.

Zürich, März 2010

Prof. Dr.-Ing. Gerhard Girmscheid

#### Haftungsausschluss

Die Angaben in diesem Buch wurden nach bestem Wissen und Gewissen erstellt, allerdings übernimmt der Autor keine Gewähr für die Aktualität, Korrektheit, Vollständigkeit oder sonstige Qualität der bereitgestellten Informationen. Haftungsansprüche gegen den Autor, die sich auf Schäden materieller oder ideeller Art beziehen, die durch die Nutzung oder Nichtnutzung der in diesem Buch enthaltenen Informationen bzw. durch die Nutzung fehlerhafter und/oder unvollständiger Informationen verursacht wurden, sind grundsätzlich ausgeschlossen, sofern seitens des Autors kein nachweislich vorsätzliches oder grob fahrlässiges Verschulden vorliegt.

### Inhaltsverzeichnis

1	LEISTUNG IM BAUBETRIEB	
1.1	Leistungsbegriffe	2
	Bestimmung von Leistungswerten	
	Leistung von Produktionsketten	
	Allgemeine Leistungsberechnung von Baugeräten	
	BAUSTELLENEINRICHTUNGEN	
	Sozialeinrichtungen	
	Wasserversorgung	
2.3	Stromversorgung	27
	Druckluftversorgung	
2.5	Separationsanlagen	48
3	ERDBAUGERÄTE	55
3.1	Hydraulikbagger	56
3.2	Radlader	62
3.3	Laderaupe	65
	Planiergeräte	
	Verdichtungsgeräte	
	TRANSPORTGERÄTE	
4.1	LKW; SKW; Dumper	92
4.2	Gleisförderung	112
4.3	Bandförderung	123
	Flüssigkeitsförderung	
	Schneckenförderung	

5.1	TUNNELBAUGERÄTE  Tunnelbohrmaschinen  Teilschnittmaschinen	174
	Bohrmaschinen	
	Bohren und Sprengen einer Ortsbrust	
5.5	Lüftung	192
6	SPEZIALTIEFBAU	201
	Jetgrouting	
	Rammen	
	HOCHBAU	
	Krane	
	Betonanlagen	
7.3	Stahlbetonarbeiten	240
8	FAKTOREN	249
9	Literaturverzeichnis	281
10	Abbildungsverzeichnis	287
11	Tabellenverzeichnis	291
12	Stichwortverzeichnis	295

Leistungsbegriffe
Bestimmung von Leistungswerten
Leistung von Produktionsketten
Allgemeine Leistungsberechnung von Baugeräten



#### 1.1 Leistungsbegriffe

Um Bauverfahren zu bewerten und anschliessend **Bauzeit und Baukosten** festlegen zu können, müssen Leistungswerte für einzelne Baumaschinen sowie ganze Prozessketten bekannt sein. Einheitliche und konsistente Definitionen der für die Leistungsberechnung relevanten Begriffe sind notwendig, um Angaben und Ergebnisse untereinander vergleichbar zu machen.

Als **Leistung** bezeichnet man Arbeit pro Zeiteinheit, wobei unter Arbeit in der Regel eine hergestellte, gelieferte oder beförderte Menge verstanden wird [3].

Leistung = 
$$\frac{\text{hergestellte Menge}}{\text{Zeiteinheit}}$$

#### Der Begriff Menge [3]

Im Baubetrieb häufig verwendete Mengen sind z.B.

- Aushub von Bodenmasse in m<sup>3</sup>
- Herstellen von Wandschalung in m<sup>2</sup>
- Verlegen von Betonstahl in t

oder bei Betrachtung einer vom Bauherrn geforderten Gesamtleistung

- Herstellen einer Fertiggarage in Stück
- umbauter Raum im Hochbau in m<sup>3</sup>

Da diese Mengenbegriffe nicht präzise genug sind, müssen sie in der Regel genauer definiert werden. So kann im **Erdbau** ein m<sup>3</sup> bedeuten:

- fm³ Material in ungestörter, natürlicher Lagerung
- Im³ Material in aufgelockertem Zustand, z.B. auf einer LKW-Mulde
- fm³ Material in wieder eingebautem, verdichtetem Zustand

Ein m³ Beton kann aufgefasst werden als:

- m³ trockenes Gemisch aus Zuschlagstoffen und Zement
- m³ unverdichteter Frischbeton
- m³ verdichteter, abgebundener Beton

Betongüte, Art der Zuschlagstoffe und des Zements, Wassergehalt sowie Verarbeitungsverfahren sind allerdings noch nicht präzisiert.



Neben der Menge ist auch die der Berechnung zugrunde liegende **Zeiteinheit** des Leistungsbegriffs zu definieren. Einzelne Arbeitsabläufe einer Zeitstudie, wie z.B. das Arbeitsspiel  $t_{\rm s}$  eines Ladegeräts, werden in Minuten angegeben. Im Baubetrieb nutzt man als Zeiteinheiten Stunden, Tage und Monate für die summarische Arbeits-, Einsatz- und Vorhaltezeit. Es bereitet allerdings häufig Schwierigkeiten, Anfang und Ende des zu betrachtenden Zeitraums festzulegen und anzugeben. So stellt sich die Frage, ob zwischen Beginn und Ende der gesamte Zeitraum erfasst oder Teile ausgenommen werden sollen (z.B. die Aufbau-, Abbau- und Einsatzzeit oder nur die Betriebszeit des Geräts).

Auf Baustellen wird in der Regel ohne Schichtbetrieb, allerdings mit Überstunden gearbeitet. Daher kann man die Arbeitszeit wie folgt ansetzen:

#### 1 Tag = 8 – 10 Arbeitsstunden

Im Untertagebau [2] oder bei Instandsetzungsarbeiten von Fernstrassen kommt meistens der Schichtbetrieb zum Einsatz, wobei die Schichtarbeitszeiten oben genannten Arbeitszeiten entsprechen.

#### Zeitbegriffe für Baugeräteeinsatz und -bewertung

Bei der Beurteilung von **Baugerätekosten** ist zwischen Betriebszeit, Einsatzzeit und Vorhaltezeit zu unterscheiden (Bild 1-1). Man definiert vereinfacht:

- Betriebszeit = reine Arbeitszeiten des Geräts einschliesslich der Umsetzzeiten innerhalb des Arbeitsbereichs.
- Einsatzzeit = Betriebszeit, Vorbereitungszeiten (z.B. Auslegen von Baggermatratzen) und Einarbeitungszeiten, Umsetzzeiten innerhalb der Baustelle, betrieblich bedingte Wartezeiten und Zeiten für den Abschluss der Arbeiten.
- Vorhaltezeit = Einsatzzeit, Zeiten für An- und Abtransport sowie (falls erforderlich) Auf-, Um- und Abbauzeiten, Stillliegezeiten auf der Baustelle, Zeiten für Wartung, Pflege und Reparatur. Die Vorhaltezeit ist damit die Zeitspanne, in der ein Gerät einer Baustelle zur Verfügung steht und anderweitig nicht darüber verfügt werden kann [4].



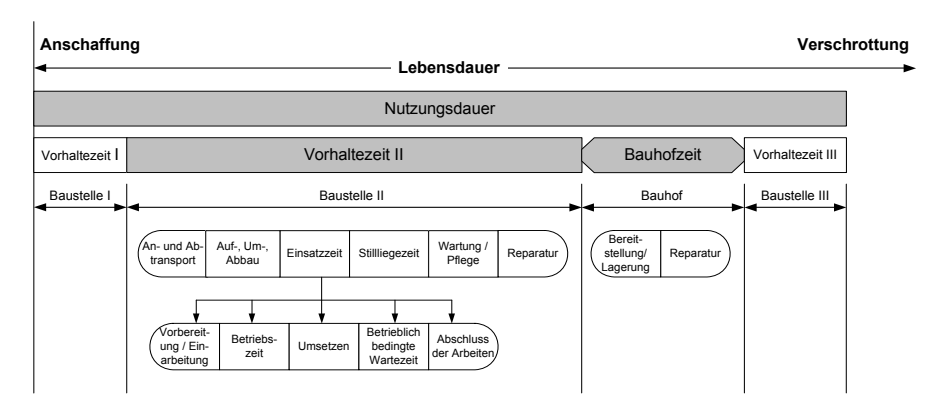


Bild 1-1: Zeitbegriffe für Baugeräteeinsatz und -bewertung nach [4]

Die Geräte- und Energiekosten für Bereitstellungsgeräte (z.B. Krane) berechnen sich nach der Dauer der Vorhaltezeit. Die Gerätekosten für Leistungsgeräte (z.B. Bagger) berechnet man oft nach der Dauer der Einsatz- bzw. Betriebszeit und den Energieverbrauch nach der Betriebszeit. Eine Berechnung der Gerätekosten von Leistungsgeräten über die Vorhaltezeit führt allerdings dazu, dass der Baustelleneinsatz dieser Geräte möglichst kurz gehalten wird, da in diesem Fall auch nicht arbeitende Leistungsgeräte Kosten verursachen. Somit wird die Bauleitung angehalten, die Einsätze von Leistungsgeräten effizient zu gestalten und bei beendetem Einsatz die Geräte zügig anderen Baustellen zur Verfügung zu stellen. Als Mass der Effizienz dient in diesem Fall der Quotient aus Betriebs- und Vorhaltezeit.

Die Ermittlung der Arbeitsleistung einer Person oder einer Maschine und der Vergleich mit anderen Leistungen setzen voraus, dass die beeinflussenden Randbedingungen erfasst und genormt sind [3]. Die theoretische Grundleistung  $Q_0$  muss aufgrund verschiedener, zum Teil interaktiver Einwirkungen auf die Nutzleistung  $Q_N$  abgemindert werden. Diese Reduktionsfaktoren setzen sich aus folgenden Einflussbereichen [5] zusammen:

- den humanen Faktoren (Qualifikation und Motivation der Maschinisten)
- den organisatorischen Faktoren (Qualifikation der Bauleitung und Arbeitsvorbereitung zur Gestaltung organisatorischer Abläufe)
- den technischen Faktoren (an die Aufgaben angepasstes Gerät sowie technischer Zustand)



 den umweltbedingten Faktoren (Wetter, Temperatur, Bodenzustand etc.)

Die humanen, organisatorischen und umweltbedingten Faktoren setzen sich z.B. zusammen aus:

 dem Bedienungsfaktor η<sub>1</sub> [-]. Dieser reflektiert die humanen Faktoren der Ausbildung und der Qualifikation des Beschäftigten und seine Leistungsmotivation in Abhängigkeit von Lohn, Prämien und persönlichem Einsatz [3].

Tabelle 1-1: Werte für Bedienungsfaktoren η<sub>1</sub> [-] [3]

Ausbildung und Qualifikation	Leistungsmotivation	$\eta_1$
sehr gut (geübt)	sehr gut (100 %)	1.00
durchschnittlich	gut (90 %)	0.80
sehr gut (geübt)	ausreichend	0.75

Interpretiert man die untere Zeile der Tabelle 1-1, so führt bei einem sehr guten Baggerfahrer ein Absinken der Leistungsmotivation von "sehr gut" auf "ausreichend" zu einem Leistungseinbruch von 25 %. Es ist allerdings nicht einfach, einen allgemeingültigen Bezugswert z.B. für einen sehr gut ausgebildeten und qualifizierten sowie sehr hoch motivierten Baggerfahrer festzulegen, weshalb sich die Auswahl der passenden Beiwerte für die menschliche Arbeitsleistung in der Leistungsberechnung als schwierig erweist.

• den **Betriebsbedingungen**  $\eta_2$  [-]. Diese reflektieren die organisatorischen und umweltbedingten Faktoren wie die Einsatzbedingungen (Wetter, Helligkeit, örtliche Gegebenheiten wie z.B. Verschlammung der Arbeitsfläche bei Radladern) sowie die Arbeitsvorbereitung der Arbeitsabläufe.

Das Produkt der Faktoren  $\eta_1 \times \eta_2$  wird auch als **Betriebsbeiwert** bezeichnet.



Neben den Leistungseinflussfaktoren, die durch den Menschen, die Organisation und die Umweltbedingungen beeinflusst werden, müssen noch die **technischen Leistungseinflussfaktoren** erfasst werden. Diese geben den Einfluss der realen Betriebsbedingungen gegenüber den als ideal definierten Bedingungen zur Ermittlung der Grundleistung  $Q_0$  wieder. Die idealen Bedingungen, die der Ermittlung der Grundleistung zugrunde liegen, müssen den Unterlagen der Maschinenhersteller wie z.B. [6], [7] entnommen werden.

Die **technischen Leistungseinflussfaktoren** untergliedern sich in (nach [5] und [8]):

- f<sub>1</sub> Abbau- bzw. Grabtiefenfaktor: Geometrische Relationen wie Abbauhöhe/Grabentiefe zu Löffelstiellänge.
- f<sub>2</sub> Schwenkwinkeleinfluss- bzw. Fahrwegfaktor: Verhältnis des idealen zum realen Schwenkwinkel bzw. Fahrweg vom Lade- zum Abladepunkt.
- f<sub>3</sub> Entleerungsgenauigkeitsfaktor: Entladen des Löffels oder der Schaufel gezielt auf ein Transportfahrzeug oder nur auf Schütthaufen oder eine Kippe. Bei Entleerung auf ein Transportgerät ist das Verhältnis von Löffel-/Schaufelinhalt zum Fassungsvermögen des Transportgeräts zu berücksichtigen.
- f<sub>4</sub> Schneiden- bzw. Zahnzustandsfaktor: Abnutzungsgrad der Schneid- bzw. Aufladewerkzeuge.
- f<sub>5</sub> Verfügbarkeits-/Gerätezustandsfaktor: Einsatzzeit, Instandhaltungszustand des Geräts.

Der **Geräteausnutzungsgrad**  $\eta_G$  [-] ergibt sich aus dem Quotienten der effektiven Betriebszeit (= Schichtzeit minus Unterbrechungs-/ Ausfallzeiten) und der Schichtzeit. Man kann diesen Faktor auch als Effektivitätsfaktor bezeichnen; er sagt aus, dass ein Gerät z.B. 50 min/h effektiv arbeitet. Diese Reduktion ergibt sich aus Umsetzzeiten bei einem Bagger während eines kontinuierlichen Aushubvorgangs (z.B. Graben) bzw. Ladevorgangs, um die optimale Geräteposition im Gerätearbeitsbereich für die Arbeit einzunehmen, oder Zigarettenpausen des Maschinenführers etc.



Tabelle der Leistungseinflussfaktoren, durch die die in den Handbüchern [6], [7] beschriebenen Idealbedingungen abgemindert werden:

#### Tabelle 1-2: Leistungseinflussfaktoren

$\eta_1$	≤ 1:	Mensch:	Leistungsfaktor	des	Geräteführers	(Ausbil-
		dung, Mo	tivation)			

$$\eta_2$$
  $\leq$  1: Organisation und Umwelt: Einfluss der Betriebsbedingungen auf die Leistung (Wetter, Staub, Helligkeit, Arbeitsvorbereitung, Arbeitsabläufe etc.)

$$f_1...f_5 \le 1$$
: Technik: Technische Einflussfaktoren

$$\eta_G \leq 1$$
: Effektivzeit: Geräteausnutzungsgrad eines Geräts, z.B. bezogen auf die Schichtzeit (Schichtzeit = effektive Betriebszeit sowie Unterbrechungs- und Ausfallzeiten)

Die Faktoren für die wichtigsten Leistungsgeräte können Kapitel 8 entnommen bzw. in Analogie übertragen werden.



#### 1.2 Bestimmung von Leistungswerten

#### **Nachkalkulation**

Leistungswerte beruhen auf Erfahrung und werden normalerweise im Rahmen des technischen Controllings dokumentiert. Sie resultieren aus der Nachkalkulation bereits fertig gestellter Bauprojekte und dienen vor allem der Ermittlung der für die Ausführung geräteintensiver Arbeiten benötigten Maschinen- und Lohnstunden. Ihre Kehrwerte ergeben Aufwandswerte, die sich als Quotient aus verbrauchter Arbeitszeit und geleisteter Menge definieren.

Die für die Ausführung einer Tätigkeit benötigten Arbeitsstunden werden mit Hilfe dieser Aufwandswerte für Bauwerke mit gleichen Randbedingungen herangezogen. In der Kalkulation bezeichnet man die Aufwandswerte auch häufig als Stundenansätze.

$$Ist-Leistung = \frac{geleistete \ Menge}{verbrauchte \ Arbeitszeit}$$

$$Ist-Aufwandswert = \frac{verbrauchte \ Arbeitszeit}{geleistete \ Menge} = \frac{1}{Ist-Leistung}$$

Durchschnittliche Leistungswerte für Bauleistungen sind in Standardbüchern [9], [10], [11], [12] zusammengestellt, werden aber von den Bauunternehmen meist anhand eigener Erfahrungen aufgestellt und auf dem neuesten Stand gehalten.

Folgende Punkte sind bei der Ermittlung der Leistungswerte zu berücksichtigen:

Jede Arbeit hat zu Beginn ihrer Ausführung eine Anlaufzeit, auch Lernphase genannt, bei der aufgrund der notwendigen Einarbeitung (Lernkurve) nur eine verminderte Leistung erzielt wird. Zusätzlich schränken in der Auslaufzeit der Ausführung verminderte Arbeitsflächen und Störungen im Bauablauf durch nachfolgende Gewerke die Leistungsfähigkeit ein. Zwischen Anlauf- und Auslaufzeit liegt die Hauptleistungszeit, in der die höchste Leistung erbracht wird. Diese Hauptleistungszeit setzt sich zusammen aus der Betriebszeit, den betrieblich bedingten Wartezeiten und den Umsetzzeiten auf der Baustelle. Für die Arbeitsausführung sind nun zwei Leistungswerte ermittelbar:



- Ein mittlerer Leistungswert, bezogen auf die Einsatzzeit, bestehend aus Zeiten für Vorbereitung/Einarbeitung, Betriebszeit, betrieblich bedingte Wartezeiten, Umsetzen innerhalb der Baustelle und Zeiten für den Abschluss der Arbeiten.
- Ein höherer Leistungswert, ausschliesslich auf die Betriebszeit bezogen.
- Auch während der Betriebsszeit verläuft die Leistungskurve nicht gleichmässig, sondern bewegt sich vielmehr in einer mehr oder weniger grossen Bandbreite um den Durchschnittswert.

Bei der Ermittlung der Bauzeit und der Baukalkulation ist immer der mittlere auf die Einsatzzeit bezogene Leistungswert zugrunde zu legen. Die Abstimmung und Optimierung der Gerätekonfiguration erfolgt hingegen über den auf die Betriebszeit bezogenen Leistungswert.

#### Zeitmessverfahren

Das Zeitmessverfahren wird einerseits zur Bestimmung von detaillierten Arbeitsabläufen und Leistungswerten sowie andererseits zur kontinuierlichen Verbesserung sich wiederholender Arbeitsabläufe eingesetzt. Diese detaillierten Leistungswerte werden durch direkte Messungen und Beobachtungen während der Bauausführung ermittelt. Zwei Methoden bieten sich hierzu an [3]:

- Die Dauer einzelner Arbeitsvorgänge wie auch der Verlustzeiten misst man mit durchlaufender **Stoppuhr**.
- Mit Hilfe der Momentaufnahme (Zählverfahren, Multimomentverfahren) wird z.B. im Minutenabstand festgestellt und notiert, welche Tätigkeit ein einzelner Arbeiter oder die Arbeitsgruppe zu diesem Zeitpunkt gerade ausführt. Die Summe der Vielzahl solcher Beobachtungsstichproben ergibt eine Häufigkeitsstückliste. Diese enthält, bezogen auf die Gesamtbeobachtungsdauer, bestimmte Zeitanteile je Ablaufart [13].

Diese Methoden liefern bei einer genügend langen Beobachtung sowohl die **Leistungswerte** als auch eine gute **Übersicht** über schlecht funktionierende Arbeitseinsätze und **ungenügende Abstimmung** einzelner Produktionsketten (Verlustzeiten). Daher wird dieses Verfahren hauptsächlich zur kontinuierlichen Verbesserung von sich wiederholenden Arbeitsabläufen auf der Baustelle eingesetzt.



#### 1.3 Leistung von Produktionsketten

Häufig wird bei der Bauwerkserstellung die Produktionsleistung nicht von einer einzelnen Maschine, sondern von mehreren in einer Produktionskette zusammenarbeitenden Maschinen erbracht. Beispiele hierfür sind das Zusammenspiel

- im Betonbau von Betonmischer, Betontransport, Betonpumpen und Betonverteiler;
- im Erdbau von Ladegeräten, Lastkraftwagen und Planiergeräten.

Die Leistung einer Produktionskette wird immer vom **Leitgerät** bestimmt. Beim Leitgerät handelt es sich um eine einzelne Maschine oder eine Maschinengruppe, die innerhalb der Produktionskette die **kleinste Leistung** erbringt. In der Regel sind das Maschinen oder Maschinengruppen, bei denen die Leistung nur sehr aufwendig, z.B. wegen sehr hoher Investitions-, Miet- und Reparaturkosten, oder überhaupt nicht, z.B. wegen räumlichen oder von Arbeitsverfahren bestimmten Begrenzungen, angepasst werden kann. Alle anderen Maschinen der Produktionskette sind dann an die Leistungsfähigkeit des Leitgeräts anzupassen [1].

Erfordert die Durchführung einer Bauaufgabe zwei parallel oder abwechselnd arbeitende Produktionsketten, so müssen diese mit dem Ziel eines möglichst kontinuierlichen Produktionsflusses in Bezug auf minimale Wartezeiten optimiert werden [3]. Auf Linienbaustellen stellt z.B. das Schalen und Betonieren eines Hochhauses mit den Bauwerksteilen Decken sowie Kern und Stützen ein Beispiel zweier parallel laufender Produktionsketten dar. Die nachfolgenden baubetrieblichen Leistungsberechnungen und vor allem die leistungsabmindernden Beiwerte beruhen auf den Untersuchungen der Firmen Liebherr [6] und Caterpillar [7] sowie der Professoren Bauer [8] und Kühn [14].



# 1.4 Allgemeine Leistungsberechnung von Baugeräten

#### Kurzzeitleistungen

Unter dieser Leistungskategorie werden die Leistungen in der Hauptphase des Vorgangs auf die Betriebszeit bezogen definiert.

Die **theoretische Leistung Q\_T [m³/h]** ist abhängig von der konstruktiven Gestaltung des Geräts in Bezug auf Maschinenleistung, Technologie, Kinematik, Arbeitsgeschwindigkeit und Lade- und Transportgefässinhalt. Sie besteht unter optimalen technischen Betriebsbedingungen, aber ohne Berücksichtigung materialabhängiger, technischer, bedienungs- und betriebsbedingter Einflüsse sowie der Geräteausnutzung.

$$Q_{T} = \frac{V_{SAE}}{t_{S}} \times 3600 \qquad \qquad [m^{3}/h]$$

Die **Grundleistung Q**<sub>0</sub> **[fm³/h]** berücksichtigt die **materialabhängigen** Einflussfaktoren und erfolgt unter optimalen technischen Betriebsbedingungen, aber ohne Berücksichtigung technischer, bedienungs- und betriebsbedingter Einflüsse sowie der Geräteausnutzung.

$$Q_0 = \frac{V_{SAE}}{t_S} \times 3600 \times k_1$$
 [fm<sup>3</sup>/h]

Die technische Grundleistung  $Q_{T0}$  [fm³/h] berücksichtigt alle materialabhängigen und technischen Einflussfaktoren, ohne bedienungs- und betriebsbedingte Einflüsse sowie die Geräteausnutzung.

$$Q_{\text{T0}} = \frac{V_{\text{SAE}}}{t_{\text{S}}} \times 3600 \times k_{\text{1}} \times k_{\text{2}} \tag{[fm^3/h]}$$



Die **Nutzleistung Q<sub>N</sub> [fm³/h]** (Durchschnittsleistung/Dauerleistung über die Betriebszeit) berücksichtigt alle bekannten materialbedingten und technischen Leistungsfaktoren, insbesondere auch die **Bedienungs-und Betriebsbedingungen sowie die Geräteausnutzung**.

$Q_{N} = \frac{V_{SAE}}{t_{S}} \times 3600 \times k_{1} \times k_{2} \times k_{3} \times \eta_{G}$	[fm³/h]
$\mathbf{k}_1 = \mathbf{\alpha} \times \mathbf{\varphi}$	[-]
$k_2 = f_1 \times f_2 \times f_3 \times f_4 \times f_5$	[-]
$k_3 = \eta_1 \times \eta_2$	[-]

$V_{SAE}$	Nenninhalt Grab-/Transportgefäss gemäss SAE	[m <sup>3</sup> ]
ts	Spielzeit	[s]
α	Lösefaktor	[fm <sup>3</sup> /lm <sup>3</sup> ]
φ	Füllfaktor	[-]
η <sub>1</sub>	Bedienungsfaktor	[-]
$\eta_2$	Betriebsbedingungen	[-]
f <sub>1</sub>	Abbau-/Grabtiefenfaktor	[-]
$f_2$	Schwenkwinkel-/Fahrwegfaktor	[-]
$f_3$	Entleerungsgenauigkeitsfaktor	[-]
$f_4$	Schneiden-/Zahnzustandsfaktor	[-]
$f_5$	Verfügbarkeits-/Gerätezustandsfaktor	[-]
$\mathbf{k}_1$	Ladefaktor	[-]
$k_2$	Leistungseinflussfaktor	[-]
$k_3$	Betriebsbeiwert	[-]
$\eta_G$	Geräteausnutzungsgrad	[-]
fm <sup>3</sup>	Material in ungestörtem bzw. verdichtetem Zustand	
lm <sup>3</sup>	Material in aufgelockertem Zustand, z.B. auf einer	
	I KW- Mulde	

Die Kurzzeitleistung bezieht sich auf die Betriebszeit, d.h. auf die reine Arbeitszeit des Geräts. Bei grossen, maschinenintensiven Erdbaustellen, d.h. Baustellen mit kontinuierlichem Geräteeinsatz, entspricht sie weitgehend der durchschnittlichen Leistung des gesamten Arbeitstags Q<sub>AT</sub> [fm³/h]. Bei zyklischen Arbeitsabläufen, bei denen das Gerät nur zeitweise während der Arbeitszeit in Betrieb ist, weicht die Kurzzeitleistung teilweise deutlich von der Durchschnittsleistung des Arbeitstags ab.

Im Berechnungskonzept von Kurzzeit-/Nutzleistung  $Q_N$  sind neben den auf die Grundleistungen  $Q_0$  bezogenen technischen Reduktionsfaktoren



bereits auch die Bedienungs- und Betriebsbedingungen wie Motivation, Wettereinfluss etc. sowie die Geräteausnutzung während der Betriebszeit enthalten. Berücksichtigt wird ferner, dass eine neue Maschine höhere Leistungen erbringt als eine ältere, bedingt durch Verschleiss, aber auch durch häufigere kleinere Reparaturen an z.B. Hydraulikschläuchen oder Reisszähnen. Ferner ist auch die Geräteausnutzung über einen definierten Zeitraum enthalten, da z.B. ein Baggerführer nicht ununterbrochen eine volle Stunde oder einen ganzen Tag hocheffizient unter Beibehaltung der Konzentration über die ganze Schichtzeit hinweg arbeitet. Bei diesem Geräteausnutzungsgrad ist auch z.B. das Nachrücken eines Baggers während des Aushubs oder Ladevorgangs enthalten.

In der Kurzzeit-/Nutzleistung sind die folgenden Reduktionen nicht enthalten:

- Vorbereitungszeiten (z.B. Auslegen von Baggermatratzen oder das Umrüsten auf ein anderes Grabgefäss)
- Unterbruchszeiten für das Umsetzen an einen neuen Standort auf der gleichen Baustelle
- Betrieblich bedingte Unterbrechungen und Wartezeiten
- Einarbeitungs- und Abschlusszeit mit meist geringerer Leistung (Bild 1-3), da einerseits in der Lernphase erst der optimale Ablauf in der Prozesskette gefunden werden muss und andererseits in der Abschlussphase oft schon parallele Arbeiten anderer Gewerke beginnen, die Behinderungen verursachen können, oder noch Nacharbeiten durchgeführt werden müssen.

#### Langzeitleistung

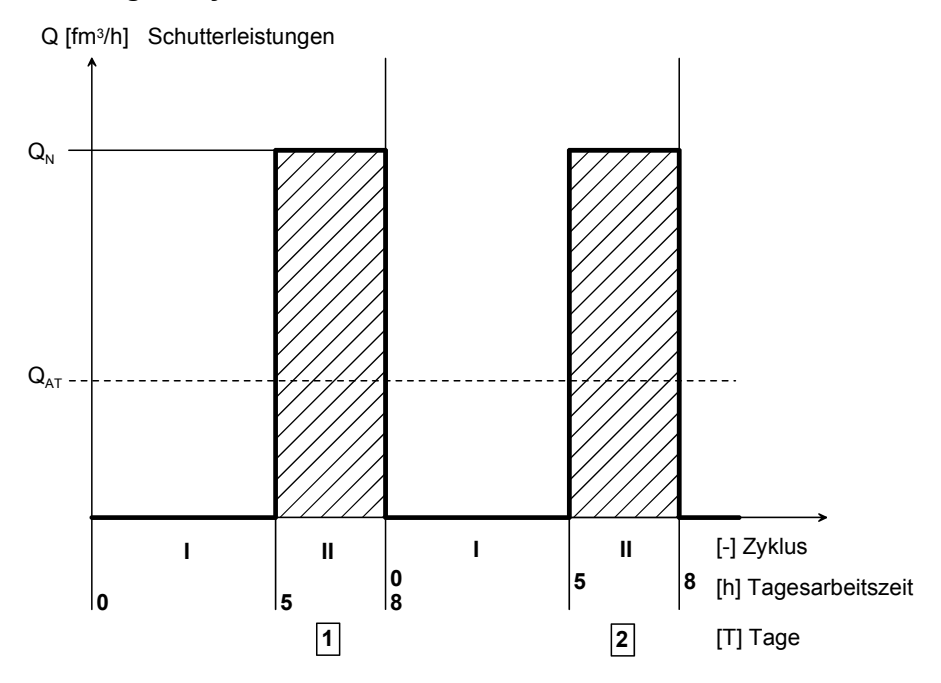
Die Langzeitleistung, auch Einsatzleistung  $Q_{\text{ET}}$  genannt, bezieht sich auf die Einsatzzeit der Geräte, die sich aus der Dauer der Prozesse ergibt, und baut auf dem Konzept der Kurzzeitleistung auf. Die Kurzzeitleistung wird dazu ergänzt durch Vorbereitungs- und Einarbeitungszeiten, durch unproduktive betrieblich bedingte Wartezeiten, die Dauer des Umsetzens an einen anderen Arbeitsort auf der Baustelle sowie Zeiten für den Abschluss der Arbeiten.

Beim Sprengvortrieb im Untertagebau, einem zyklisch ablaufenden Vortriebsverfahren, wird nach dem Sprengen das Haufwerk geladen. Diese Arbeiten beanspruchen nur 3-4 Stunden einer Schicht von 8-10 Stunden. In der restlichen Zeit werden andere Arbeiten durchgeführt. Das bedeutet, dass die effektive Nutzleistung  $Q_N$  [fm³/h] des Geräts we-



sentlich von der Durchschnittsleistung Q<sub>AT</sub> [fm³/h] pro Arbeitstag abweichen kann. Das Gleiche gilt auch bei Baugruben, wenn z.B. in einer gewissen Tiefe der Aushub unterbrochen werden muss, um Anker- oder Aussteifungsarbeiten durchzuführen.

#### Leistung bei zyklischen Arbeiten



Zyklus I: Sichern und Sprengen

Zyklus II: Schuttern (Laden des Vortriebs)

Bild 1-2: Darstellung der Schutterleistung in Abschlagszyklen

Daher müssen die Leistungen einerseits nach Arbeitsabläufen und andererseits nach verschiedenen Zeitabschnitten wie folgt differenziert werden:

- Die Wahl der Maschinen erfolgt aufgrund der erforderlichen Nutzleistung Q<sub>N</sub> bzw. Grundleistung Q<sub>0</sub>.
- ullet Die Tagesleistung  $Q_{AT}$  ist eine Durchschnittsleistung, die meist dann deutlich von  $Q_N$  abweicht, wenn zyklische Arbeiten durchgeführt wer-



den, oder bei Geräteumsetzungen zu anderen Arbeitsstätten mit zyklischem Charakter.

• Die Einsatzleistung  $Q_{\text{ET}}$  über die gesamte Einsatzzeit ist meist für kalkulatorische Zwecke erforderlich und beinhaltet neben der Nutzleistung  $Q_{\text{N}}$  bzw. Tagesleistung  $Q_{\text{AT}}$  die Reduktion durch die Vorbereitungszeit, Einarbeitungs- und Abschlussphase sowie betrieblich bedingte Unterbrechungen.

#### Allgemeiner Leistungsverlauf während der Vorhaltezeit

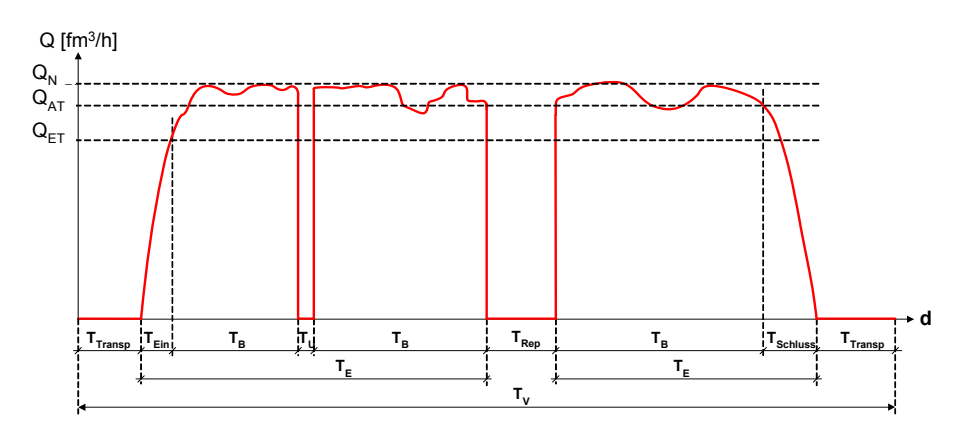


Bild 1-3: Leistungsverlauf

$Q_N$	Nutz-/Dauerleistung des Geräts	[fm³/h]
	△ Leistung bezogen auf die Betriebszeit	
$Q_{AT}$	Tagesdurchschnittsleistung des Geräts	[fm³/h]
$Q_{ET}$	mittlere Einsatzleistung des Geräts	[fm³/h]
	△ Leistung bezogen auf die Einsatzzeit	
$T_{Transp}$	Zeit für den Transport	[h]; [AT]
$T_{Ein}$	Einarbeitungszeit	[h]; [AT]
$T_B$	Betriebszeit des Geräts pro Arbeitstag	[h]; [AT]
$T_U$	Zeit für betrieblich bedingte Unterbrechungen	[h]; [AT]
$T_Rep$	Zeit für Reparaturen	[h]; [AT]
T <sub>Schluss</sub>	Dauer der Schlussphase	[h]; [AT]
$T_E$	Einsatzzeit der Geräte	[h]; [AT]
$T_V$	Vorhaltezeit	[h]; [AT]
d	Vorgangsdauer – mögliche Betriebs- bzw.	[h]; [AT]
	Arbeitstage gemäss Terminplan (Einsatzzeit)	



Die effektive Leistung, bezogen auf die Arbeitszeit  $Q_{AT}$  [fm³/h] bzw. die Einsatzzeit  $Q_{ET}$  [fm³/h], ergibt sich zu:

Arbeitszeit: 
$$Q_{AT} = Q_N \times \frac{T_B}{T_{\Delta T}}$$
 [fm³/h]

Einsatzzeit: 
$$Q_{ET} = Q_{AT} \times \frac{T_{AT}}{T_{ET}} = Q_N \times \frac{T_B}{T_{ET}} \qquad \qquad \text{[fm}^3\text{/h]}$$

$Q_{AT}$	Tagesdurchschnittsleistung des Geräts	[fm <sup>3</sup> /h]
$Q_{ET}$	mittlere Einsatzleistung des Geräts	[fm <sup>3</sup> /h]
$Q_N$	Nutz-/Dauerleistung des Geräts	[fm <sup>3</sup> /h]
$T_B$	Betriebszeit des Geräts pro Arbeitstag	[h/AT]
$T_{AT}$	Arbeitsstunden pro Arbeitstag	[h/AT]
$T_{ET}$	Einsatzstunden pro Arbeitstag	[h/AT]

Die erforderliche durchschnittliche Leistung, bezogen auf die Einsatzzeit Q<sub>ET-erf.</sub> [fm³/h], ergibt sich zu:

$$Q_{ET-erf.} = \frac{V}{T_{AT} \times d}$$
 [fm<sup>3</sup>/h]

V	Gesamtaushub (Arbeit)	[fm <sup>3</sup> ]
$T_{AT}$	Arbeitsstunden pro Arbeitstag	[h/AT]
d	Vorgangsdauer – mögliche Betriebs- bzw.	[AT]
	Arbeitstage gemäss Terminplan (Einsatzzeit)	

#### Anzahl der Lösegeräte n [-]

$n \ge \frac{Q_{ET-erf.}}{Q_{ET}}$	[-]
I ~EI	

$$Q_{\text{ET}} = Q_{\text{N}} \times \frac{T_{\text{B}}}{T_{\text{ET}}} \tag{fm}^3 / h$$

$Q_{ET}$	mittlere Einsatzleistung eines Geräts	[fm <sup>3</sup> /h]
$T_B$	Betriebszeit des Geräts pro Arbeitstag	[h/AT]
$T_{ET}$	Einsatzstunden pro Arbeitstag	[h/AT]



Die Leistung  $Q_{AT}$  in der Arbeitszeit  $T_{AT}$  entspricht weitgehend der Nutz-/Dauerleistung  $Q_N$ , wenn keine zusätzlichen Zeitaufwendungen notwendig werden, die über die in den Gerätezustandsfaktoren, z.B. für tägliche Routinewartung, sowie im Geräteausnutzungsfaktor für kleinere Umsetzungsarbeiten und Erholungspausen schon enthaltenen Zeitaufwendungen hinausgehen.

Die Arbeitszeit T<sub>AT</sub> [h/AT] ergibt sich aus:

$$T_{AT} = \sum_{i} T_i = T_B + \sum_{j} T_j$$
 [h/AT]

Die Arbeitszeit pro Tag T<sub>AT</sub> setzt sich zusammen aus:

- der Betriebszeit des Geräts T<sub>B</sub>
- ullet den möglichen gewollten und ungewollten Unterbrechungen  $\sum_i \mathsf{T}_i$ ,

z.B. durch Umsetzen der Maschinen, Unterbruch in der Versorgung, kleine Wartungsarbeiten, zyklische Arbeiten

Die Arbeitszeit T<sub>AT</sub> entspricht normalerweise der Regelarbeitszeit auf der Baustelle.

Man kann davon ausgehen, dass die Nutzleistung über Stunden und Tage bei gleicher Arbeit aufrechterhalten werden kann. Muss jedoch das Gerät umgesetzt oder müssen z.B. in einer Baugrube zuerst die Anker gesetzt werden, bevor mit dem Aushub fortgefahren werden kann, dann entspricht die Nettoarbeitszeit des Geräts oder der Prozesskette nicht der Arbeitszeit, der Einsatzzeit und vor allem nicht der Vorhaltezeit.

Unter der **Einsatzzeit T**<sub>ET</sub> werden alle Zeiten zusammengefasst, an denen das Gerät in Betrieb ist. Dazu gehören:

- Vorbereitungszeiten
- Einarbeitungszeit
- Betriebszeit
- Umsetzen auf der Baustelle
- Baubetrieblich bedingte Wartezeit
- Schlussphase

In dieser Zeit ist das Gerät ohne Unterbrechung durch Wartungen, Reparaturen oder Stillstandstage in Betrieb.



Damit ergibt sich die Einsatzzeit T<sub>ET</sub> zu:

$T_{\text{ET}} = T_{\text{Vor}} + T_{\text{Ein}} + T_{\text{B}} + T_{\text{U}} + T_{\text{Um}} + T_{\text{Schluss}}$		[h]; [AT]
$T_{Vor} \\ T_{Ein} \\ T_{B} \\ T_{U} \\ T_{Um} \\ T_{Schluss}$	Vorbereitungszeiten Einarbeitungszeit Betriebszeit Zeit für betrieblich bedingte Unterbrechungen Umsetzzeiten auf der Baustelle Dauer der Schlussphase	[h]; [AT] [h]; [AT] [h]; [AT] [h]; [AT] [h]; [AT] [h]; [AT]

Die **Vorhaltezeit T\_{VT}** umfasst die Einsatzzeit und das Einrichten sowie die Auf-, Um- und Abbau der Geräte mit den dazugehörigen Transportzeiten, die Stillliegezeit auf der Baustelle und die Zeiten für Wartung/Pflege und Reparatur. Damit ergibt sich die **Vorhaltezeit T\_{VT}** zu:

$$T_{VT} = T_{ET} + T_{Transp} + T_{Aufbau} + T_{Rep} + T_{Wartung}$$

$$+ T_{Still} + T_{Umbau} + T_{Abbau}$$

$$[h]; [AT]$$

$$T_{Transp}$$

$$Zeiten für An- und Abtransport$$

$$T_{Aufbau}$$

$$Zeiten für den Aufbau$$

$$T_{Rep}$$

$$Reparaturzeiten$$

$$T_{Wartung}$$

$$Wartungs- und Pflegezeiten$$

$$T_{Still}$$

$$Stillliegezeiten$$

$$T_{Umbau}$$

$$Umbauzeiten$$

$$T_{Dmbau}$$

$$Abbauzeiten$$

$$T_{Abbau}$$

$$Abbauzeiten$$

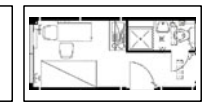
$$T_{Abbau}$$

Es ist daher **sehr wichtig**, dass bei **Leistungsangaben** der **Bezugszeitrahmen** genau **angegeben** wird.

### 2 Baustelleneinrichtungen

Sozialeinrichtungen Wasserversorgung Stromversorgung Druckluftversorgung Separationsanlagen

### Sozialeinrichtungen



### 2.1 Sozialeinrichtungen [15], [16]

Die hier angegebenen Werte dienen nur zur Vordimensionierung der Sozialeinrichtungen. In jedem Land müssen die speziellen Vorschriften der Arbeitsstättenverordnung beachtet werden.

Tabelle 2-1: Richtwerte der Sozialeinrichtungen

Nr.	Sozialräume	m²/ Arbeiter	m³/ Arbeiter	Andere
1	Tagesunterkünfte	1		
2	Schlaf-/Wohnunterkunft	> 6	> 10	
3	Kantine (mit Küche und Magazin)	2.5		
4	wc			1/Baustelle bzw. 1/(15 Arbeiter)
5	Waschraum			1 Waschraumplatz/ Baustelle bzw. 1 Waschraumplatz/ (5 Arbeiter)
6	Duschen bei mehr als 10 Arbeitern und Baustellen- dauer > 2 Wochen			1 Dusche/ (20 Arbeiter)
7	Mindestraumhöhen			2.3 m
8	Fensterfläche			1/10 der Grund- fläche

Zudem sind spezifische Anforderungen hinsichtlich Tischen, Stühlen, Schränken und anderer Einrichtungsgegenstände zu beachten.



#### 2.2 Wasserversorgung [17]

#### Begriffsbestimmung und Berechnungsvorgang

#### Wasserbedarfsermittlung:

Die Wasserbedarfsermittlung ist notwendig zur Dimensionierung der Versorgungsquelle, der Versorgungsleitungen und eventueller Zusatzeinrichtungen wie Pumpanlagen.

Ermittlung anhand von Richtwerten (Tabelle 2-2):

a) Arbeitnehmer

Trink- und Brauchwasserbedarf der Arbeitnehmer (AN) am Arbeitstag (AT) [I/AN und AT]

Anzahl AN × Richtwert [m³/AN und AT]

= ...... [m³/AT]

b) Aufbereitungsanlagen

Beton- und Mörtelanmachwasserbedarf  $[m^3/m^3]$ 

Leistung Anlage  $[m^3/AT] \times Richtwert [m^3/m^3] = ...... [m^3/AT]$ 

c) Sonstige Anlagen

Sonstiger Brauchwasserbedarf für Wasch-, Sieb- oder Trennanlagen für Zuschlagstoffe [m<sup>3</sup>/m<sup>3</sup>]

Leistung Anlage [m<sup>3</sup>/AT] × Richtwert [m<sup>3</sup>/m<sup>3</sup>]

= ........ [m<sup>3</sup>/AT]

**Zwischensumme 1** = .......  $[m^3/AT]$ 



d) Zuschlag für Betonnachbehandlung usw.

Pauschaler Zuschlag auf den ermittelten Wasserbedarf für weiteres Brauchwasser zur Nachbehandlung von Beton, Feuchthalten der Schalung, zur Reinigung von Geräten und Fahrzeugen [%]

Zuschlag × Zwischensumme 1 [m<sup>3</sup>/AT]

= ..... [m<sup>3</sup>/AT]

Zwischensumme 2

= ..... [m<sup>3</sup>/AT]

e) Zuschlag für Verluste in prov. Leitungen Pauschaler Zuschlag auf den ermittelten Wasserbedarf für Verluste in provisorischen Leitungen [%]

Zuschlag × Zwischensumme 2 [m³/AT]

= ..... [m<sup>3</sup>/AT]

**Gesamtwasserbedarf Q** $_{\varnothing}$  = ....... [m<sup>3</sup>/AT]

#### Dimensionierung der Rohrleitung

#### Maximaler Wasserbedarf Q [I/s]

#### Wassermenge für allgemeinen Gebrauch Q<sub>max</sub> [l/s]

Der maximale Wasserbedarf (Q<sub>max</sub>) ergibt sich aus dem 1.5fachen des durchschnittlichen täglichen Gesamtbedarfs (s.o.).

$$Q_{\text{max}}^{1} = \frac{Q_{\varnothing}}{T_{\text{AT}}} \times \frac{1.5}{3.6}$$
 [l/s]

 $Q_{max}^1$ maximaler Wasserbedarf der Baustelle [l/s] [m<sup>3</sup>/AT]durchschnittl. tägl. Gesamtwasserbedarf  $Q_{\alpha}$  $T_{AT}$ [h/AT] tägliche Arbeitszeit



#### Wassermenge für Betonmischer Q<sup>2</sup><sub>max</sub> [l/s]

Für die Dimensionierung der Leitung zum Betonmischer muss gewährleistet sein, dass eine Wassermenge von einem Fünftel des Nenninhalts des Mischers innerhalb von z.B. 20 Sekunden gleichmässig zugegeben werden kann. [17]

$$Q_{\text{max}}^2 = \frac{\frac{1}{5} \times V_{\text{misch}}}{\Delta t}$$
 [I/s]

Q<sub>max</sub> maximaler Wasserbedarf zur [I/s]
Betonherstellung

V<sub>misch</sub> Nenninhalt des Mischers [1] Δt 20 Sekunden Zulauf für Betonmischer [s]

Bei grossem Wasserbedarf für den Mischer empfiehlt sich die Anordnung eines Zwischenspeichers.

#### Maximaler Wasserbedarf Q [I/s]

$$Q = max\{Q_{max}^{1}; Q_{max}^{2}\}$$
 [I/s]

#### f) Durchmesser der Rohrleitung d [dm]

Der **Durchmesser der Rohrleitung d [dm]** ergibt sich aus dem **maximalen Wasserbedarf Q [l/s]**:

$Q = \frac{d^2 \times \pi}{4} \times V$	$1\frac{l}{s} = 1\frac{dm^3}{s}$	[l/s]
$\rightarrow d - \sqrt{4 \times Q}$		[dm]

 $\Rightarrow d = \sqrt{\frac{4 \times Q}{V \times \pi}}$  [dm]

Q Fördermenge bzw. max. Wasserbedarf [l/s]
d lichter Durchmesser der Rohrleitung [dm]
v Wassergeschwindigkeit in der Rohrleitung, meist 5 bis 8 dm/s [dm/s]



#### Richtwerte für den Wasserbedarf

#### Tabelle 2-2: Wasserbedarf [17]

Tabelle 2-2: Wasserbeadin [17]	
Trinkwasser und Waschen	20 – 30 l/(AN und AT)
Duschen	40 I/(AN und AT)
Trinkwasser, Waschen und Duschen	40 – 70 l/(AN und AT)
Trink- und Brauchwasserbedarf bei Tagesunterkünften	20 – 30 l/(AN und AT)
Trink- und Brauchwasserbedarf bei Wohn- und Schlafunterkünften	50 – 100 l/(AN und AT)
Betonanmachwasser	0.1 – 0.2 m <sup>3</sup> /m <sub>Beton</sub>
Mörtelanmachwasser	0.2 – 0.25 m <sup>3</sup> /m <sup>3</sup> <sub>Mörtel</sub>
Brauchwasser für Kiesaufbereitung	$1.0 - 3.0 \text{ m}^3/\text{m}_{\text{Kies}}^3$
Zuschlag für weiteres Brauchwasser	20 – 25 %
Wasserverluste bei provisorischen Leitungen	10 – 20 %



## Beispiel zur Ermittlung des Gesamtwasserbedarfs einer Bürogebäude-Baustelle

#### Ausgangsdaten

#### Rohbau:

max. Anzahl Arbeitnehmer (AN) Betonarbeit	= 15	AN
davon in Wohnunterkünften	= 5	AN
in Tagesunterkünften	= 10	AN
max. Betonierleistung	= 180	$m_{Beton}^3/AT$
Betonanmachwasser	= 0.1	$5 \text{ m}^3/\text{m}_{Beton}^3$

Zuschlag weiteres Brauchwasser = 25 % Zuschlag für Verluste = 15 %

#### Ausbau:

Anzahl Arbeitnehmer in Tagesunterkünften = 50 AN

#### Wasserbedarf der AN

$$10 \text{ AN} \times 0.03 \text{ m}^3/(\text{AT und AN}) = 0.3 \text{ m}^3/\text{AT}$$
  
 $5 \text{ AN} \times 0.10 \text{ m}^3/(\text{AT und AN}) = 0.5 \text{ m}^3/\text{AT}$ 

Der maximale Bedarf ergibt sich meist, wenn im letzten Geschoss noch die Rohbauarbeiten laufen und in den Untergeschossen schon der Ausbau beginnt.

 $50 \text{ AN} \times 0.03 \text{ m}^3/\text{AT} \text{ und AN}$  = 1.5 m<sup>3</sup>/AT

#### • Wasserbedarf Betonherstellung

$180~m_{Beton}^3/AT\times0.15~m^3/m_{Beton}^3$	<u>=</u>	27.00 m <sup>3</sup> /AT
Zwischensumme 1	=	29 30 m <sup>3</sup> /AT

#### Sonstiges

Nachbehandeln des Betons und Gerätereinigung 25 % von 29.30 = 7.33 m³/AT				
Zwischensumme 2		=	36.63 m <sup>3</sup> /AT	
Leitungsverluste	15 % von 36.63	=	5.49 m <sup>3</sup> /AT	

• Gesamtwasserbedarf = 42.12 m<sup>3</sup>/AT



#### Beispiel zur Dimensionierung der Rohrleitung

#### Ausgangsdaten

Wasserbedarf = 42.12 m³/AT

Fliessgeschwindigkeit = 0.8 m/s = 8 dm/s

Anzahl Arbeitsstunden pro Arbeitstag = 9 h/AT

Faktor für stündlichen Spitzenbedarf = 1.5

Zwangsmischergrösse = 1250 l

Wasserzugabezeit in den Mischer = 20 s

#### • Max. Wasserbedarf pro Stunde

aus Gesamtwasserbedarf

$$Q_{\text{max}}^1 = \frac{42.12}{9} \times \frac{1.5}{3.6} = 1.95 \text{ l/s}$$

aus Betonmischergrösse

$$Q_{\text{max}}^2 = \frac{0.2 \times 1250}{20}$$
 = 12.5 l/s

$$Q_{max}^1 << \ Q_{max}^2$$

- ⇒ Es empfiehlt sich die Anordnung eines Zwischenspeichers, da ansonsten die Leitungsdimensionierung zu einem unwirtschaftlichen Durchmesser führt. Für die Dimensionierung ist dann Q<sup>1</sup><sub>max</sub> massgebend.
- Durchmesser Gesamtzuleitung bis zum Baustellenverteiler

$$d = \sqrt{\frac{4 \times 1.95}{8 \times \pi}}$$
 = 0.56 dm = 56 mm



### 2.3 Stromversorgung [17], [18], [19]

#### Begriffsbestimmung und Berechnungsvorgang

#### Leistungsbedarf

Der Bedarf der elektrotechnischen Einrichtungselemente der Baustelle zur Bestimmung der elektrischen Energie wird nach Einphasen- und Dreiphasenverbrauchern getrennt zusammengestellt. Die Richtwerte für die Anschlusswerte der Verbraucher können den Handbüchern der Gerätehersteller sowie [4] bzw. den nachfolgenden Seiten entnommen werden.

#### a) Leistungswerte der Verbraucher

Zusammenstellung der Leistungswerte der einzelnen Verbraucher getrennt nach:

#### • Einphasenwechselstrom (230 V)

Die Angabe der wirksamen Leistung in [kW] von Verbrauchern wie z.B. Beleuchtung, Wasserkocher entspricht dem Anschlusswert.

Stück	Verbraucher	Wirkleistung [kW]		
		einzeln Gesam		
2	Kranleuchten	40	80	
••				

#### Dreiphasenwechselstrom (400 V)

Angabe der mechanischen wirksamen Leistung an der Antriebswelle von motorgetriebenen Verbrauchern in [kW]; dies kann dem Typenschild oder der BGL [4] entnommen werden. Diese Werte sind nicht dem Anschlusswert gleichzusetzen.

Stück	Verbraucher	Motorleistung [kW]		
		einzeln	gesamt	
2	Turmdrehkran	kran 40		



#### b) Leistungsaufnahme der Verbraucher

Die Leistungsaufnahme der Verbraucher bestimmt sich aus der dem Verbraucher zuzuführenden Leistung  $P_{zu}$  in [kW] unter Berücksichtigung der Ernergieausnutzung (Wirkungsgrad) des Verbrauchers. Die Leistung  $P_{zu}$  wird aus dem Wirkungsgrad  $\eta$  ermittelt:

$\eta = \frac{P_{ab}}{P_{zu}}$	[-]
--------------------------------	-----

η	Wirkungsgrad	[-]
$P_{ab}$	vom Verbraucher abgegebene Leistung	[kW]
$P_{zu}$	dem Verbraucher zugeführte Leistung	[kW]

Für einzelne Motoren entspricht  $P_{ab}$  der Motorleistung in [kW], der Wirkungsgrad kann mit 0.6-0.9 angenommen werden.

Werden verschiedene Verbraucher zusammengefasst, d.h. ist  $P_{ab}$  die Summe aller erfassten Gerätewerte in [kW], so kann der Wirkungsgrad mit 0.8-0.85 angenommen werden.

Danach bestimmt sich die dem Verbraucher zuzuführende Leistung  $P_{zu}$  [kW] zu

$$P_{zu} = \frac{P_{ab}}{\eta}$$
 [kW]

#### c) Leistungsbereitstellung des Netzes

Die Leistungsbereitstellung des Netzes bestimmt sich aus der gemessenen Spannung und Stromstärke im Netz unter Berücksichtigung der Phasenverschiebung von Spannung und Stromstärke in Wechselstromkreisen mit induktivem Widerstand (Motor).

Die sich daraus ergebende Scheinleistung  $P_S$  setzt sich zusammen aus einer Wirkleistung  $P_W$  [kW]

$P_{W}$	$= U \times I_W = U \times I \times \cos \varphi$	[kW]
$P_W$	Wirkleistung	[kW]
U	Spannung	[V] <sup>-</sup>
1	Scheinstrom	[A]
$I_W$	Wirkstrom	[A]



 $cos\phi$  Leistungsfaktor für den Wirkstrom [-] und einer senkrecht dazu stehenden **Blindleistung P**<sub>B</sub> [kVA]

$P_B =$	$U \times I_B = U \times I \times \sin \varphi$	[kVA]
$P_B$	Blindleistung	[kVA]
U	Spannung	[V]
1	Scheinstrom	[A]
$I_B$	Blindstrom	[A]
sinφ	Leistungsfaktor für den Blindstrom	[-]

Das Verhältnis von tatsächlich aus dem Netz entnommener Leistung in [kW] zu im Netz gemessener Leistung in [kVA] ist der **Leistungsfaktor**  $\cos \varphi$  [-].

Für einzelne Motoren kann der Leistungsfaktor  $cos\phi$  mit 0.8-0.9 angenommen werden. Bei Zusammenfassung mehrerer Verbraucher liegt der Wert für  $cos\phi$  bei 0.6-0.8. Die Wirkleistung  $P_W$  entspricht der berechneten zugeführten Leistung  $P_{zu}$ .

#### Danach ergibt sich für die Scheinleistung Ps [kVA]:

$P_S = \frac{1}{2}$	$\frac{P_{zu}}{\cos \varphi}$ mit $P_{zu} = P_W$	[kVA]
$P_{S}$ $P_{zu}$ $cos\phi$	Scheinleistung zugeführte Leistung (= Wirkleistung P <sub>w</sub> ) Leistungsfaktor für den Wirkstrom	[kVA] [kW] [-]



Vektoriell stellt sich der Zusammenhang zwischen Wirk-, Blind- und Scheinleistung wie folgt dar:

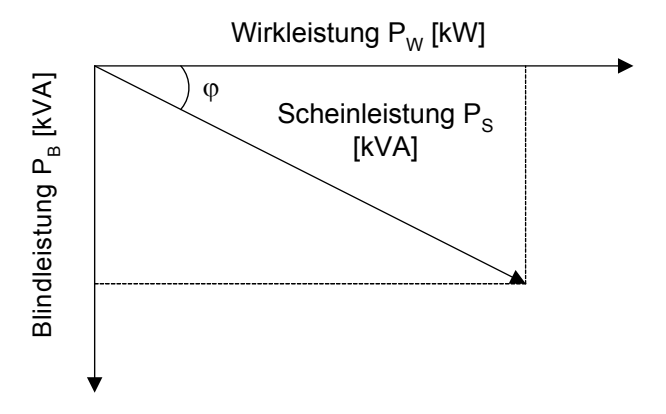


Bild 2-1: Schematische Darstellung der Leistung von Motoren

Die Angaben in kW sind die Verbrauchsleistungen. Die Angaben in kVA sind die bereitgestellten Leistungen (Scheinleistung) der Transformatoren.

Mechanisch durch den Motor nutzbar ist nur der wirksame Anteil der Scheinleistung  $P_W$ . Bei Beleuchtungseinrichtungen usw. ist nur die Wirkleistung zu berücksichtigen. Eine Blindleistung tritt nicht auf. Es ergibt sich die **gesamte erforderliche Scheinleistung**  $P_{Sges}$  [kVA] aus der geometrischen Addition von Scheinleistung der Motoren und Wirkleistung der Beleuchtung zu:

P <sub>Sges</sub>	$= \sqrt{(P_S \times \cos\varphi + P_{WB})^2 + (P_S \times \sin\varphi)^2}$	[kVA]
$P_{Sges}$	gesamte Scheinleistung	[kVA]
$P_{S}$	Scheinleistung	[kVA]
$P_{WB}$	Wirkleistung der Beleuchtung	[kW]
cosφ	Leistungsfaktor für den Wirkstrom	[-]
sinφ	Leistungsfaktor für den Blindstrom	[-]



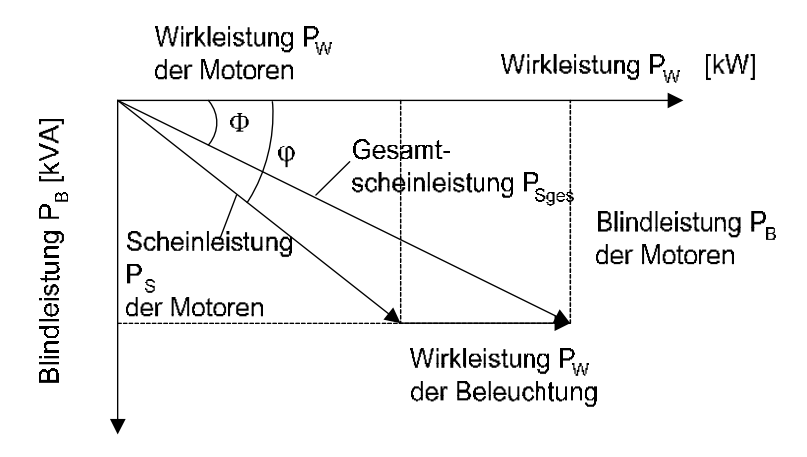


Bild 2-2: Schematische Darstellung der Gesamtleistung

#### d) Anschlusswert der Baustelle

Der Gesamtanschlusswert  $P_{AW}$  in [kVA] für die Baustelle ergibt sich aus der Gesamtscheinleistung  $P_{Sges}$  in [kVA] unter Berücksichtigung, dass nicht alle Verbraucher gleichzeitig eingeschaltet sind. Dies wird im Gleichzeitigkeitsfaktor a ausgedrückt, der das Verhältnis von tatsächlichem zu theoretisch möglichem Leistungsbedarf angibt.

Für den Gleichzeitigkeitsfaktor a kann angenommen werden:

- 0.4 0.5 für Grossbaustellen
- 0.6 0.75 für sonstige Baustellen
- 0.75 0.85 für Einzelgeräte mit mehreren Motoren

#### Danach wird der Anschlusswert PAW [kVA]:

P <sub>AW</sub>	$=P_{Sges} \times a$	[kVA]
$P_{AW}$	Anschlusswert der Baustelle	[kVA]
$P_{Sges}$	Gesamtscheinleistung	[kVA]
а	Gleichzeitigkeitsfaktor	[-]



#### • Dimensionierung der elektrischen Versorgungsleitungen [17]

a) Nach dem zulässigen Spannungsabfall

Vertretbare Spannungsverluste  $\Delta U$  in Versorgungsleitungen sind:

- 5 % der Nennspannung bei 400 V d.h. 20 V
- 3 % der Nennspannung bei 230 V d.h. 6.9 V

Nachfolgend sind die Formeln für die Berechnung des erforderlichen Leitungsquerschnitts aufgeführt.

Tabelle 2-3: Formeln zur Berechnung des erforderlichen Leitungsquerschnitts A [mm²]

	Spannungsabfall ∆ U [V]	Leitungsquerschnitt A [mm²]				
	Strom I bekannt					
Einphasen- wechselstrom	$\Delta U = \frac{2 \times I_L \times I}{\chi \times A} \times \cos \varphi$					
	Leistung P <sub>W</sub> bekannt					
	$\Delta U = \frac{2 \times I_L \times P_W}{\chi \times A \times U}$	$A = \frac{2 \times I_L \times P_W}{\chi \times \Delta U \times U}$				
	Strom I bekannt					
Dreiphasen- wechselstrom	$\Delta U = \frac{\sqrt{3} \times I_{L} \times I}{\chi \times A} \times \cos \varphi$	$A = \frac{\sqrt{3} \times I_L \times I}{\chi \times \Delta U} \times \cos \varphi$				
	Leistung P	w bekannt				
	$\Delta U = \frac{I_L \times P_W}{\chi \times A \times U}$	$A = \frac{I_L \times P_W}{\chi \times \Delta U \times U}$				

U	Spannung	[V]
$\Delta U$	Spannungsabfall	[V]
1	Stromstärke	[A]
$P_W$	Wirkleistung bzw. Anschlusswert PAW	[W]
I <sub>L</sub>	Leitungslänge	[m]
Α	Leitungsquerschnitt	[mm²]
χ	Leitfähigkeit	$[m/\Omega mm^2]$
cos φ	Leistungsfaktor	[-]



#### Die Stromstärke I [A] ergibt sich

• für Einphasenwechselstrom aus:

$$I = \frac{P_W}{U \times \cos\varphi}$$
 [A]

• für Dreiphasenwechselstrom aus:

$$I = \frac{P_W}{\sqrt{3} \times U \times \cos\varphi}$$
 [A]

b) Nach der zulässigen thermischen Belastung

Durch die Verlustleistung wird im Kabel Wärme erzeugt, die über die Oberfläche abgeleitet werden muss. Die Temperatur ist vom Isolierstoff abhängig. Sie begrenzt die maximal zulässige Stromstärke. Für kurze Leitungen ist fast immer die thermische Belastbarkeit massgebend.

Wurde der erforderliche Leitungsquerschnitt  $A_{\text{erf}}$  bestimmt, kann die vorhandene Stromstärke  $I_{\text{vorh}}$  ermittelt werden. Im Anschluss muss dieser Wert mit der zulässigen thermischen Dauerbelastbarkeit  $I_{\text{zul}}$  der Leitung überprüft werden. Die zulässige Dauerbelastungen in [A] und die Leitungsschutzsicherungen sind in Tabelle 2-4 aufgeführt.



Tabelle 2-4: Zulässige Dauerbelastung und Zuordnung von Überstrom-Schutzorganen für isolierte Leitungen [20]

		Grup	pe 1		Gruppe 2 Gruppe 3							
Nenn-	Bi	s zu 3 Leitur		ren	Rohrdrähte, Feuchtraumleitungen, Stegleitungen, frei in Luft verlegte mehradrige Leitungen und mehradrige Leitungen zum Anschluss ortsveränderlicher Stromverbraucher (einschliessl. Leitungstrossen)			Frei in Luft verlegte einadrige Leitungen, wobei				
quer-	Ku	pfer	Alum	inium	Ku	pfer	Alum	inium	Kupfer		Alum	inium
schnitt mm²	Belast- barkeit in A	Höchstzu- lässiger Nenn- strom der Strom- sicherung in A	Belast- barkeit in A	Höchstzu- lässiger Nenn- strom der Strom- sicherung in A	Belast- barkeit in A	Höchstzu- lässiger Nenn- strom der Strom- sicherung in A	Belast- barkeit in A	Höchstzu- lässiger Nenn- strom der Strom- sicherung in A	Belast- barkeit in A	Höchstzu- lässiger Nenn- strom der Strom- sicherung in A	Belast- barkeit in A	Höchstzu- lässiger Nenn- strom der Strom- sicherung in A
0.75	_	_	_	_	13	10		_	16	15	_	_
1	12	10	_	_	16	15	_	_	20	20	_	_
1.5	16	15	_	_	20	20	_	_	25	25	_	_
2.5	21	20	16	15	27	25	21	20	34	35	27	25
4	27	25	21	20	36	35	29	25	45	50	35	35
6	35	35	27	25	47	50	37	35	57	60	45	50
10	48	50	38	35	65	60	51	50	78	80	61	60
16	65	60	51	50	87	80	68	60	104	100	82	80
25	88	80	69	60	115	100	90	80	137	125	107	100
35	110	100	86	80	143	125	112	100	168	160	132	125
50	140	125	110	100	178	160	140	125	210	200	165	160
70	_	_	_	_	220	225	173	160	260	260	205	200
95	_	_	_	_	265	260	210	200	310	300	245	225
120	_	_	_	_	310	300	245	225	365	350	285	260
150	_	_	_	_	355	350	280	260	415	430	330	300
185	_	_	_	_	405	350	320	300	475	430	375	350
240	_	_	_	_	480	430	380	350	560	500	440	430
300	_	_	_	_	555	_	435	_	645	-	510	_
400	_	_	_	_	_	_	_	_	770	_	605	_
500	_	_		_	_	_	_	_	880	_	690	_



# Dreiphasenverbraucher-Richtgrössen für die Motorenleistung von elektrisch betriebenen Baumaschinen

Tabelle 2-5: Motorleistung von Baumaschinen [4]

Baumaschine	Kenngrösse	Motorleistung
Turmkran	Nennlastmoment	
fahrbar		15.0 – 33.0 kW
stationär	7 – 45 tm 32 – 1250 tm	20.0 – 145.0 kW
Stationar	32 – 1250 till	20.0 – 145.0 KVV
Aufzug	Traglast	
Schnellbauaufzug	0.2 – 1.0 t	2.0 - 10.0 kW
Aufzug mit Fahrkorb	0.5 – 3.2 t	8.0 – 30.0 kW
Betonmischmaschine	Mischgefässinhalt	
Trommelmischer	250 – 750 l	5.0 - 15.0 kW
Trog- / Tellermischer	150 - 240 I	3.0 – 8.0 kW
	750 – 4500 l	19.0 – 35.0 kW
Betonmischanlage	Mischgefässinhalt	
Trog- / Tellermischer	500 – 2000 I	20.0 – 80.0 kW
Trog- / Tellermischer	2000 – 4500 I	80.0 – 130.0 kW
Kompressor	Volumenstrom	
Kleinkompressor	0.04 – 1.65 m <sup>3</sup> /min	0.4 – 15.0 kW
Kolbenkompressor	2.0 – 9.0 m <sup>3</sup> /min	15.0 – 65.0 kW
Schraubenkompressor	3.0 – 19.0 m <sup>3</sup> /min	20.0 – 130.0 kW
Kreissäge	Sägeblattdurchmesser	
Tischkreissäge	350 – 550 mm	2.0 – 9.0 kW
Handkreissäge	170 – 550 mm	0.6 – 4.0 kW
Förderband	Achsabstand	
500 mm Gurtbreite	4.0 – 15.0 m	1.0 - 2.0 kW
650 mm Gurtbreite	10.0 – 60.0 m	5.5 – 15.0 kW
Rüttler	1	
Aussenrüttler	Fliehkraft	
	1.0 – 25.0 kN	0.1 – 3.0 kW
Innenrüttler	Flaschendurchmesser	
	17.0 – 60.0 mm	0.6 – 3.0 kW



# Zwei- und Dreiphasenverbraucher-Richtgrössen für die Anschlusswerte von Elektrogeräten und Beleuchtung

Tabelle 2-6: Anschlusswerte diverser Elektrogeräte [17]

Elektrogerät	Wechselstrom	Drehstrom	Anschlusswert
Elektroherd		Χ	8.0 – 14.0 kW
Kaffeemaschine	X		1.0 kW
Wasserkocher	Х		1.0 kW
Duschspeicher 30 I		Х	6.0 kW
Boiler 80 I		X	6.0 kW
Durchlauferhitzer		Х	10.0 – 30.0 kW
Waschmaschine	Х		3.0 kW
Wäschetrockner	Х		3.0 kW
Händetrockner	Х		2.0 kW
Kühlschrank	Х		0.2 kW
Geschirrspüler	Х		3.5 kW
Heizlüfter	Х		2.0 kW

Tabelle 2-7: Anschlusswerte verschiedener Beleuchtungskörper [17]

Beleuchtung	Anschlusswert
Glühlampe	0.025 – 0.1 kW
Flutlichtlampen	0.2 kW
Tiefstrahler	1.0 kW
Kranleuchten	1.0 kW



### Beispiel zur Ermittlung des Anschlusswerts einer Baustelle

#### • Zusammenstellung der eingesetzten Baumaschinen

Tabelle 2-8: Motorleistung diverser Baumaschinen nach [4]

Baumaschine	Motorleis	tung [kW]
	Einzeln	Gesamt
Turmkran	45.0	45.0
Kompressor	40.0	80.0
Trommelmischer	15.0	15.0
Förderband	15.0	15.0
Tischkreissäge	4.0	4.0
Handkreissäge	1.7	3.4
Aussenrüttler	0.5	0.5
Innenrüttler	1.2	2.4
_		
Gesamt	=	165.3 kW
	Turmkran Kompressor Trommelmischer Förderband Tischkreissäge Handkreissäge Aussenrüttler Innenrüttler	Turmkran 45.0 Kompressor 40.0 Trommelmischer 15.0 Förderband 15.0 Tischkreissäge 4.0 Handkreissäge 1.7 Aussenrüttler 0.5 Innenrüttler 1.2

### • Zusammenstellung der eingesetzten Elektrogeräte

Tabelle 2-9: Anschlusswerte diverser Elektrogeräte nach [4]

Stück	Elektrogerät	Anschlusswert [kW]	
		Einzeln	Gesamt
-			
2	Kaffeemaschine	1.0	2.0
2	Wasserkocher	1.0	2.0
1	Kühlschrank	0.2	0.2
2	Heizlüfter	2.0	4.0
	Gesamt	=	8.2 kW



#### Zusammenstellung der eingesetzten Beleuchtung

Tabelle 2-10: Berechnungsbeispiel der eingesetzten Beleuchtungen [4]

Stück	Beleuchtung	Anschlu	Anschlusswert [kW]	
		Einzeln	Gesamt	
	_	1	1	
20	Flutlichtlampe	0.2	4.0	
4	Tiefstrahler	1.0	4.0	
1	Kranleuchte	1.0	1.0	
100 m <sup>2</sup> Ur	nterkünfte;	0.06	100/5 × 0.06	
1 Glühlam	ipe je 5 m <sup>2</sup>	0.06	= 1.2	

Gesamt = 10.2 kW

#### • Weitere Ausgangsdaten

Motorwirkungsgrad  $\eta$  = 0.85

Leistungsfaktor  $\cos \varphi = 0.6 \Rightarrow \varphi = 53.1^{\circ} \Rightarrow \sin \varphi = 0.8$ 

Gleichzeitigkeitsfaktor a = 0.6

### • Leistungsaufnahme der Baumaschinen

$$P_{zu} = \frac{140.3}{0.85} = 165.06 \text{ kW}$$

### • Leistungsbereitstellung des Netzes

Scheinleistung Baumaschinen  $P_{S1} = \frac{165.06}{0.6} = 275.10 \text{ kVA}$ 

Scheinleistung Elektrogeräte  $P_{S2} = 8.2 \text{ kVA}$ Scheinleistung Beleuchtung  $P_{S3} = 10.2 \text{ kVA}$ 

Gesamtscheinleistung

$$P_{\text{Sges}} = \sqrt{(275.10 \times 0.6 + 8.2 + 10.2)^2 + (275.10 \times 0.8)^2} = 286.52 \text{ kVA}$$

#### Gesamtanschlusswert

$$P_{AW} = 286.52 \times 0.6 = 171.91 \text{ kVA}$$



### Beispiel zur Dimensionierung der elektrischen Versorgungsleitungen [17], [20]

#### Annahmen

Bewegliche Verteilerleitung frei in Luft verlegt Motorleistung des Verbrauchers (Kran) P<sub>K</sub> = 45 kW Wirkungsgrad des Motors n = 0.80Gleichzeitigkeitsfaktor (hoch, da Einzelgerät) a = 0.85Leistungsfaktor cos φ = 0.70Leitungslänge (Verteiler – Verbraucher) l∟ = 30 m Leitfähigkeit (Kupferkabel) χ = 57  $m/\Omega mm^2$ Spannung U, Dreiphasenwechselstrom = 400 Zulässiger Spannungsabfall zwischen Verteiler und Verbraucher ∆U = 2.5 % (10V)

#### · Aufgenommene Wirkleistung

$$P_W = \frac{45}{0.80} = 56.25 \text{ kW}$$

#### Massgebend für die Bemessung

$$P_{AW} = 56.25 \times 0.85 = 47.81 \text{ kW}$$

#### Erforderlicher Leitungsquerschnitt gemäss dem zulässigen Spannungsabfall

$$A_{erf} = \frac{47.81 \times 30 \times 10^3}{57 \times 10 \times 400} = 6.3 \text{ mm}^2$$

## Erforderlicher Leitungsquerschnitt gemäss der thermischen Belastbarkeit

$$I = \frac{47.81 \times 10^3}{\sqrt{3} \times 400 \times 0.7} = 98.58 \text{ A}$$

Gemäss Tabelle 2-4 ist für einen höchstzulässigen Nennstrom der Stromsicherung von I = 100 A ein Nennquerschnitt von  $A_{erf} = 25 \text{ mm}^2$  notwendig.

#### Gewählter Querschnitt

vieradrige Kupferleitung mit Querschnitt 4 x 25 mm² (Dreiphasenwechselstrom)



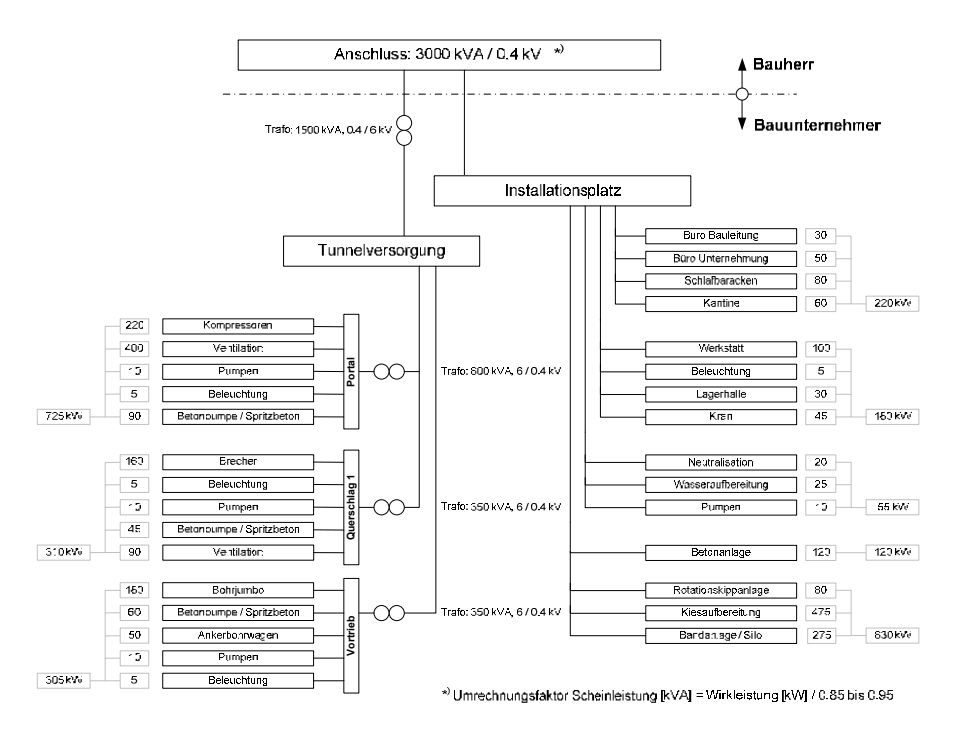


Bild 2-3: Elektroinstallationsschema einer Baustelle (Tunnelbau, konventioneller Vortrieb) [2]



### 2.4 Druckluftversorgung

Aus der allgemeinen Gasgleichung:

$p_A \times V_A =$	$p_B \times V_B$	
$T_A$	$T_B$	

$p_A$	Druck im Punkt A des Systems	[bar]
$V_A$	Volumen des Gases im Punkt A	[m <sup>3</sup> ]
$T_A$	Temperatur des Gases im Punkt A	[K] -
$p_B$	Druck im Punkt B des Systems	[bar]
$V_{B}$	Volumen des Gases im Punkt B	[m <sup>3</sup> ]
$T_{B}$	Temperatur des Gases im Punkt B	[K]

lässt sich die Volumenstromgleichung für Druckluftsysteme wie folgt darstellen:

$$\boxed{\frac{p_0 \times Q_{N,Saug}}{T_0} = \frac{p_K \times Q_{N,K}}{T_K} = \frac{p_V \times Q_{N,V}}{T_V}}$$

$p_0$	Luftdruck am Ansaugstutzen	[bar]
$Q_{N,Sauq}$	Ansaugleistung bei Luftdruck p <sub>0</sub>	[m³/min]
$T_0$	Lufttemperatur am Ansaugstutzen	[K]
	(Aussentemperatur)	
$p_K$	Abgabeluftdruck am Kompressor ins Druckleitungs-	[bar]
	system	
$Q_{N,K}$	Abgabeleistung des Kompressors bei Druck p <sub>K</sub>	[m³/min]
T <sub>K</sub>	Drucklufttemperatur am Kompressor	[K]
$p_V$	Betriebsdruck des Verbrauchers	[bar]
$Q_{N,V}$	D 11 (1) 1 ( 1) 1 1 1 1 1 D 1	r3/
$\mathbf{Q}_{N,V}$	Druckluftbedarf aller Verbraucher bei Druck p <sub>V</sub>	[m³/min]

Die Volumenstromgleichung lässt sich überleiten zu:

$$Q_{N,K} = Q_{N,V} \times \frac{p_V}{p_K} \times \frac{T_K}{T_V}$$
 [m³/min]

mit  $p_K = p_V + \Delta p$  ( $\Delta p$  entspricht den Druckverlusten entlang der Leitung) und  $Q_{N,V}$  (Summe des Druckluftbedarfs aller Verbraucher), hierin sind die Leistungsfaktoren  $k_i$  und  $\eta_G$  bereits berücksichtigt.



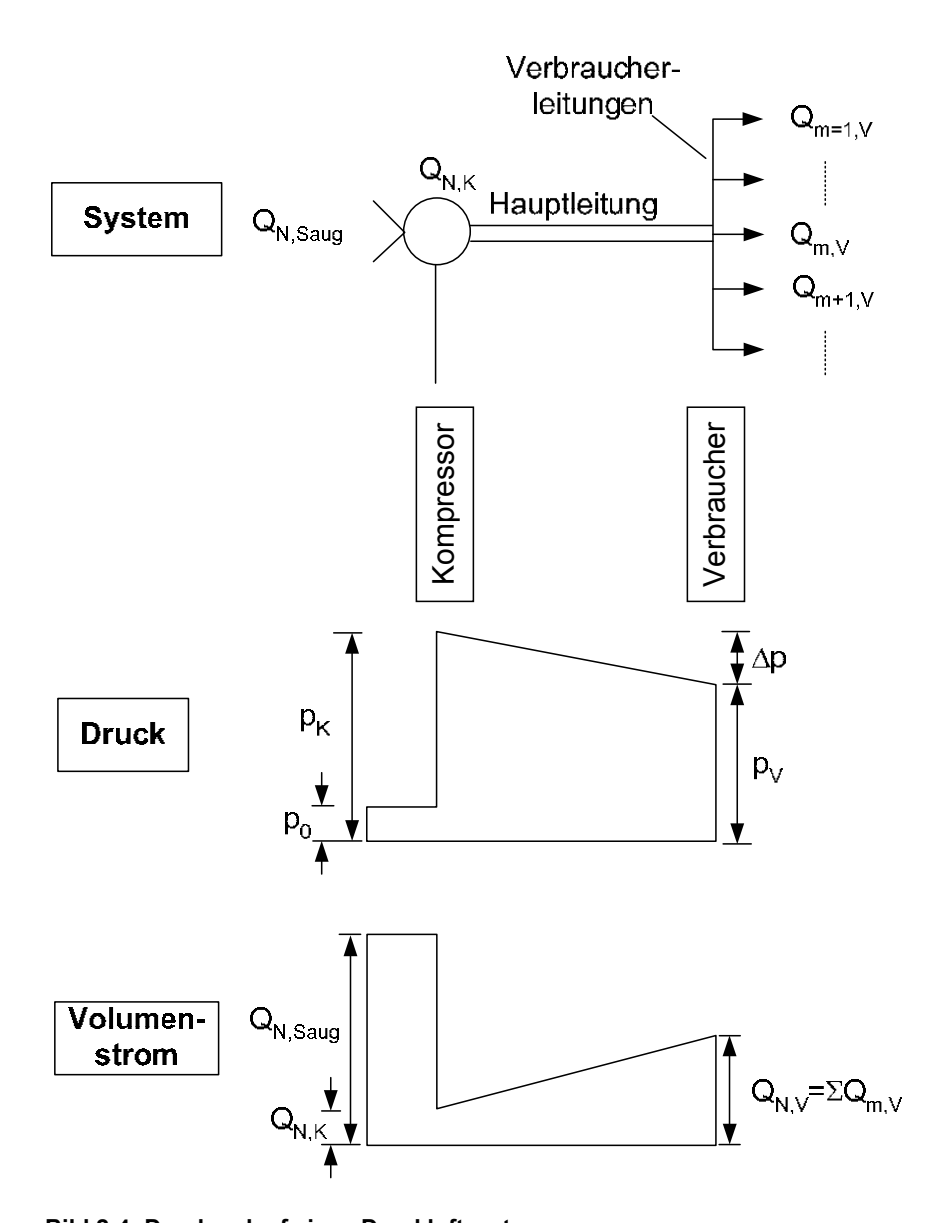


Bild 2-4: Druckverlauf eines Druckluftsystems



Der **Druckluftbedarf Q\_{N,V} [m^3/min]** aller Verbraucher setzt sich zusammen aus:

$Q_{N,V} = \sum_{m} Q_{m,V} \times \prod_{i} k_{i} \times \eta_{G}$	[m³/min]
k <sub>1</sub> = 1	[-]
$k_2 = f_p \times f_v \times f_s \times f_u$	[-]
k <sub>3</sub> = 1	[-]
$\eta_G = 1$	[-]

$Q_{N,V}$	Druckluftbedarf aller Verbraucher bei Druck p <sub>V</sub>	[m <sup>3</sup> /min]
$Q_{m,V}$	Druckluftbedarf des Verbrauchers m bei Druck p <sub>V</sub>	[m³/min]
$\mathbf{k}_1$	nicht massgebend	[-]
$k_2$	Leistungseinflussfaktor	[-]
$k_3$	nicht massgebend	[-]
$f_p$	Abweichungsfaktor des effektiven Arbeitsdrucks	[-]
$f_{v}$	Faktor zur Berücksichtigung des Verschleisses von	[-]
	Geräten und Werkzeugen	
$f_{s}$	Gleichzeitigkeitsfaktor für Betrieb mehrerer Geräte	[-]
$f_u$	Faktor zur Berücksichtigung von Verlusten durch	[-]
	undichte Leitungen	
$\eta_{G}$	Geräteausnutzungsgrad	[-]

Hieraus lassen sich die Gleichungen für die **Abgabeleistung**  $\mathbf{Q}_{N,K}$  [ $\mathbf{m}^3/min$ ] des Kompressors und die **Ansaugleistung** (Volumenstrom)  $\mathbf{Q}_{N,Saug}$  [ $\mathbf{m}^3/min$ ] bei Luftdruck  $p_0$  wie folgt darstellen:

$Q_{N,K} = Q_{N,V} \times \frac{p_V}{p_K} \times \frac{T_K}{T_V}$	[m³/min]
$Q_{N,Saug} = Q_{N,V} \times \frac{p_V}{p_0} \times \frac{T_0}{T_V}$	[m³/min]

$Q_{N,K}$	Abgabeleistung des Kompressors bei Druck p <sub>K</sub>	[m³/min]
$p_V$	Betriebsdruck des Verbrauchers	[bar]
$p_{K}$	Abgabeluftdruck am Kompressor ins Druckleitungs- system	[bar]
$T_K$	Drucklufttemperatur am Kompressor ins Druckleitungssystem	[K]
$T_V$	Drucklufttemperatur im Verbraucher	[K]
$Q_{\text{N},\text{Saug}}$	Ansaugleistung (Volumenstrom) bei Luftdruck p <sub>0</sub>	[m <sup>3</sup> /min]



p<sub>0</sub> Luftdruck am Ansaugstutzen [bar] (atmosphärischer Druck)
T<sub>0</sub> Lufttemperatur am Ansaugstutzen [K] (Aussentemperatur)

In der Praxis kann vereinfachend angenommen werden, dass die Temperaturdifferenzen innerhalb des Druckluftsystems gering sind und somit die Quotienten  $\frac{T_K}{T_V}$  bzw.  $\frac{T_0}{T_V}$  vernachlässigt werden können.

Der **Leistungseinflussfaktor k**<sub>2</sub> **[-]** setzt sich aus vier Einzelkorrekturfaktoren zusammen:

#### Abweichungsfaktor für effektiven Arbeitsdruck fp [-]

Tabelle 2-11: Abweichungsfaktor fp [-]

Druck [bar]	f <sub>p</sub> [-]
5	0.83
6	1.00
7	1.17

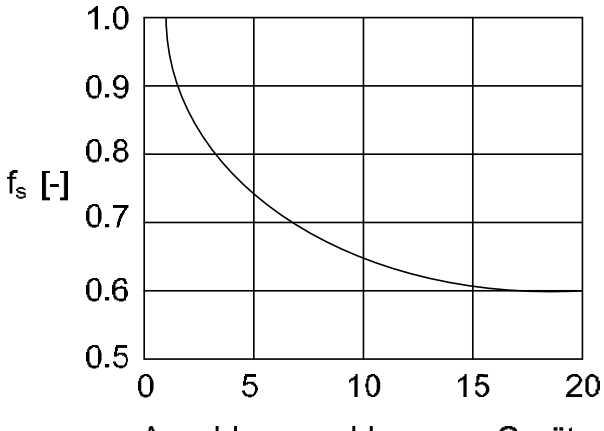
Verlustfaktor zur Berücksichtigung des Verschleisses von Geräten und Werkzeugen  $f_{\nu}$  [-]

Tabelle 2-12: Verlustfaktor f<sub>v</sub> [-]

Zustand	f <sub>v</sub> [-]
gut erhalten	1.05
ältere Geräte	1.10



#### Gleichzeitigkeitsfaktor für den Betrieb mehrerer Geräte fs [-]



Anzahl angeschlossener Geräte

Bild 2-5: Gleichzeitigkeitsfaktor f<sub>s</sub> [-] für Kompressoren [21]

# Faktor zur Berücksichtigung von Verlusten durch undichte Leitungen $f_{\rm u}$ [-]

Tabelle 2-13: Verlustfaktor fu [-] - Undichtigkeiten

Leitungszustand	f <sub>u</sub> [-]
gut	1.2 – 1.3
schlecht	nach oben
Scriecit	unbegrenzt

### Druckluftbedarf $\mathbf{Q}_{m,V}$ [m³/min] einiger Geräte

Tabelle 2-14: Druckluftbedarf Q<sub>m,V</sub> [4]

Gerät	Gewicht [kg]	Druckluftbedarf bei 6 bar Q <sub>m,V</sub> [m³/min]
	5 – 10	0.8 - 1.0
Pick- und Abbauhämmer	11 – 20	0.8 - 1.2
	21 – 40	0.2 - 4.0
Bohrhämmer	15 – 25	0.2 - 4.0
Drehschlagbohrmaschinen	80 – 110	8.0 – 10.0
Dienschlagboninaschlien	ca. 150	11.0 – 12.0



#### Bemessung der Rohrleitung

Die **inneren Verluste** Δ**p [bar]** des Druckleitungssystems durch Reibung an Einbauteilen und Rohrinnenflächen

$$\Delta p = p_{K} - p_{V}$$
 [bar]

werden oft durch äquivalente Rohrleitungslängen ausgedrückt.

#### Die **Nennlänge** L<sub>Nenn</sub> [m] kann daher wie folgt angegeben werden:

L <sub>Nenn</sub> :	$=\sum_{i}L_{i}$	[m]
$L_{Nenn}$	Nennlänge der Druckluftleitung äquivalente Rohrleitungslänge des Einbauteils i zur Berücksichtigung der Reibung	[m] [m]
i	Einbauteil in Rohrleitung	[-]

Die Nennlänge eines Druckleitungssystems setzt sich zusammen aus der wahren Länge der Rohre plus äquivalenten Rohrleitungslängen  $L_i$  für druckverzehrende Einbauteile. Die Nennlänge kann auch vereinfacht als 1.5-mal wahre Länge angenommen werden. [22]

### Äquivalente Rohrleitungslänge Li [m] für einige Einbauteile:

Tabelle 2-15: Äquivalente Rohrleitungslängen L<sub>i</sub> [m] [23]

Einbauteil i	äquivalente Rohrleitungslänge zur Berücksichtigung der Reibung L <sub>i</sub> [m]
Rohrleitung	tatsächliche Länge
Absperrventil	16
Bogen 90°	5
Bogen 30°	3
Absperrschieber	3



Die Bemessung der Druckluftleitung, z.B. Hauptleitung bzw. Leitungsabschnitte j, erfolgt mittels Bild 2-6:

[mm]
[mm]
[mm] [m] [m³/min]

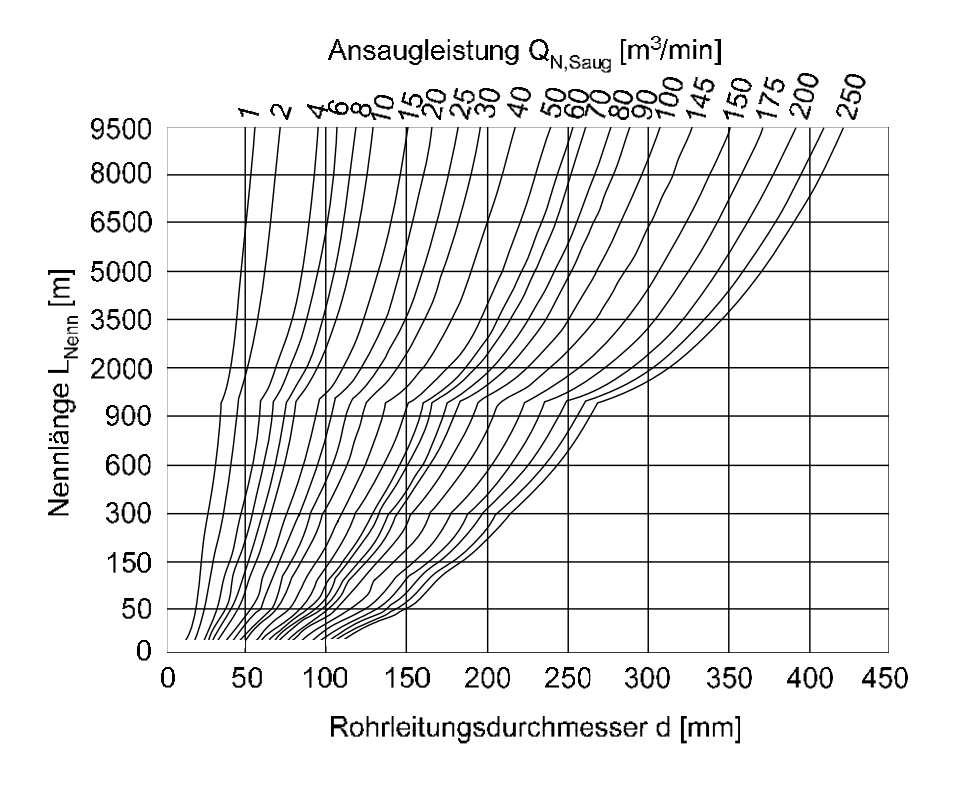


Bild 2-6: Bemessungsdiagramm für Druckleitungen [23]



### 2.5 Separationsanlagen

Die maximal anfallende Separationsmenge  $Q_{fest,i}$  [t/h] bzw. die maximal anfallende Beladung  $\mu_{fest,i}$  [t/m³] der Suspension mit Feststoffen für den definierten Korndurchmesserbereich / das Separationsintervall i ergibt sich aus:

$\boxed{ Q_{\text{fest,i}} = \Delta s_i \times \rho_b \times Q_0^{\text{max}} }$	[t/h]
$\mu_{\text{fest,i}} = \Delta s_{\text{i}} \times \left( \frac{Q_{\text{0}}^{\text{max}} \times \rho_{\text{b}}}{Q_{\text{F}}} \right)$	[t/m <sup>3</sup> ]

$Q_{\text{fest,i}}$	anfallende Separationsmenge für das Separations- intervall i	[t/h]
$\Delta \mathbf{s}_{i}$	maximal anfallende Gewichtsprozente der separierbaren Böden im Separationsintervall i	[Gew%]
$ ho_{b}$	Dichte des abzubauenden Bodens (ungestört)	[t/fm <sup>3</sup> ]
$Q_0^{\text{max}}$	maximaler Materialanfall (Abbauleistung z.B. der TVM)	[fm <sup>3</sup> /h]
$\mu_{\text{fest},i}$	maximale Beladung der Suspension mit Feststoffen des Separationsintervalls i	[t/m <sup>3</sup> ]
$Q_{F}$	Trägermediummenge vor Aufgabe des Abbaumaterials (Fördermenge der unbeladenen Förder-	[m³/h]
i	flüssigkeit) Separationsintervall	[-]

Die erforderliche Separationsleistung ist abhängig von:

- der Sieblinie des abzubauenden Bodens
- der Förderleistung der Pumpeinrichtung zur Abförderung des Abbaumaterials (Aufgabemenge)
- dem Beladungsverhältnis der Suspension
- · der Dichte des Bodens



# Maximal anfallende Gewichtsprozente des Bodens im Separations-intervall i $\Delta s_i$ [Gew.-%]

$\Delta s_i = \max \{ \Delta s_{i,j} \}$ aller j	[Gew%]
$\Delta s_{i,j} = \max \ s_{i,j} - \min \ s_{i,j}$	[Gew%]

-		
$\Delta s_i$	maximal anfallende Gewichtsprozente der separierbaren Böden im Separationsintervall i, aller betrachteten Sieblinien j	[Gew%]
$\Delta \textbf{S}_{\textbf{i},\textbf{j}}$	Gewichtsprozente der Sieblinie j im Separationsintervall i	[Gew%]
$\text{max } s_{i,j}$	maximaler Massenanteil der Sieblinie j im Separationsintervall i	[Gew%]
$min\ s_{i,j}$	minimaler Massenanteil der Sieblinie j im Separationsintervall i	[Gew%]
i	Separationsintervall	[-]
j	Sieblinie (z.B. bei in verschiedenen Abschnitten des Tunnellängsprofils auftretenden Bodenschichten)	[-]

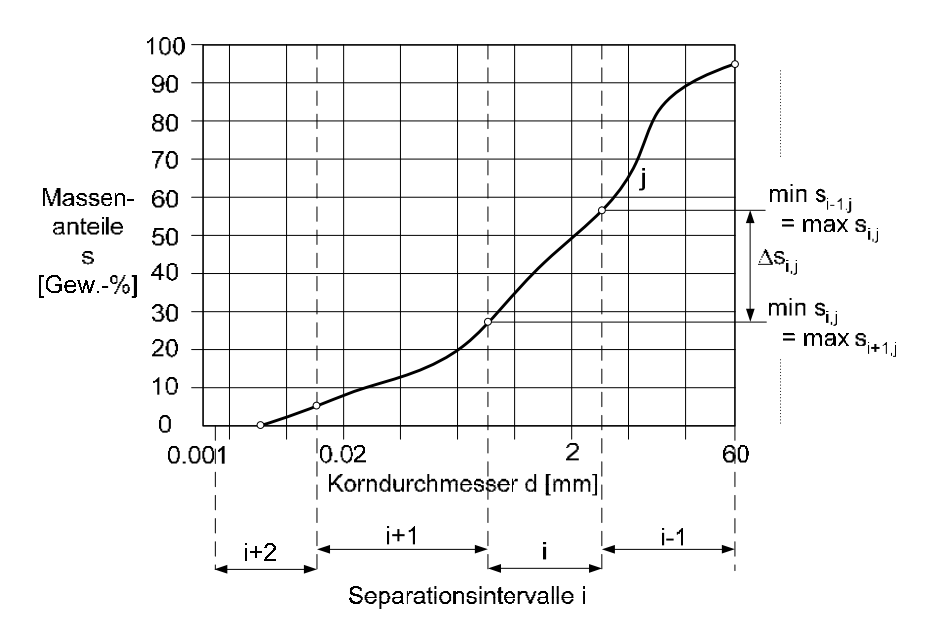


Bild 2-7: Darstellung einer Sieblinie j zur Erklärung der verwendeten Begriffe



Beispiel zur Bestimmung der Gewichtsprozente  $\Delta s_{i,j}$  des Separationsintervalls i des anfallenden Bodens in den Sieblinien j und den maximal anfallenden Gewichtsprozenten  $\Delta s_i$  aller anfallenden Böden

Es wird eine Tunnelbaumassnahme mit idealisierten Schichtgrenzen zwischen den Böden gleicher Sieblinie betrachtet.

Für jeden Bereich der Baumassnahme lässt sich eine repräsentative Sieblinie darstellen. Die Sieblinien werden in die Separationsintervalle aufgeteilt. Aus den Schnittpunkten der Sieblinien mit den Grenzen der Separationsintervalle lassen sich die Massenanteile max  $\mathbf{s}_{i,j}$  bzw. min  $\mathbf{s}_{i,j}$  der verschiedenen Separationsintervalle und Sieblinien ablesen; hier im Beispiel dargestellt für das Separationsintervall 2 der Sieblinie C, max  $\mathbf{s}_{2,C}$  und min  $\mathbf{s}_{2,C}$ .

Die Gewichtsprozente der Sieblinie j im Separationsintervall i  $\Delta s_{i,j}$  ergeben sich somit aus der Differenz des maximalen und des minimalen Massenanteils der Sieblinie j im Separationsintervall i.

 $\Delta s_{i,i} = \max s_{i,i} - \min s_{i,i}$  hier dargestellt für die Sieblinie C

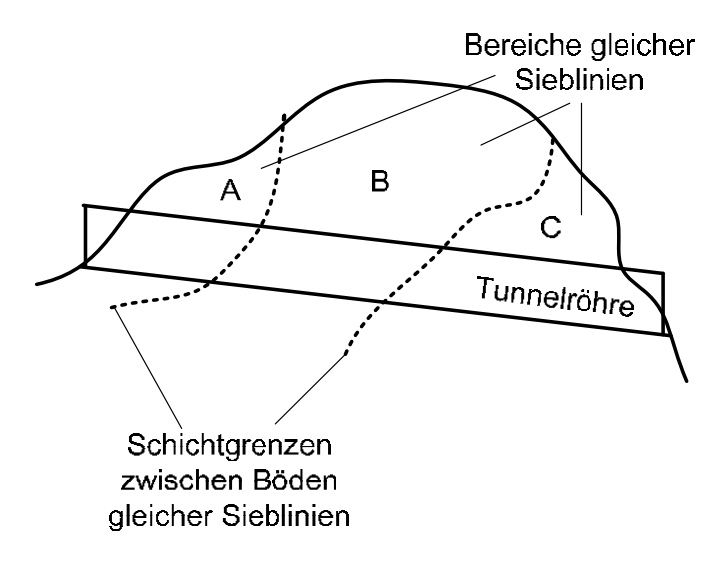


Bild 2-8: Beispiel einer Tunnelröhre in verschiedenen Böden



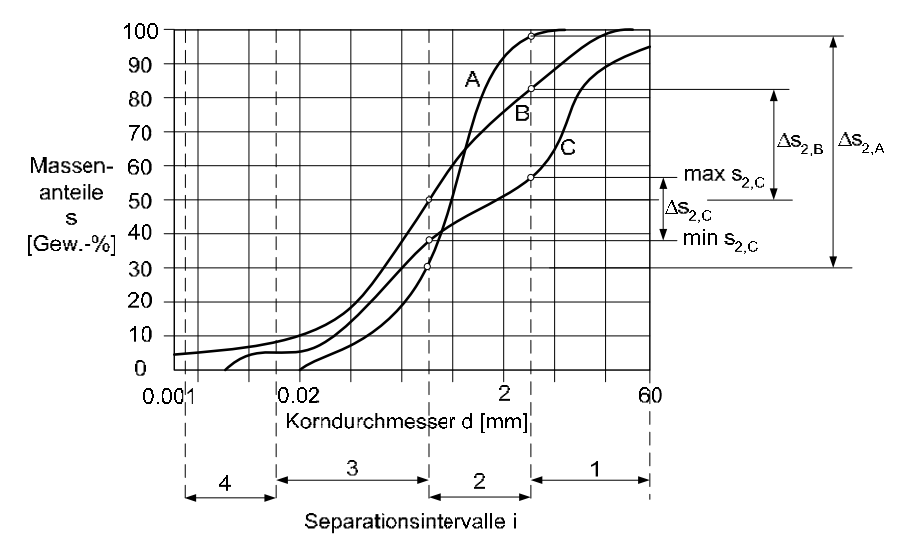


Bild 2-9: Sieblinien der anfallenden Böden mit Bestimmung der Gewichtsprozente

$$\Delta s_{2,A} = max \ s_{2,A} - min \ s_{2,A} = 98 - 30 = 68 \ Gew.-\%$$
  
 $\Delta s_{2,B} = max \ s_{2,B} - min \ s_{2,B} = 83 - 50 = 33 \ Gew.-\%$   
 $\Delta s_{2,C} = max \ s_{2,C} - min \ s_{2,C} = 57 - 38 = 19 \ Gew.-\%$ 

Die maximal anfallenden Gewichtsprozente des Bodens im Separations-intervall 2 (dies ist gleichbedeutend mit dem Intervall zwischen der maximalen Korngrösse von ca. 3 mm und der minimalen Korngrösse von ca. 0.1 mm),  $\Delta s_2$ , während der gesamten Baumassnahme ergibt sich aus dem Maximum aller zuvor bestimmten  $\Delta s_{2,j}$  der anfallenden Böden der Sieblinien j:

$$\Delta s_2 = \max \{\Delta s_{2,A}; \Delta s_{2,B}; \Delta s_{2,C}\} = \Delta s_{2,A} = 68 \text{ Gew.-}\%$$

Dies bedeutet, dass im Bereich A der Baumassnahme mit dem grössten Anteil von zu separierenden Böden des Separationsintervalls 2 zu rechnen ist und daher die Aggregate für die Separationsstufe 2 (0.1 – 3 mm) der Separationsanlage für diese Mengen ausgelegt werden müssen.



Die Separationsleistung der Separationsstufe 2 (Mitteltrennung I) muss somit wie folgt dimensioniert werden:

$$Q_{\text{fest,2}} = \Delta s_{2,A} \times \rho_b \times Q_0^{\text{max}}$$
 [t/h]

### Definition: Beladungsverhältnis $\mu_{fest}$ [t/m<sup>3</sup>]

Das Beladungsverhältnis der Förderflüssigkeiten entspricht der Masse des geförderten Feststoffs  $Q_F \times \rho_b$  [t/h] pro Volumeneinheit des Trägermediums  $Q_F$  [m³/h].

#### Berechnung der erforderlichen Separationsleistung

Es werden die Anteile der verschiedenen Separationsintervalle i der gesamten Sieblinie berechnet. Die Festlegung der verschiedenen Trennschnitte  $d_T$  der Separationsintervalle i sollte mit den einzelnen Klassifizierungsschritten der Separationsanlage (herstellerbedingt) korrelieren. Im Allgemeinen gelten folgende Trennschnitt-Korngrössen und die sich daraus ergebenden Separationsintervalle:

Tabelle 2-16: Einteilung möglicher Separationsintervalle nach [24]

Klassifizierung	Trennschnitt d <sub>⊤</sub> [mm]	Separations- intervalle i [-]	Spannweite Sepa- rationsintervall [mm]
Grobtrennung	> 3	1	> 3
Mitteltrennung I	> 0.1	2	3 – 0.1
Mitteltrennung II	> 0.03	3	0.1 - 0.03
Feintrennung	> 0.005	4	0.03 - 0.005

#### **Dimensionierung**

Die einzelnen Anlageelemente der jeweiligen Separationsstufen werden nach den anfallenden Feststoffmengen je Separationsstufe i bemessen. Die Grösse und Anzahl der Anlageelemente je Separationsstufe ergibt sich aus dem Vergleich der erforderlichen Leistung (anfallende Menge  $Q_{\text{fest,i}}$ ) mit den entsprechenden Leistungsangaben  $Q_{\text{fest,i,Gerät}}^{\text{zul}}$  der Hersteller:

$$Q_{fest,i}$$
 <  $Q_{fest,i,Gerät}^{zul}$  für alle i-Separationsstufen



Ferner muss für das Gesamtsystem gelten:

$$\rho_b \times Q_0^{\text{max}} \leq \sum Q_{\text{fest,i,Gerät}}^{\text{zul}}$$

Maximaler Feststoffdurchsatz des Separationssystems, bestehend aus den Separationsleistungen der einzelnen Anlageelemente der Separationsstufen

Manche Hersteller geben auch die maximale Beladung  $\mu_{fest,i,Gerät}^{zul}$  [t/m³] der einzelnen Anlageelemente der Separationsstufen für die Dimensionierung an. Für alle Anlageelemente und somit Separationsintervalle muss gelten:

 $\mu_{\text{fest,i}} < \mu_{\text{fest,i,Ger\"{a}t}}^{\text{zul}}$  für alle i-Separationsstufen

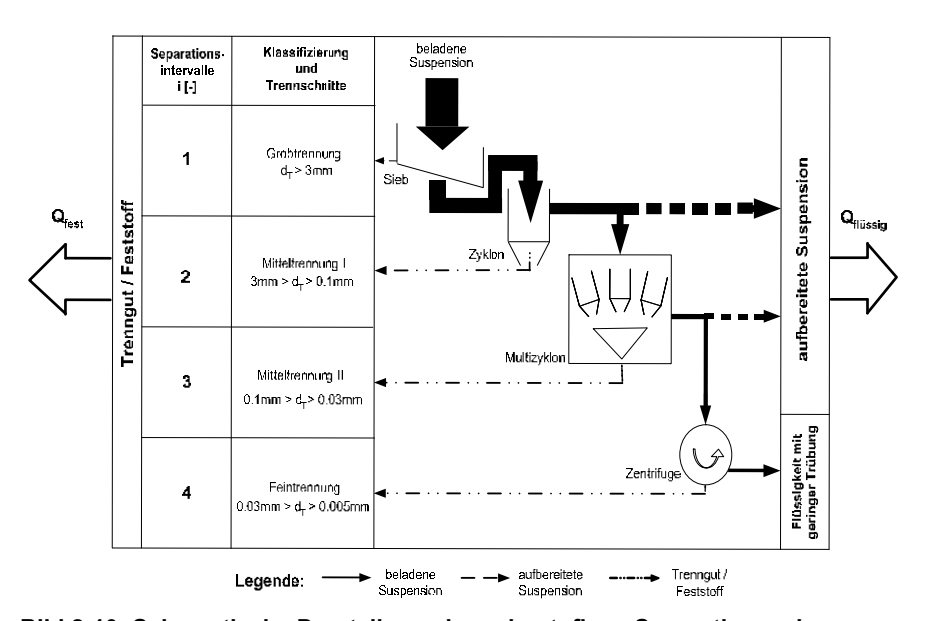


Bild 2-10: Schematische Darstellung einer vierstufigen Separationsanlage

## 3 Erdbaugeräte

Hydraulikbagger
Radlader
Kettenlader (Laderaupe)
Planiergeräte:
 Rad- und Raupenplaniergeräte
 Scraper
 Grader
Verdichtungsgeräte



### 3.1 Hydraulikbagger

### Nutzleistung Q<sub>N</sub> [fm³/h] eines Hydraulikbaggers

$Q_{N} = \frac{V_{\text{SAE}}}{t_{\text{S}}} \times 3600 \times k_{1} \times k_{2} \times k_{3} \times \eta_{\text{G}}$	[fm³/h]
$\mathbf{k}_1 = \mathbf{\alpha} \times \mathbf{\Phi}$	[-]
$\mathbf{k}_2 = \mathbf{f}_1 \times \mathbf{f}_2 \times \mathbf{f}_3 \times \mathbf{f}_4 \times \mathbf{f}_5$	[-]
$\mathbf{k}_3 = \mathbf{\eta}_1 \times \mathbf{\eta}_2$	[-]

$Q_N$	Nutzleistung	[fm³/h]
$V_{SAE}$	Nenninhalt des Grabgefässes gemäss SAE	[m <sup>3</sup> ]
ts	Spielzeit	[s]
α	Lösefaktor	[fm <sup>3</sup> /lm <sup>3</sup> ]
φ	Füllfaktor	[-]
$\eta_1$	Bedienungsfaktor	[-]
$\eta_2$	Betriebsbedingungen	[-]
$f_1$	Einfluss Grabentiefe bzw. Abbauhöhe	[-]
$f_2$	Schwenkwinkeleinflussfaktor	[-]
$f_3$	Entleerungsgenauigkeitsfaktor	[-]
$f_4$	Schneiden-/Zahnzustandsfaktor	[-]
$f_5$	Verfügbarkeits-/Gerätezustandsfaktor	[-]
$k_1$	Ladefaktor	[-]
$k_2$	Leistungseinflussfaktor	[-]
$k_3$	Betriebsbeiwert	[-]
$\eta_{G}$	Geräteausnutzungsgrad	[-]



Für den Hydraulikbagger steht neben dem Tieflöffel, dem Hochlöffel bzw. der Ladeschaufel und dem Greifer eine Vielzahl weiterer Arbeitseinrichtungen zur Verfügung.

Bei Grabungsarbeiten unterhalb der Aufstandsfläche des Baggers, z.B. bei Gräben, finden vor allem der Tieflöffel und der Teleskopgreifer Anwendung. Der Bagger arbeitet dann mit seinem kinematischen Ausleger von oben und bewegt sich rückwärts. Steht er hingegen vor einer abzugrabenden Böschung auf der Aushubsohle, so kommen entweder der Hochlöffel, die Ladeschaufel oder auch die Klappschaufel zum Einsatz. Der Bagger arbeitet dabei mit seinem kinematischen Ausleger stets von unten nach oben sowie vom Gerät weg und bewegt sich im Verlauf des Arbeitsfortschrittes vorwärts.

#### Spielzeit ts [s]

Die Spielzeit setzt sich zusammen aus dem Füllen des Löffels, dem Heben und Schwenken zum Entladeort, dem Entleeren des Löffels und dem Rückschwenken und Senken zum Beladeort. Um hier eine Vereinheitlichung der Zeiten zu erhalten, wird die Spielzeit unter gewissen optimalen technischen Normbedingungen gemessen: ungestörter Einsatz, Entladen auf Halde, Schwenkwinkel 90°, pausenlose Arbeit, eingearbeiteter Baggerführer, günstige Abbauhöhe [5], [6]. Ausserdem ist die Spielzeit von der zu grabenden und ladenden Bodenart abhängig, so dass der Vorgang des Füllens des Löffels beträchtlichen Zeitschwankungen unterworfen ist.

Teilzeiten im Arbeitsspiel eines Baggers:

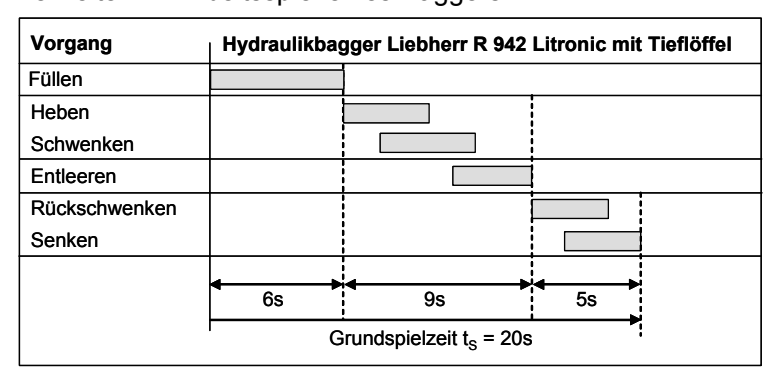


Bild 3-1: Spielzeit  $t_S$  eines Hydraulikbaggers Liebherr R 942 Litronic mit Tieflöffel nach [5] unter optimalen technischen Bedingungen



#### Systemgerechter Hydraulikbaggereinsatz

Der systemgerechte Einsatz von Hydraulikbaggern setzt folgende Randbedingungen voraus:

- günstige Anschnitthöhe h<sub>qün</sub> (Grabentiefe/Abbauhöhe zu Stiellänge)
- kleinstmöglicher Schwenkwinkel < 90°</li>
- Fördermittel soll in der Regel auf der Baggersohle stehen
- Abstimmung der Fördermittelgrösse auf die Grabgefässgrösse
- Schnittaufteilung (optimale Bestreichfläche des Löffels) ohne ungünstige Restschnitte und mit guter Möglichkeit des Abtransports
- Minimierung der Baggerfortbewegung (Standortwechsel)
- Rundfahrbetrieb der Transportfahrzeuge, kontinuierliches Baggern
- Maximalleistungen bei Baggern werden erfahrungsgemäss erzielt, wenn der Schnitt (Bestreichfläche des Löffels) mit 75 % der konstruktiv möglichen Daten [6] angelegt und somit die optimale Schnitthöhe erreicht wird.

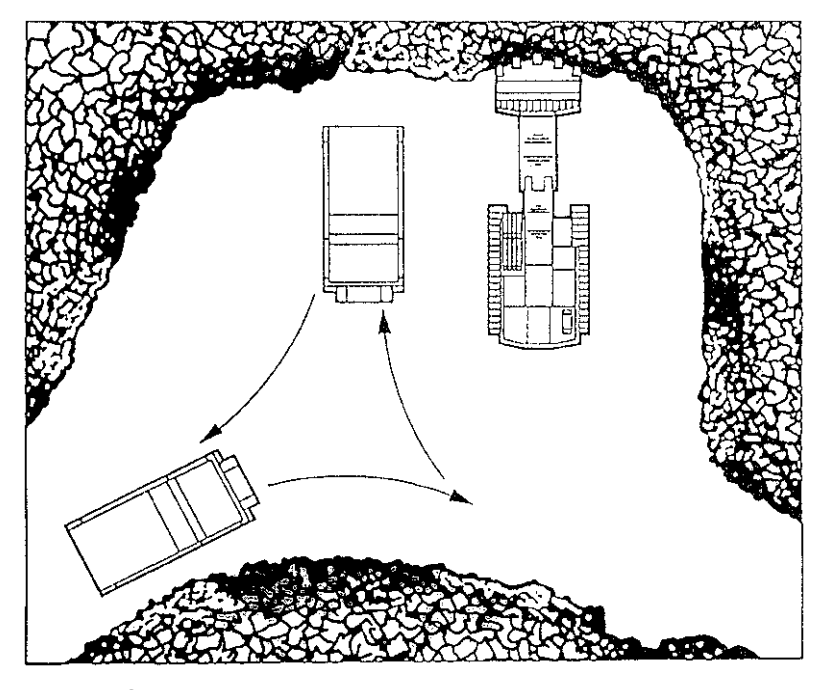


Bild 3-2: Optimaler Einsatz Bagger - LKW [6]



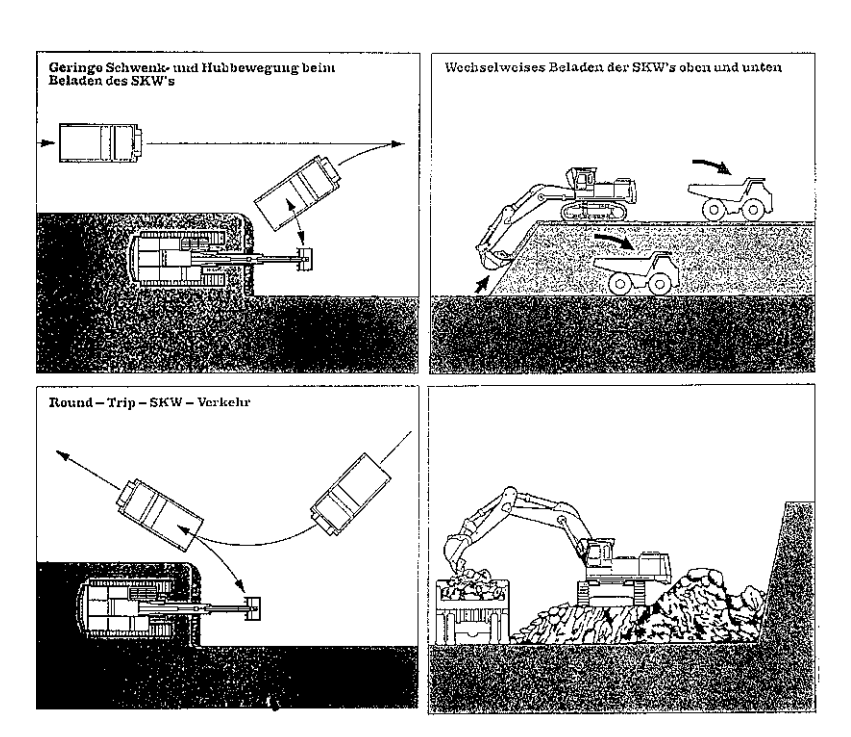
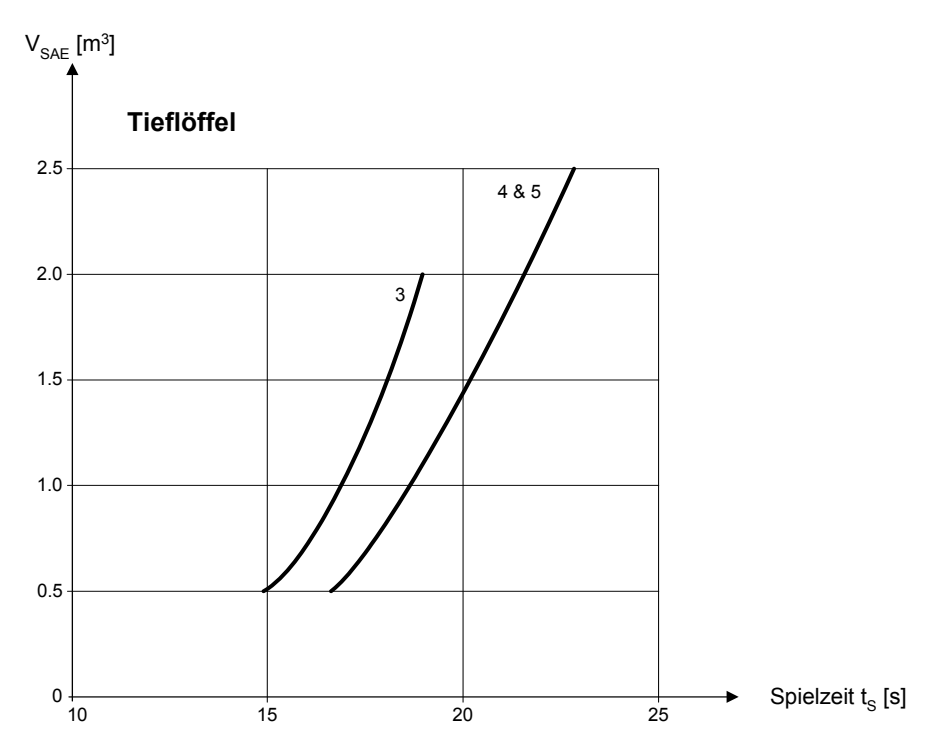


Bild 3-3: Ideale Tieflöffeleinsätze [6]

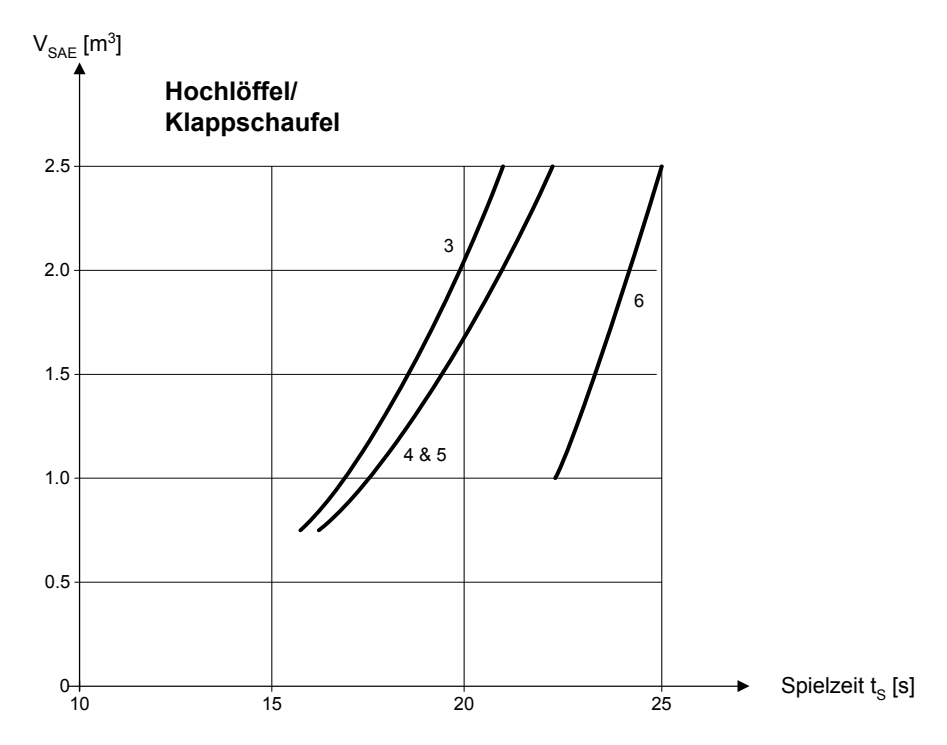




- 3 Leicht lösbare Bodenarten
- 4 Mittelschwer lösbare Bodenarten
- 5 Schwer lösbare Bodenarten

Bild 3-4: Spielzeit  $t_S$  [s] von Baggern mit Tieflöffel in verschiedenen Bodenarten in Anlehnung an die DIN 18300 nach [25], [26]





- 3 Leicht lösbare Bodenarten
- 4 Mittelschwer lösbare Bodenarten
- 5 Schwer lösbare Bodenarten
- 6 Leicht lösbarer Fels und vergleichbare Bodenarten

Bild 3-5: Spielzeit  $t_S$  [s] von Baggern mit Hochlöffel/Klappschaufel in verschiedenen Bodenarten in Anlehnung an die DIN 18300 nach [25], [26]

## Radlader



### 3.2 Radlader

### Nutzleistung Q<sub>N</sub> [fm³/h] eines Radladers

$Q_{N} = \frac{V_{SAE}}{t_{S}} \times 3600 \times k_{1} \times k_{2} \times k_{3} \times \eta_{G}$	[fm <sup>3</sup> /h]
$\mathbf{k}_1 = \alpha \times \varphi$	[-]
$\mathbf{k}_2 = \mathbf{f}_2 \times \mathbf{f}_3 \times \mathbf{f}_4 \times \mathbf{f}_5$	[-]
$k_3 = \eta_1 \times \eta_2$	[-]

$Q_N$	Nutzleistung	[fm <sup>3</sup> /h]
$V_{SAE}$	Nenninhalt des Ladegefässes gemäss SAE	[m <sup>3</sup> ]
$t_{S}$	Spielzeit	[s]
α	Lösefaktor	[fm <sup>3</sup> /lm <sup>3</sup> ]
φ	Füllfaktor	[-]
$\dot{\eta}_1$	Bedienungsfaktor	[-]
$\eta_2$	Betriebsbedingungen	[-]
$f_2$	Fahrwegfaktor	[-]
$f_3$	Entleerungsgenauigkeitsfaktor	[-]
$f_4$	Schneiden-/Zahnzustandsfaktor	[-]
$f_5$	Verfügbarkeits-/Gerätezustandsfaktor	[-]
$\mathbf{k}_1$	Ladefaktor	[-]
$k_2$	Leistungseinflussfaktor	[-]
$k_3$	Betriebsbeiwert	[-]
$\eta_{G}$	Geräteausnutzungsgrad	[-]

## Radlader



#### Spielzeit t<sub>s</sub> [s]

$$t_{S} = t_{S0} + t_{F} + \Delta t$$
 [s]

Die Spielzeit des Radladers [6], [7] kann unterteilt werden in:

- t<sub>S0</sub> Grundspielzeit: Beinhaltet Laden, Auskippen, vier Fahrtrichtungswechsel und die kleinstmögliche Fahrstrecke. Die Grundspielzeit kann je nach Grösse des Radladers mit Knicklenkung zwischen 27 und 33 Sekunden angenommen werden (Bild 8-7).
- t<sub>F</sub> Fahrzeit: Beinhaltet die für die Fahrstrecke benötigte Zeit bei Hin- und Rückfahrt ausserhalb des in Bild 8-7 dargestellten Manöverbereichs. In den Handbüchern von Liebherr [6] und Caterpillar [7] sind zu den einzelnen Radladertypen Diagramme der Fahrzeit der Hin- und Rückfahrt vorhanden.
- Δt Änderung der Spielzeit: Entsteht durch Abweichungen von den Normbedingungen der Grundspielzeit gemäss Tabelle 3-1.

## Radlader



Tabelle 3-1: Änderung der Spielzeit ∆t [s] eines Radladers nach [7]

Gerät		∆t [s]
	mit Materialumschlagausrüstung	- 3.0
Material		
	gemischt	+ 1.2
	< 3 mm	+ 1.2
	3 mm – 20 mm	- 1.2
	20 mm – 150 mm	0.0
	> 150 mm	+ 1.8 und mehr
	gewachsene Wand oder	
	gebrochenes Gestein	+2.4 und mehr
Haufwe	rk	
	mit Förderband oder Dozer auf	
	min. 3 m angehäuft	0.0 und mehr
	mit Förderband oder Dozer auf	
	max. 3 m angehäuft	+ 0.6 und mehr
	mit LKW geschüttet	+1.2 und mehr
Verschi	edenes	
	LKW und Lader im gleichen Besitz	bis zu - 2.4
	LKW im Fremdbesitz	bis zu +2.4
	ständiger Betrieb	bis zu - 2.4
	zeitweiliger Betrieb	bis zu +2.4
	kleine Abladefläche	bis zu +2.4
	besondere Sorgfalt beim Abladen	bis zu + 3.0

# **Kettenlader (Laderaupe)**



## 3.3 Kettenlader (Laderaupe)

### Nutzleistung Q<sub>N</sub> [fm³/h] eines Kettenladers

$Q_{N} = \frac{V_{\text{SAE}}}{t_{\text{S}}} \times 3600 \times k_{1} \times k_{2} \times k_{3} \times \eta_{\text{G}}$	[fm³/h]
$\mathbf{k}_1 = \alpha \times \mathbf{\varphi}$	[-]
$\mathbf{k}_2 = \mathbf{f}_2 \times \mathbf{f}_3 \times \mathbf{f}_4 \times \mathbf{f}_5$	[-]
$k_3 = \eta_1 \times \eta_2$	[-]

$Q_N$	Nutzleistung	[fm³/h]
$V_{SAE}$	Nenninhalt des Ladegefässes gemäss SAE	[m <sup>3</sup> ]
ts	Spielzeit	[s]
α	Lösefaktor	[fm <sup>3</sup> /lm <sup>3</sup> ]
φ	Füllfaktor	[-]
$\eta_1$	Bedienungsfaktor	[-]
$\eta_2$	Betriebsbedingungen	[-]
$f_2$	Fahrwegfaktor	[-]
$f_3$	Entleerungsgenauigkeitsfaktor	[-]
$f_4$	Schneiden-/Zahnzustandsfaktor	[-]
$f_5$	Verfügbarkeits-/Gerätezustandsfaktor	[-]
$k_1$	Ladefaktor	[-]
$k_2$	Leistungseinflussfaktor	[-]
$k_3$	Betriebsbeiwert	[-]
$\eta_{G}$	Geräteausnutzungsgrad	[-]

## **Kettenlader (Laderaupe)**



#### Spielzeit ts [s]

$$t_S = t_L + t_M + t_F + t_E + \Delta t$$
 [s]

Die Spielzeit des Kettenladers [6], [7] kann unterteilt werden in:

- **t**<sub>L</sub> Ladezeit: Ist abhängig von der Art des Bodens.
- t<sub>M</sub> Manövrierzeit: Umfasst die Basisfahrzeit mit vier Richtungsänderungen und die Wendezeit.
- **t**<sub>F</sub> **Fahrzeit**: Beinhaltet die für die Fahrstrecke benötigte Zeit bei Hin- und Rückfahrt.
- **t**<sub>F</sub> **Entladezeit:** Wird von der Grösse der Entladestelle bestimmt.
- Δt Änderung der Spielzeit

Tabelle 3-2: Ladezeit t<sub>L</sub> [s] nach [7]

Material	t∟ [s]
gleichmässige Gesteinsmischung	1.8 - 3.0
feuchte, ungleichmässige Gesteinsmischung	1.8 - 3.6
feuchter Lehm	2.4 - 4.2
Erde, Steine, Wurzeln	2.4 - 12.0
stark bindige Materialien	6.0 - 12.0
zementgebundenes Material, gebrochener Fels	3.0 - 12.0

#### Manövrierzeit t<sub>M</sub> [s]

Die Manovrierzeit beträgt bei voller Motorleistung und einem guten Fahrer 12 Sekunden.

#### Fahrzeit t<sub>F</sub> [s]

Die Handbücher von Liebherr [6] und Caterpillar [7] enthalten Diagramme der Fahrzeit der Hin- und Rückfahrt zu den einzelnen Kettenladertypen.

# **Kettenlader (Laderaupe)**



### Entladezeit t<sub>E</sub> [s]

Die Entladezeit beträgt zwischen 0 und 6 Sekunden. Typische Werte für die Entladezeiten beim Beladen von LKWs liegen bei 2.5 bis 4.0 Sekunden.

Tabelle 3-3: Änderung der Spielzeit ∆t [s] nach [7] - Kettenlader

Material	∆t [s]
gemischt	+ 1.2
< 3 mm	+ 1.2
3 mm – 20 mm	- 1.2
20 mm – 150 mm	0.0
> 150 mm	+2.0 und mehr
gewachsene Wand oder	
gebrochenes Gestein	+2.5 und mehr
Haufwerk	
mit Förderband oder Dozer auf	
min. 3 m angehäuft	0.0
mit Förderband oder Dozer auf	
max. 3 m angehäuft	+ 0.6
mit LKW geschüttet	+ 1.2
Verschiedenes	
LKW und Lader im gleichen Besitz	bis zu - 2.5
LKW im Fremdbesitz	bis zu +2.5
ständiger Betrieb	bis zu - 2.5
zeitweiliger Betrieb	bis zu +2.5
kleine Abladefläche	bis zu +2.5
besondere Sorgfalt beim Abladen	bis zu +3.0



### 3.4 Planiergeräte

# Rad- und Raupenplaniergeräte, Scraper, Grader Berechnungsalternative A

### Grundschubleistung $\tilde{\mathbf{Q}}_0$ [Im<sup>3</sup>/h]

$$\widetilde{Q}_{0}(w) = \frac{V_{P100}}{t_{U}} \times 60 \times \varphi \times f_{w}(w)$$
 [Im<sup>3</sup>/h]

 $V_{P100} = (0.5 \div 0.8) \times h^2 \times b$ 

[lm<sup>3</sup>]

 $\widetilde{Q}_0(w)$  Grundschubleistung entfernungsabhängig, loses Ma- [lm³/h] terial (Bild 3-6)

# Nutzleistung (Dauerleistung) $\tilde{Q}_{PN}$ [Im³/h] bezogen auf die Verteilung von losem Schüttmaterial:

$$\widetilde{Q}_{PN}(w) = \frac{V_{P100}}{t_U} \times 60 \times \phi \times k_2(w) \times k_3 \times \eta_G \qquad \qquad [\text{Im}^3/\text{h}]$$

$$\widetilde{Q}_{PN}(w) = \frac{V_{P100}}{t_U} \times 60 \times \phi \times f_w(w) \times f_{1P} \times f_{2P} \times f_3(\beta) \times f_4 \times f_5 \times k_3 \times \eta_G$$

$$[Im^3/h]$$

mit:

$$k_2 = \prod_{i=1}^{5} f_i = f_{1P} \times f_{2P} \times f_3(\beta) \times f_4 \times f_5$$
 [-]

$$k_2(w) = \prod_{i=1}^{5} f_i \times f_w(w) = k_2 \times f_w(w)$$
 [-]

$$k_3 = \prod_{i=1}^2 \eta_i \cong 0.7$$
 [-]



folgt:

$\widetilde{Q}_{PN}(w) = \widetilde{Q}_{0}(w) \times \prod_{i=1}^{5} f_{i} \times \prod_{i=1}^{2} \eta_{i} \times \eta_{G}$	[lm³/h]
$\widetilde{Q}_{PN}(w) = \widetilde{Q}_{0}(w) \times k_{2} \times k_{3} \times \eta_{G}$	[lm³/h]

$\widetilde{Q}_{PN}$	Nutzleistung loses Material	[lm³/h]
$\tilde{Q}^{\circ}(M)$	Grundschubleistung entfernungsabhängig, loses Material (Bild 3-6)	[lm <sup>3</sup> /h]
$V_{P100}$	Schildschubkapazität	[lm³]
$t_{U}$	Umlaufzeit	[min]
φ	Füllungsgrad des Schildes	[-]
$k_2(w)$	Leistungseinflussfaktor	[-]
$k_3$	Betriebsbeiwert	[-]
$\eta_{G}$	Geräteausnutzungsgrad	[-]
b	Breite des Schildes	[m]
h	Höhe des Schildes	[m]
W	Förderstrecke	[m]
f <sub>1P</sub>	Schubbahnenfaktor (Schiebefaktor)	[-]
$f_{2P}$	Schildarteinflussfaktor (Schildeinrichtung)	[-]
$f_3(\beta)$	Steigungsfaktor	[-]
$f_4$	Schneiden-/Zahnzustandsfaktor	[-]
$f_5$	Verfügbarkeits-/Gerätezustandsfaktor	[-]
$f_w(w)$	entfernungsabhängiger Leistungsfaktor	[-]
$\eta_1$	Bedienungsfaktor 0.75 – 1.00	[-]
$\eta_2$	Betriebsbedingungen	[-]

### Nutzleistung (Dauerleistung) Q<sub>PN</sub> [fm³/h] bezogen auf Festmaterial:

$Q_{PN}(w) = \frac{V_{P100}}{t_U} \times 60 \times \phi \times \alpha \times k_2(w) \times k_3 \times \eta_G$	[fm <sup>3</sup> /h]
$Q_{PN}(w) = \widetilde{Q}_0(w) \times \alpha \times k_2 \times k_3 \times \eta_G$	[fm <sup>3</sup> /h]

 $\alpha$  Lösefaktor des zu lösenden Materials [fm<sup>3</sup>/lm<sup>3</sup>]



[m/min]

[m/min]

[m]

#### Umlaufzeit t<sub>u</sub> [min]

$t_{U} = t_{H} +$	- t <sub>R</sub>	[min]
$t_{H} = \frac{I_{H}}{v_{H}};$	$t_{R} = \frac{I_{R}}{v_{R}}$ [mi	n]
Q <sub>PN</sub> (w)	Nutzleistung (Dauerleistung) bezogen auf Festmaterial	[fm³/h]
t <sub>H</sub>	Hinfahrzeit unter Last, Verteilen des von den LKW abgeladenen Materials	[min]
$t_R$	Rückfahrzeit	[min]
I <sub>H</sub>	Schub-/Fahrentfernung	[m]

### Grundschubleistung $\widetilde{Q}_0(w)$ [Im<sup>3</sup>/h]

Schub-/Fahrgeschwindigkeit

Fahrgeschwindigkeit auf der Rückfahrt

Strecke der Rückfahrt

Die Handbücher von Liebherr [6] und Caterpillar [7] enthalten Diagramme der maximalen Schubleistung (Einheit: Kubikmeter loses Material pro Stunde). Sie basieren auf folgenden Normbedingungen:

- 100 % Nutzung des Geräts
- keine Steigung

۷н

 $I_R$ 

 $V_R$ 

- Die Planierraupe schneidet 15 m weit an und schiebt die Schildfüllung zur Entleerung über eine steil abfallende Wand
- spezifisches Schüttgewicht 1400 kg/lm³
- Zugkraftkoeffizient 0.5 und grösser
- hydraulisch betätigte Planiereinrichtungen

Für die Berechnung der Leistung in Festkubikmeter muss die maximale Schubleistung mit dem Lösefaktor multipliziert werden.

Um die maximale Schubleistung zu erhalten, benötigt man für die Diagramme die durchschnittliche Länge der Abschubstrecke und den Modelltyp der Planierraupe (Leistung) mit dem entsprechenden Schild.



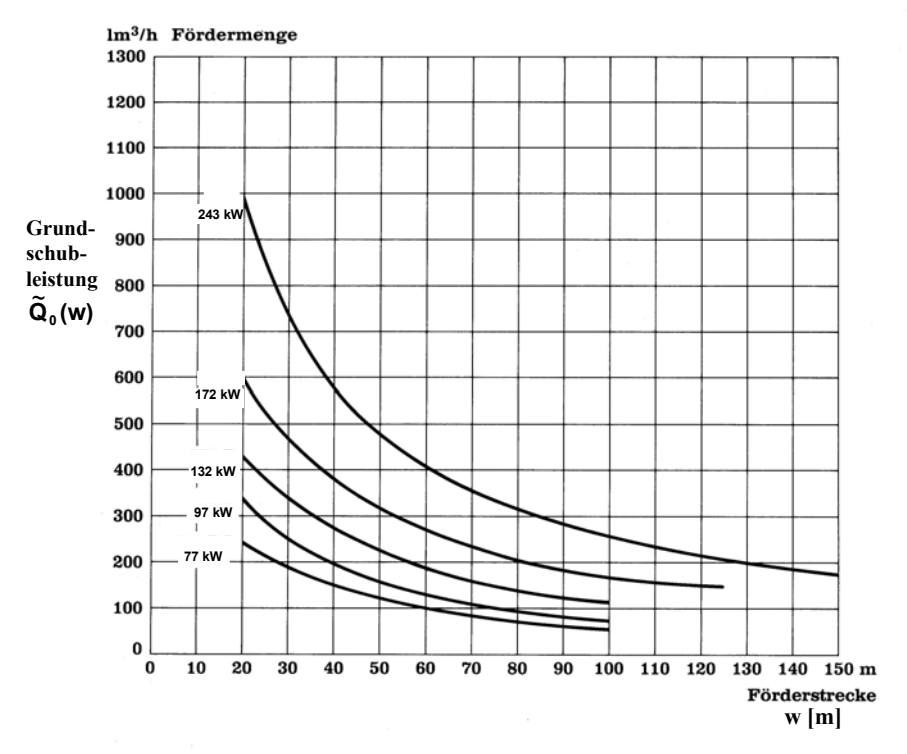


Bild 3-6: Schubleistung  $\tilde{Q}_{0}(w)$  [Im<sup>3</sup>/h] von Planierraupen [6]

Bild 3-6 zeigt die Grundschubleistung  $\widetilde{\mathbb{Q}}_0(w)$  von Planierraupen mit Brustschild in Abhängigkeit von der Förderstrecke w [m] ohne die Anschnittstrecke (ca. 15 m).



Tabelle 3-4: Faktoren im Erdbau nach [6]

Füllfaktor	φ [-]
loses Haufwerk	1.2
schwer zu lösen, gefroren	
mit Kippzylinder	8.0
ohne Kippzylinder	0.7
schwer zu schieben (trocken, nicht bindig)	0.6 - 0.8
sehr bindiges Material	0.6 - 0.8
Fels, gerissen oder gesprengt	0.6 - 0.8
Bedienungsfaktor	η₁ [-]
geübt	1.0
durchschnittlich	0.80
mässig	0.65
Betriebsbedingungen	η₂ [-]
Staub, Regen, Schnee, Nebel oder Dunkelheit	0.8
Schubbahnfaktor	f <sub>1P</sub> [-]
in Bahnen	1.2
Schildarteinflussfaktor	f <sub>2P</sub> [-]
U-Schild	1.2
Brustschild	1.0
Schwenkschild	0.5 - 0.75
Steigungsfaktor	f <sub>3</sub> (β) [-]

siehe nachfolgendes Diagramm

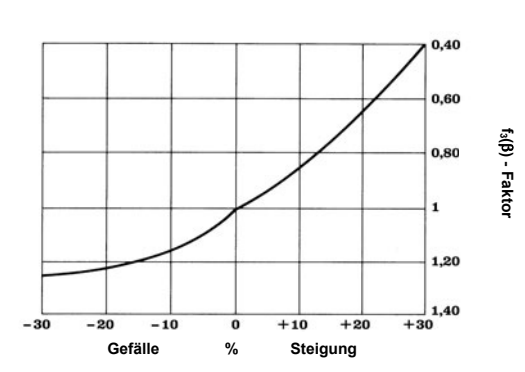


Bild 3-7: Steigungsfaktor  $f_3(\beta)$  [6]



### Erforderliche Anzahl von Planierraupen n<sub>Planierraupen</sub> [-]

$$n_{Planierraupen} \ge \frac{Q_{TNerf-AT}}{Q_{PN}}$$
 [-]

Q<sub>TNerf-AT</sub> Transportfahrzeugleistung pro Arbeitstag

### Gesamtleistung der eingesetzten Planierraupen $\sum Q_{PN}$ [lm<sup>3</sup>/h]

$$\sum Q_{PN} = n_{Planierraupen} \times Q_{PN} \ge Q_{TNerf-AT}$$
 [Im<sup>3</sup>/h]

Achtung: Die Gesamtleistung entweder auf festes oder auf loses Material beziehen.

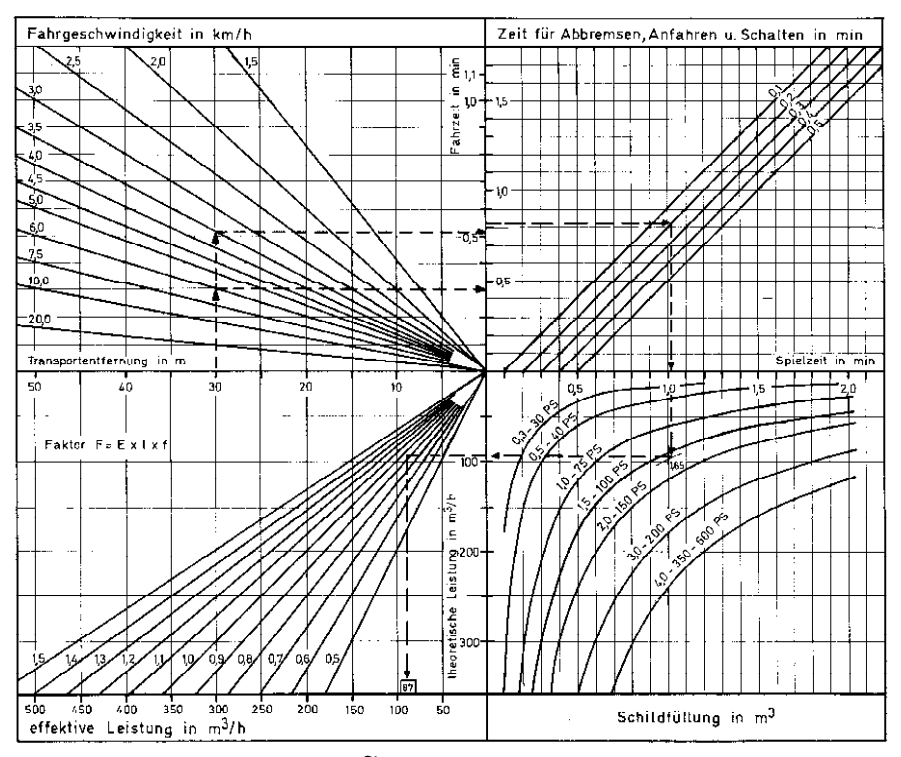


Bild 3-8: Leistungsdiagramm  $\tilde{Q}_0$  (w; v; P;  $V_{P100}$ ) [lm³/h] für Schubraupen im Entfernungsbereich bis 50 m [27]



### Rippereinsatz von Planierraupen mit Heckaufreisser

### Nutzleistung Q<sub>N</sub> [fm<sup>3</sup>/h] von Planierraupen mit Heckaufreisser

$Q_N = Q_0 \times k_2 \times k_3 \times \eta_G$	[fm³/h]
$\mathbf{k_2} = \mathbf{f_1} \times \mathbf{f_4} \times \mathbf{f_5}$	[-]
$\mathbf{k}_3 = \mathbf{\eta}_1 \times \mathbf{\eta}_2$	[-]

## Nutzleistung $\widetilde{\mathbf{Q}}_{\mathbf{N}}$ [lm³/h] von Planierraupen mit Heckaufreisser

$\tilde{Q}_{N} = 0$	$Q_0 \times \frac{1}{\alpha} \times k_2 \times k_3 \times \eta_G$	[lm³/h]
$Q_N$	Nutzleistung	[fm <sup>3</sup> /h]
$\tilde{Q}_N$	Nutzleistung	[lm³/h]
$Q_0$	maximale Grundreissleistung	[fm³/h]
α	Lösefaktor	[fm <sup>3</sup> /lm <sup>3</sup> ]
$f_1$	Eindringtiefenverhältnis	[-]
	(praktische zu theoretischer Reisstiefe)	
$f_2$ , $f_3$	nicht massgebend	
$f_4$	Reisszahnzustandsfaktor	[-]
f <sub>5</sub>	Verfügbarkeits-/Gerätezustandsfaktor	[-]
k <sub>2</sub>	Leistungseinflussfaktor	[-]
<b>k</b> <sub>3</sub>	Betriebsbeiwert	[-]
$\eta_1$	Bedienungsfaktor	[-]
$\eta_2$	Betriebsbedingungen	[-]
$\eta_{G}$	Geräteausnutzungsgrad	[-]
V	Reissgeschwindigkeit	[m/h]
b	theoretische Reissbreite bei einem Durchgang	[m]
d	theoretische Reisstiefe	[m]
b <sub>P</sub>	praktische Reissbreite	[m]
$d_P$	praktische Reisstiefe	[m]
$V = \frac{1}{b_F}$	$v = \frac{Q_N}{b_P \times d_P}$ [m/h]	
$f_1 = \frac{b_1}{I}$	$\frac{dx}{dx} \times \frac{d}{dx} < 1$	[-]



nicht reissbar

Zum Reissen von klüftigem, bankigem Fels eignet sich der Einsatz von schweren Raupengeräten. Diese Geräte müssen ausreichend Eigengewicht und Zugkraft aufweisen, um die Reisskraft aufzubringen. Folgende Gesteine eignen sich besonders zum Rippern:

- stark geologisch vorfraktionierte Gesteine
- bankige Kalke
- Sandstein, Mergel, kalkige Mergel

Seismische Wellengeschwindigkeit

Schiefer





Bild 3-9: Klassifizierung der Reissbarkeit des Gesteins nach seismischer Wellengeschwindigkeit (Planierraupe mit 433 kW) [6]

bedingt reissbar



Die Reissbarkeit des Gesteins wird meist durch die physikalische Grösse der seismischen Geschwindigkeit klassifiziert [6]. Allgemein kann man feststellen, dass die Grenze der wirtschaftlichen Abbaubarkeit durch die Rippertechnik bei 1500 – 1800 m/s liegt. Dabei sind folgende Bedingungen zu beachten:

- Die Eindringtiefe des Reisszahns ist der Schlüssel zum Reisserfolg.
- Niedrige seismische Geschwindigkeiten deuten auf gute Reissbarkeit hin
- Bei festem und hartem Material kann Vorsprengen die Reissbarkeit verbessern.

Das Rippern ist eine Kunst und keine exakte Wissenschaft. Daher ist exemplarisch die nachfolgend angegebene Leistungskurve für eine Liebherr PR 751 [6] mit 4.8 – 5.5 t und 240 kW gültig. Dieses Reissleistungsdiagramm gilt unter folgenden Voraussetzungen:

- Einzahnaufreisser
- 100 % Effektivität (60 min Reissen)
- seismische Geschwindigkeit ca. 1500 m/s, zwischen 1500 und 1800 m/s um 25 % abmindern
- ideal > stark geschiefertes Material
- erschwert > bankig

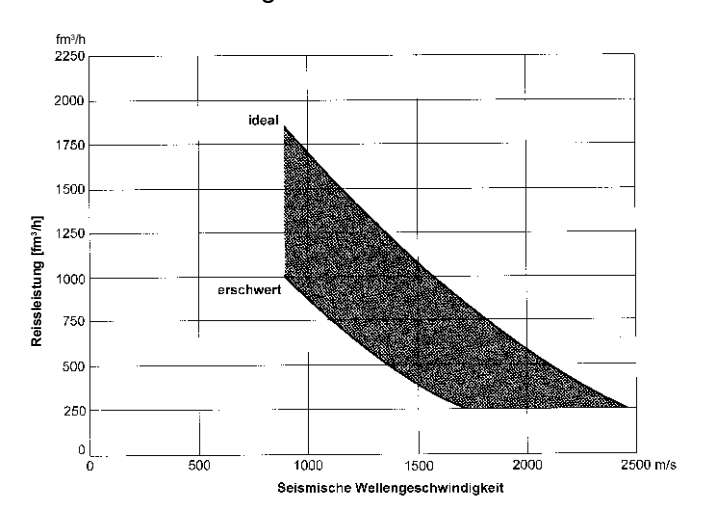


Bild 3-10: Grundreissleistung Q<sub>0</sub> [fm<sup>3</sup>/h] einer Raupe mit 240 kW Leistung [6]



### Scraper (Flachbagger)

### Nutz-/Dauerleistung Q<sub>SN</sub> [fm³/h]

$Q_{SN} = \frac{V_{SAE}}{t} \times 60 \times \prod_{i}^{3} k_{i} \times \eta_{G}$	[fm³/h]
$\mathfrak{l}_{U}$ $\widehat{i}=\widehat{1}$	

$Q_{SN}$	Nutz-/Dauerleistung	[fm <sup>3</sup> /h]
$V_{SAE}$	Fördergefässinhalt gemaess SAE	[m <sup>3</sup> ]
$t_U$	Umlaufzeit	[min]
$k_i$	Einflussfaktoren	[-]
$\eta_G$	Geräteausnutzungsgrad	[-]

#### Ladefaktor k<sub>1</sub> [-]

$k_1 = \alpha \times \phi$		[-]
----------------------------	--	-----

α	Lösefaktor	[fm <sup>3</sup> /lm <sup>3</sup> ]
Ø	Füllfaktor	[-]

### Leistungseinflussfaktor $k_2$ [-]

$k_2 = \prod_{i=1}^5 f_i$	mit $\Rightarrow (f_2; f_3) = 1 \land (f_1; f_4; f_5) \le 1$	[-]
---------------------------	--	-----

$f_1$	Schürftiefeneinfluss	[-]
$f_2$	nicht massgebend	[-]
$f_3$	nicht massgebend	[-]
$f_4$	Schneiden-/Zahnzustandsfaktor	[-]
$f_5$	Verfügbarkeits-/Gerätezustandsfaktor	[-]

### Betriebsbeiwert k<sub>3</sub> [-]

$k_3 = \prod_{i=1}^2 \eta_i$	[-]

$\eta_1$	Bedienungstaktor	[-]
$\eta_2$	Betriebsbedingungen	[-]





Bild 3-11: Fahrstrecke [3]

### Umlaufzeit t<sub>U</sub> [min]

$t_{U} = t_{L} + t_{E} + 2 \times t_{W} + t_{H,voll} + t_{R,leer}$	[min]
$   t_{\text{U}} = t_{\text{L}} + t_{\text{E}} + 2 \times t_{\text{W}} + \sum \frac{60 \times I_{i}}{1000 \times v_{\text{voll,i}}} + \sum \frac{60 \times I_{i}}{1000 \times v_{\text{leer,i}}} $	[min]

$t_U$	Umlaufzeit	[min]
$t_L$	Beladezeit	[min]
t <sub>E</sub>	Entleerungszeit	[min]
$t_W$	Wendezeit	[min]
$t_{\text{H,voll}},t_{\text{R,leer}}$	Hinfahr-/Rückfahrzeit	[min]
$I_i$	Fahrstrecke i	[m]
$V_{\text{voll},i}$	Fahrgeschwindigkeit unter Last (voll)	[km/h]
$V_{\text{leer},i}$	Fahrgeschwindigkeit leer	[km/h]



### Berechnungsalternative B

Nutz- bzw. Dauerleistung von Scrapern  $Q_{SN}$  [fm³/h] und Rad- und Raupenplaniergeräten  $Q_{PiN}$  [fm³/h]:

Scraper:	$Q_{SN} = \overline{V}_{S,0} \times \phi_S \times \frac{\overline{Q}_{10}(w)}{10} \times k_2 \times k_S \times \eta_G$	[fm³/h]
Rad- u. Raupen- planiergeräte:	$Q_{PiN} = \overline{V}_{P,0} \times \phi_P \times \overline{Q}_1(w) \times k_2 \times k_{P-i} \times \eta_G$	[fm³/h]
mit:	$\overline{V}_{S,0} = V_{S,0} \times \alpha \text{; } \overline{V}_{P,0} = 0.8 \times b \times h^2 \times \alpha$	
Q <sub>PiN</sub> Nutz-/Daue	rleistung Scraper rleistung Rad- u. Raupenplaniergeräte heitsgrundförderleistung (10 m³-Gefäss)	[fm <sup>3</sup> /h] [fm <sup>3</sup> /h] [fm <sup>3</sup> /h]

Q <sub>SN</sub>	Nutz-/Dauerleistung Scraper	[fm <sup>3</sup> /h]
$Q_{PiN}$	Nutz-/Dauerleistung Rad- u. Raupenplaniergeräte	[fm <sup>3</sup> /h]
$Q_{10}(w)$	Scraper-Einheitsgrundförderleistung (10 m³-Gefäss) in Abhängigkeit von der Förderweite w	[fm <sup>3</sup> /h]
$\overline{Q}_1(w)$	Rad-/Planiergerät-Einheitsgrundförderleistung	[fm <sup>3</sup> /h]
$Q_1(\mathbf{w})$	(1 m³-Gefäss) in Abhängigkeit von der Förderweite w	[1111 /11]
$\overline{V}_{S,0}$	Scraper-Fördergefässinhalt, gestrichen voll	[fm <sup>3</sup> ]
$V_{s,0}$	Nenninhalt der Scrapermulde gemäss SAE	[lm <sup>3</sup> ]
$\overline{V}_{P,0}$	Planierschildinhalt	[fm <sup>3</sup> ]
$k_S$ ; $k_{P-i}$	Betriebsbeiwert k <sub>3</sub>	[-]
$k_2$	Leistungseinflussfaktor	[-]
α	Lösefaktor	[fm <sup>3</sup> /lm <sup>3</sup> ]
$\phi_{i}$	Gerätefüllungsgrad	[-]
S	Scraper	[-]
р	Planiergerät	[-]
İ	Rad- bzw. Raupenplaniergerät	[-]
$\eta_{G}$	Geräteausnutzungsgrad	[-]



Die Leistungslinien im nachstehenden Förderleistungsdiagramm sind aus Praxiserfahrungen mit folgenden Annahmen (für ideale Fördergefässinhalte von  $\overline{V}_{S,0}=10~\text{fm}^3$  gestrichen voll bzw.  $\overline{V}_{P,0}=1~\text{fm}^3$ ) zusammengestellt:

- Auflockerungsgrad  $\delta_A = 1$  bzw. Lösefaktor  $\alpha = 1$
- Gesamtabminderungsfaktor k = 1
- Gerätefüllungsgrad  $\bar{\phi} = 1$

#### Leistungseinflussfaktor k<sub>2</sub> [-]

k <sub>2</sub> =	$f_4 \times f_5$	[-]
f <sub>4</sub>	Schneiden-/Zahnzustandsfaktor	[-]
f <sub>5</sub>	Verfügbarkeits-/Gerätezustandsfaktor	[-]

#### Betriebsbeiwert k<sub>3</sub> [-]

$k_3 = \prod_{j=1}^{2} \eta_j = \eta_1 \times \eta_2 = k_S$ bzw. $k_{P-i}$	[-]	
i = [i   i = Radgerät, i = Raupengerät]		

$\eta_1$	Bedienungstaktor	[-]
$\eta_2$	Betriebsbedingungen	[-]

#### Tabelle 3-5: Diverse Betriebsbeiwerte

Scraper	$k_S$	=	0.6 - 0.9	φs	=	0.7 - 1.1
Radplaniergeräte	$k_{P-Rad}$	=	0.45 - 0.8	ΦP	=	0.5 - 0.9
Raupenplaniergeräte	kp paus	=	0.6 - 0.8			



# Förderleistungsdiagramm für Scraper, Rad- und Raupenplaniergeräte

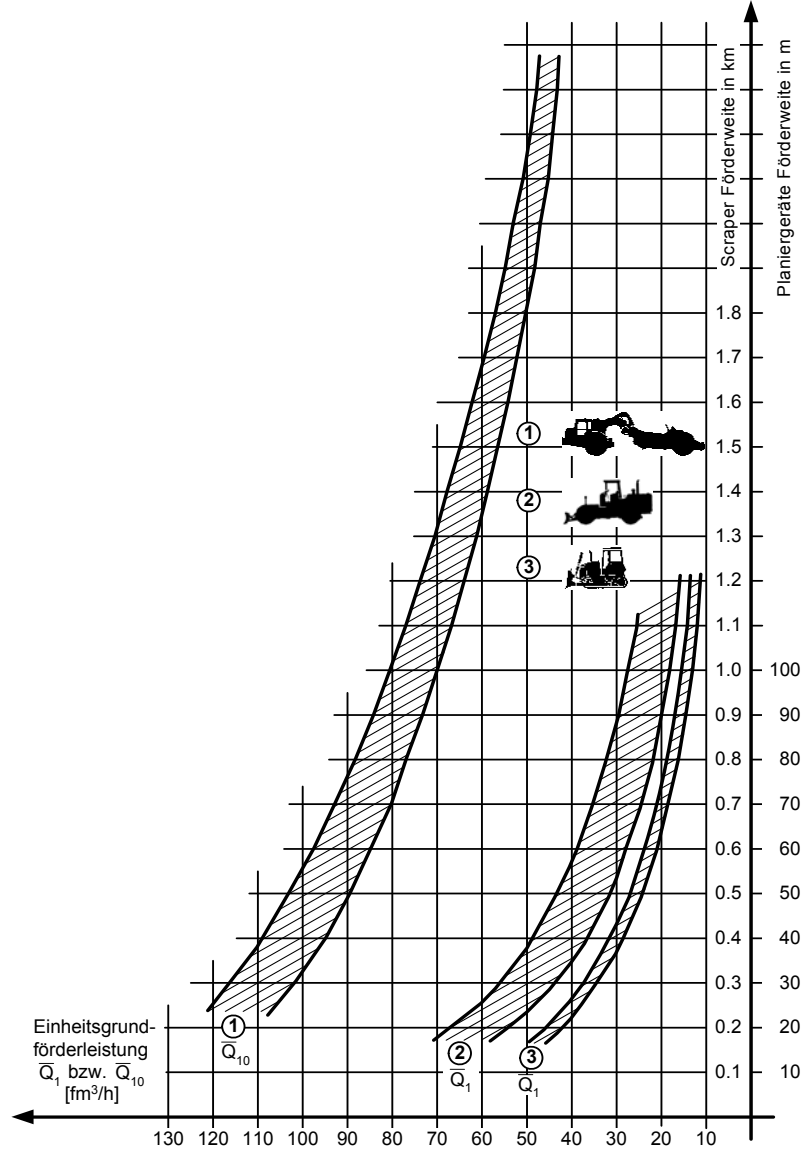


Bild 3-12: Förderleistungsdiagramm für Scraper, Rad- und Raupenplaniergeräte [3]



### Grader

Die Arbeitsleistung eines Graders hängt stark von den Einsatzbedingungen ab:

Tabelle 3-6: Leistung eines Caterpillar Graders 140H mit 138 kW Leistung nach [7]

Art der Arbeit	Arbeitsleistung Q <sub>N</sub> [m²/h]
Feinplanieren auf Kippe	8'000
Schwerplanieren	18'000
Instandhalten von Baustrassen	30,000
Instandhalten von Erd- und Förderwegen	30,000
Böschungsarbeiten	6'000
Anlegen/Räumen von Gräben	9,000
Aufreissen	5'000
Verteilen von Schüttgut	12'000
Schneeräumung	50'000



### 3.5 Verdichtungsgeräte

### Nutzleistung Q<sub>N</sub> [vm³/h] eines Verdichtungsgeräts

$Q_{N} = \frac{v \times b \times d}{n} \times k_{1} \times k_{2} \times k_{3} \times \eta_{G}$	[vm³/h]
k <sub>1</sub> = 1	[-]
$k_2 = f_5$	[-]
$\mathbf{k}_3 = \mathbf{\eta}_1 \times \mathbf{\eta}_2$	[-]

$Q_N$	Nutzleistung (bezogen auf verdichteten Zustand)	[vm³/h]
V	Geschwindigkeit des Geräts	[m/h]
b	wirksame Breite	[m]
d	Schütthöhe, verdichtet	[m]
n	Zahl der Übergänge	[-]
$k_1$	nicht massgebend	[-]
$k_2$	Leistungseinflussfaktor	[-]
$k_3$	Betriebsbeiwert	[-]
$\eta_1$	Bedienungsfaktor	[-]
$\eta_2$	Betriebsbedingungen	[-]
f <sub>1</sub> ; f <sub>2</sub> ; f <sub>3</sub> ; f <sub>4</sub>	nicht massgebend	[-]
$f_5$	Verfügbarkeits-/Gerätezustandsfaktor	[-]
$\eta_{G}$	Geräteausnutzungsgrad	[-]

# Die **Höhe des verdichteten Bodens d [m]** ergibt sich aus folgender Beziehung:

$d = \widetilde{d} \times$	$\delta_{V}$	[m]
ã	Schütthöhe, unverdichtet	[m]
$\delta_{v}$	Verdichtungsfaktor < 1	[vm³/lm³]

Unter Verdichtung versteht man die bleibende Verminderung des Porenanteils bzw. die bleibende Erhöhung der Trockendichte eines Bodens. Bei nichtbindigen Böden besitzen der Ungleichförmigkeitsgrad und die Kornrauhigkeit den grössten Einfluss auf die Verdichtbarkeit. Die Verdichtung gemischtkörniger Böden mit höherem Feinanteil hängt in erster Linie vom Wassergehalt und dem Sättigungsgrad ab [28].



In Tabelle 3-7 sind Anhaltswerte für den Verdichtungsfaktor  $\delta_{\text{\tiny V}}$  dargestellt. Bei der Anwendung dieser Werte ist zu berücksichtigen, dass es sich um Näherungswerte handelt, die lediglich einer überschlägigen Berechnung dienen können. Für eine genaue Leistungsberechnung der Bodenverdichtung ist die genaue Kenntnis der Bodenzusammensetzung und der wichtigsten Parameter wie z.B. Trockenrohdichte, Wassergehalt und Verdichtungslinie unerlässlich.

Tabelle 3-7: Anhaltswerte für den Verdichtungsfaktor  $\delta_v$  nach [29]

	Boden- und Fels- klasse nach DIN 18300	Boden	Verdichtungs- faktor ठ <sub>v</sub> [fm³/lm³] <sub>Mittelwert</sub>	0	Verdic	htungsfakt Bandbi		1.0
1	Oberboden		_					
2	Fliessende Böden		_					
3	Leicht lösbare Böden	Kies Kiessand	0.82 0.73					
4/5	Mittelschwer lösbare Böden	Ton Lehm / Sand	0.77 0.72					
6	Leicht lösbarer Fels und vergleichbare Bodenarten	Ton-, Mergelstein	0.85					
7	Schwer lösbarer Fels	Kalk-, Sandstein / Granit	0.83					

Die Eignung der Verdichtungsgeräte ist je nach Baustellenart und -bedingungen sehr verschieden. Die Tabellen 3-8 bis 3-12 geben einen Überblick.



		Baustellenbedingungen			
		Damm und	Einschnitt	Bauwerks- hinterfüllung	Leitungs- gräben
		Arbeits	sfläche		
Geräteart		eng	frei		
		Е	Е	Е	Е
statisch					
Glattmantelwalze		+	+		
Schaffusswalze		+	+ +		
Gummiradwalze	selbstfahrend	+ +	+ +		
	gezogen	+ +	+ +		
Gürtelradwalze		+ +	+ +		
Gitterradwalze		+	+ +		
dynamisch					
Fallplatte		+ +	+		
Explosionsstampfer		+ +	+	+	+
Schnellschlagstampfer		+		++	+ +
Anhängevibrationswalze	leicht < 50 kN	+	+ +		
	mittel		+ +		
	schwer > 80 kN		+ +		
Doppelvibrationswalze	leicht < 25 kN	+ +	+	+	+
	schwer > 25 kN	+ +	+ +	+	
Vibrationstandemwalze	leicht < 50 kN	++	+		
	schwer > 50 kN	+ +	++		
Vibrationsschaffusswalze	leicht < 25 kN	+	++		
Rüttelplatten	schwer > 25 kN	++	+ +	+ +	+ +
	SCHWEL / ZO KIN	т т		т	т
Legende:		Е	Eignung		
-		+ +	empfohle	n	

Tabelle 3-8: Einsatzmöglichkeit von Verdichtungsgeräten nach [28]

meist geeignet



• Geschwindigkeit v [m/h]

Arbeitsgeschwindigkeit nach Herstellerangaben, im Allgemeinen beträgt sie zwischen 2000 und 6000 m/h [7].

• Wirksame Breite b [m]

Die wirksame Breite des Verdichtungsgeräts entspricht höchstens der 0.8fachen Breite der effektiven Grösse. Zum Berechnen der effektiven Breite muss die Breite der Einbaubahn im Verhältnis zur Rollbreite berücksichtigt werden [7].

Beispiel: Eine Vibrationswalze mit einer Walzkörperbreite von 1.98 m benötigt 2 Rollbreiten, um eine 3.6 m breite Spur zu verdichten. Die wirksame Breite beträgt also 1.8 m. Eine Walze mit 1.4 m Walzkörperbreite muss 3 Übergänge durchführen, um die 3.6 m breite Spur zu verdichten. Ihre wirksame Breite beträgt daher 1.2 m.

- Schütthöhe d [m] siehe Tabellen 3-9 bis 3-12.
- Zahl der Übergänge n [-] siehe Tabellen 3-9 bis 3-12.



			Lockergestein			
			Lockergestein			
			grobkörnig, nicht bindig			
				TOTAL DITTO	9	
Geräteart			Е	d̃ [cm]	n [-]	
statisch						
Glattmantelwalze			+	10 – 20	4 – 8	
Schaffusswalze			]			
Gummiradwalze	selbstfa	hrend	++	20 – 30	6 – 10	
	gezoger	า	++	30 – 50	6 – 10	
Gürtelradwalze						
Gitterradwalze						
dynamisch						
Fallplatte						
Explosionsstampfer			+	20 – 50	3 – 5	
Schnellschlagstampfer			+	20 – 40	2 – 4	
Anhängevibrationswalze	leicht	< 50 kN	++	30 – 50	3 – 5	
-	mittel		++	40 – 60	3 – 5	
	schwer	> 80 kN	++	50 – 80	3 – 5	
Doppelvibrationswalze	leicht	< 25 kN	+ +	20 – 40	4 – 6	
	schwer	> 25 kN	+ +	30 – 50	4 – 6	
Vibrationstandemwalze	leicht	< 50 kN	+ +	20 – 40	4 – 6	
	schwer	> 50 kN	+ +	30 – 50	4 – 6	
Vibrationsschaffusswalze			+	30 – 50	3 – 5	
Rüttelplatten	leicht	< 25 kN	+ +	20 – 40	5 – 8	
	schwer	> 25 kN	+ +	30 – 60	4 – 6	
Lamanda	_	<b>-</b> ·				
Legende:	E ã	Eignung				
	d	Schütthöh	-	+ +	empfohlen	
	n	Anz. Über	gänge	+	meist geeig	

Tabelle 3-9: Eignung von Verdichtungsmitteln in grobkörnigem, nicht bindigem Lockergestein nach [28]



		Lockergestein			
		feinkörnig (bindig), bindige Sande			
Geräteart		Е	ã[cm]	n [-]	
statisch					
Glattmantelwalze		+	10 – 20	4 – 8	
Schaffusswalze		++	20 – 30	8 – 12	
Gummiradwalze	sebstfahrend	++	20 – 30	6 – 10	
	gezogen	++	30 – 50	6 – 10	
Gürtelradwalze		++	20 – 30	6 – 8	
Gitterradwalze		+	20 – 30	6 – 10	
dynamisch				<u>-</u>	
Fallplatte		+	50 – 70	4	
Explosionsstampfer		++	20 – 40	3 - 5	
Schnellschlagstampfer		+	10 – 20	2 – 4	
Anhängevibrationswalze	leicht < 50 kN				
· ·	mittel	+	20 – 30	3 – 4	
	schwer > 80 kN	+	30 – 40	3 – 4	
Doppelvibrationswalze	leicht < 25 kN	+	10 – 20	5 – 8	
	schwer > 25 kN	+	10 – 30	5 – 8	
Vibrationstandemwalze	leicht < 50 kN				
	schwer > 50 kN				
Vibrationsschaffusswalze		++	20 – 40	6 – 10	
Rüttelplatten	leicht < 25 kN	1			
	schwer > 25 kN				
Legende:	E Eignung d Schütthöh			6.11	
			+ +	empfohlen	
	n Anz. Über	gänge	+	meist geeigne	

Tabelle 3-10: Eignung von Verdichtungsmitteln in feinkörnigem, bindigem Lockergestein nach [28]



			Lo	ckergest	ein
			_	htkörnig wach ste	` •
Geräteart			Е	ã [cm]	n [-]
statisch					
Glattmantelwalze			+	10 – 20	4 – 8
Schaffusswalze			+	20 – 30	8 – 12
Gummiradwalze	selbstfa	hrend	+	20 – 30	6 – 10
	gezogei	n	+ +	30 – 40	6 – 10
Gürtelradwalze			+ +	20 – 30	6 – 8
Gitterradwalze			+ +	20 – 30	6 – 10
dynamisch					<del>-</del>
Fallplatte			+ +	50 – 70	4
Explosionsstampfer			+	20 – 50	3 - 5
Schnellschlagstampfer			+	20 – 30	2 - 4
Anhängevibrationswalze	leicht	< 50 kN	+	20 – 40	3 – 5
Ğ	mittel		++	30 – 50	3 – 5
	schwer	> 80 kN	++	40 – 60	3 – 5
Doppelvibrationswalze	leicht	< 25 kN	+	20 – 30	5 – 8
	schwer	> 25 kN	+ +	20 – 40	5 – 8
Vibrationstandemwalze	leicht	< 50 kN			
	schwer	> 50 kN	+	20 – 40	5 – 8
Vibrationsschaffusswalze			+ +	20 – 40	6 – 10
Rüttelplatten	leicht	< 25 kN	+	10 – 20	5 – 8
	schwer	> 25 kN	+	20 – 40	4 – 6
Legende:	E ã	Eignung Schütthöh	-	+ +	empfohlen
	n	Anz. Über	gänge	+	meist geeign

Tabelle 3-11: Eignung von Verdichtungsmitteln in gemischtkörngem, bindigem Lockergestein nach [28]



				Fels	
			Steine	e und Blöd	cke bis
			400 r	mm, nicht	bindig
Geräteart			Е	d [cm]	n [-]
statisch					
Glattmantelwalze					
Schaffusswalze			+	20 - 30	8 – 12
Gummiradwalze	selbstfa	ahrend			
	gezoge	n			
Gürtelradwalze					
Gitterradwalze			+	30 - 40	8 – 12
dynamisch					
Fallplatte			++	50 - 80	4
Explosionsstampfer			+	30 - 50	3 - 5
Schnellschlagstampfer					
Anhängevibrationswalze	leicht	< 50 kN			
S .	mittel		+	40 - 60	4 – 6
	schwer	> 80 kN	++	50 – 100	4 – 6
Doppelvibrationswalze	leicht	< 25 kN			
	schwer	> 25 kN	+	30 - 50	5 - 8
Vibrationstandemwalze	leicht	< 50 kN			
	schwer	> 50 kN			
Vibrationsschaffusswalze			++	30 - 50	6 – 10
Rüttelplatten	leicht	< 25 kN			
	schwer	> 25 kN	+	30 - 50	4 – 6
Legende:	E	Eignung			
Logorido.	<del>≒</del>	Ligitariy			

Tabelle 3-12: Eignung von Verdichtungsmitteln in nicht bindigem Fels nach [28]

Schütthöhe ++ Anz. Übergänge +

++ empfohlen

meist geeignet

## 4 Transportgeräte

Lastkraftwagen, Schwerlastkraftwagen, Dumper Gleisförderung Bandförderung Flüssigkeitsförderung Schneckenförderung



### 4.1 LKW, SKW, Dumper

### Nutzleistung Q<sub>N</sub> [fm<sup>3</sup>/h] eines Einzelfahrzeugs

$Q_{N} = \frac{V_{FSAE}}{t_{LL}} \times 60 \times k_{1} \times k_{2} \times k_{3} \times \eta_{G}$	[fm³/h]
$\mathbf{k}_1 = \alpha \times \mathbf{\phi}$	[-]
$k_2 = f_3 \times f_5$	[-]
$\mathbf{k}_3 = \mathbf{\eta}_1 \times \mathbf{\eta}_2$	[-]

$\begin{matrix} Q_N \\ V_{FSAE} \end{matrix}$	Nutzleistung des Einzelfahrzeugs Muldeninhalt des Fahrzeugs gemäss SAE V <sub>FSAE.1</sub> für Benutzung von öffentlichen Strassen	[fm³/h] [m³]
	V <sub>FSAE 2</sub> für reinen Baustellenverkehr	
$t_{U}$	Umlaufzeit	[min]
α	Lösefaktor	[fm³/lm³]
φ	Füllfaktor	[-]
$\eta_1$	Bedienungsfaktor	[-]
$\eta_2$	Betriebsbedingungen	[-]
$f_1$ ; $f_2$	nicht massgebend	
$f_3$	Entleerungsgenauigkeitsfaktor	[-]
	Kippe = 1; Bahnwaggon = 0.8	
$f_4$	nicht massgebend	
$f_5$	Verfügbarkeits-/Gerätezustandsfaktor	[-]
$k_1$	Ladefaktor	[-]
$k_2$	Leistungseinflussfaktor	[-]
$k_3$	Betriebsbeiwert	[-]
$\eta_{G}$	Geräteausnutzungsgrad	[-]



### Kontrolle: Muldeninhalt des Fahrzeugs V<sub>FSAE</sub> [m³]

Das maximal mögliche bzw. zulässige Ladevolumen darf die zulässige Nutzlast nicht überschreiten:

$V_{FSAE}$	$\times \varphi \leq \frac{G_N}{\rho_S}$	[m³]
V <sub>FSAE</sub>	Muldeninhalt des Fahrzeugs gemäss SAE Füllfaktor	[m³] [-]
φ ρ <sub>s</sub> G <sub>N</sub>	Schüttdichte zulässige Nutzlast	[t/m <sup>3</sup> ] [t]

#### Theoretische Umlaufzeit t<sub>U</sub> [min]

Die theoretische Umlaufzeit eines Transportgeräts setzt sich zusammen aus der Beladezeit  $t_L$ , der Fahrzeit voll  $t_{Fv}$ , der Entladezeit  $t_E$ , der Fahrzeit leer  $t_{Fl}$  und der Wartezeit  $t_W$  beim Füllen bzw. der Wagenwechselzeit  $t_{WZ}$  am Ladegerät [5], [14].

	[mir	J
$\begin{array}{cccccccccccccccccccccccccccccccccccc$	(theoretisch/ kurzzeitig) [mir [mir [mir [mir ntladen [mir	] ] ] ] ]



#### Theoretische Beladezeit t<sub>L</sub> [min]

Zur Bestimmung der theoretischen **Beladezeit t**<sub>L</sub> [min] gilt allgemein:

$t_{L} = \frac{V_{FSAE} \times \phi_{T}}{V_{SAE} \times \phi_{L}} \times \frac{t_{S}}{60}$	[min]

$t_L$	Beladezeit	(theoretisch/ kurzzeitig)	[min]
$V_{FSAE}$	Muldeninhalt des Fahrzeugs	gemäss SAE	[m³] <sup>1</sup>
$\phi_{T}$	Füllfaktor Transportgerät	_	[-]
$\dot{V}_{SAE}$	Nenninhalt des Grabgefässe	es gemäss SAE	[m³]
$\phi_{L}$	Füllfaktor Ladegerät	_	[-]
ts	Spielzeit des Ladegeräts		[s]

In dieser Formel zur Berechnung der theortischen Beladezeit ist jedoch nicht berücksichtigt, dass das Ladegerät während der Wagenwechselzeit die Zeit für einen weiteren Grabvorgang nutzen und dass das gefüllte Grabgefäss geleert werden kann, sobald das leere Fahrzeug bereitsteht. Somit ist bei der Berechnung der theoretischen Beladezeit eine Spielzeit weniger einzusetzen ( $t_{WZ} \approx t_{S}$ ).

$$t_{L} = \left(\frac{V_{FSAE} \times \phi_{T}}{V_{SAE} \times \phi_{L}} - 1\right) \times \frac{t_{S}}{60} = (m - 1) \times \frac{t_{S}}{60}$$
 [min]

m Anzahl Schaufelfüllungen pro Fahrzeug [-]

### Fahrzeit voll t<sub>Fv</sub>/Fahrzeit leer t<sub>FI</sub> [min]

Bei der Berechnung der Fahrzeiten der Transportgeräte unterscheidet man zwischen den normalen LKW, die auch für den Strassenverkehr zugelassen sind, und den Dumpern sowie den sogenannten SKW (Schwerlastkraftwagen) mit meist wesentlich höherem Gesamtgewicht, die nur im nichtöffentlichen Baustellenbereich eingesetzt werden dürfen.



Die Strecke vom Belade- zum Entladeort muss in Teilstrecken mit verschiedenen Fahrbedingungen unterteilt werden.

t <sub>F</sub> =	$t_{Fv} + t_{Fl} = \sum \frac{60 \times l_{i,v}}{1000 \times v_{i,v}} + \sum \frac{60 \times l_{i,l}}{1000 \times v_{i,l}}$	[min]
t <sub>F</sub>	Fahrzeit	[min]
$t_Fv$	Fahrzeit voll	[min]
$t_{FI}$	Fahrzeit leer	[min]
$l_{i \nu}$	Teilstrecke i bei vollem Transportfahrzeug	[m]

I<sub>i,i</sub> Teilstrecke i bei leerem Transportfahrzeug [m] v<sub>i,v</sub> Durchschnittsgeschwindigkeit des vollen Transport- [km/h]

fahrzeugs auf der Teilstrecke i

v<sub>i,i</sub> Durchschnittsgeschwindigkeit des leeren Transport- [km/h] fahrzeugs auf der Teilstrecke i

#### Lastkraftwagen LKW

Bei den Lastkraftwagen können folgende Durchschnittsgeschwindigkeiten v<sub>i</sub> angenommen werden:

Tabelle 4-1: Durchschnittsgeschwindigkeiten v<sub>i</sub> [km/h] für LKW auf verschiedenen Untergründen

Untergrund	v <sub>i</sub> [km/h]
Auf Humusböden im Feld und Aushub	5
Auf nicht befestigten Transportpisten und auf der Deponie	10 – 15
Auf befestigten Transportpisten	15 – 30
Auf öffentlichen Strassen (abhängig von Verkehrsaufkommen, Ortschaften, Überland usw.)	40 – 60

Bei Lastkraftwagen findet bei der Anwendung der Durchschnittsgeschwindigkeit keine Unterscheidung zwischen leerem und beladenem Zustand statt.



#### Schwerlastkraftwagen SKW

Schwerlastkraftwagen sind zur optimalen Ausnutzung der Motorleistung mit Drehmomentwandlern ausgerüstet. Die Umwandlung des Drehmoments erfolgt gemäss der jeweiligen Belastung. Der Motor läuft somit immer im günstigsten Leistungsbereich, da der Drehmomentwandler den Kraftbedarf selbsttätig steuert.

Mittels Nomogrammen aus den Herstellerprospekten [7] kann die maximale Fahrgeschwindigkeit ermittelt werden. Diese Diagramme verlangen jedoch als Inputdaten die Steigung, den Rollwiderstand, die Länge der Fahrstrecke und den Fahrzeugtyp.

Der Rollwiderstandsbeiwert  $w_R$  (Tabelle 8-13) resultiert aus der Reibung zwischen Reifen und Fahrbahn. Er wird zur Steigung addiert, und mittels des Bruttogewichts (beladen oder leer) des Schwerlastkraftwagens wird die Felgenzugkraft ermittelt. Somit kann aus der Zugkraftkurve die maximale Geschwindigkeit herausgelesen werden. Da sich jedoch beim Anfahren und Bremsen die Geschwindigkeit reduziert, muss ein Geschwindigkeitskorrekturfaktor  $k_G$  [-] berücksichtigt werden.

#### Durchschnittsgeschwindigkeit vi [km/h] des leeren/vollen SKW

$v_i = v_i$	$_{i,max} \times k_{G}$	[km/h]
$\begin{matrix} v_i \\ v_{i,max} \end{matrix}$	Durchschnittsgeschwindigkeit des leeren/vollen SKW Maximale Geschwindigkeit des leeren/vollen Trans-	[km/h] [km/h]
$k_{G}$	portfahrzeugs (z.B. [7]) Geschwindigkeitskorrekturfaktor (Tabelle 4-2)	[-]

Tabelle 4-2: Geschwindigkeitskorrekturfaktor kg [5]

Streckenabschnittslänge I <sub>i</sub> [m]	Geschwindigkeitskorrekturfaktor $k_G[-]$	
	stehender Start	fliegender Start
0 - 100	0.20 - 0.50	0.50
100 – 250	0.30 - 0.60	0.60 - 0.75
250 – 500	0.50 - 0.65	0.70 - 0.80
500 – 800	0.60 - 0.70	0.75 - 0.80
800 – 1200	0.65 - 0.75	0.80 - 0.85
1200 und mehr	0.70 - 0.85	0.80 - 0.90



#### Entladezeit t<sub>E</sub> [min]

Bodenschütter	0.3
Hinterkipper	1.0

#### Wagenwechselzeit twz [min]

Vorstossen, Kreisverkehr	0
Rückstossen	0.4 - 0.6

#### Anzahl der erforderlichen Fahrzeuge n [-]

Die Anzahl der erforderlichen Fahrzeuge lässt sich aus der Umlaufzeit  $t_U$  des Fahrzeugs, der Wagenfolgezeit  $t_f$  und dem Ladevolumen  $V_{\mathsf{FSAE}}$  der LKW/SKW bestimmen. Zur Bestimmung der passenden Umlaufzeit ist die Betrachtung der möglichen Transportketten, die im Folgenden erläutert sind, erforderlich.

#### Theoretische Wagenfolgezeit t<sub>f</sub> [min]

Die theortische Wagenfolgezeit ist die Verweilzeit des Fahrzeugs am Beladeort. Sie beinhaltet die Beladezeit und die Wagenwechselzeit (zeitlicher Abstand der Transportfahrzeuge am Ladegerät).

$t_f = t_L + t_{WZ} = (m-1) \times \frac{t_S}{60} + t_{WZ}$	[min]
00	

$t_{f}$	Wagenfolgezeit	(theoretisch/ kurzzeitig)	[min]
$t_L$	Beladezeit	(theoretisch/ kurzzeitig)	[min]
$t_{WZ}$	Wagenwechselzeit		[min]
m	Anzahl Schaufelfüllungen	pro Fahrzeug	[-]
ts	Spielzeit des Ladegeräts		[s]



### Transportketten im Erdbau

Fall 1: Beim Kreisverkehr mit  $t_{wz} \le t_s$  gilt:

$$t_{f} = \frac{m \times t_{S}}{60}$$
 [min]

Fall 2: Beim Rückstossverkehr mit  $t_{wz} > t_s$  gilt:

$$t_f = \frac{m \times t_S}{60} + \Delta t$$
 [min] 
$$\Delta t = \frac{-t_S}{60} + t_{WZ} \sim 0.5 - 1.0 \,\text{min}$$
 [min]

somit gilt für die theoretische Wagenfolgezeit t<sub>f</sub>:

$$t_{\mathsf{f}} = \left\{ \left. t_{\mathsf{f}} \middle| t_{\mathsf{f}} = \frac{\mathsf{m} \times t_{\mathsf{S}}}{\mathsf{60}} \Longrightarrow t_{\mathsf{WZ}} \le \frac{t_{\mathsf{S}}}{\mathsf{60}} \lor t_{\mathsf{f}} = \frac{\mathsf{m} \times t_{\mathsf{S}}}{\mathsf{60}} + \Delta t \Longrightarrow t_{\mathsf{WZ}} > \frac{t_{\mathsf{S}}}{\mathsf{60}} \right\} \quad \text{[min]}$$

 $\Delta t$  Differenz aus Wagenwechselzeit  $t_{WZ}$  und Spielzeit  $t_S$   $\ \ \, [min]$   $\Delta t = t_{WZ} - t_S/60$  mit  $t_{WZ} > t_S$ 

### Theoretische Gesamtnutzleistung Q<sub>TNeff</sub> [fm³/h] der Transportkette

$$Q_{\text{TNeff}} = \frac{V_{\text{FSAE}}}{t_{\text{f}}} \times 60 \times \prod_{i=1}^{3} k_{i} \times \eta_{\text{G}} \tag{fm}^{3}\text{/h}$$

Transportfahrzeugleistung bei einer Fahrzeugfolgezeit  $t_{\rm f}$  mit n eingesetzten Transportfahrzeugen pro Ladegerät

### Anzahl der Fahrten aller Transportfahrzeuge n<sub>Fahrten</sub> [-]

n <sub>Fahrten</sub>	$= \frac{V}{V_{\text{FSAE}} \times \alpha \times \phi}$	[-]
$n_{\text{Fahrten}}$ $V$ $V_{\text{FSAE}}$ $\alpha$	Anzahl der Fahrten aller Transportfahrzeuge Gesamtaushubvolumen Muldeninhalt des Fahrzeugs gemäss SAE Lösefaktor	[-] [fm³] [m³] [fm³/lm³]
φ	Füllfaktor	[-]



# Transportketten im Erdbau – Nutzleistung (Langzeitleistung)

Totaler Leistungsreduktionskoeffizient (Langzeitleistung):

$$\eta_{Total}^{L} = (k_2 \times k_3 \times \eta_G)_L$$

$$\eta_{Total}^{T} = (k_2 \times k_3 \times \eta_G)_T$$

$\eta_{Total}^{L}$	Totaler Leistungsreduktionskoeffizient Ladegerät	[-]
$\eta_{\text{Total}}^{\text{T}}$	Totaler Leistungsreduktionskoeffizient Transportgerät	[-]
$k_{2,L}$	Leistungseinflussfaktor Ladegerät	[-]
$k_{3,L}$	Betriebsbeiwert Ladegerät	[-]
$\eta_{G,L}$	Geräteausnutzungsgrad Ladegerät	[-]
$k_{2,T}$	Leistungseinflussfaktor Transportgerät	[-]
<b>k</b> <sub>3,T</sub>	Betriebsbeiwert Transportgerät	[-]
$\eta_{G,T}$	Geräteausnutzungsgrad Transportgerät	[-]
Ĺ	Ladegerät	[-]
Τ	Transportgerät	[-]

## Nutzbare Fahrzeugladezeit t<sub>L,N</sub> und Fahrzeugfolgezeit t<sub>f,N</sub> [min]

## Fall 1: $t_{wz} \le t_s$ , Kreisverkehr

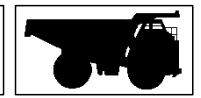
$$t_{L,N} = \left(\frac{V_{FSAE} \times \phi_{T}}{V_{SAE} \times \phi_{L}} - 1\right) \times \frac{t_{S}}{60} \times \frac{1}{\eta_{Total}^{L}} = (m-1) \times \frac{t_{S}}{60} \times \frac{1}{\eta_{Total}^{L}}$$
 [min]

$$t_{f,N} = \left(\frac{m \times t_S}{60} - \frac{t_S}{60}\right) \times \frac{1}{\eta_{Total}^L} + t_{WZ}$$
 [min]

$$\Delta t_{N} = \frac{-t_{S}}{60} \times \frac{1}{\eta_{Total}^{L}} + t_{WZ} \approx 0 \tag{[min]} \label{eq:delta_total}$$

## Daraus folgt:

$$t_{f,N} = \frac{m \times t_S}{60} \times \frac{1}{\eta_{Total}^L}$$
 [min]



$t_{L.N}$	Beladezeit	(Langzeitleistung)	[min]
$V_{FSAE}$	Muldeninhalt des Fahrzeugs ge	mäss SAE	$[m^3]$
Фτ	Füllfaktor Transportgerät		[-]
$\dot{V}_{\sf SAE}$	Nenninhalt des Grabgefässes g	emäss SAE	[m <sup>3</sup> ]
ΦL	Füllfaktor Ladegerät		[-]
m	Anzahl Schaufelfüllungen pro F	ahrzeug	[-]
$t_{f,N}$	Wagenfolgezeit	(Langzeitleistung)	[min]
$t_s$	Spielzeit des Ladegeräts		[s]
$t_WZ$	Wagenwechselzeit	(Langzeitleistung)	[min]
$\Delta t_{N}$	Differenz aus Wagenwechselze	it t <sub>wz</sub> und Spielzeit t <sub>s</sub>	[min]
		(Langzeitleistung)	

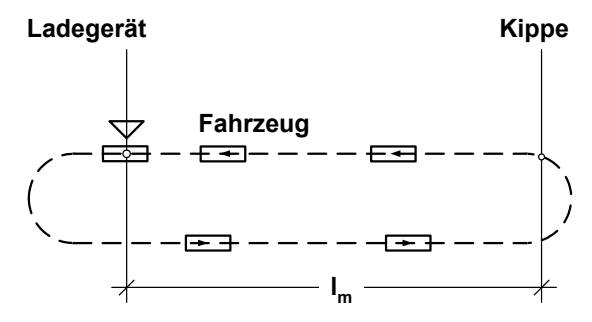


Bild 4-1: Idealfall einer Transportkette - Kreisverkehr [5]

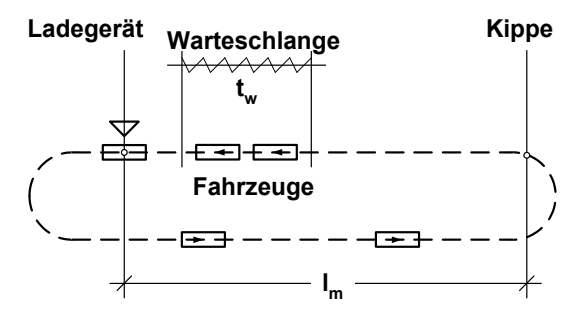


Bild 4-2: Realfall instationärer Zustand mit Warteschlange - Kreisverkehr [5]



Fall 2:  $t_{wz} > t_s$ , Rückstossverkehr

 $\Delta t = 0.5 - 1 \text{ min}$ 

$$\begin{split} t_{L,N} &= \frac{(m-1)\times t_S}{60} \times \frac{1}{\eta_{Total}^L} & \text{[min]} \\ t_{f,N} &= (\frac{m\times t_S - t_S}{60}) \times \frac{1}{\eta_{Total}^L} + t_{WZ} & \text{[min]} \\ \Delta t_N &= \frac{-t_S}{60} \times \frac{1}{\eta_{Total}^L} + t_{WZ} & \text{[min]} \\ Daraus folgt \\ t_{f,N} &= \frac{m\times t_S}{60} \times \frac{1}{\eta_{Total}^L} + \Delta t & \text{[min]} \end{split}$$

Ladegerät Kippe

twz

Fahrzeuge

Bild 4-3: Idealfall einer Transportkette - Rückstossverkehr

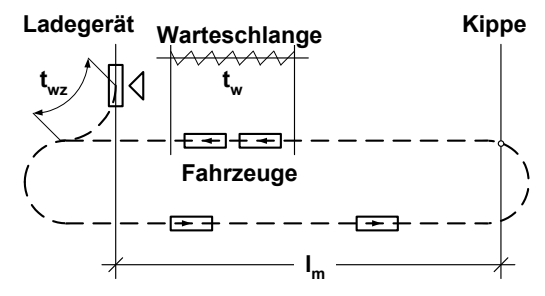


Bild 4-4: Realfall instationärer Zustand mit Warteschlange - Rückstossverkehr



#### Zusammengefasst gilt (alle Zeiten vereinheitlicht, z.B. auf Minuten):

$$t_{f,N} = \begin{cases} t_{f,N} = \frac{m \times t_S}{60} \times \frac{1}{\eta_{Total}^L} & \Rightarrow t_{WZ} \leq \frac{t_S}{60} \times \frac{1}{\eta_{Total}^L} \\ \vee & \\ t_{f,N} = \frac{m \times t_S}{60} \times \frac{1}{\eta_{Total}^L} + \Delta t & \Rightarrow t_{WZ} > \frac{t_S}{60} \times \frac{1}{\eta_{Total}^L} \end{cases}$$
 [min]

Damit eine optimale Abstimmung und Auslastung zwischen Lade- und Transportfahrzeug erreicht wird, sollte die Fahrzeugwechselzeit

$$t_{WZ} \ \leq \ t_S/60 \ \times \frac{1}{\eta_{Total}^L}$$

sein. Die Wartezeit  $t_{\rm W}$  sollte möglichst gegen null gehen, ist aber praktisch nicht vermeidbar. Die Wartezeit geht in die Umlaufzeit der einzelnen Fahrzeuge ein.

#### Umlaufzeit t<sub>U.N</sub> [min]

$$t_{\text{U,N}} = \frac{t_{\text{L}}}{\eta_{\text{Total}}^{\text{L}}} + \left(t_{\text{W}} + t_{\text{WZ}} + \frac{60}{1000} \times \sum_{i} \left(\frac{l_{i}}{v_{\text{voll}_{i}}} + \frac{l_{i}}{v_{\text{leer}_{i}}}\right) + t_{\text{E}}\right) \frac{1}{\eta_{\text{Total}}^{\text{T}}} \quad [\text{min}]$$

#### Wird $(t_W) = 0$ , so gilt:

$$t_{\text{U,N}} = \frac{t_{\text{f}}}{\eta_{\text{Total}}^{\text{L}}} + (\frac{60}{1000} \times \sum_{i} \left( \frac{l_{i}}{v_{\text{voll}_{i}}} + \frac{l_{i}}{v_{\text{leer}_{i}}} \right) + t_{\text{E}}) \frac{1}{\eta_{\text{Total}}^{\text{T}}}$$
 [min]

$t_{U,N}$	Umlaufzeit des Fahrzeugs	(Langzeitleistung)	[min]
$t_{f}$	Wagenfolgezeit	(theoretisch)	[min]
$V_{ji}$	Geschwindigkeit mit j = { j   j =	voll; j = leer} im	[km/h]
	Streckenabschnitt i		
l <sub>i</sub>	Streckenabschnitt i		[m]
t <sub>E</sub>	Entladezeit	(theoretisch)	[min]



#### Mindestanzahl der Transportfahrzeuge n [-] pro Ladegerät

Für die Berechnung der Mindestanzahl der Transportfahrzeuge pro Ladegerät bieten sich zwei Berechnungsmethoden an. Methode 1 setzt die effektiven Leistungen ins Verhältnis, Methode 2 setzt die Umlaufzeit zur Wagenfolgezeit ins Verhältnis.

Methode 1: Mindestanzahl Transportgeräte für Langzeitleistung:

$$n = \frac{Q_{L,N}}{Q_{T,N}}$$
 [-]
$$n \quad \text{Anzahl der erforderlichen Transportgeräte} \qquad \text{[-]}$$

$$Q_{L,N} \quad \text{Nutzleistung Ladegerät} \qquad \text{(Langzeitleistung)} \quad \text{[fm}^3/\text{h]}$$

 $Q_{L,N}$  Nutzleistung Ladegerät (Langzeitleistung) [fm³/h]  $Q_{T,N}$  Nutzleistung Transportgerät (Langzeitleistung) [fm³/h] L Ladegerät [-] T Transportgerät [-]

Methode 2: Mindestanzahl Transportgeräte für Langzeitleistung:

Anzahl der Ladeschaufeln pro Transportgerät:

$$m = \frac{V_{FSAE,2}^{T} \times \phi_{T,2}}{V_{SAE}^{L} \times \phi_{L}} \vee \frac{V_{FSAE,1}^{T} \times \phi_{T,1}}{V_{SAE}^{L} \times \phi_{L}}$$
 [-]

m	Anzahl der Ladeschaufeln pro Transportgerät	[-]
$\phi_{T,1}$	Füllfaktor Strasse	[-]
Фт.2	Füllfaktor Baustelle	[-]

Reale durchschnittliche Fahrzeugfolgezeit bzw. Ladezeit pro Transportgerät (Langzeitleistung):

$$\begin{bmatrix} t_{f,N} = \begin{cases} t_f & \text{if } \frac{t_f}{\eta_{Total}^L} = m \times t_{S,N} = m \times \frac{t_S}{\eta_{Total}^L} = m \times \frac{t_S}{(k_2 \times k_3 \times \eta_G)_L} \\ \vee & \text{if } \frac{t_{f,N}}{\eta_{Total}^L} + \frac{\Delta t}{\eta_{Total}^T} = m \times \frac{t_S}{(k_2 \times k_3 \times \eta_G)_L} + \frac{\Delta t}{(k_2 \times k_3 \times \eta_G)_T} \\ \end{bmatrix} }$$
 [min]



#### Reale durchschnittliche Umlaufzeit (Langzeitleistung):

$$t_{\text{U,N}} = \frac{t_{\text{f}}}{\eta_{\text{Total}}^{\text{L}}} + (t_{\text{FV}} + t_{\text{E}} + t_{\text{FL}} + t_{\text{WZ}}) \frac{1}{\eta_{\text{Total}}^{\text{T}}}$$
 [min]

$\eta_{\text{Total}}^{\text{L}}$	Totaler Leistungsreduktionskoeffizient Ladegerät	[-]
$\eta_{\text{Total}}^{\text{T}}$	Totaler Leistungsreduktionskoeffizient Transportgerät	[-]
$k_{2,L}$	Leistungseinflussfaktor Ladegerät	[-]
$k_{3,L}$	Betriebsbeiwert Ladegerät	[-]
$\eta_{G,L}$	Geräteausnutzungsgrad Ladegerät	[-]
$k_{2,T}$	Leistungseinflussfaktor Transportgerät	[-]
$k_{3,T}$	Betriebsbeiwert Transportgerät	[-]
$\eta_{G,T}$	Geräteausnutzungsgrad Transportgerät	[-]
Ĺ	Ladegerät	[-]
T	Transportgerät	Ī-Ī

#### Mindestanzahl Transportgeräte pro Ladegerät (Langzeitdurchschnitt):

$$n = \frac{t_{U,N}}{t_{f,N}} = 1 + \frac{\eta_{Total}^{L}(t_{FV} + t_{E} + t_{FL} + t_{WZ})}{\eta_{Total}^{T} \times t_{f}}$$
 [-]

n	Anzahl Fahrzeuge pro Ladegerät		[-]
$t_{U,N}$	Umlaufzeit des Fahrzeugs	(Langzeitleistung)	[min]
$t_{f,N}$	Wagenfolgezeit	(Langzeitleistung)	[min]
$t_f$	Wagenfolgezeit	(theoretisch)	[min]
$t_{Fv}$	Fahrzeit voll		[min]
t <sub>E</sub>	Entladezeit		[min]
$t_{FI}$	Fahrzeit leer		[min]
$t_{WZ}$	Wagenwechselzeit		[min]



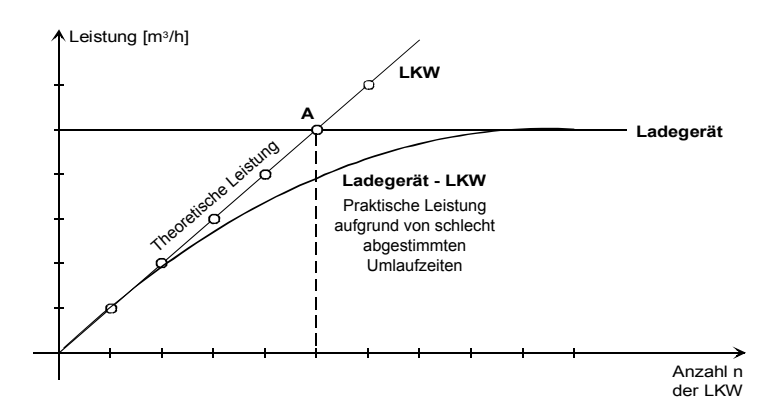


Bild 4-5: Leistung beim Ladegerät – LKW-System [30]

**Planierraupen-Gesamtleistung**  $\sum_{i} Q_{P,N,i}$  [Im<sup>3</sup>/h] zur Einebnung des Materials auf Einbaustrecke oder Kippe:

$\sum_i Q_{P,N,i} \geq$	$\frac{Q_{T,N}}{\alpha} \times n \times n_{L}$		[lm <sup>3</sup> /h]
$Q_{P,N}$	Nutzleistung Planiergerät	(Langzeitleistung)	[lm³/h]
i	Anzahl Planiergeräte		[-]
$Q_{T,N}$	Nutzleistung Transportgerät	(Langzeitleistung)	[fm <sup>3</sup> /h] [fm <sup>3</sup> /lm <sup>3</sup> ]
α	Lösefaktor		[fm³/lm³]
n	Anzahl Transportgeräte pro L	₋adegerät	[-]
$n_L$	Anzahl Ladegeräte	-	[-]

## Anzahl der Planierraupen n<sub>Planierraupen</sub> [-]

$n_{\text{Planierraupen}} \ge \frac{1,N}{\alpha \times Q_{P,N}} \times n \times n_{L} $ [-]
---

n<sub>Planierraupen</sub> Anzahl der Planierraupen [-]



# Die Prozesskettenleistung von Ladegerät-Transportgerät-Planierraupen-Betrieb:

			_
$Q_{L,N}$	Nutzleistung Ladegerät	(Langzeitleistung)	[fm <sup>3</sup> /h]
$Q_{erf,N}$	Erforderliche Nutzleistung	( - 3	[fm <sup>3</sup> /h]
⊶erf,N			
$Q_{Proz,N}$	Nutzleistung Prozesskette	(Langzeitleistung)	[fm <sup>3</sup> /h]
$Q_{T,N}$	Nutzleistung Transportgerät	(Langzeitleistung)	[fm <sup>3</sup> /h]
$Q_{P,N}$	Nutzleistung Planiergerät	(Langzeitleistung)	[lm <sup>3</sup> /h]
n	Anzahl Transportgeräte pro La	adegerät	[-]
$n_L$	Anzahl Ladegeräte		[-]
Leitgerä	t $\equiv$ Ladegerät $\equiv$ $Q_{min} = Q_{min}$	Q <sub>L,N</sub>	



# Überschlägige Ermittlung der Antriebsleistung der Transportgeräte

#### Fahrbedingung für motorgetriebene Transportfahrzeuge

## Übertragbare Zugkraft Z<sub>R</sub> [kN] [3]

Z <sub>R</sub> ≤	$\mu \times G_R$	[kN]
$Z_{R}$	übertragbare Zugkraft Bodenkraftschlussbeiwert	[kN] [-]
$G_R$	Reibungsgewichtkraft auf Antriebsachse	[kN]
m <sub>L+EG</sub>	$G_R = 9.81 \times m_{L+EG~Antriebsachse}$ $G_R = 9.81 \times m_{L+EG~Antriebsachse}$	[t]

#### Motorzugkraft Z<sub>M</sub> [kN] [3]

$Z_M =$	$P_M / c = P_M \times 3.6 / v$	[kN]
$Z_{M}$	Motorzugkraft	[kN]
$P_{M}$	Leistung des Motors	[kW]
V	Geschwindigkeit	[km/h]
С	Geschwindigkeit	[m/s]

### Umrechnungsfaktoren:

1 kW = 100 kpm/s 1 kp = 1/100 kN $\frac{\text{km/h}}{\text{km/s}} = 1/3.6 \text{ m/s}$ 

### Hakenzugkraft Z<sub>H</sub> [kN] [3]

$Z_H =$	$Z_{M}\times\eta_{ges}$	[kN]
Z <sub>H</sub> ≈	$P_{\text{M}} \times 3.6 \text{ / v } \times  \eta_{\text{ges}}$	[kN]
Z <sub>H</sub>	Hakenzugkraft bzw. effektive Zugkraft zwischen Rad und Fahrbahn	[kN]
$\eta_{\text{des}}$	mechanischer Nutzungsgrad ≈ 0.85	[-]



#### Fahrwiderstände W<sub>i</sub> [kN] [3]

#### Gesamtwiderstand W [kN]

W	$= W_R + W_S$	[kN]
W	Gesamtwiderstand (äusserer)	[kN]
$W_R$	Bahn-/Reibungswiderstand	[kN]
$W_{\text{S}}$	Steigungswiderstand	[kN]

#### Bahnwiderstand W<sub>R</sub> [kN]

$W_{R}$	$= \mathbf{w_r} \times \mathbf{m_T} \times \mathbf{g}$	[kN]
$\mathbf{W}_{r}$	Rollwiderstandsbeiwert	[-]
$m_{T}$	Gesamtmasse des Fahrzeugs ( $m = m_L + m_{EG}$ )	[t]
g	Erdbeschleunigung: 9.81	[m/s <sup>2</sup> ]

#### Steigungswiderstand W<sub>S</sub> [kN]

$W_S$	$=w_s\times m_T\times g$	[kN]
$W_s$	% Steigung	[-]
	für 1.0 % Steigung: W <sub>S</sub> ≈ 0.01 × m × g	[kN]

(Schürfwiderstände bei Schürffahrzeugen sind gesondert zu berücksichtigen.)

### Berechnung der Anzugskraft

Die Anzugskraft des Transportgeräts muss das Fahrzeug von der Geschwindigkeit null auf die Geschwindigkeit v innerhalb der Strecke s beschleunigen. Die Anzugskraft muss zu den Widerstandskräften addiert werden, damit das Transportfahrzeug auch auf der Steigung anfahren kann.



#### End- bzw. Streckengeschwindigkeit v [m/s]

$$v = a \times t$$

$$v = \sqrt{2 \times a \times I_a}$$
 [m/s]

## Erforderliche Beschleunigung a [m/s<sup>2</sup>]

$$a = \frac{v^2}{2 \times I_a}$$
 [m/s<sup>2</sup>]

## Anzugskraft zur Beschleunigung des Transportfahrzeugs Z<sub>A</sub> [kN]

$Z_A \ge (m_L + m_{EG}) \times a$	[kN]
$Z_A \ge (m_L + m_{EG}) \times \frac{v^2}{2 \times I_a}$	[kN]

$Z_{A}$	Anzugskraft zur Beschleunigung	[kN]
	des Transportfahrzeugs	
$m_L$	Lademasse	[t]
$m_{EG}$	Eigenmasse des Fahrzeugs	[t]
V	Streckengeschwindigkeit	[m/s]
la	Beschleunigungsstrecke	[m]
a	Beschleunigung	[m/s²]
t	Beschleunigungszeit bis zur Geschwindigkeit v	[s]

## Erforderliche Zugkraft $Z_{erf}$ [kN]

## Fahrbedingungen

$Z_R \geq Z_H \geq Z_{erf}$	[kN]
$Z_H = Z_M \times \eta_{ges} \geq Z_{erf} = W + Z_A$	[kN]

Fahrzeugwahl ( $P_M$ ;  $m_{L+EG\,Antriebsachse}^{LKW}$ ;  $m_{EG}^{LKW}$ ;  $m_{L}^{LKW}$ )



#### Daraus lässt sich folgern:

#### Erforderliche Motorleistung P<sub>M</sub> [kW]

$$P_{M, erf} = (W + Z_A) \times v / \eta_{ges}$$
 [kW] mit v in [m/s], ferner gilt 1 m/s = 3.6 km/h und 1  $\frac{kN \times m}{s}$  = 1 kW

# Erforderliche Gewichtskraft $G_R$ [kN] auf die Antriebsachse (einschliesslich Ladung)

$G_R \ge Z_{erf} / \mu$	[kN]
-------------------------	------

# Technisch mögliche/tatsächlich erreichbare Geschwindigkeit v [km/h]

	$\begin{array}{l} = \ P_{\text{M}} \times \eta_{\text{ges}} \times 3.6 \ / \ (G \times (w_{\text{r}} + w_{\text{s}})) \\ = \ \kappa_{1} \times v_{\text{m\"{o}gl}} \end{array}$	[km/h] [km/h]
$\kappa_1$	Geschwindigkeitsbeiwert [6], [7]	[-]
G	Gesamtgewicht des Fahrzeuges	[kN]

#### Fahrbedingungsbeiwerte

Tabelle 4-3: Bodenkraftschlussbeiwert µ [3]

	Bodenkraftschlussbeiwert
Bodenart:	μ [-]
	Luftreifen
Feld, trockener Boden	0.90
trockener Asphalt, festgewalzter Schotter	0.80
trockener Lehm und Ton, sonstiger Boden	0.70
feuchter Lehm und Ton, loser Boden	0.50
feuchter Asphalt, loser Feinsand	0.40
lockerer Grobkies	0.30



Tabelle 4-4: Geschwindigkeitsbeiwert  $\kappa_1$  [-] [3]

Länge der einfachen Fahrstrecke I [m]	Geschwindigkeitsbeiwert $\kappa_1$ [-]
150	0.50
300	0.60
600	0.70
900	0.75
1200	0.85
>1200	0.90

Tabelle 4-5: Rollwiderstandsbeiwert w<sub>r</sub> [-] [3]

Bodenart:	Rollwiderstandsbeiwert w <sub>r</sub> [-] Luftreifen
rauher, trockener Boden	0.020
unbefestigte, durchfeuchtete Wege	0.075
halbfeste Erdwege	0.050
loser Sand und Kies	0.100
schlammige Fahrbahn, frisch aufgeschüttetes Gelände	0.100



## 4.2 Gleisförderung

Die Berechnung der Gleisförderung [2], [14], [31] teilt sich in neun Abschnitte auf:

- 1. Transportabschnitte
- 2. Transportleistung des Zugs
- 3. Fahrwiderstände
- 4. Lokberechnung
- 5. Zugkraftkontrolle
- 6. Ermittlung der Bremsneigung
- 7. Ermittlung der Bremsausrüstung
- 8. Fahrzeitberechnung
- 9. Gleis

#### 1. Transportabschnitte

Die gesamte Transportstrecke wird in Abschnitte gleicher Fahrbedingungen unterteilt:

<ul> <li>Beladestelle</li> </ul>	$I_B$	[m]
<ul> <li>Teilstrecken i bei vollem Transportfahrzeug</li> </ul>	$I_{iv}$	[m]
<ul> <li>Entladestelle</li> </ul>	Ι <sub>Ε</sub>	[m]
<ul> <li>Teilstrecken i bei leerem Transportfahrzeug</li> </ul>	l <sub>il</sub>	[m]

Bei einspurigem Betrieb sollten entsprechend den Zugfolgen und der Zugdichte Ausweichstellen vorgesehen werden.

## 2. Transportleistung des Zugs [14]

#### Wahl der Spurweite:

Tabelle 4-6: Auswahlkriterien der Spurweite [14]

		Schmalspur		Normalspur
		leicht 600 mm	schwer 900 mm	1435 mm
Wageninhalt Motorleistung der Lok Fahrgeschwindigkeit	[m³] [PS] [km/h]	0.75 - 2.00 40 - 90 0 - 20	2.00 - 5.00 90 - 250 0 - 30	15 – 100 100 – 2000 0 – 60



#### Wagengrösse [14]

Massgebend dafür ist im Wesentlichen der Beladevorgang:

- chargenweises Laden mit Löffel oder Schaufel
- optimal wäre  $\frac{\text{Ladegefässvolumen}}{\text{Wageninhalt}} = \frac{V_{\text{SAE}}}{V_{\text{W100}}} = \frac{1}{4} \text{ bis } \frac{1}{6}$
- kontinuierliches Beladen des ganzen Zugs, wobei auf verdeckte Wagenübergänge und langsames Nachrücken des Zugs zu achten ist

### Wagenzahl des Zugs

Ausgangslage - gewünschte Nutzförderleistung Q<sub>N</sub> [fm<sup>3</sup>/h]

- Volumen eines Hubs der TBM V<sub>Hub</sub> [fm<sup>3</sup>]

## Ermittlung der Nutzladung eines Wagens V<sub>W</sub> [fm³]

$V_W = V_{W100} \times \alpha \times \phi$		[fm <sup>3</sup> ]
$V_W$	Nutzladung eines Wagens	[fm <sup>3</sup> ]
$V_{W100}$	Nenninhalt des Wagens	[m <sup>3</sup> ]
α	Lösefaktor	[fm <sup>3</sup> /lm <sup>3</sup> ]
φ	Füllfaktor	[-]

## Nutzladung des gesamten Zugs V<sub>Zug</sub> [fm³]

V <sub>Zug</sub> :	$=$ $n \times V_W$	[fm <sup>3</sup> ]
$V_{Zug}$	Nutzladung des gesamten Zugs	[fm <sup>3</sup> ]
n	Anzahl der Wagen	[-]
$V_W$	Nutzladung eines Wagens	[fm³]

### Beispiel:

Die gesamte Nutzladung des Zugs sollte das Ausbruchmaterial eines ganzen TBM-Hubs aufnehmen können:

$$V_{\text{Hub}} = V_{\text{Zug}}$$
 [fm<sup>3</sup>]



#### Wagenmasse des gesamten Zugs m<sub>W</sub> [t]

Enthält die Förderstrecke Neigungen, so sollten zumindest der erste und der letzte Wagen mit einer Bremseinrichtung ausgerüstet sein. Dies wirkt sich auf die Masse des Gesamtzugs aus.

$m_W=$	$(n-2)\times m'_W + 2\times m'_{Wb} + n\times V_{W100}\times \phi\times \rho_S$	[t]
$m_W$	Gesamtwagenmasse des Zugs	[t]
n	Anzahl der Wagen	[-]
m' <sub>W</sub>	Masse des Wagens ohne Bremse	[t]
m' <sub>Wb</sub>	Masse des Wagens mit Bremse	[t]
$V_{W100}$	Nenninhalt eines Wagens	[m <sup>3</sup> ]
φ	Füllfaktor	[-]
ρs	Schüttdichte	[t/m <sup>3</sup> ]

## 3. Fahrwiderstände [14]

w <sub>m</sub> =	$=$ $W_r + W_k \pm W_s$	[-]
$\mathbf{W}_{m}$	Gesamtfahrwiderstandsbeiwert	[-]
$\mathbf{W}_{r}$	Rollwiderstandsbeiwert	[-]
$W_k$	Kurvenwiderstandsbeiwert	[-]
$W_s$	Steigwiderstandsbeiwert	[-]

## Steigwiderstandsbeiwert $w_s$ [-]

Die vorhandene Steigung [%] entspricht dem Steigwiderstandsbeiwert  $w_s$  [-], z.B. 3 % Steigung entsprechen  $w_s$  = 0.03.



#### Gesamtfahrwiderstand der Wagen W<sub>m(W)</sub> [kN]

	$= w_{m(W)} \times m_{W} \times g$ $= w_{r(W)} + w_{k(W)} + w_{s}$	[kN] [-]
$W_{m(W)}$	Gesamtfahrwiderstand der Wagen	[kN]
$W_{m(W)}$	Gesamtfahrwiderstandsbeiwert	[-]
$W_{r(W)}$	Rollwiderstandsbeiwert der Wagen	[-]
$W_{k(W)}$	Kurvenwiderstandsbeiwert der Wagen	[-]
$m_W$	Gesamtwagenmasse des Zugs	[t]
g	Erdbeschleunigung: 9.81	[m/s <sup>2</sup> ]

Die Widerstandsbeiwerte beinhalten die gesamten Bewegungswiderstände des Rad-Schiene-Systems (Reibung Rad-Schiene und Rad-Achse).

### 4. Lokberechnung [14]

#### Erforderliche Reibungszugkraft der Lok Z<sub>RL</sub> [kN]

$Z_{RL} \geq 1$	$W_{m(W)} + W_{m(L)}$	[kN]
$Z_{RL}$	erforderliche Reibungszugkraft der Lok	[kN]
$W_{m(W)}$	Gesamtfahrwiderstand der Wagen	[kN]
$W_{m(L)}$	Fahrwiderstand der Lok	[kN]

Um jedoch den Fahrwiderstand der Lok ermitteln zu können, wird das Lokgewicht benötigt; deshalb wird in die Rechnung eingesetzt:

$W_{m(W)} \approx W_{m(L)}$	[kN]
$Z_{RL} \ge 2 \times W_{m(L)}$	

Damit lässt sich die erforderliche Reibungsgewichtskraft der Lok  $\mathbf{G}_{\mathsf{RL}}$  [kN] ermitteln:

$$G_{RL} \ge \frac{Z_{RL}}{\mu} \ge \frac{2 \times W_{m(L)}}{\mu}$$
 [kN]

 $\begin{array}{ll} G_{\text{RL}} & \text{Reibungsgewichtskraft der Lok auf den Antriebsrädern} & \text{[kN]} \\ \mu & \text{Kraftschlussbeiwert Rad-Schiene} & \text{[-]} \end{array}$ 



#### Übertragbare Zugkraft der Lok auf die Schienen:

$Z_{RL}$	$= G_{RL} \times \mu = m_L \times g \times \mu$	[kN]
mı	Masse der Lok (alle Räder = Antriebsräder)	[t]

## Fahrwiderstand der Lok $W_{m(L)}$ [kN]

$W_{m(L)}$	$= G_{RL} \times W_{m(L)} = G_{RL} \times (W_{r(L)} + W_{k(L)} + W_{s})$	[kN]
$W_{m(L)}$	Fahrwiderstand der Lok	[kN]
$W_{m(L)}$	Gesamtfahrwiderstandsbeiwert der Lok	[-]
$W_{r(L)}$	Rollwiderstandsbeiwert der Lok	[-]
$W_{k(L)}$	Kurvenwiderstandsbeiwert der Lok	[-]
$G_RL$	Reibungsgewichtskraft der Lok auf den	
	Antriebsrädern	[kN]

Die Widerstandsbeiwerte beinhalten die gesamten Bewegungswiderstände des Rad-Schiene-Systems (Reibung Rad-Schiene und Rad-Achse). Die entsprechenden Widerstandsbeiwerte müssen bei den Rollmaterialherstellern angefragt werden.

#### Kraftschlussbeiwert Rad-Schiene μ [-]

- nass	0.050 - 0.100
<ul><li>trocken</li></ul>	0.100 - 0.150
<ul> <li>Sand gestreut</li> </ul>	0.200 - 0.250

### Danach kann ein zweckmässiger Loktyp gewählt werden:

<ul> <li>Motorleistung</li> </ul>	$P_{mo}$	[PS bzw. kW]
<ul> <li>Lokgewichtskraft/Lokmas</li> </ul>	sse	$G_L$ [kN] / $m_L$ [t]
<ul> <li>Reibungsgewichtskraft</li> </ul>	$G_RL$	[kN]
<ul> <li>Maschinenzugkraft</li> </ul>	$Z_{M}$	[kN]



## 5. Zugkraftkontrolle

#### Ermittlung des Fahrwiderstands der Lok W<sub>m(L)</sub> [kN] [14]

$W_{m(L)}$	$= w_{m(L)} \times m_L \times g$	[kN]
mit m	$I_L \times g \ge G_{RL}$	[kN]
$W_{m(L)}$	Fahrwiderstand der Lok	[kN]
$W_{m(L)}$	Gesamtfahrwiderstandsbeiwert der Lok	[-]
$m_L$	Masse der Lok	[t]

Das Lokgewicht ist dann grösser als das Reibungsgewicht der Antriebsräder, wenn nicht alle Räder gleichzeitig Antriebsräder sind.

#### Gesamtfahrwiderstand des Zugs W<sub>m</sub> [kN] [14]

$W_{m} = W_{m(L)} + W_{m(W)}$	[kN]
-------------------------------	------

Somit ist der erforderliche Zugkraftanteil der Lok  $Z_R$  zur Überwindung der Reibung:

$ \mathcal{L}_{R} \geq VV_{m} $
---------------------------------

### Erforderliche Anzugskraft des Zugs Z<sub>A</sub> [kN]

$Z_A \ge (m_L + \sum m_{wi}) \times a$	[kN]
$mit  a = \frac{v^2}{2 \times I_a}$	[m/s <sup>2</sup> ]
m <sub>L</sub> Masse der Lok	[t]

m<sub>wi</sub> Gesamtmasse des Wagens i [t]

(Eigenmasse und Lademasse)

v Streckengeschwindigkeit [m/s]

l<sub>a</sub> Beschleunigungsstrecke [m]

a Beschleunigung [m/s²]

Näherungsweise kann zur Bestimmung der erforderlichen Anzugskraft  $Z_A$  folgende auf Erfahrung beruhende Beziehung verwendet werden [14]:

$$Z_A \le 0.75 \times Z_{RI}$$
 [kN]

Mit dieser Anzugskraft  $Z_A$  ist ein kraftschlüssiges Anfahren der Lok auf einer geraden Rampe mit 1 % Steigung noch möglich.



#### Erforderliche Gesamtzugkraft der Lok Z<sub>L</sub> [kN]

$$Z_{L} = Z_{R} + Z_{A}$$
 [kN]

Achtung: Zur Ermittlung der Gesamtzugkraft der Lok  $Z_L$  die obere Grenze der Gesamtwiderstände einsetzen.

#### Antriebskraft der Lok Z<sub>Antrieb</sub> [kN] auf der Schiene

Z <sub>Antrieb</sub>	$= \frac{P_{M} \times 3.6}{V} \times \eta_{Ges}$	[kN]
$Z_{\text{Antrieb}}$	Antriebskraft der Lok, umgesetzt auf die Schiene	[kN]
$P_{M}$	Motorleistung	[kW]
V	Streckengeschwindigkeit	[km/h]
$\eta_{Ges}$	Mechanischer Nutzungsgrad Motor-Schiene ≈ 0.85	[m/s²]

Die **erforderliche Masse der Lok m**<sub>L</sub> **[t]** zum Anfahren und zur Überwindung der Reibung ergibt sich aus:

$m_L \ge \frac{Z_L}{\mu \times g}$	[t]	
μΛ9		

 $\mu$  Kraftschlussbeiwert Rad-Schiene [-]

Bedingung zur Lokauswahl:

$$Z_{RL} > Z_{Antrieb} > Z_{L}$$
 [kN]

Lokauswahl mit (P<sub>M</sub>; m<sub>L</sub>)

Falls diese Forderungen nicht erfüllt sind, muss

- a) eine schwerere Lok
- b) eine kleinere Wagenzahl
- c) ein grösserer Kurvenradius
- d) eine flachere Steigung

gewählt werden.



## 6. Ermittlung der Bremsneigung [14]

Die günstigste Neigung für Talfahrt ergibt sich aus dem Beharrungszustand bei gleichförmiger Bewegung, d.h. wenn

Zugkraft = 0Bremskraft = 0

Allgemein gilt für die günstigste Neigung, die so genannte Bremsneigung:

$i_{br} = w$	$r_{(W)} + W_{k(W)}$	[-]
$i_{br}$ $W_{r(W)}$ $W_{k(W)}$	Bremsneigung Rollwiderstandsbeiwert der Wagen *) Kurvenwiderstandsbeiwert der Wagen *)	[-] [-] [-]

Diese Bremsneigung ist bei der Trassierung einer Strecke möglichst zu berücksichtigen. Es ist fahrdynamisch am günstigsten, die erforderlichen Gleisrampen mit "Bremsneigung" anzulegen.

## 7. Ermittlung der Bremsausrüstung

### Erforderliche Bremskraft B<sub>r-erf</sub> [kN] des Zugs

$B_{r-er}$	$_{f} = B_{b} + B_{i}$	[kN]
B <sub>b</sub>	Verzögerungskraft, um den Zug von der Fahrgeschwindigkeit v innerhalb der Strecke I <sub>b</sub> in der Horizontalen zu stoppen	[kN]
$B_i$	überschüssige Gefällekraft	[kN]

<sup>\*)</sup> Achtung: Zur Ermittlung von Bremsneigung und Bremskraft die untere Grenze der Gesamtwiderstände einsetzen.



$B_b = (m_L + m_W) \times b = (m_L + m_W) \times \frac{v^2}{2 \times I_b}$	[kN]
$B_{i} = g \times (m_{L} \times (i - w_{r,L}) + m_{W} \times (i - w_{r,W}))$	[kN]

$m_l$	Masse der Lok	[t]
m <sub>W</sub>	Gesamtwagenmasse des Zugs	[t]
i	maximales Gefälle	[-]
$\mathbf{W}_{r,L}$	Rollwiderstandsbeiwert der Lok	[-]
	(beim Bremsen untere Grenze)	
$\mathbf{W}_{r,W}$	Rollwiderstandsbeiwert der Wagen	[-]
	(beim Bremsen untere Grenze)	
b	Bremsverzögerung	[m/s <sup>2</sup> ]
V	Fahrgeschwindigkeit	[m/s]
$I_b$	Bremsstrecke	[m] <sup>-</sup>
g	Erdbeschleunigung: 9.81	[m/s <sup>2</sup> ]

#### Mögliche Bremskraft B<sub>r-möglich</sub> [kN] des Zugs

$B_{r-m\ddot{o}}$	$g_{glich} = g \times (m_L + r \times m_{wtb}) \times \mu$	[kN]
r	Anzahl der Wagen mit Bremse	[-]
$m_{\text{wtb}}$	Gesamtmasse des Wagens mit Bremse (Eigenmasse und Lademasse)	[t]
u	Bremskraftschlussbeiwert Rad-Schiene	[-]

### Die erforderliche Anzahl r [-] von Wagen mit Bremse ergibt sich aus:

$$\left[ \begin{aligned} B_{r-m \ddot{o}glich} &\geq B_{r-erf} \\ r &\geq \frac{1}{g \times m_{wtb}} \left[ \frac{\left(m_{L} + m_{W}\right) \left(\frac{v^{2}}{2 \times I_{b}} + i \times g\right) - \left(m_{L} \times w_{r,L} + m_{W} \times w_{r,W}\right) g}{\mu} - m_{L} \times g \right] \end{aligned}$$

### Gültigkeitsbereich

$$r = \begin{cases} r \middle| r = a; a \in R^+ \land n_i < a < n_{i+1} \Rightarrow r = n_{i+1}; \\ a \in R^- \Rightarrow r = 0; a \in N \land a = n_i \Rightarrow r = n_i \end{cases}$$



## 8. Fahrzeitberechnung [14]

## Gesamtfahrzeit T [min]

$T = \frac{L \times 60}{v} + \Delta t_{a} + \Delta t_{b}$		[min]
Т	Gesamtfahrzeit	[min]
L	Länge der Transportstrecke	[km]
٧	mittlere Streckengeschwindigkeit	[km/h]
$\Delta t_{a}$	Anfahrzeitzuschlag	[min]
$\Delta t_{b}$	Bremszeitzuschlag	[min]

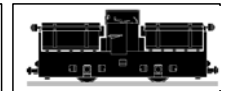
#### mit

Gesc	hwindigkeit $v = \frac{P_{M} \times \eta_{Ges}}{G_{RL} \times \mu} \times 3.6$	[km/h]
٧	Fahrgeschwindigkeit	[km/h]
$P_{M}$	Motorleistung	[kW]
$G_{RL}$	Reibungsgewichtskraft der Lok (alle Räder = Antriebsräder)	[kN]
μ	Kraftschlussbeiwert Rad-Schiene	[-]

Anfahrzeitzuschlag $\Delta t_a = \frac{v}{3.6 \times 60 \times a_a}$	[min]
--	-------

$\Delta t_a$	Anfahrzeitzuschlag	[min]
V	Geschwindigkeit, auf die der Zug beschleunigt wird	[km/h]
$\mathbf{a}_{a}$	Anfahrbeschleunigung	$[m/s^2]$

Anfahı	[m/s <sup>2</sup> ]	
Z <sub>Antrieb</sub> W <sub>m</sub>	Anfahrzugkraft/Antriebskraft der Lok Gesamtfahrwiderstand Masse des Zugs	[kN] [kN] [t]



Bremszeitzuschlag Δt <sub>h</sub>	$2 \times I_b$	_	[min]
Diemszeitzuschlag Atb		$-\frac{3,6\times60\times a_b}{}$	[iiiii]

$\Delta t_b$	Bremszeitzuschlag	[min]
l <sub>b</sub>	Bremsstrecke	[m]
V	Geschwindigkeit, bei der der Zug abgebremst wird	[km/h]
$a_b$	Bremsverzögerung	[m/s <sup>2</sup> ]

#### 9. Gleis

#### Dimensionierung der Schienen

Zur baubetrieblichen Vordimensionierung der Schienen, bei gewähltem Schwellenabstand, können aufgrund des für die Schienen zugelassenen Achsendrucks und der Spurweite die Schienenprofile gewählt werden.

Tabelle 4-7: Daten verschiedener Profile [14], [32]

Profil nach DIN 5901	Masse [kg/m]	Spurweite [mm]			nsdruck in nabstand 80	
S 10 S 14 S 20 S 33 S 41 R 10 S 49	10.0 14.0 19.8 33.47 41.38 49.43	600 600 - 750 750 - 900 900 - 1435 900 - 1435 900 - 1435	42.18 63.77 115.76 – –	36.30 54.94 99.08 228.57 286.45 351.20	31.39 48.07 86.33 200.12 247.21 308.03	25.51 38.26 69.65 159.90 201.11 245.25



## 4.3 Bandförderung

## Nutzleistung Q<sub>N</sub> [lm<sup>3</sup>/h]

$Q_N =$	$A_F \times v \times 3600 \times f_{\beta} \times f_{\phi} \times f_{5} \times \eta_{G}$	[lm³/h]
mit	$Q_0 = A_F \times v \times 3600$	[lm³/h]
	$\mathbf{f}_2 = \mathbf{f}_{\beta} \times \mathbf{f}_{\varphi} \times \mathbf{f}_{5}$	[-]
wird		
$Q_N = Q_0 \times f_2 \times \eta_G$		[lm³/h]

Nutzleistung (loses Material)	[lm <sup>3</sup> /h]
Grundförderleistung (loses Material)	[lm <sup>3</sup> /h]
theoretischer Füllquerschnitt des Förderbands	$[m^2]$
Fördergeschwindigkeit	[m/s]
Korrekturfaktor für die Bandneigung	[-]
Korrekturfaktor für die Ungleichförmigkeit der Beschi-	[-]
ckung (= 0.5 – 1.0, abhängig vom Ladegerät)	
Gerätezustandsfaktor	[-]
Geräteausnutzungsfaktor	[-]
	Grundförderleistung (loses Material) theoretischer Füllquerschnitt des Förderbands Fördergeschwindigkeit Korrekturfaktor für die Bandneigung Korrekturfaktor für die Ungleichförmigkeit der Beschickung (= 0.5 – 1.0, abhängig vom Ladegerät) Gerätezustandsfaktor

Tabelle 4-8: Bandsteigungsbereich  $\varphi$  [°] [14]:

	Steigung φ [°]
Feinkörniges Gut	25
Grobkörniges Gut	18
Rolliges Gut	14
Steilförderband	< 40



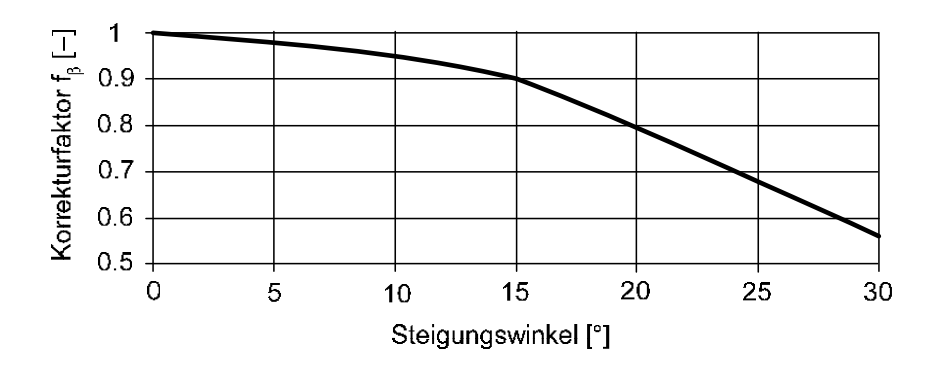


Bild 4-6: Korrekturfaktor  $f_{\beta}$  – Einfluss des Steigungswinkels auf den Fördergutstrom [14]

Tabelle 4-9: Optimale Bandbreite b zur maximalen Korngrösse [14]

Bandbreite b [mm]	maximale Korngrössen bei Einzelkom- bei Gemisch ponenten [mm] [mm]		
400	100	180	
500	120	200	
650	160	260	
800	200	300	
1000	250	380	
1200	300	450	

Tabelle 4-10: Bandgeschwindigkeit v [14]

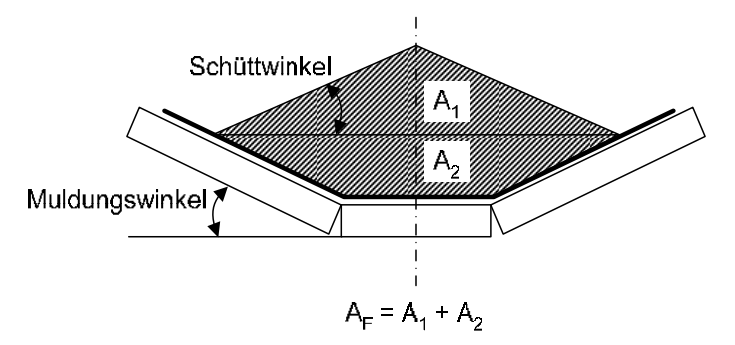
	v [m/s]
Stückgut	1.0 - 2.0
Schüttgut	1.5 - 6.0
Staubgut	< 7.0
Spitzengeschwindigkeit für Laden von erdfeuchtem, feinkörnigem Boden	8.0 – 12.0



Tabelle 4-11 Theoretischer Füllquerschnitt A<sub>F</sub> des Förderbandes [14], [33]

Theoretische Füllquerschnitte für dreiteilig gemuldete Bänder [m²]

Bandbreite	Schütt-	Muldungswinkel				
B [mm]	winkel	20°	25°	30°	35°	45°
500	10°	0.0167	0.0188	0.0205	0.0220	0.0244
	15°	0.0200	0.0221	0.0237	0.0250	0.0268
	20°	0.0238	0.0256	0.0270	0.0282	0.0298
650	10°	0.0300	0.0336	0.0336	0.0394	0.0441
	15°	0.0360	0.0398	0.0424	0.0447	0.0487
	20°	0.0425	0.0460	0.0485	0.0505	0.0540
800	10°	0.0470	0.0525	0.0575	0.0620	0.0685
	15°	0.0570	0.0623	0.0665	0.0700	0.0756
	20°	0.0665	0.0720	0.0760	0.0790	0.0837
1000	10°	0.0750	0.0850	0.0925	0.0990	0.1095
	15°	0.0910	0.1000	0.1070	0.1130	0.1210
	20°	0.1070	0.1160	0.1220	0.1270	0.1340
1200	10°	0.1110	0.1240	0.1360	0.1460	0.1620
	15°	0.1325	0.1470	0.1570	0.1660	0.1780
	20°	0.1570	0.1700	0.1790	0.1870	0.1970
1400	10°	0.1530	0.1720	0.1870	0.2010	0.2220
	15°	0.1840	0.2020	0.2160	0.2280	0.2450
	20°	0.2170	0.2340	0.2470	0.2580	0.2710
1600	10°	0.2020	0.2260	0.2470	0.2650	0.2950
	15°	0.2430	0.2680	0.2860	0.3020	0.3260
	20°	0.2870	0.3140	0.3260	0.3400	0.3610





## **Antriebsleistung eines Bandes**

## Grundförderleistung des Bandes $\overline{\mathbf{Q}}_0$ [t/h]

Gesamtkr	aft des Bandes F <sub>B</sub> [kN]	
$F_B = (F_R +$	$(F_V + F_A) \times \gamma$	[kN]
$F_R = [(2 \times$	$m_G + m_L \times \cos \beta + \overline{m}_R \times g \times \eta_B \times L$	[kN]
$F_V = \pm (m_L$	$+2\times m_G)\times g\times H$	[kN]
$H = L \times sir$	ηβ	[m]
$F_A = (2 \times n)$	$n_G + m_L + \overline{m}_R \times a_{a/b} \times L$	[kN]
$a_{a/b} = \frac{v}{t_{ab}}$	$=\frac{v^2}{2\times I_{a/b}}$	[m/s <sup>2</sup> ]
$\overline{m}_{R} = \frac{m_{Ro}}{I_{o}}$	$\frac{1}{r} + \frac{m_{Ru}}{I_u}$	[t/m]
$\overline{Q}_0 = Q_0 >$	$c  ho_{F}$	[t/h]
$m_L = \frac{\overline{C}}{360}$	$\frac{\overline{Q}_0}{0 \times v}$	[t]
$F_R$	Reibungskraft des Bandes	[kN]
$F_V$	Steigungs-/Neigungskraft des Bandes	[kN]
	Beschleunigungs-/Bremskraft des Bandes	[kN]
	Masse des oberen Bandes	[t/m]
$m_{\text{Gu}} = m_{\text{G}}$	Masse des unteren Bandes	[t/m]

$\overline{m}_{R}$	Masse der Laufrollen	[t/m]
$m_L$	Masse des Förderguts	[t/m]
$m_{Ro}$	Masse einer Laufrolle oben	[t]
$m_{Ru}$	Masse einer Laufrolle unten	[t]
lo	Abstand der Laufrollen oben	[m]
$I_u$	Abstand der Laufrollen unten	[m]
$\eta_{B}$	Bandreibung an Rollen sowie	[-]
·	Antriebs- und Umlenktrommel	
β	Neigung des Bandes	[°]
Ĺ	Gesamtlänge des Bandes	[m]
Н	maximale Höhendifferenz des Bandes	[m]



γ	Sicherheitsfaktor (ca. 30 % ≜ 1.3)	[-]
$\dot{Q}_0$	Grundförderleistung des Bandes	[lm³/h]
$\frac{Q_0}{Q_0}$	Grundförderlastleistung des Bandes	[t/h]
٧	Bandgeschwindigkeit	[m/s]
a <sub>a/b</sub>	Beschleunigung bzw. Verzögerung des Bandes	$[m/s^2]$
I <sub>a/b</sub>	Beschleunigungs- bzw. Bremsstrecke des Bandes	[m]
$t_{a/b}$	Beschleunigungs- bzw. Bremszeit	[s]
ρ <sub>F</sub>	Dichte des losen Fördergutes	[t/lm <sup>3</sup> ]

## Die Antriebsleistung P<sub>A</sub> [kW] beträgt

$P_A = F_B \times V$	[kW]	
7, 5		

## Motorleistung P<sub>M</sub> [kW]

$P_{M} = \frac{P_{A}}{P_{A}}$	[kW]
$\eta_{M} = \eta_{M}$	

 $\eta_{\text{M}}$  Wirkungsgrad 0.8 bis 0.9 [-]



## 4.4 Flüssigkeitsförderung

Bernoullische Gleichung für stationäre Bewegung mit Verlust in Rohrlei-

$$\frac{p_1}{\rho \times g} + \frac{v_1^2}{2 \times g} + z_1 = \frac{p_2}{\rho \times g} + \frac{v_2^2}{2 \times g} + z_2 + h_V$$
 [m]

$$v_i = \frac{Q}{3600 \times A_i}$$
 [m/s]

$$Re_{j} = \frac{v_{j} \times d_{j}}{v}$$
 [-]

$$\lambda_{j} = \left[ -2 \times log \left[ 2.7 \times \frac{\left( log Re_{j} \right)^{1.2}}{Re_{j}} + \frac{1}{3.71} \times \frac{k_{j}}{d_{j}} \right] \right]^{-2}$$
 [-]

$$h_{V,j} = \lambda_j \times \frac{l_j}{d_j} \times \frac{{v_j}^2}{2 \times g}$$
 [m]

$$h_{V\ddot{o},k} = \zeta_k \times \frac{{v_k}^2}{2 \times q}$$
 [m]

$$h_{V\ddot{o},k} = \zeta_k \times \frac{{v_k}^2}{2 \times g}$$
 [m] 
$$h_V = \left(\sum_j h_{V,j} + \sum_k h_{V\ddot{o},k}\right) \times \eta_{visko}$$
 [m]

$\frac{p_i}{\rho \times g}$	Druckhöhe am Punkt i der Rohrleitung	[m]
$\frac{v_i^2}{2 \times g}$	Geschwindigkeitshöhe am Punkt i der Rohrleitung	[m]
p <sub>i</sub> g ρ	Druck am Punkt i in der Rohrleitung Erdbeschleunigung Rohdichte der Flüssigkeit	[kPa] [m/s²] [t/m³]
z <sub>i</sub> h <sub>V</sub>	geodätische Höhe des Punktes i der Rohrleitung Gesamtverlusthöhe zwischen Punkt 1 und 2 der Rohrleitung	[m] [m]
$V_i$	Fliessgeschwindigkeit im gefüllten Rohrquerschnitt am Punkt i	[m/s]



Q	Fördermenge ( $Q_{FF}$ bei Feststoff-Flüssigkeitsförderung, $Q_{F}$ bei Flüssigkeitsförderung)	[m <sup>3</sup> /h]
$A_{i}$	Querschnittsfläche des durchflossenen Rohrquer- schnitts am Punkt i	[m <sup>2</sup> ]
$\begin{array}{l} Re_j \\ d_i \\ \nu \\ \lambda_j \\ k_i \\ h_{V,j} \end{array}$	Reynoldszahl im Abschnitt j der Rohrleitung Durchmesser der Rohrleitung im Abschnitt j kinematische Viskosität der Flüssigkeit Widerstandsbeiwert im Abschnitt j der Rohrleitung Rauhigkeitswert der Rohrleitung im Abschnitt j Reibungsverlusthöhe im Abschnitt j mit gleicher	[-] [m] [m <sup>2</sup> /s] [-] [mm] [m]
l <sub>i</sub> V <sub>j</sub>	Beschaffenheit der Rohrleitung Länge des Abschnitts j der Rohrleitung Fliessgeschwindigkeit im Abschnitt j der Rohrlei-	[m] [m/s]
$h_{V\ddot{o},k}$	tung Verlusthöhe durch örtliche Einbauten an Punkten k der Rohrleitung	[m]
$\zeta_{k}$	Verlustbeiwert für Einbauten, Querschnittsänderungen an den Punkten k der Rohrleitung	[-]
$V_{k}$	Fliessgeschwindigkeit direkt hinter den Einbauten an den Punkten k der Rohrleitung	[m/s]
$\eta_{\text{visko}}$	Viskositätsfaktor (Wasser: $\eta_{visko}^{W} = 1.0$ ; Bentonit: $\eta_{visko}^{B} = 1.1$ )	[-]
i, j, k	Orts- bzw. Abschnittsbezeichungen entlang der Rohrleitung	[-]

# Bestimmung des Widerstandbeiwerts $\boldsymbol{\lambda_j}$ über einen bestimmten Rohrabschnitt j

Die Rohrleitung wird in Teile gleicher Beschaffenheit eingeteilt. Zu beachten sind die absolute Rauheit des Rohres  $k_j$  sowie der Durchmesser  $d_j$ . Durch Bestimmung von Re $_j$  und des Verhältnisses  $k_j$  /  $d_j$  kann  $\lambda_j$  für die Rohrleitungsabschnitte j aus Bild 4-7 entnommen werden. Dies geschieht durch das geradlinige Verbinden der Werte Re $_j$  und  $k_j$  /  $d_j$  im Diagramm.  $\lambda_j$  kann als Schnittpunkt der Linie Re $_j$ -- $k_j$ /  $d_j$  mit dem Graphen  $\lambda$  abgelesen werden.



Tabelle 4-12: Kinematische Viskosität v [m²/s] von Wasser nach [35]

Temperatur [°C]	Kinematische Viskosität v [m²/s]
0	$1.78 \times 10^{-6}$
10	$1.30 \times 10^{-6}$
20	$1.00 \times 10^{-6}$
30	$8.06 \times 10^{-7}$
40	$6.57 \times 10^{-7}$
50	$5.50 \times 10^{-7}$
60	$4.78 \times 10^{-7}$
100	$2.94 \times 10^{-7}$

Tabelle 4-13: Rauhigkeitswerte k [mm] für Rohre [36]

Rohrwerkstoff	Zustand der Rohrwand	Rauhigkeitswert k [mm]
gezogenen Rohre aus Kupfer und Mes- sing, Kunststoffen, Glas	technisch glatt	0.0013 – 0.0015
Gummidruck- schlauch	glatt	0.0016
	neu, Walzhaut	0.02 - 0.06
nahtlose Stahlrohre	neu, gebeizt	0.03 - 0.04
	neu, verzinkt	0.07 - 0.16
längsgeschweisste	neu, Walzhaut	0.04 - 0.1
Stahlrohre	neu, bituminiert	0.01 - 0.05
Stariiionie	neu, galvanisiert	0.008
Stahlrohr nach länge-	mässig verrostet bzw. leicht verkrustet	0.15 - 0.2
rer Benützung	stark verkrustet	bis 2.5
	neu mit Gusshaut	0.2 - 0.6
gussaisarna Rohra	neu bituminiert	0.1 – 0.13
gusseiserne Rohre	leicht angerostet	0.5 – 1.5
	verkrustet	1.5 – 4



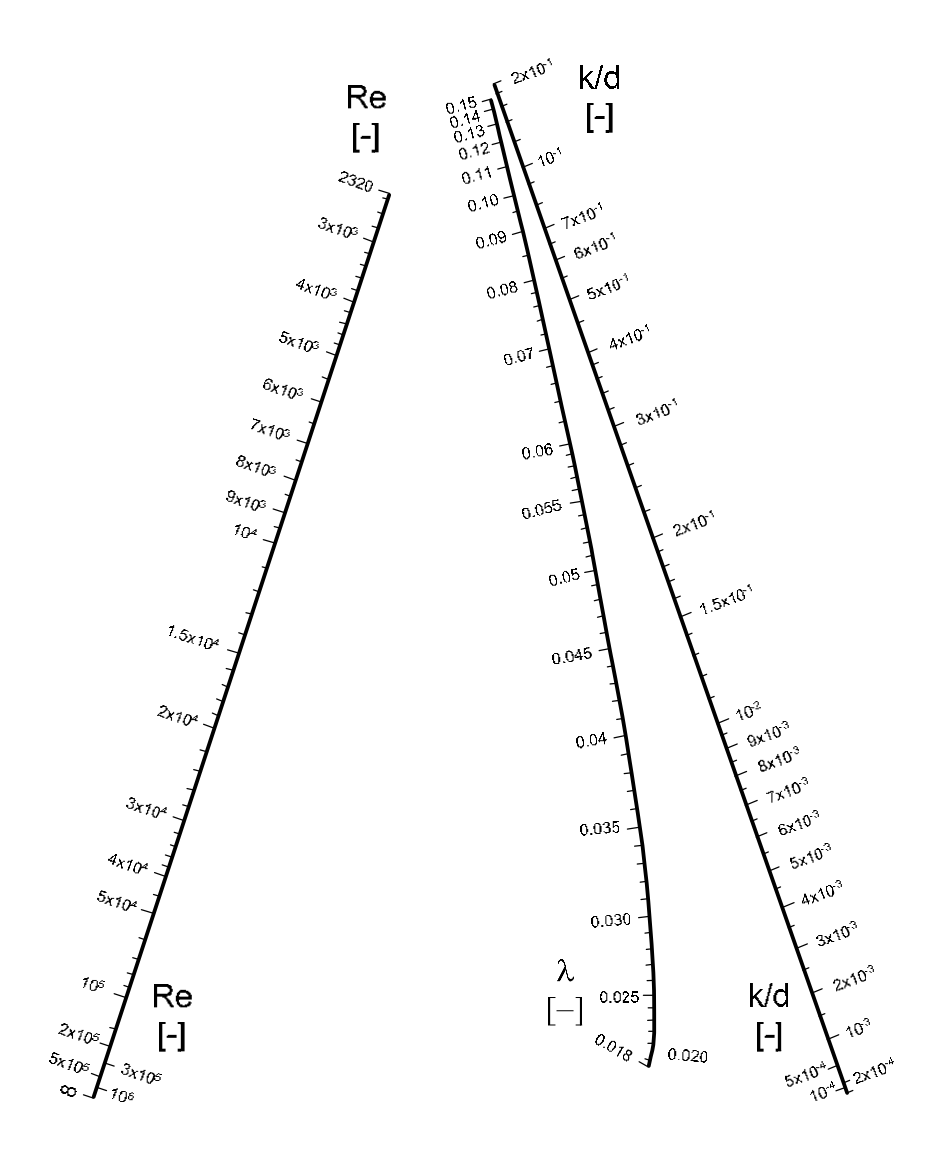


Bild 4-7: Nomogramm zur Bestimmung des Widerstandsbeiwerts  $\lambda_j$  nach [34], [37]

Nomogramm zur **Bestimmung von**  $\lambda_j$  [-] bei bekannter Reynoldszahl Re und bekanntem Verhältnis Rohrrauhigkeit k/Rohrdurchmesser d



# Bestimmen von lokalen Druckverlusten in Rohrleitungen Eintrittsverluste $\zeta_{\text{E}}$ [-]

Tabelle 4-14: Verlustbeiwerte  $\zeta_E$  [-] für Einlauf aus offenem Becken in ein Rohr [38]

Beschreibung	Verlustbeiwert $\zeta_{E}$ [-]
dünnwandiges Rohr, aus einer senkrechten Wand herausragend	0.60 – 1.30
nicht erweiterter Einlauf mit recht- winkligen Kanten	≈ 0.50
nicht erweiterer Einlauf mit geringer Kantenausrundung	≈ 0.25
gut ausgebildete Einlauftrompete mit stark ausgerundeten Kanten, ggf. mit günstig geformtem Zwi- schenpfeiler	0.06 – 0.10

### Verlustbeiwerte ζ<sub>RÄ</sub> [-] für Richtungsänderungen

Verlustbeiwerte  $\zeta_{KK}$  [-] für glatte Kreiskrümmer

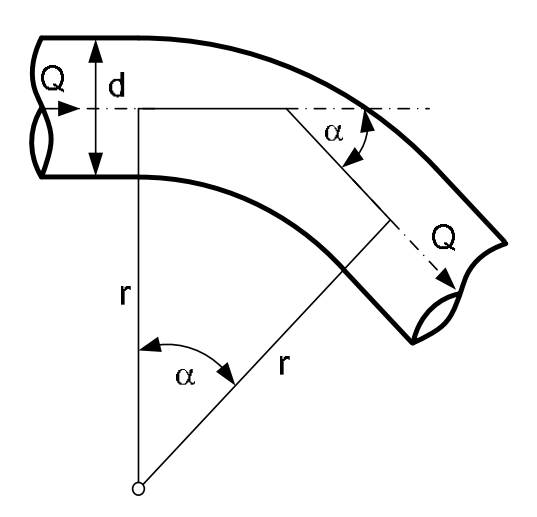


Bild 4-8: Kreiskrümmer [38]



Tabelle 4-15: Verlustbeiwerte  $\zeta_{\rm KK}$  [-] für Kreiskrümmer [38]

ζκκ [-]		Umlenkwinkel $\alpha$ [°]						
		15	22.5	30	45	60	90	
r/d	2	0.030	0.045	0.060	0.090	0.120	0.140	
	3	0.030	0.045	0.055	0.080	0.100	0.130	
	5	0.030	0.045	0.050	0.070	0.080	0.110	
	10	0.030	0.045	0.050	0.070	0.070	0.110	

Verlustbeiwerte  $\zeta_{K}$  [-] für Kreisrohr-Kniestücke

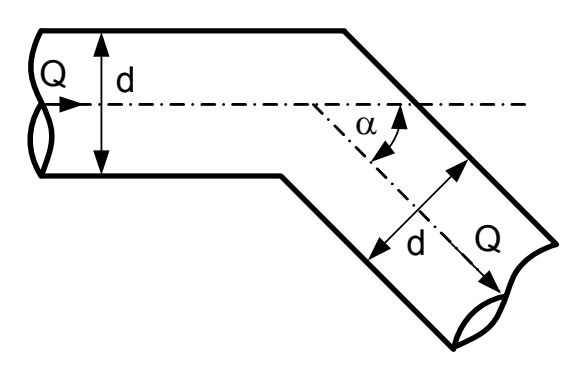


Bild 4-9: Kreisrohr-Kniestück [38]

Tabelle 4-16: Verlustbeiwerte  $\zeta_{K}$  [-] für Kreisrohr-Kniestücke [39]

ζκ		Umlenkwinkel α [°]						
[-]		10	15	22.5	30	45	60	90
Wan-	glatt	0.034	0.042	0.066	0.130	0.236	0.471	1.129
dung	rauh	0.044	0.062	0.154	0.165	0.320	0.684	1.265



## Verlustbeiwerte ζ<sub>QÄ</sub> [-] für Querschnittsänderung

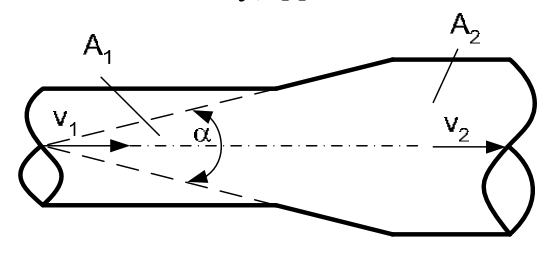


Bild 4-10: Querschnittsänderung [38]

$\zeta_{Q\bar{A}} = c \times \left(1 - \frac{A_2}{A_1}\right)^2$	[-]
( ///	

ζqä	Verlustbeiwert für Querschnittsänderungen	[-]
C	Formbeiwert	[-]
<b>A</b> <sub>2</sub>	Flächenverhältnis Austritts- zu Eingangsrohrquer-	[-]
A <sub>1</sub>	schnitt	[-]

Tabelle 4-17: Formbeiwerte für Querschnittsänderungen nach [38], [40]

Beschreibung	Aufweitungs-/ Verengungswinkel $\alpha$ [°]	Formbeiwert c [-]	
konische Erweiterung	8	0.15 – 0.20	
plötzliche Erweiterung	≥ 30	1.00 – 1.20	
konische Verengung	≤ 30	vernachlässigbar klein	
plötzliche Verengung	≥ 30	0.40 - 0.50	

#### Austrittsverlust $\zeta_A$ [-]

Bei Austritt an die Luft ist der Austrittsverlust  $\zeta_{A}$  gleich null.

Für die Ermittlung der örtlichen Verlusthöhen werden folgende Fliessgeschwindigkeiten eingesetzt:

- für Eintrittsverluste ζ<sub>E</sub> Becken-Rohr die Geschwindigkeit v<sub>2</sub> im Rohr
- für Richtungsänderungsverluste  $\zeta_{KK}$  und  $\zeta_{K}$  die Geschwindigkeit  $v_2$  am Krümmer bzw. Knie
- für Querschnittsänderungsverluste  $\zeta_{QA}$  die Geschwindigkeit  $v_2$  direkt hinter der Querschnittsänderung



### Manometrische Förderhöhe der Pumpe

Die manometrische Förderhöhe dient zur Dimensionierung der Pumpleistung. Sie beinhaltet die Gesamtförderhöhe, welche die Pumpe im Saug- und Druckleitungsbereich überwinden muss. Hierzu ist es erforderlich, zwei Fälle zu unterscheiden:

- 1. Pumpe mit Saugleitung, d.h. die Pumpe ist über dem tiefsten Wasserspiegel aufgestellt (Bild 4-11)
- 2. Pumpe ohne Saugleitung mit Zulaufdruck, d.h. die Pumpe ist unter dem tiefsten Wasserspiegel aufgestellt (Bild 4-12).

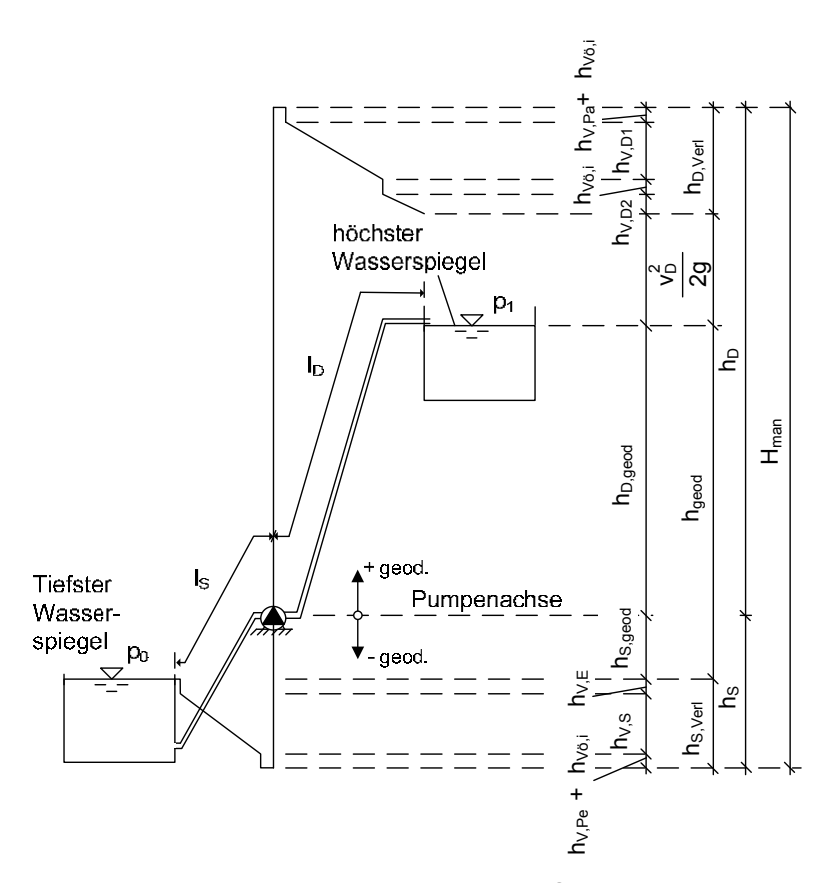
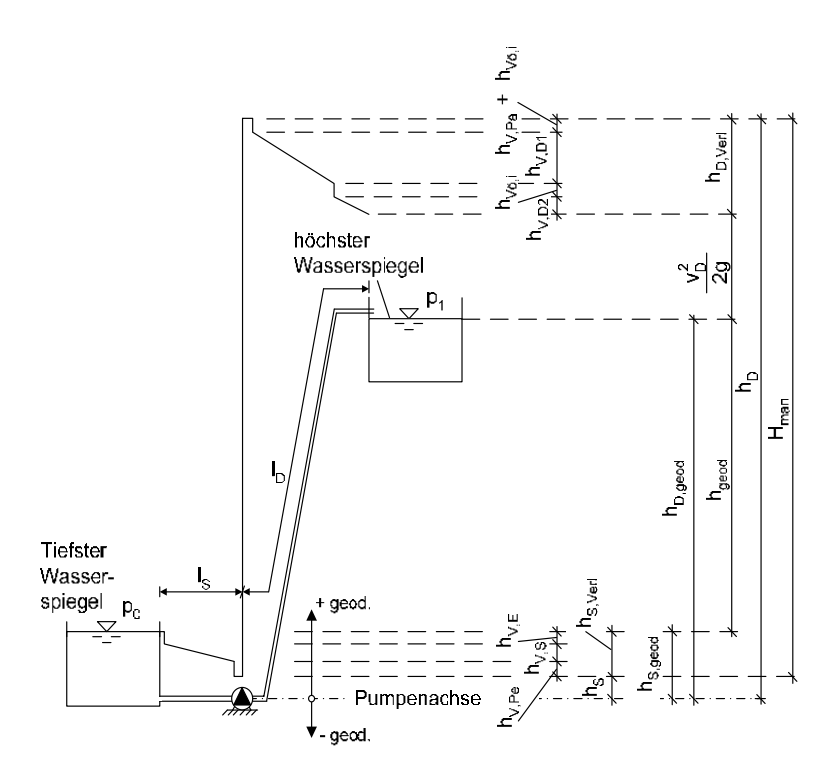


Bild 4-11: Prinzipdrucklinie Fall 1 - Pumpe mit Saugleitung





$h_{S,Verl}$	Hydraulische Verlusthöhe an der Saugseite	[m]
$h_{D,Verl}$	Hydraulische Verlusthöhe an der Druckseite	[m]
hs	Hydraulische Höhe an der Saugseite	[m]
$h_D$	Hydraulische Höhe an der Druckseite	[m]

Bild 4-12: Prinzipdrucklinie Fall 2 – Pumpe mit Zulaufdruck

### Durchflussmenge Q [m³/s]

$Q = v_s$	$\times A_{s} = V_{D} \times A_{D}$	[m <sup>3</sup> /s]
Q	Fördermenge der Pumpe (Q <sub>FF</sub> bei Feststoff-	[m <sup>3</sup> /s]
	Flüssigkeitsförderung, Q <sub>F</sub> bei Flüssigkeitsförderung)	
$A_S$	Querschnitt der Saugleitung	[m <sup>2</sup> ]
$A_D$	Querschnitt der Druckleitung	[m <sup>2</sup> ]
$V_S$	Fliessgeschwindigkeit in der Saugleitung	[m/s]
$V_D$	Fliessgeschwindigkeit in der Druckleitung	[m/s]



#### Manometrische Förderhöhe H<sub>man</sub> [m]

$$\begin{aligned} H_{man} &= h_S + h_D & [m] \\ h_D &= h_{D,verl} + h_{D,geod} & [m] \\ h_S &= h_{S,verl} + h_{S,geod} & [m] \\ h_{geod} &= h_{D,geod} & \pm h_{S,geod} & [m] \\ h_{V,A} &= \frac{v_D^2}{2 \times g} & [m] \end{aligned}$$

$H_{man}$	Manometrische Förderhöhe der Pumpe	[m]
$h_S$	Hydraulische Höhe an der Saugseite	[m]
$h_D$	Hydraulische Höhe an der Druckseite	[m]

#### Fall 1:

$$\begin{split} H_{man} &= h_{V,E} + h_{V,S} + h_{V,Pe} + h_{S,geod} + h_{D,geod} + h_{V,Pa} + h_{V,D} + \\ &\quad + h_{V,A} + \sum_{i} h_{V\ddot{o},i} \\ &= h_{geod} + h_{V,S} (l_{S},k,Re) + h_{V,D} (l_{D},k,Re) + \frac{v_{S}^{2}}{2 \times g} \bigg( \zeta_{E} + \zeta_{Pe} + \sum_{i} \zeta_{Si} \bigg) \\ &\quad + \frac{v_{D}^{2}}{2 \times g} \bigg( 1 + \zeta_{Pa} + \sum_{i} \zeta_{Di} \bigg) \\ &\quad h_{geod} = h_{D,geod} + h_{S,geod} \end{split} \qquad [m]$$

#### Fall 2:

$$\begin{split} H_{man} &= h_{V,E} + h_{V,S} + h_{V,Pe} + h_{geod} + h_{V,Pa} + h_{V,D} + h_{V,A} + \\ &\quad + \sum_{i} h_{V\ddot{o},i} \\ &= h_{geod} + h_{V,S} \big( I_S, k, Re \big) + h_{V,D} \big( I_D, k, Re \big) + \frac{v_S^2}{2 \times g} \bigg( \zeta_E + \zeta_{Pe} + \sum_{i} \zeta_{Si} \bigg) \\ &\quad + \frac{v_D^2}{2 \times g} \bigg( 1 + \zeta_{Pa} + \sum_{i} \zeta_{Di} \bigg) & \text{[m]} \\ h_{geod} &= h_{D,geod} - h_{S,geod} & \text{[m]} \end{split}$$



m] m] m]
m]
-
-
m]
•
m]
m]
-
m]
m]
m]
m]
m]
m/s]
m/s]
mm]
-]
-]
-]
-]
-]
-
-]
mm mmmmm]-]-]-]-]

Im Fall eines nicht freien Austritts ist der Druck am Ende der Leitung nicht null. In diesem Fall muss in obiger Gleichung die

Druckhöhe  $h_{D,A} = \frac{p_{D,A}}{\gamma_F}$  berücksichtigt werden.

Steht die Zulaufseite einer Pumpe unter Druck, wie z.B. die Druckkammer eines Hydroschildes, so erhöht sich die Zulaufhöhe zur Pumpen-

achse um  $h_{S,E} = \frac{p_{S,E}}{\gamma_F}$ . Allerdings wird man oft den Zulaufdruck einer



Druckkammer zur sicheren Leistungsdimensionierung nicht berücksichtigen, um im Notfall bei Abfallen des Drucks auch die drucklose Kammer auszupumpen.

 $\gamma_{\rm F}$  spezifisches Gewicht der Flüssigkeit [kN/m<sup>3</sup>]

### Flüssigkeits-Feststoff-Gemische

Handelt es sich bei dem Fördermedium nicht um Wasser sondern um ein Flüssigkeits-Feststoff-Gemisch, so ist die Dichte höher:

$$\rho_{FF} = \frac{\mu_{FF}}{100} \times \rho_0 + \left(1 - \frac{\mu_{FF}}{100}\right) \rho_F$$
 [t/m³] 
$$\mu_{FF} = \frac{V_0}{V_F} \times 100 = \frac{Q_0}{Q_F} \times 100 = \frac{\rho_{FF} - \rho_F}{\rho_0 - \rho_F} \times 100$$
 [Vol.-%]

ρff	Rohdichte des Flüssigkeits-Feststoff-Gemischs	[t/m³]
$\mu_{FF}$	Feststoff-Förderflüssigkeits-Volumenkonzentration	[Vol%]
$V_0$	Feststoffvolumen	[fm <sup>3</sup> ]
$V_{F}$	Volumen der unbeladenen Förderflüssigkeit	[m <sup>3</sup> ]
$Q_0$	Feststofffördermenge (Grundabbauleistung)	[fm <sup>3</sup> /h]
$Q_F$	Fördermenge der unbeladenen Förderflüssigkeit	[m <sup>3</sup> /h]
$\rho_0$	Rohdichte des Feststoffs über Wasser (natürliche Lagerung ohne Auftrieb)	[t/m <sup>3</sup> ]
$\rho_{\text{F}}$	Rohdichte der Förderflüssigkeit ohne Feststoffe	[t/m <sup>3</sup> ]
ρω	(Wasser $\rho_F$ =1; Bentonitsuspension siehe Bild 4-13) Rohdichte von Wasser	[t/m <sup>3</sup> ]

Die Grenzgrösse  $\rho_{FF}$  = 1.4 - 1.5 t/m³ ist bei Kreiselpumpen zu beachten.



# Manometrische Förderhöhe $H_{man}^{FF}$ [m] bei Flüssigkeits-Feststoff-Gemischen

$$H_{\text{man}}^{\text{FF}} = H_{\text{man}} \times \left(\frac{\rho_{\text{FF}}}{\rho_{\text{W}}}\right)$$
 [m]

#### Dichte von Förderflüssigkeiten

Im Baubetrieb werden als Fördermedium neben Wasser  $\rho_F = \rho_W = 1.0 \text{ t/m}^3$  auch Bentonitsuspensionen verwendet, so z.B. bei Hydroschilden (Bild 4-13).

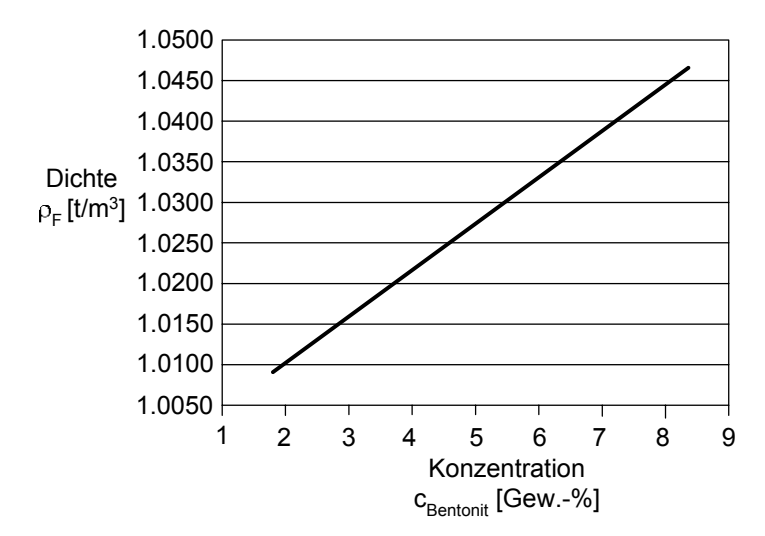


Bild 4-13: Dichteverlauf der Bentonitsuspension bei verschiedenen Bentonit-Wasser-Konzentrationen [41]



### Kreiselpumpen: Überprüfung der Pumpeinrichtung

#### Erforderliche Saughöhe der Pumpe h<sub>S,erf</sub> [m]

$h_{\text{S,erf}} = \left(h_{\text{S,geod}} + h_{\text{S,Verl}} + \frac{v_{\text{S}}^2}{2 \times g}\right) \times \frac{\rho_{\text{FF}}}{\rho_{\text{w}}}$	[m]
---	-----

$h_{\text{S,erf}}$	erforderliche Saughöhe	[m]
$h_{S,geod}$	geodätische Saughöhe (entspricht der Höhendifferenz Unterwasserspiegel – Pumpenachse)	[m]
h <sub>S,Verl</sub>	Gesamtverlust der Saugleitung (Reibungungsverluste über Saugleitungslänge, Krümmung, Querschnittsänderung, Einbauten etc.)	[m]
$\frac{v_S^2}{2 \times g}$	Geschwindigkeitshöhe in der Saugleitung	[m]
ρ <sub>FF</sub>	Rohdichte des Feststoff-Förderflüssigkeits- Gemischs	[t/m <sup>3</sup> ]
$\rho_{W}$	Rohdichte von Wasser	[t/m <sup>3</sup> ]

Die erforderliche Saughöhe  $h_{S,erf}$  muss mit den Herstellerangaben  $h_{S,Gerät}$  (aus der Pumpenkennlinie für die Saughöhe) verglichen werden. Es muss gelten:

 $h_{S.erf} \leq h_{S.Gerät}$ 

Der Atmosphärendruck (10.33 m Wassersäule bei N.N.) stellt die physikalisch bedingte Grenze der idealen Saughöhe bei einem absoluten Vakuum am Saugstutzen der Pumpe dar. Die Kreiselpumpe baut am Saugstutzen einen technischen Unterdruck gegenüber dem Atmosphärendruck auf. Dieser Druckunterschied entspricht der maximalen technisch erreichbaren Saughöhe  $h_{S,max} = h_{S,Gerät}$  und liegt je nach Qualität der Kreiselpumpe sowie Temperatur des Mediums und Drehzahl zwischen 6 und 9 mWs [42].



### Überprüfung auf Kavitation bei Flüssigkeitsförderung

### Zulässige Saughöhe h<sub>S,zul</sub> [m]

$h_{S,zul} = H_B - H_D - \Delta h$		[m]
h <sub>S,zul</sub> H <sub>B</sub>	zulässige Saughöhe Aussenatmosphärendruck oder Druck über der Flüssigkeit an der Saugseite	[m] [m]
$H_D$	Dampfdruck der Flüssigkeit bei der am Pumpeneintritt herrschenden Temperatur	[m]
Δh	temperaturabhängiger Verlust der Saugfähigkeit der Kreiselpumpe, abhängig von der konstruktiven Gestaltung der Pumpe sowie Drehzahl (siehe Un- terlagen der Pumpenhersteller)	[m]

Für kavitationsfreie Strömungen muss gelten:

 $h_{S,erf} \ \leq \ h_{S,zul} = h_{S,Ger\"{a}t}$ 

Tabelle 4-18: Dampfdruck von Wasser H<sub>D</sub> [m] nach [43]

Temperatur [°C]	Dampfdruck im Sättigungszustand H <sub>D</sub> [m]
5	0.0889
10	0.1251
20	0.2383
30	0.4325
40	0.7520
60	2.0310
80	4.8290

Angaben zur Ermittlung von  $\Delta h$  können maschinenspezifisch aus [42] entnommen werden.



#### Überprüfung der notwendigen Fliessgeschwindigkeit für Feststofftransport [44]

Für den Transport von Feststoffen in einer Förderflüssigkeit müssen die zu fördernden Teilchen in einem schwebenden Zustand gehalten werden. Dies geschieht unter der Beachtung der kritischen Fliessgeschwindigkeit  $v_{krit}$  [m/s] für einen schwebenden Transport:

$v_{krit} = I$	$F_{krit} \times \sqrt{2 \times g \times d \times \frac{\rho_0 - \rho_F}{\rho_F}}$	[m/s]
Beding	ung in den Saug- und Förderleitungen: $(v_S; v_D) > v_{krit}$	[m/s]
$V_{krit}$	kritische Fliessgeschwindigkeit für schwebenden Transport, um Absetzungen zu vermeiden	[m/s]
Fr <sub>krit</sub> a	Froud'sche Zahl für die kritische Geschwindigkeit Erdbeschleunigung: 9.81	[-] [m/s <sup>2</sup> ]

escnieunigung. d Rohrdurchmesser [m]  $[t/m^3]$ Rohdichte des Feststoffs (ohne Porenraum)  $\rho_0$ Rohdichte der Förderflüssigkeit  $[t/m^3]$  $\rho_F$ Fliessgeschwindigkeit in der Saugleitung [m/s]Vs Fliessgeschwindigkeit in der Druckleitung [m/s]  $V_D$ 

Die kritische Froud'sche Zahl Fr<sub>krit</sub> ist abhängig von der Feststoff-Förderflüssigkeits-Volumenkonzentration  $\mu_{FF}$  [Vol.-%] des Förderflüssigkeit-Feststoff-Korngemischs und dem mittleren Korndurchmesser  $d_m$  [mm] des zu transportierenden Korngemischs:

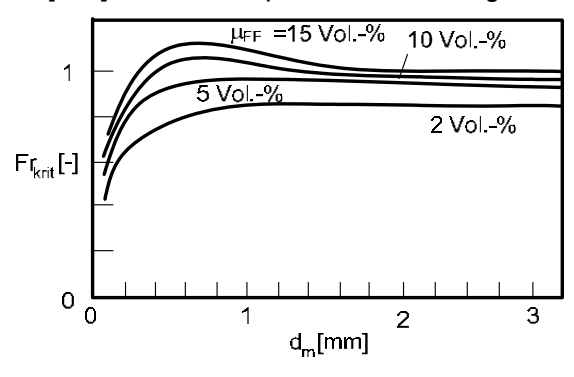


Bild 4-14: Abhängigkeit der Froud'schen Zahl Fr<sub>krit</sub> vom mittleren Korndurchmesser d<sub>m</sub> und der Feststoff-Förderflüssigkeits-Volumenkonzentration μ<sub>FF</sub> des zu transportierenden Korngemischs nach [44]



#### Beispiel: Tunnelvortrieb mit Hydroschild

Vortriebsrichtung

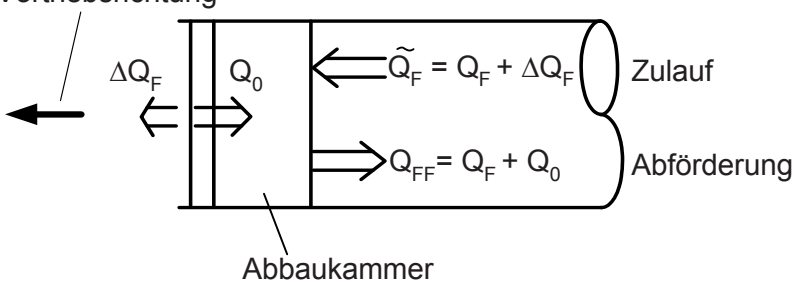


Bild 4-15: Materialfluss bei Hydroschildvortrieb

Das Feststoffvolumen entspricht der Grundabbauleistung:

$$\begin{aligned} &Q_0 = I \times A_{Ob} & [m^3/h] \\ &bzw. \\ &V_{FS} = V_{ab} = A_{Ob} \times \Delta I_{ab} & [m^3] \end{aligned}$$

Annahme: Die Förderzeit entspricht der Abbauzeit ( $t_{FZ} = t_{BZ}$ ):

$$Q_0 = \frac{V_{ab}}{t_{BZ}}$$
 [m<sup>3</sup>/h]

Für das geschlossene System des Zu- und Ablaufs gilt die Kontinuitätsgleichung:

$$\sum_i \dot{m}_i = \sum_i \rho_i \times Q_i = 0$$

Beim Zulauf des Systems handelt es sich um eine Flüssigkeit, so dass die Dichte bei allen Komponenten gleich ist:

$$\begin{split} & \text{Zulauf:} \\ & \rho_{\text{F}} \times \tilde{Q}_{\text{F}} = \rho_{\text{F}} \times Q_{\text{F}} + \rho_{\text{F}} \times \Delta Q_{\text{F}} \\ & \tilde{Q}_{\text{F}} = Q_{\text{F}} + \Delta Q_{\text{F}} \\ & \Delta Q_{\text{F}} = Q_{\text{F}} \times \frac{\kappa_{\text{Verl}}}{100} \\ \end{split}$$



#### Abförderung:

$$\rho_{\text{FF}} \times Q_{\text{FF}} = \rho_{_0} \times Q_{_0} + \rho_{\text{F}} \times Q_{\text{F}} \tag{kg/h} \label{eq:kg/h}$$

$$\text{mit } \mu_{\text{FF}} = \frac{\rho_{\text{o}} \times Q_{\text{o}}}{\rho_{\text{F}} \times Q_{\text{F}}} \times 100 \tag{Masse-\%}$$

$$Q_{FF} = Q_F \times \frac{\rho_F}{\rho_{FF}} \times \left(\frac{\mu_{FF}}{100} + 1\right)$$
 [m<sup>3</sup>/h]

$$\mathbf{Q}_{_{0}} = \mathbf{Q}_{_{FF}} \times \frac{\rho_{_{FF}}}{\rho_{_{0}}} \times \left(\frac{1}{1 + \frac{1}{\mu_{_{FF}}}}\right)$$
 [m³/h]

In der Praxis sind die Dichtenunterschiede zwischen der eingebrachten Flüssigkeit und des Flüssigkeits-Feststoff-Gemischs oft gering. Somit kann der Volumenstrom vereinfacht berechnet werden:

$$Q_{_{FF}}=Q_{_F}\times\left(\frac{\mu_{_{FF}}}{100}+1\right) \qquad \qquad [m^3/h]$$

$Q_0$	Feststofffördermenge (Grundabbauleistung)	[m <sup>3</sup> /h]
$\rho_{0}$	Dichte des Feststoffs	[kg/m³]
I	Penetrationsleistung	[m/h]
$A_Ob$	Ortsbrustquerschnitt	$[m^2]$
$V_{FS}$	Abbauvolumen (V <sub>ab</sub> ) während eines	[m <sup>3</sup> ]
	Vortriebshubs (Δl <sub>ab</sub> )	
$V_{ab}$	Abbauvolumen	[m <sup>3</sup> ]
$\Delta l_{ab}$	Vortriebshub	[m]
t <sub>FZ</sub>	Förder- bzw. Abbauzeit (t <sub>BZ</sub> ) beim Druckschild	[h]
	(Erddruck- bzw. Hydroschild)	
$t_{BZ}$	Abbauzeit	[h]
$\widetilde{Q}_{F}$	Zulaufmenge der Trägerflüssigkeit	[m <sup>3</sup> /h]
<b>α</b> <sub>F</sub>	(Bentonitsuspension)	•
$\rho_{\scriptscriptstyle E}$	Dichte der Trägerflüssigkeit im Zulauf	[kg/m <sup>3</sup> ]
$Q_{F}$	Trägerflüssigkeitsmenge der unbeladenen Förder-	[m <sup>3</sup> /h]
1	flüssigkeit (z.B. Bentonitsuspension) in der	[·····]
	Abförderung	
$\Delta Q_F$	Förderflüssigkeitsverlust im Porenraum der Orts-	[m <sup>3</sup> /h]
	brust	
$\kappa_{Verl}$	Verlustanteil der Trägerflüssigkeit im Porenraum an	[Vol%]
V 011	5 5	



	der Ortsbrust (5 – 20 %)	
$Q_{FF}$	Flüssigkeits-Feststoff-Förderleistung (Abförderung)	[m <sup>3</sup> /h]
$\rho_{\text{FF}}$	Dichte des Flüssigkeits-Feststoffs-Gemisch	[kg/m <sup>3</sup> ]
	(Abförderung) Feststoff-Förderflüssigkeits-Volumenkonzentration	[Vol%]
$\mu_{FF}$	· · · · · · · · · · · · · · · · · · ·	[VOI70]
η	Wirkungsgrad der Pumpe	[-]

Kreiselpumpen besitzen **Pumpenkennlinien**, auch Drosselkurven genannt. Die Form der Pumpenkennlinien ist abhängig von Bauart und Umdrehungszahl. Die Pumpenkennlinien und die Rohrkennlinien werden in einem H-Q-Diagramm dargestellt.

Der Schnittpunkt Rohr- und Pumpkennlinie ergibt den Betriebspunkt der Pumpe. Es kann somit die erreichbare Fördermenge Q ermittelt werden.

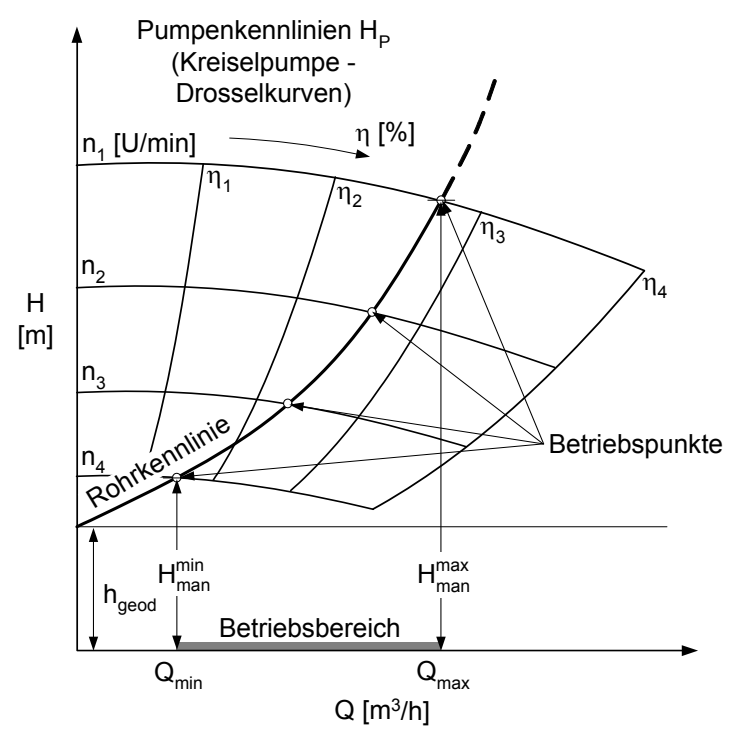


Bild 4-16: H-Q-Diagramm für Pumpen- und Rohrkennlinien



### Auswahl der Kreiselpumpe

$Q^{max}$	Fördermenge (Q <sub>FF</sub> bei Flüssigkeits-Feststoff-	[m³/h]
	Gemisch; Q <sub>F</sub> bei reiner Flüssigkeitsförderung)	
$H_{man}$	erforderliche manometrische Förderhöhe	[m]
$h_{S,erf}$	erforderliche Saughöhe	[m]
n	Drehzahl der Pumpe	[U/min]
η	Gesamtwirkungsgrad der Pumpanlage	[-]
$P_P$	Pumpenleistung/Anschlussleistung	[kW]
$P_{erf}$	erforderliche Grundleistung der Pumpe	[kW]

### Leistungsaufnahme der Pumpe P<sub>P</sub> [kW]

$P_{p} = \frac{P_{erf}}{P_{p}}$	[kW]
ή	. ,

### Erforderliche Grundleistung der Kreiselpumpe P<sub>erf</sub> [kW]

P <sub>erf</sub> =	$=\frac{\rho \times g \times Q^{\text{max}} \times H_{\text{man}}}{3600}$	[kW]
$P_{erf}$	erforderliche Grundleistung der Pumpe Gesamtwirkungsgrad der Pumpanlage	[kW] [-]
ρ	Dichte des Fördermediums ( $\rho_{FF}$ Rohdichte des Flüssigkeits-Feststoff-Gemischs; $\rho_{F}$ Rohdichte der Förderflüssigkeit ohne Feststoffe)	[t/m <sup>3</sup> ]
g Q <sup>max</sup>	Erdbeschleunigung Fördermenge ( $Q_{FF}$ bei Flüssigkeits-Feststoff- Gemisch; $Q_F$ bei reiner Flüssigkeitsförderung)	[m/s <sup>2</sup> ] [m <sup>3</sup> /h]
$H_{\text{man}}$	erforderliche Förderhöhe	[m]



Falls die Wirkungsgrade  $\eta$  nicht im Pumpendiagramm angegeben sind, können die Wirkungsgradfaktoren Tabelle 4-19 entnommen werden. Der **Gesamtwirkungsgrad der Pumpanlage**  $\eta$  [–] ergibt sich dann aus:

$\eta = \eta$	$_{P} \times \eta_{K} \times \eta_{M}$	[-]
η	Gesamtwirkungsgrad der Pumpanlage Wirkungsgrad der Pumpe	[-] [-]
η <sub>Ρ</sub> η <sub>Κ</sub>	Wirkungsgrad der Fumpe Wirkungsgrad der Kupplung	[-]
$\eta_{M}$	Wirkungsgrad des Pumpenantriebs/-motors	[-]

Tabelle 4-19: Wirkungsgrade nach [45], [46]

Pumpen-Wirkungsgrad η <sub>P</sub>	[-]	0.60 - 0.80
Kupplungs-Wirkungsgrad $\eta_K$	[-]	0.95 - 0.99
Motor-Wirkungsgrad η <sub>M</sub>	[-]	0.75 - 0.94



### Drehzahlregelung von Kreiselpumpen (Ähnlichkeitsgesetz) [42]

Für die Regelung von Kreiselpumpen mittels Drehzahländerung gilt folgender Zusammenhang für zwei verschiedene Gleichgewichtszustände der Rohr- und Pumpenkennlinien:

$$\frac{Q_1}{Q_2} = \frac{n_1}{n_2}$$
[-]
$$\frac{H_{P1}}{H_{P2}} = \left(\frac{n_1}{n_2}\right)^2$$
[-]

$Q_{i}$	Fördermenge	[m³/h]
n <sub>i</sub>	Drehzahl der Pumpe	[U/min]
$H_{P,i}$	Förderhöhe	[m]
i	Drehzahlstufen: i = (1; 2)	[-]

Die Fördermenge  $Q_i$  ändert sich proportional zur Drehzahl  $n_i$ . Die Förderhöhe  $H_{P,i}$  ändert sich proportional zum Quadrat der Drehzahl  $n_i$ .

Unter Annahme des gleichen Wirkungsgrads für kleine Drehzahländerungen  $\Delta n_i$  ergibt sich für die Pumpleistung  $P_{Pi}$  folgendes Verhältnis:

$$\frac{P_{P1}}{P_{P2}} = \left(\frac{n_1}{n_2}\right)^3$$
 [-]

Bei grösseren Veränderungen der Drehzahl muss die Veränderung des Wirkungsgrads  $\eta$  berücksichtigt werden. Es gilt

$$\eta_2 = 1 - (1 - \eta_1) \times \left(\frac{n_1}{n_2}\right)^{0.1}$$
 [-]

### Kolbenpumpen:

### Dimensionierung und Überprüfung der Pumpeinrichtung

Kolbenpumpen wirken durch das Verdrängungsprinzip. Förderhöhe, Förderleistung und Verluste in der Rohrleitung sind somit voneinander unabhängig.



### Förderleistung Q [m³/h] nach [21]

Q = 6 ×	$\lambda \times A_{Kolben} \times s \times n \times n_{Kolben} \times 10^{-5}$	[m³/h]
Q	Fördermenge	[m³/h]
λ	volumetrischer Wirkungsgrad	[-]
A <sub>Kolben</sub>	Kolbenfläche	[cm <sup>2</sup> ]
S	Kolbenweg	[cm/U]
n	Umdrehungszahl der Kurbelwelle	[U/min]
$n_{Kolben}$	Zylinder- bzw. Kolbenanzahl	[-]

Der volumetrische Wirkungsgrad  $\lambda$  kann mit ca. 0.98 – 0.99 angegeben werden.

#### Überprüfung der zulässigen Saughöhe

Die zulässigen Saughöhen von Kolbenpumpen sind von physikalischen Vorgängen im Zylinder abhängig. Die maximale Saughöhe ist erreicht, wenn die Saugspannung im Zylinder so gross ist, dass Dampfbildung (Kavitation) auftritt.

Tabelle 4-20: Zulässige Saughöhen h<sub>S,zul</sub> bei Aussenatmosphärendruck (H<sub>B</sub>) von 10 m Wassersäule [45]

Wassertemperatur [°C]	5	10	20	30	40	60	80
Saughöhe h <sub>S,zul</sub> [m]	7.00	6.97	6.85	6.66	6.34	5.07	2.27



### Leistungsaufnahme der Pumpe [kW]

$$\begin{aligned} P_{P} &= \frac{P_{erf}}{\eta} \\ \eta &= \eta_{P} \times \eta_{K} \times \eta_{M} \end{aligned} \qquad [kW]$$

### Erforderliche Grundleistung der Kolbenpumpe P<sub>erf</sub> [kW] nach [21]

$P_{erf} = \frac{\rho \times g \times \lambda \times A_{Kolben} \times s \times n \times n_{Kolben} \times H_{man}}{6 \times 10^{-7}}$	[kW]
--	------

$P_P$	Pumpenleistung/Anschlussleistung	[kW]
$P_{erf}$	erforderliche Grundleistung der Pumpe	[kW]
η	Gesamtwirkungsgrad der Pumpanlage	[-]
$\eta_{P}$	Wirkungsgrad der Pumpe	[-]
$\eta_{K}$	Wirkungsgrad der Kupplung	[-]
$\eta_{M}$	Wirkungsgrad des Pumpenantriebs/-motors	[-]
ρ	Dichte des Fördermediums	[t/m <sup>3</sup> ]
g	Erdbeschleunigung: 9.81	$[m/s^2]$
λ	volumetrischer Wirkungsgrad	[-]
$A_{Kolben}$	Kolbenfläche	[cm <sup>2</sup> ]
S	Kolbenweg	[cm/U]
n	Umdrehungszahl der Kurbelwelle	[U/min]
n <sub>Kolben</sub>	Zylinder- bzw. Kolbenanzahl	[-]
$H_{man}$	erforderliche manometrische Förderhöhe	[m]



Gew.-%

#### Beispiel einer Pumpenberechnung

Es wird eine Pumpeneinrichtung für den Feststofftransport einer Tunnelbohrmaschine mit Hydroschild sowie Bentonit als Trägermedium betrachtet. Die Förderung des abgebauten Materials erfolgt über die Länge des Vortriebs in einer horizontalen Leitung bis zum Schacht, von dort führt die Förderleitung vertikal in eine Separationsanlage. Bild 4-17 enthält die massgebenden Abmessungen. Für die Steuerung des Pumpenbetriebs sind Zusammenhänge zwischen Vortriebsleistung und Pumpeneinrichtung darzustellen.

#### Angaben:

Rohrlänge (Saugleitung): 15 m Maximale Rohrlänge (Druckleitung): 500  $I_D =$ m Geodätische Höhendifferenz: 40  $h_{aeod} =$ Rohrtyp: geschweisstes Stahlrohr Rohrdurchmesser:  $d = d_S = d_D =$ Einbauten: Einlauftrompete

Rohrbogen, 3 Stück Bentonitkonzentration:  $c_{Bentonit} = 8$ 

Mittlerer Korndurchmesser Abbaumaterial:  $d_m = 3$  mm
Rohdichte des Feststoffs:  $\rho_0 = 2.7$  t/m<sup>3</sup>
Druck im Hydroschild:  $p_{0,ein} = 2.0$  kPa
Maximale Abbauleistung:  $Q_0 = 130$  fm<sup>3</sup>/h

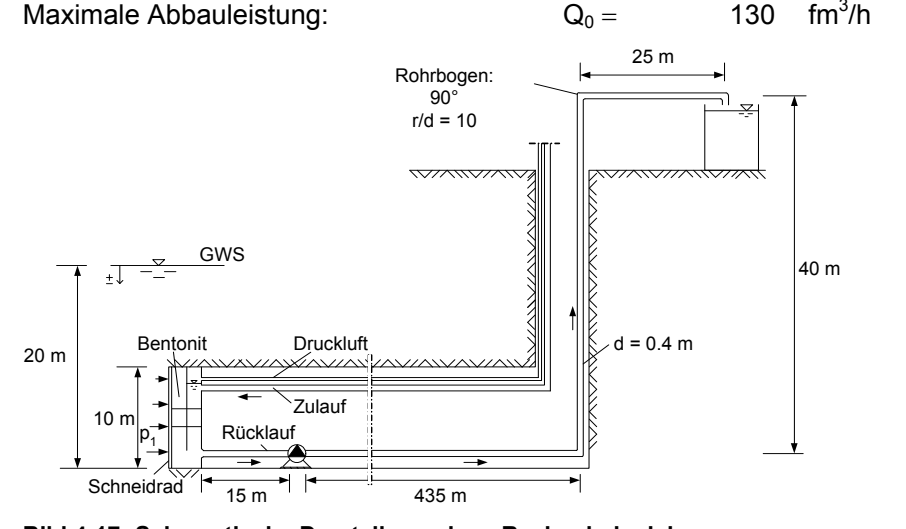


Bild 4-17: Schematische Darstellung eines Rechenbeispiels



#### Vorüberlegungen:

Zunächst ist die Darstellung der Drucklinie der Pumpeneinrichtung (Bild 4-18) erforderlich. Sie zeigt die möglichen Verluste innerhalb der Rohrleitung und kennzeichnet diese Verluste. Die Pumpenbemessung erfolgt ohne Berücksichtigung des "unterstützenden" Zulaufdrucks auf der Saugseite der Pumpe; dieser wird als Sicherheit betrachtet (Dimensionierung der Pumpe mit  $p_{0,ein} = 0$  kPa).

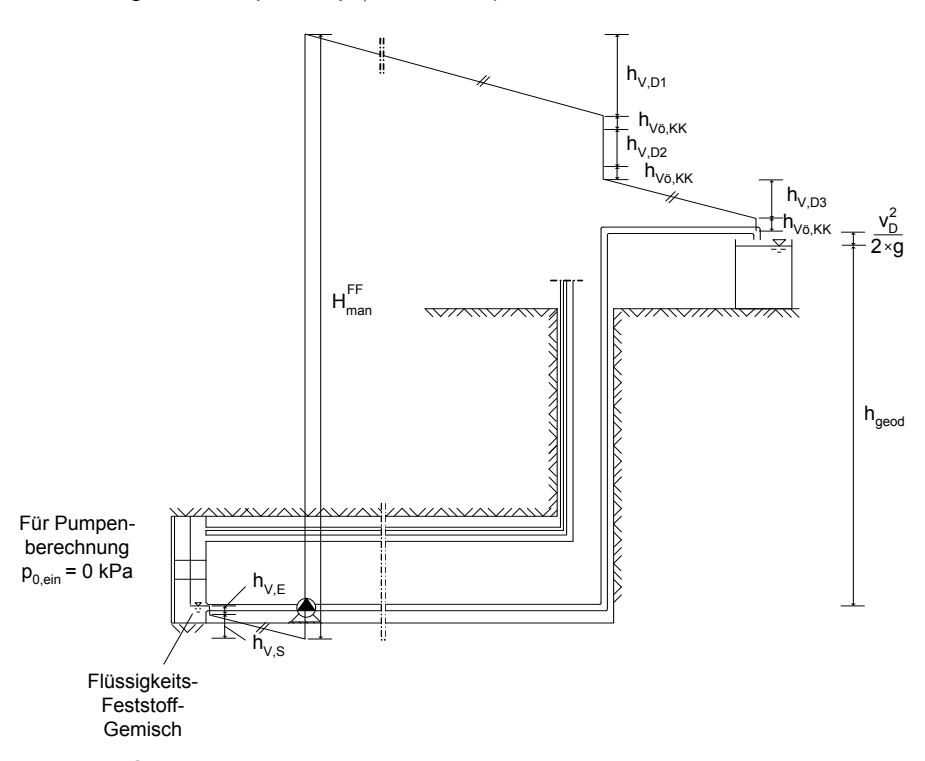


Bild 4-18: Schematische Darstellung der Drucklinie



Zur Dimensionierung der Pumpe werden zwei Fälle des Pumpenbetriebs betrachtet.

Fall 1: Optimale Feststoff-Flüssigkeits-Volumenkonzentration:

$$\mu_{FF}=6.5~Vol.\text{-}\%$$

$$\begin{split} & \rho_{FF} = \frac{\mu_{FF}}{100} \times \rho_0 + \left(1 - \frac{\mu_{FF}}{100}\right) \times \rho_F = \\ & = \frac{6.5}{100} \times 2.7 + \left(1 - \frac{6.5}{100}\right) \times 1.045 = 1.15 \text{[t/m}^3\text{]} \end{split}$$

Fall 2: Grenzfälle der Flüssigkeits-Feststoff-Förderung:

- Bentonitsuspension ohne Beladung

$$\mu_{FF}=0 \text{ Vol.-}\%$$
 $c_{Bentonit}=8 \text{ Gew.-}\% \implies \rho_{FF}=1.045 \text{ t/m}^3 \text{ (Bild 4-13)}$ 

- Grenzgrösse für den Betrieb von Kreiselpumpen

$$\rho_{FF} = 1.4 \text{ t/m}^3$$

$$\mu_{FF} \qquad = \frac{\rho_{FF} - \rho_{F}}{\rho_{0} - \rho_{F}} \times 100 = \frac{1.4 - 1.045}{2.7 - 1.045} \times 100 \approx 21 \text{ Vol.-\%}$$

#### Lösung - Fall 1:

$$\mu_{FF} = 6.5 \text{ Vol.-}\% \text{ und } \rho_{FF} = 1.15 \text{ t/m}^3$$

Ziel der Berechnung ist die Ermittlung der Rohrkennlinie des Systems. Hierzu werden zunächst einige diskrete Verlusthöhen in Abhängigkeit der Fördermenge bzw. Fördergeschwindigkeit im betrachteten Leistungsbereich berechnet. Die Addition dieser Werte mit der geodätischen Förderhöhe ergibt die für die Bemessung der Pumpe massgebende Rohrkennlinie (Bild 4-19). Zusätzlich erfolgt eine Überprüfung der Bedingungen für den Feststofftransport. Im Folgenden sind die Formeln für die Ermittlung der manometrischen Förderhöhen angegeben. In Tabelle 4-21 sind die entsprechenden Werte für verschiedene Fördermengen zusammengefasst.



- Dichte der Bentonitsuspension:

$$c_{Bentonit} = 8 \text{ Gew.-\%} \Rightarrow \rho_F = 1.045 \text{ t/m}^3 \text{ (Bild 4-13)}$$

 Maximal erforderliche F\u00f6rderleistungen bei voller Abbauleistung: Abf\u00f6rderung:

Feststoffmenge:  $Q_0 = 130 \text{ fm}^3/\text{h}$ 

Trägerflüssigkeit (Benontitsuspension):

$$Q_F = \frac{Q_0}{\mu_{FF}} \times 100 = \frac{130}{6.5} \times 100 = 2000 \text{ m}^3/\text{h}$$

Flüssigkeits-Feststoff-Gemisch (vereinfachte Formel):

$$Q_{FF} = Q_F + Q_0 = 2000 + 130 = 2130 \text{ m}^3/\text{h}$$

Flüssigkeits-Feststoff-Gemisch (genaue Formel):

$$Q_{FF} = \frac{Q_F \times \rho_F + Q_0 \times \rho_0}{\rho_{FF}} = \frac{2000 \times 1.045 + 130 \times 2.7}{1.15} = 2123 \ m^3/h$$

Der Unterschied zwischen genauer und Näherungslösung ist gering.

Zulauf an Bentonitsuspension (Annahme  $\kappa_{Verl}$  = 10 %):

$$\widetilde{Q}_F = Q_F + \Delta Q = Q_F \times \left(1 + \frac{\kappa_{Verl}}{100}\right) = 2000 \times \left(1 + \frac{10}{100}\right) = 2200 \ [m^3/h]$$

 Fliessgeschwindigkeit, hier über die gesamte Strecke gleich bleibend, da d = const.:

$$v = v_D = v_S = \frac{Q_{FF}}{3600 \times A} = \frac{Q_{FF}}{3600 \times \pi \times \left(\frac{d}{2}\right)^2}$$
 [m/s]

- Kritische Fliessgeschwindigkeit für Feststofftransport v<sub>krit</sub>:

$$d_m = 3 \text{ mm} \implies Fr_{krit} = 0.92 \text{ (Bild 4-14)}$$



$$\begin{split} v_{krit} &= Fr_{krit} \times \sqrt{2 \times g \times d \times \frac{\rho_0 - \rho_F}{\rho_F}} \\ &= 0.92 \times \sqrt{2 \times 9.81 \times 0.4 \times \frac{2.7 - 1.045}{1.045}} = 3.24 \text{ m/s} \end{split}$$

- Bedingung für den Transport von Feststoffen:

$$V \ge V_{krit}$$

- Kritische Förderleistung für Transport von Feststoffen:

$$\begin{aligned} Q_{FF} &= v_{krit} \times A = v_{krit} \times 3600 \times \pi \times \left(\frac{d}{2}\right)^2 \\ &= 3.24 \times 3600 \times \pi \times \left(\frac{0.4}{2}\right)^2 = 1466 \text{ m}^3/\text{h} \end{aligned}$$

Dies entspricht einer Abbauleistung von:

$$Q_0 = Q_{FF} \times \frac{\rho_{FF}}{\rho_0} \times \left(\frac{1}{1 + \frac{100}{\mu_{FF}}}\right) = 1466 \times \frac{1.15}{2.7} \times \left(\frac{1}{1 + \frac{100}{6.5}}\right) = 38.1 \ m^3/h$$

bei  $\rho_{FF} = 1.15 \text{ t/m}^3$ 

- Widerstandsbeiwert  $\lambda$  (für die gesamte Strecke gleich bleibend):

$$\frac{k}{d} = \frac{0.008}{400} = 0.00002 = 2 \times 10^{-5}$$

kinematische Viskosität:  $v = 1.3 \times 10^{-6} \text{ m/s}^2$ 

Reynoldszahl: Re = 
$$\frac{v \times d}{v}$$
 [-]

$$\lambda = \left[ -2 \times \log \left[ 2.7 \times \frac{(\log Re)^{1.2}}{Re} + \frac{1}{3.71} \times \frac{k}{d} \right] \right]^{-2}$$
 [-]

- Verluste der Saugleitung:

Reibungsverlust: 
$$h_{V,S} = \lambda \times \frac{I_S}{d} \times \frac{v^2}{2 \times g}$$
 [m]



Einlauftrompete: 
$$h_{V,E} = \zeta_E \times \frac{v^2}{2 \times q}$$
 [m]

Verluste Saugleitung gesamt: 
$$h_{S,Verl} = (h_{V,S} + h_{V,E}) \times \eta_{visko}$$
 [m]

- Verluste der Druckleitung:

Reibungsverlust: 
$$h_{V,D} = \lambda \times \frac{I_D}{d} \times \frac{v^2}{2 \times g}$$
 [m]

Verluste durch drei Rohrbogen: 
$$h_{V\ddot{o},KK} = 3 \times \zeta_{KK} \times \frac{v^2}{2 \times q}$$
 [m]

Verlust Druckleitung gesamt: 
$$h_{D.Verl} = (h_{V.D} + h_{V\ddot{o}.KK}) \times \eta_{visko}$$
 [m]

- Erforderliche Saughöhe:

Dichte von Wasser:  $\rho_W = 1 \text{ t/m}^3$ 

$$h_{\text{S,erf}} = \left(h_{\text{S,geod}} + h_{\text{S,Verl}} + \frac{v^2}{2 \times g}\right) \times \frac{\rho_{\text{FF}}}{\rho_{\text{W}}}$$
 [m]

hier:  $h_{S,qeod} \approx 0 \text{ m}$ 

- Zulässige Saughöhe:

$$h_{S,zul} = H_B - H_d - \Delta H = 10 - 0.1251 - 1.5 = 8.37 \text{ m}$$

- Erforderliche Förderhöhe H<sup>FF</sup><sub>man</sub> der Pumpe:

$$H_{man} = h_{geod} + (h_{S,Verl} + h_{D,Verl}) + \frac{v_D^2}{2 \times g}$$
 [m]

$$H_{man}^{FF} = H_{man} \times \frac{\rho_{FF}}{\rho_{W}} \tag{m}$$



Tabelle 4-21: Fall 1 – Ermittlung der Rohrkennlinie und Leistungen

		-	<i>(</i> 0		0.1	_	_		10	
РР	[kW]	197.4	229.6	283.7	373.2	438.0	508.9	578.7	662.5	752.0
lı	Ξ	60'0	96.0	99'0	69.0	0.64	99'0	29'0	89'0	89'0
чμ	[-]	0.10	0.40	0.63	0.71	0.72	0.73	0.75	0.76	0.76
P <sub>erf</sub>	[kW]	17.6	81.8	159.3	236.1	281.0	331.0	386.7	448.6	509.2
H <sup>FF</sup> man	[m]	46.10	47.66	51.72	56.62	29.60	62.94	66.62	70.65	73.86
H <sub>man</sub>	[m]	40.00	41.36	44.88	49.13	51.71	54.61	57.80	61.30	62.09
h <sub>S,erf</sub> < h <sub>S,zul</sub>		ja								
h <sub>S,erf</sub>	[m]	0.00	0.12	0.46	0.88	1.15	1.44	1.77	2.14	2.50
h <sub>D,Verl</sub>	[m]	0.00	1.25	4.48	8.36	10.72	13.36	16.26	19.44	22.89
h <sub>vo,кк</sub>	[m]	0.00	0.021	0.082	0.161	0.21	0.266	0.329	0.398	0.473
h <sub>V,D</sub>	[m]	0.00	1.12	3.99	7.44	9.54	11.88	14.46	17.28	20.34
h <sub>S,verl</sub>	[m]	00'0	0.04	0.15	0.28	98'0	0.45	0.54	9.0	22.0
h <sub>v,E</sub>	[m]	00.00	00.00	0.01	0.03	0.04	0.05	90.0	0.07	60.0
h <sub>v,s</sub>	[m]	0.00	0.03	0.12	0.22	0.29	98.0	0.43	0.52	0.61
~	Ε	3.43x10 <sup>-2</sup>	1.44x10 <sup>-2</sup>	1.28x10 <sup>-2</sup>	1.22x10 <sup>-2</sup>	1.20x10 <sup>-2</sup>	1.18x10 <sup>-2</sup>	1.16x10 <sup>-2</sup>	1.15x10 <sup>-2</sup>	1.13x10 <sup>-2</sup>
Re	E	6.80×10 <sup>3</sup>	3.40x10 <sup>5</sup>	6.80x10 <sup>5</sup>	9.52x10 <sup>5</sup>	1.09x10 <sup>6</sup>	1.22x10 <sup>6</sup>	1.36x10 <sup>6</sup>	1.50x10 <sup>6</sup>	1.63x10 <sup>6</sup>
V > V <sub>krit</sub>		nein	nein	nein	nein	ja	ja	ja	ja	ja
>	[m/s]	0.02	1.11	2.21	3.09	3.54	3.98	4.42	4.86	5.31
Q #	[m <sub>3</sub> /h]	10	200	1000	1400	1600	1800	2000	2200	2400



Aufgrund der kritischen Geschwindigkeit für den Feststofftransport ist eine Förderleistung von 1466 m³/h (v<sub>krit</sub> = 3.24 m/s) einzuhalten. Bedingt durch die gewählte Pumpe beträgt die maximale Förderleistung 2410 m³/h bei  $\mu_{FF}$  = 6.5 Vol.-% und  $\rho_{FF}$  = 1.15 t/m³. Durch eine stufenlose Drehzahlregelung (600 min⁻¹ < n < 700 min⁻¹) können die entsprechenden Förderleistungen eingestellt werden.

- Erforderliche Grundleistung der Kreiselpumpe:

$$P_{erf} = \frac{\rho_{FF} \times g \times Q_{FF} \times H_{man}}{3600}$$
 [kW]

- Tatsächliche Leistungsaufnahme der Pumpe: Der Wirkungsgrad  $\eta_P$  entstammt dem Pumpkennlinien-Diagramm (Bild 4-19). Für die Wirkungsgrade der Kupplung und des Motors werden  $\eta_K$  = 0.99 und  $\eta_M$  = 0.90 angenommen.

$$P_{P} = \frac{P_{erf}}{\eta} = \frac{P_{erf}}{\eta_{P} \times \eta_{K} \times \eta_{M}}$$
 [kW]

#### Lösung - Fall 2:

0 Vol.-% 
$$< \mu_{FF} < 21$$
Vol.-% 1.045 t/m<sup>3</sup>  $< \rho_{FF} < 1.4$  t/m<sup>3</sup>

Ziel der Berechnung ist die Ermittlung von Rohrkennlinien des Systems für verschiedene Flüssigkeits-Feststoff-Volumenkonzentrationen. Hierzu werden für einige Fördermengen entsprechende manometrische Förderhöhen ermittelt. Diese Werte ergeben die in Bild 4-19 gezeigten Rohrkennlinien. In Tabelle 4-22 sind die entsprechenden Werte für verschiedene Fördermengen zusammengefasst. Auch werden die Bedingungen für den Feststofftransport überprüft (Tabelle 4-23).

 Maximaler Feststoffgehalt in der Flüssigkeit aus der Bedingung ρ<sub>FF</sub> ≤ 1.4 t/m³:

$$\mu_{FF}^{max} = \frac{\rho_{FF}^{max} - \rho_F}{\rho_0 - \rho_F} \times 100 = \frac{1.4 - 1.045}{2.7 - 1.045} \times 100 = 21 \text{ Vol.-\%}$$

- Fliessgeschwindigkeit, siehe Fall 1



- Kritische Fliessgeschwindigkeit für Feststofftransport vkrit:

Bei maximalem Feststoffgehalt in der Flüssigkeit  $\mu_{FF} = 21 \text{ Vol.-}\%$  mit:

$$d_m = 3 \text{ mm} \implies Fr_{krit} = 1 \text{ (Bild 4-14)}$$

$$\begin{split} v_{krit} &= Fr_{krit} \times \sqrt{2 \times g \times d \times \frac{\rho_0 - \rho_F}{\rho_F}} \\ &= 1.0 \times \sqrt{2 \times 9.81 \times 0.4 \times \frac{2.7 - 1.045}{1.045}} = 3.53_{m/s} \end{split}$$

- Bedingung für den Transport von Feststoffen:

$$V \ge V_{krit}$$

- Kritische Förderleistung für Transport von Feststoffen, siehe Fall 1:
- Widerstandsbeiwert λ, siehe Fall 1
- Verluste der Saugleitung, siehe Fall 1
- Verluste der Druckleitung, siehe Fall 1
- Erforderliche Saughöhe:

$$\rho_{FF} = 1.045 \ t/m^3 \ bzw. \ \ \rho_{FF} = 1.4 \ t/m^3$$

Dichte Wasser:  $\rho_W = 1.0 \text{ t/m}^3$ 

$$h_{\text{S,erf}} = \left(h_{\text{S,geod}} + h_{\text{S,Verl}} + \frac{v^2}{2 \times g}\right) \times \frac{\rho_{\text{FF}}}{\rho_{\text{W}}}$$
 [m]

hier: h<sub>S.geod</sub> ≈ 0 m

- Zulässige Saughöhe, siehe Fall 1
- Erforderliche Förderhöhe H<sup>FF</sup><sub>man</sub> der Pumpe:

$$H_{man} = h_{geod} + (h_{S,Verl} + h_{D,Verl}) + \frac{v_D^2}{2 \times g}$$
 [m]  
 $\rho_{FF} = 1.045 \text{ t/m}^3 \text{ bzw. } \rho_{FF} = 1.4 \text{ t/m}^3$ 



$$H_{man}^{FF} = H_{man} \times \frac{\rho_{FF}}{\rho_{W}} \tag{m}$$

- Erforderliche Grundleistung der Kreiselpumpe, siehe Fall 1
- Tatsächliche Leistungsaufnahme der Pumpe, siehe Fall 1
- Berechnung der kritischen Fördermengen für verschiedene Flüssigkeits-Feststoff-Volumenkonzentrationen:

Feststoffgehalt in der Flüssigkeit mit

 $\rho_{FF} = 1.045 \text{ t/m}^3 \text{ bis } \rho_{FF} = 1.4 \text{ t/m}^3, \ \rho_0 = 2.7 \text{ t/m}^3 \text{ und d}_m = 3 \text{ mm}$ :

$$\begin{split} &\mu_{FF} = \frac{\rho_{FF} - \rho_{F}}{\rho_{0} - \rho_{F}} \times 100 & \Rightarrow \text{ Fr}_{krit} \text{ (Bild 4-14) } \Rightarrow \\ &\nu_{krit} = \text{Fr}_{krit} \times \sqrt{2 \times g \times d \times \frac{\rho_{0} - \rho_{F}}{\rho_{F}}} \end{split} \tag{m/s}$$

Die kritische Fördermenge lässt sich berechnen aus:

$$Q_{FF} = v_{krit} \times A = v_{krit} \times 3600 \times \pi \times \left(\frac{d}{2}\right)^{2}$$
 [m<sup>3</sup>/h]

Weiterhin lassen sich die manometrischen Förderhöhen, analog dem Vorgehen für Fall 1, bestimmen:

$$H_{\text{man}}^{\text{FF}} = H_{\text{man}} \times \frac{\rho_{\text{FF}}}{\rho_{\text{W}}} \tag{m}$$

Die Ergebnisse für die Bestimmung der kritischen Fördermenge für verschiedene Flüssigkeits-Feststoff-Gemische sind in Tabelle 4-23 aufgeführt und in Bild 4-19 eingetragen.



Tabelle 4-22: Fall 2 - Ermittlung der Rohrkennlinie und Leistungen

Р	[kW]		179.0	0.581	253.2	338.3	391.7	449.1	517.8	9.009	683.6		238.5	277.4	348.3	470.8	536.7	623.4			
	ž			_				_												Ĺ	Ľ
۱	Ξ		0.09	0.40	0.57	0.63	0.65	0.67	0.68	0.68	0.69		0.09	0.36	0.55	0.61	0.63	0.64	'	•	
ηh	Η		0.10	0.45	0.64	0.71	0.73	0.75	92.0	92.0	0.77		0.10	0.40	0.62	0.68	0.71	0.72			١.
P <sub>erf</sub>	[kW]		15.9	74.2	144.4	214.0	254.8	300.1	350.6	406.7	469.0		21.3	98.9	192.4	285.2	339.5	399.9	467.2	542.0	624.9
H <sup>FF</sup> man	[m]		41.80	43.22	46.90	51.34	54.04	57.07	60.40	64.06	68.02		55.70	57.59	62.49	68.41	72.02	76.04	80.49	85.36	90.65
H <sub>man</sub>	[m]		40.00	41.36	44.88	49.13	51.71	54.61	57.80	61.30	62.09		40.00	41.36	44.88	49.13	51.71	54.61	57.80	61.30	62.09
h <sub>S,erf</sub> < h <sub>S,zul</sub>			ja	ja	ja	ja	ja	.ec	ja	ja.	.ec		ja	.ez							
h <sub>S,erf</sub>	[m]		00.0	0.11	0.42	08.0	1.04	1.31	1.61	1.94	2.30		00.0	0.14	99.0	1.07	1.38	1.74	2.14	2.58	3.06
h <sub>D,Verl</sub>	[ <u>m</u> ]		00.00	1.25	4.48	8.36	10.72	13.36	16.26	19.44	22.89		00.00	1.25	4.48	8.36	10.72	13.36	16.26	19.44	22.89
һνσ,κκ	[m]		0	0.021	0.082	0.161	0.21	0.266	0.329	968.0	0.473		0	0.021	0.082	0.161	0.21	0.266	0.329	0.398	20.34 0.473
٩^٨	[m]		00.0	1.12	3.99	7.44	9.54	11.88	14.46	17.28	20.34		00'0	1.12	3.99	7.44	9.54	11.88	14.46	17.28	20.34
h <sub>S,Verl</sub>	[m]		00'0	0.04	0.15	0.28	98'0	0.45	0.54	99.0	22.0		00'0	0.04	0.15	0.28	98.0	0.45	0.54	99.0	0.77
h <sub>v,E</sub>	[m]		0.00	0.00	0.01	0.03	0.04	0.05	90.0	0.07	60.0		0.00	0.00	0.01	0.03	0.04	0.05	90.0	0.07	0.09
hv,s	[m]		0.00	0.03	0.12	0.22	0.29	0.36	0.43	0.52	0.61		0.00	0.03	0.12	0.22	0.29	0.36	0.43	0.52	0.61
γ	ы		3.43×10 <sup>-2</sup>	1.44×10 <sup>-2</sup>	1.28×10 <sup>-2</sup>	1.22×10 <sup>-2</sup>	1.20×10 <sup>-2</sup>	1.18x10 <sup>-2</sup>	1.16x10 <sup>-2</sup>	1.15x10 <sup>-2</sup>	1.13×10 <sup>-2</sup>		3.43×10 <sup>-2</sup>	1.44×10 <sup>-2</sup>	1.28×10 <sup>-2</sup>	1.22×10 <sup>-2</sup>	1.20×10 <sup>-2</sup>	1.18x10 <sup>-2</sup>	1.16x10 <sup>-2</sup>	1.15x10 <sup>-2</sup>	1.13x10 <sup>-2</sup>
Re	Ы	= 0 Vol%	6.80x10 <sup>3</sup>	3.40x10 <sup>5</sup>	6.80x10 <sup>5</sup>	9.52x10 <sup>5</sup>	1.09x10 <sup>6</sup>	1.22x10 <sup>6</sup>	1.36x10 <sup>6</sup>	1.50x10 <sup>6</sup>	1.63x10 <sup>6</sup>	%-·IC	6.80x10 <sup>3</sup>	3.40x10 <sup>5</sup>	6.80x10 <sup>5</sup>	9.52x10 <sup>5</sup>	1.09x10 <sup>6</sup>	1.22x10 <sup>6</sup>	1.36x10 <sup>6</sup>	1.50x10 <sup>6</sup>	1.63x10 <sup>6</sup>
v > V <sub>krit</sub>		; µFF = 0 \	-	-	-	-			-			= 21 Vol%	nein	nein	nein	nein	ja	ja	ja	ja	<u>a</u> .
>	[m/s]	= 1.045 t/m <sup>3</sup> ; <sub>!</sub>	0.02	1.11	2.21	3.09	3.54	3.98	4.42	4.86	5.31	= 1.4 t/m <sup>3</sup> ; μ <sub>FF</sub>	0.02	1.11	2.21	3.09	3.54	3.98	4.42	4.86	5.31
QFF	[m <sup>3</sup> /h]	$\rho_{FF} = 1.04$	10	200	1000	1400	1600	1800	2000	2200	2400	$\rho_{FF} = 1.41$	10	200	1000	1400	1600	1800	2000	2200	2400



Tabelle 4-23: Kritische Fördermengen für verschiedene Flüssigkeits-Feststoff-Gemische

ρ <sub>FF</sub>	$\mu_{FF}$	Fr <sub>krit</sub>	$V_{krit}$	$Q_FF$	$H_{man}^{FF}$
[t/m <sup>3</sup> ]	[Vol%]	[-]	[m/s]	[h/m <sup>3</sup> ]	[m]
1.05	0.3	0.8	2.82	1276	50.06
1.1	3.3	0.84	2.96	1340	53.25
1.15	6.3	0.89	3.14	1419	56.77
1.2	9.4	0.93	3.28	1483	60.20
1.25	12.4	0.94	3.31	1499	62.96
1.3	15.4	0.98	3.45	1563	66.58
1.35	18.4	0.99	3.49	1579	69.43
1.4	21.5	1	3.53	1595	72.30

Tabelle 4-24 zeigt eine Matrix, in der die Abhängigkeiten der Fördermenge und der Rohdichte des Feststoff-Flüssigkeits-Gemischs zur Abbauleistung bzw. der Nettovortriebsleistung dargestellt sind. Für eine Rückrechnung auf die Abbauleistung gilt:

$$Q_{0} = Q_{FF} \times \frac{\rho_{FF}}{\rho_{0}} \times \left(\frac{1}{1 + \frac{100}{\mu_{FF}}}\right) = Q_{FF} \times \frac{\rho_{FF}}{\rho_{0}} \times \left(1 + \frac{1}{\left(\frac{\rho_{FF} - \rho_{F}}{\rho_{0} - \rho_{F}}\right)}\right)^{-1} \text{ [m³/h]}$$

mit  $\rho_0$  = 2.7 t/m<sup>3</sup> und  $\rho_F$  = 1.045 t/m<sup>3</sup>

Die Nettovortriebsleistung ergibt sich aus der Beziehung:

$$Q_0 = I \times A_{Ob} \text{ mit } A_{Ob} = \pi \times \left(\frac{d}{2}\right)^2 = \pi \times \left(\frac{10}{2}\right)^2 = 78.5 \text{ } m^2$$

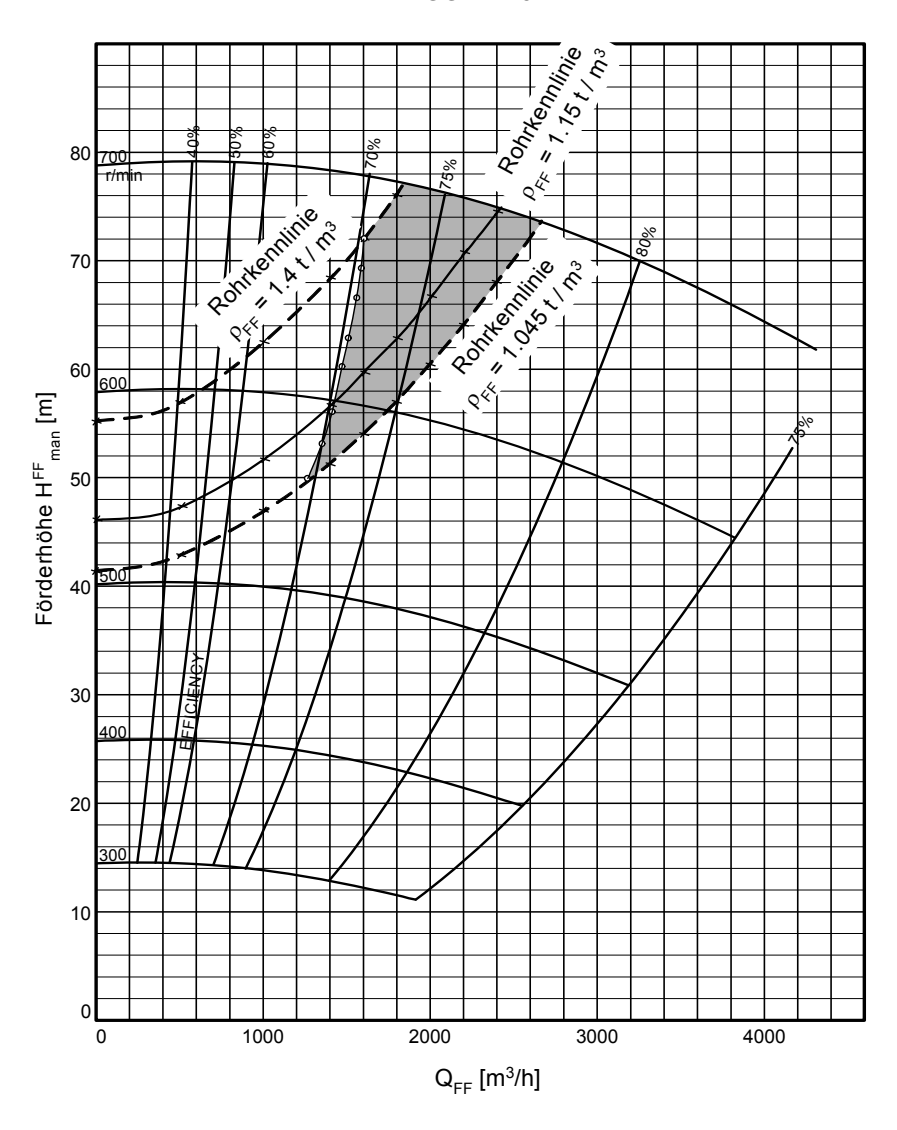


Tabelle 4-24: Matrix der Abhängigkeiten der Abbauleistung (Q<sub>0</sub>) bzw. Nettovortriebsleistung (I) von der Fördermenge und der Rohdichte des Feststoff-Flüssigkeits-Gemischs

		Q <sub>0</sub> [t/h]							
		 [m/h]							
	[t/m³]	1.045	1.1	1.15	1.2	1.25	1.3	1.35	1.4
	icht ca. /ol%]	0	3	6	9	12	15	18	21
· -	1276	0.0	16.7	32.4	48.6	65.1	82.0	99.3	116.8
	12/6	0.0	0.2	0.4	0.6	0.8	1.0	1.3	1.5
	4200	0.0	17.0	33.0	49.5	66.3	83.6	101.1	119.1
	1300	0.0	0.2	0.4	0.6	0.8	1.1	1.3	1.5
	4400	0.0	18.3	35.6	53.3	71.4	90.0	108.9	128.2
	1400	0.0	0.2	0.5	0.7	0.9	1.1	1.4	1.6
	4500	0.0	19.7	38.1	57.1	76.5	96.4	116.7	137.4
	1500	0.0	0.3	0.5	0.7	1.0	1.2	1.5	1.7
	1600	0.0	21.0	40.7	60.9	81.6	102.9	124.5	146.5
	1600	0.0	0.3	0.5	0.8	1.0	1.3	1.6	1.9
	1700	0.0	22.3	43.2	64.7	86.7	109.3	132.3	155.7
		0.0	0.3	0.6	0.8	1.1	1.4	1.7	2.0
	1800	0.0	23.6	45.7	68.5	91.8	115.7	140.1	164.8
		0.0	0.3	0.6	0.9	1.2	1.5	1.8	2.1
	1900	0.0	24.9	48.3	72.3	96.9	122.1	147.8	174.0
$\mathbf{Q}_{FF}$		0.0	0.3	0.6	0.9	1.2	1.6	1.9	2.2
[m³/h]	2000	0.0	26.2	50.8	76.1	102.1	128.6	155.6	183.2
	2000	0.0	0.3	0.6	1.0	1.3	1.6	2.0	2.3
	2100	0.0	27.5	53.4	79.9	107.2	135.0	163.4	192.3
	2100	0.0	0.4	0.7	1.0	1.4	1.7	2.1	2.4
	2200	0.0	28.8	55.9	83.7	112.3	141.4	171.2	201.5
		0.0	0.4	0.7	1.1	1.4	1.8	2.2	2.6
	2300	0.0	30.1	58.4	87.5	117.4	147.8	179.0	210.6
		0.0	0.4	0.7	1.1	1.5	1.9	2.3	2.7
	2400	0.0	31.4	61.0	91.3	122.5	154.3	186.7	219.8
	2400	0.0	0.4	0.8	1.2	1.6	2.0	2.4	2.8
	2500	0.0	32.8	63.5	95.2	127.6	160.7	194.5	228.9
	2500	0.0	0.4	0.8	1.2	1.6	2.0	2.5	2.9
	2600	0.0	34.1	66.1	99.0	132.7	167.1	202.3	238.1
	2600	0.0	0.4	0.8	1.3	1.7	2.1	2.6	3.0
	2650	0.0	34.7	67.3	100.9	135.2	170.3	206.2	242.7
	2000	0.0	0.4	0.9	1.3	1.7	2.2	2.6	3.1



**GG 12148** 



Betriebsbereich der Pumpe für verschiedene Flüssigkeits-Feststoff-Gemische

Bild 4-19: Fall 1 und 2 - Rohr- und Pumpenkennlinie sowie möglicher Betriebsbereich (Pumpe: Warman GG 12148)



### 4.5 Schneckenförderung

Die volumetrische Grundförderleistung von Förderschnecken ist bezogen auf das Volumen des aufgelockerten Fördergutes. Im Falle des Bodenabbaus, beispielsweise im Tunnelbau, muss daher die abgebaute Bodenmenge im lockeren Zustand betrachtet werden.

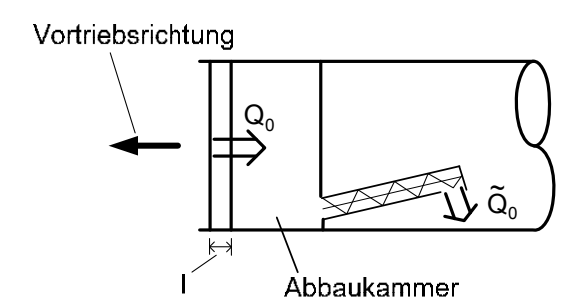


Bild 4-20: Schematische Darstellung eines TVM-Tunnelvortriebs mit Förderschnecke zur Materialabfuhr

$\tilde{Q}_0 = 0$	$\frac{Q_0}{\alpha}$	[lm³/h]
$Q_0 = 1$	$\times A_{Tunnel}$	[fm <sup>3</sup> /h]
$\begin{array}{c} \widetilde{Q}_0 \\ Q_0 \\ \alpha \\ I \\ A_{Tunnel} \end{array}$	volumetrische Grundförderleistung (Lockermaterial) Grundabbauleistung (festes Material), z.B. der TVM Lösefaktor Nettovortriebsleistung, z.B. der TVM Tunnelausbruchfläche	[lm <sup>3</sup> /h] [fm <sup>3</sup> /h] [fm <sup>3</sup> /lm <sup>3</sup> ] [m/h] [m <sup>2</sup> ]



Die Grundförderleistung  $\mathbf{Q}_{m,0}$  [t/h] und die volumetrische Grundförderleistung  $\widetilde{\mathbf{Q}}_0$  [lm³/h] von Förderschnecken sind abhängig von der Schneckengeometrie und dem Fördergut [47].

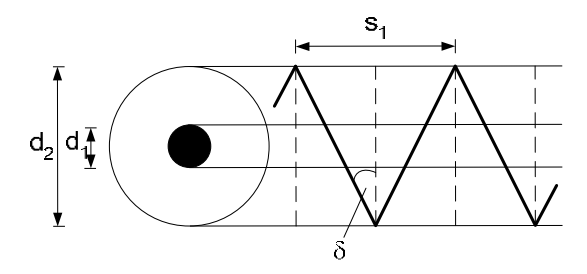


Bild 4-21: Geometrie einer Förderschnecke

$Q_{m,0} = \rho_S \times \widetilde{Q}_0 \times \phi_0 = \rho_F \times \frac{Q_0}{\alpha} \times \phi_0$	[t/h]
$\widetilde{Q}_0 = A \times V$	[lm³/h]
$A = \frac{d_2^2 - d_1^2}{4} \times \pi$	[m <sup>2</sup> ]
$v = s_1 \times n$	[m/h]

$Q_{m,0}$	Grundförderleistung	[t/h] <sub>.</sub>
ρs	Schüttdichte des Fördergutes (lockeres Material)	[t/lm³]
$\widetilde{Q}_{0}$	volumetrische Grundförderleistung	[lm³/h]
$\mathbf{Q}_0$	(lockeres Material)	
$\phi_0$	Grundwert-Füllungsgrad der Förderschnecke	[-]
$\rho_{F}$	Dichte des ungelösten Materials in der Ortsbrust	[t/fm³]
$Q_0$	Grundabbauleistung (festes Material)	[fm <sup>3</sup> /h]
α	Lösefaktor	[fm <sup>3</sup> /lm <sup>3</sup> ]
Α	Förderquerschnitt der Schnecke	[m²]
V	Fördergeschwindigkeit der Schnecke	[m/h]
$d_2$	Schneckendurchmesser, aussen	[m]
$d_1$	Schneckenachsendurchmesser	[m]
$s_1$	Schneckenganghöhe	[m]
n	Schneckendrehzahl	[1/h]



Die **Nutzförderleistung Q\_N [t/h]** (entspricht dem Abbauvolumen in fester Form) ergibt sich zu

$Q_{N} = Q_{m,0} \times k_{2} \times k_{3} \times \eta_{G}$	[t/h]
$\mathbf{k}_2 = \mathbf{f}_{\delta} \times \mathbf{f}_{\beta} \times \mathbf{f}_{St} \times \mathbf{f}_4 \times \mathbf{f}_5$	[-]
$f_{\beta} = 1 - \beta \times 0.02$	[-]
$\mathbf{k_3} = \mathbf{\eta_1} \times \mathbf{\eta_2}$	[-]

$Q_N$	Nutzförderleistung	[t/h]
$Q_{m,0}$	Grundförderleistung	[t/h]
$k_2$	Leistungseinflussfaktor	[-]
$k_3$	Betriebsbeiwert	[-]
$f_1, f_2, f_3,$	nicht massgebend	[-]
$f_\delta$	Steigungsfaktor der Schneckenganghöhe	[-]
$f_{\beta}$	Steigungsfaktor der Schneckenachse	[-]
$f_{St}$	Staufaktor am Zwischenlager	[-]
β	Steigung der Schneckenachse ( $0^{\circ} = \text{horizontal}$ )	[°]
$f_4$	Schneckenzustandsfaktor ≈ 1	[-]
$f_5$	Verfügbarkeits-/Gerätezustandsfaktor	[-]
$\eta_1$	Bedienungsfaktor ≈ 1	[-]
$\eta_2$	Betriebsfaktor	[-]
$\eta_{G}$	Geräteausnutzungsgrad	[-]

Der Füllungsgrad  $\phi$  ist abhängig vom Grundwert, der durch die Reibungs- und Hafteigenschaften des Fördergutes bestimmt wird. Ferner beeinflussen schneckenspezifische geometrischen Faktoren wie Steigung der Schneckenganghöhe  $\delta$  und Steigung der Schneckenachse  $\beta$  die Leistung (Bild 4-22). Auch sind eventuelle Stauungen an Zwischenlagern infolge Überladung zu berücksichtigen.

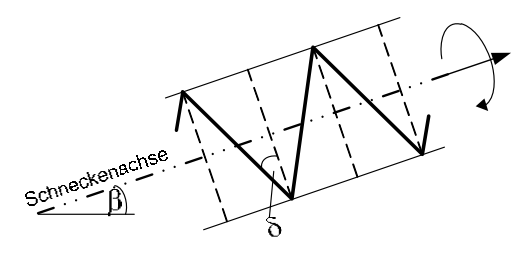


Bild 4-22: Steigungen der Schneckenganghöhe (δ) und der Schneckenachse (β)



#### Tabelle 4-25: Grundwerte des Füllungsgrads $\varphi_0$ nach [47]

Fördergut	Grundwert des Füllungsgrads φ <sub>0</sub> [-]
mässig schleissend, körnig bis kleinstückig (Sand)	≈ 0.3
schwer, stark schleissend (Kies)	≈ 0.15

#### Tabelle 4-26: Steigungsfaktor f<sub>δ</sub> der Schneckenganghöhe nach [47]

Steigung der Schneckenganghöhe $\delta [^\circ]$	Abminderungsfaktor – Steigung der Schneckenganghöhe $f_\delta$ [-]
ungewöhnlich gross: > 30	≈ 0.9
übliche Steigung: 17< δ < 30	≈ 1.0

#### Tabelle 4-27: Staufaktor f<sub>St</sub> nach [47]

Stauung	Abminderungsfaktor – Ein- fluss von Stauungen f <sub>St</sub> [-]
Zwischenlager der Schnecke	≈ 0.9
gleichmässiger Fluss, keine Stauungen	≈ 1.0

#### Tabelle 4-28: Betriebsbedingungen η<sub>2</sub> nach [47]

Betriebsbedingung	Betriebsbedingungen η <sub>2</sub> [-]
rauer Betrieb, schlechte Wartung, häufige Überfüllung, ungleichmässige Beschickung	0.8
guter Betrieb, keine Überfüllung, gleich- mässige Beschickung	1



Die **erforderliche Schneckenkraft F\_B [kN]** in Förderrichtung kann anhand einer Betrachtung der Förderschnecke über eine definierte Länge  $\Delta I$  hergeleitet werden.

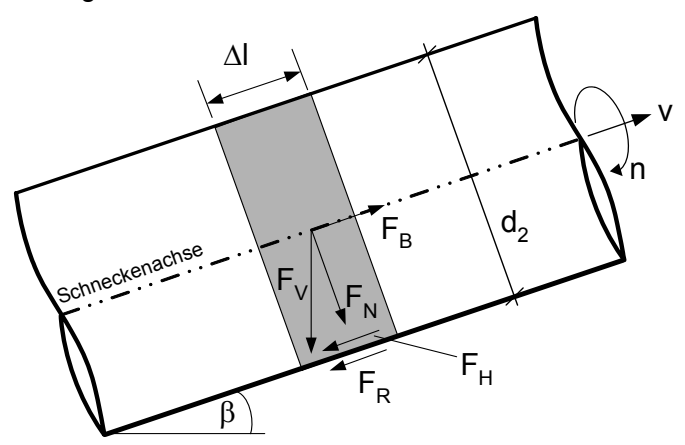


Bild 4-23: Betrachtung eines Ausschnitts der Förderschnecke bezüglich der wirkenden Kräfte

$= \frac{Q_{m,0}}{v} \times f_{\delta} \times f_{\beta} \times g \times (\cos \beta \times L \times \lambda + H)$	[kN]
$F_{B} = \rho_{S} \times A \times \phi_{0} \times f_{\delta} \times f_{\beta} \times g \times (\cos \beta \times L \times \lambda + H)$	
$F_B = F_R + F_H$	[kN]
Summe aller Kräfte in Achsenrichtung:	
$H = \sin \beta \times L$	[m]
mit	
$m_{\Delta I} = \rho_{S} \times A \times \phi_{0} \times f_{\delta} \times f_{\beta} = \frac{Q_{m,0}}{v} \times f_{\delta} \times f_{\beta}$	[t/m]
$F_H = m_{\DeltaI} \times g \times \sin\beta \times L$	[kN]
$F_{R} = \mathbf{m}_{\Delta I} \times \mathbf{g} \times \cos \beta \times \mathbf{L} \times \lambda$	[kN]

## Schneckenförderung



L	Schneckenlänge	[m]
Н	Höhendifferenz zw. Schneckenanfang und -ende	[m]
λ	Verschiebewiderstandsbeiwert	[-]
$F_H$	Hangabtriebskraft	[kN]
ρs	Schüttdichte des Fördergutes (lockeres Material)	[t/m <sup>3</sup> ]
A	Förderquerschnitt	$[m^2]$
V	Fördergeschwindigkeit der Schnecke	[m/h]
$\phi_0$	Grundwert-Füllungsgrad der Förderschnecke	[-]
F <sub>B</sub>	erforderliche Schneckenkraft	[kN]

Tabelle 4-29: Verschiebewiderstandsbeiwert  $\lambda$  in Abhängigkeit von den Materialien nach [50]

Fördergut	Schüttdichte ρ <sub>S</sub> [t/m³]	Verschiebewiderstandsbeiwert $\lambda$ [-]
Asche, Schlacke	0.7 - 1.0	3
Kies	1.5 – 1.8	3
Ton, feuchter Lehm	1.8	2
Mergel	1.6 – 1.9	2
Sand	1.4 – 1.7	3
Zement	1.0 – 1.3	2
Mörtel	1.8 – 2.1	3

Die theoretische Antriebsleistung der Förderschnecke  $P_A$  [kW] und das Drehmoment des Schneckenantriebs  $M_D$  [kNm] für Förderschnecken ergeben sich zu:

$P_{A} = F_{B} \times v = M_{D} \times \omega$	[kW]
$v = s_1 \times n$	[m/h]
$\omega = 2 \times \pi \times n$	[1/h]
$M_{D} = \frac{F_{B} \times v}{\omega} \approx 1.56 \times \frac{\cos \beta \times L \times \lambda + H}{n} \times Q_{m,0}$	[kNm]

$P_A$	theoretische Antriebsleistung der Förderschnecke	[kW]
$F_B$	erforderliche Schneckenkraft	[kN]
V	Fördergeschwindigkeit	[m/h]
$M_{D}$	Drehmoment des Schneckenantriebs	[kNm]
ω	Winkelgeschwindigkeit	[1/h]

# Schneckenförderung



n	Schneckendrehzahl	[1/h]
$s_1$	Schneckenganghöhe	[m]
β	Steigung der Schneckenachse	[°]
Ĺ	Schneckenlänge	[m]
λ	Verschiebewiderstandsbeiwert	[-]
Н	Höhendifferenz zw. Schneckenanfang und -ende	[m]
$Q_{m,0}$	Grundförderleistung	[t/h]

### Motorleistung P<sub>M</sub> [kW] des Schneckenantriebs

$P_{M} = \frac{1}{2}$	<u>Р<sub>А</sub></u> n <sub>м</sub>	[kW]
$P_{M} \ P_{A} \ \eta_{M}$	Motorleistung des Schneckenantriebs theoretische Antriebsleistung der Förderschnecke Wirkungsgrad des Motors	[kW] [kW] [-]

## 5 Tunnelbaugeräte

Tunnelbohrmaschinen
Teilschnittmaschinen
Bohrmaschinen
Bohr- und Sprengarbeiten
Lüftung



## 5.1 Tunnelbohrmaschinen [2]

Die Penetration (Eindringtiefe) [m/h] wird durch folgende Faktoren bestimmt [48]:

- · Klüftung des Gesteins
- Lage der Klüfte
- Gesteinshärte/-art
- Anpressdruck
- Meisselgrösse

#### **Nettovortriebsleistung I [m/h]** (Nettopenetrationsleistung)

I= k <sub>s</sub>	$\times k_{M} \times i_{b} \times m \times \frac{60}{1000}$	[m/h]
I	Nettovortriebsleistung (Penetration)	[m/h]
k <sub>S</sub>	Kluftfaktor	[-]
k <sub>M</sub>	Einflussfaktor der Meisselgrösse	[-]
i <sub>b</sub>	max. Penetration pro Bohrkopfumdrehung	[mm/U]
m	Anzahl der Bohrkopfumdrehungen pro Minute	[U/min]

### Daraus ergibt sich die Grundabbauleistung Q<sub>0</sub> [fm³/h]

$$Q_0 = I \times A = I \times \frac{\pi \times D^2}{4}$$
 [fm<sup>3</sup>/h]



### Die Nutzabbauleistung $Q_N$ [fm $^3/h$ ] beträgt somit

$Q_{N} = Q_{0} \times k_{1} \times k_{2} \times k_{3} \times \eta_{G}$	
$k_1 = 1$	[fm <sup>3</sup> /h]
$k_2 = f_4 \times f_5$	[ /]
$k_3 = \eta_1 \times \eta_2$	

D	Tunnelausbruchdurchmesser	[m]
Α	Tunnelausbruchfläche	[m²]
$Q_0$	Grundabbauleistung	[fm <sup>3</sup> /h]
$Q_N$	Nutz-/Dauerabbauleistung	[fm <sup>3</sup> /h]
$f_1; f_2; f_3$	nicht massgebend	
$f_4$	Meisselzustand	[-]
$f_5$	Verfügbarkeits-/Gerätezustandsfaktor	[-]
$k_1$	Abbaubarkeitsfaktor (berücksichtigt im DRI)	[-]
$k_2$	Leistungseinflussfaktor	[-]
$k_3$	Betriebsbeiwert	[-]
$\eta_{G}$	Geräteausnutzungsgrad (einschliesslich Umsetzen	[-]
	der Maschine nach jedem Bohrhub)	
$\eta_1$	Bedienungsfaktor	[-]
$\eta_2$	Betriebsbedingungen	[-]

#### Der Lösefaktor bei Fels beträgt:

$$\alpha = \frac{Felsvolumen_{fest}}{Felsvolumen_{gel\"{o}st}} \approx 0.6$$

d.h. das Volumen des gelösten Felses erhöht sich gegenüber dem Volumen des ungelösten Felses um das ca. 1/0.6fache = 1.7fache Volumen.



### Kluftfaktor ks [-]

Die Klüfte und Spalten werden in Klassen eingeteilt [48]:

0	keine Bruchzonen vorhanden	
1	einzelne Klüfte vorhanden	Abstand ca. 40 cm
Ш	mehrere Klüfte vorhanden	Abstand ca. 20 cm
Ш	viele Klüfte vorhanden	Abstand ca. 10 cm
IV	sehr viele Klüfte vorhanden, Störzone	Abstand ca. 5 cm

Ebenfalls einen Einfluss auf den Kluftfaktor hat der Winkel  $\beta$  zwischen der Tunnelachse und der Kluftfläche.

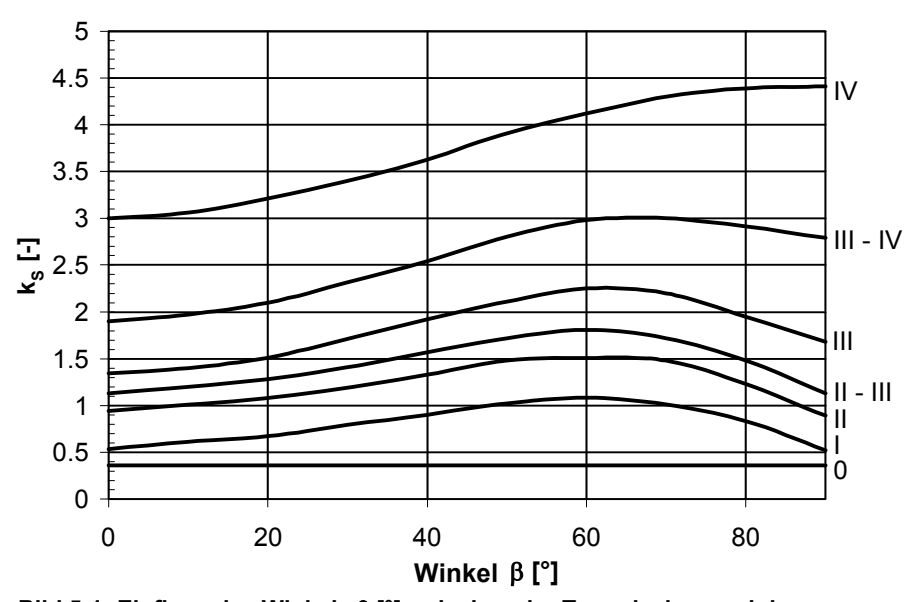
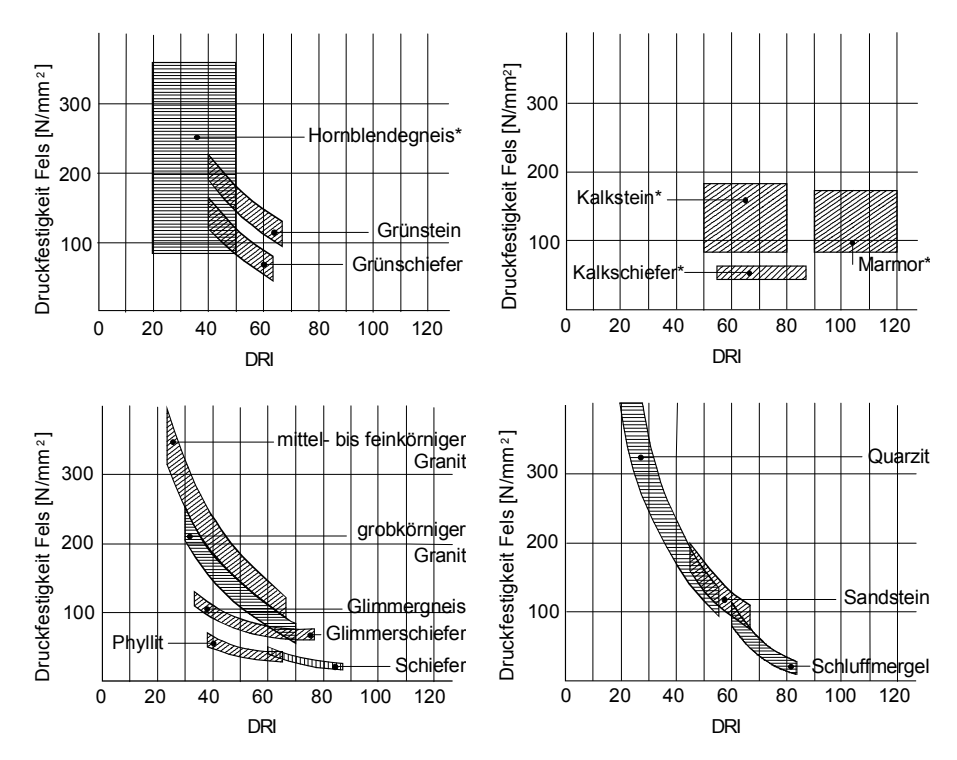


Bild 5-1: Einfluss des Winkels  $\beta$  [°] zwischen der Tunnelachse und den Kluftflächen auf den Kluftfaktor  $k_S$  [-] [48]



Die maximale Penetration i<sub>b</sub> [mm/U] ist von der Bohrbarkeit (Drilling Rate Index DRI) des Gesteins und dem Anpressdruck pro Disk abhängig [48].

Die **Bohrbarkeit DRI** [-] wird aus den unten stehenden Diagrammen herausgelesen.



<sup>\*)</sup> Diese Felsarten weisen eine hohe Streuung der Druckfestigkeitsbereiche und der DRI-Werte auf. Hier wird eine genauere Untersuchung der Bohrbarkeit angeraten.

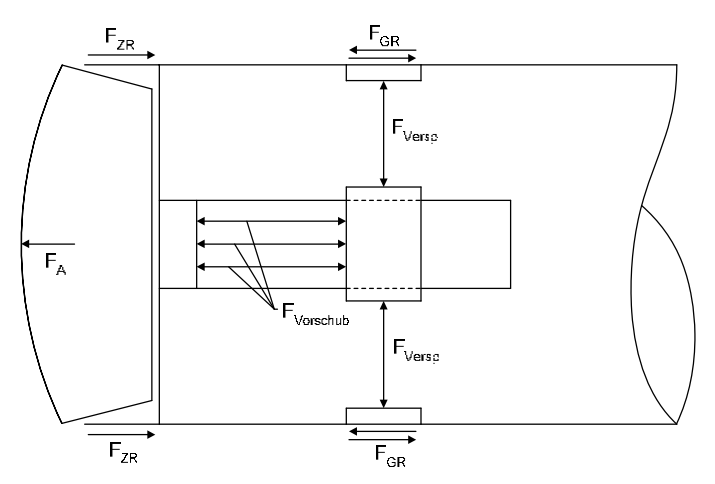
Bild 5-2: Bohrbarkeit DRI [-] [48]



### Anpresskraft pro Disk F<sub>i</sub> [kN]

$F_i = \frac{F_A}{n}$		[kN]
$F_A = F_{V_0}$	orschub - F <sub>ZR</sub>	[kN]
Fi	Durchschnittliche Anpresskraft pro Disk	[kN]
$F_A$	Effektive Anpresskraft des Bohrkopfes	[kN]
$F_{Vorschub}$	Vorschubpressenkräfte	[kN]
$F_{ZR}$	Reibungskräfte am Bohrkopfmantel	[kN]
n	Anzahl der Disken am Bohrkopf	[-]

Zur Ermittlung der erforderlichen Gripperspannkräfte siehe [2].



$F_{Versp}$	Verspannkraft der Gripper	[kN]
F <sub>GR</sub>	Reibungskräfte der Gripper	[kN]

Bild 5-3: Kräfte beim Einsatz einer Tunnelbohrmaschine



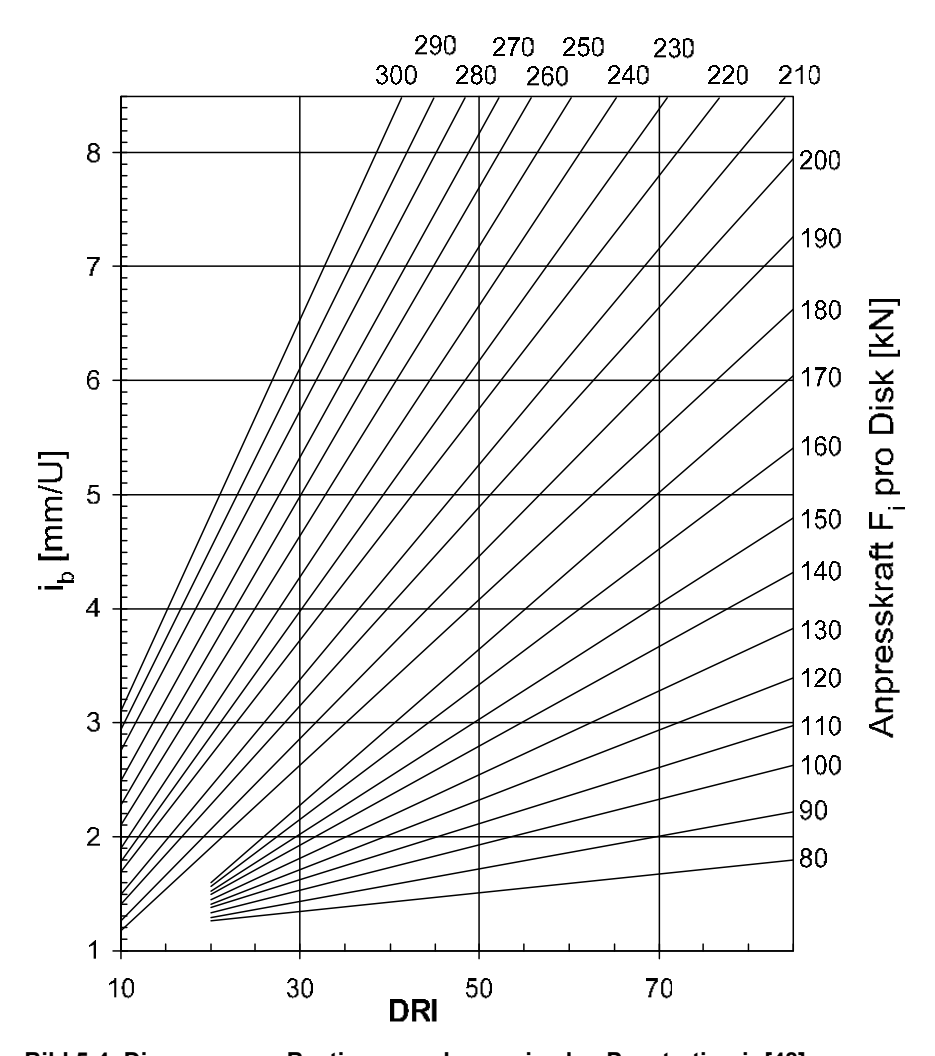


Bild 5-4: Diagramm zur Bestimmung der maximalen Penetration  $i_b$  [48]



### Einflussfaktor der Meisselgrösse k<sub>M</sub> [-]

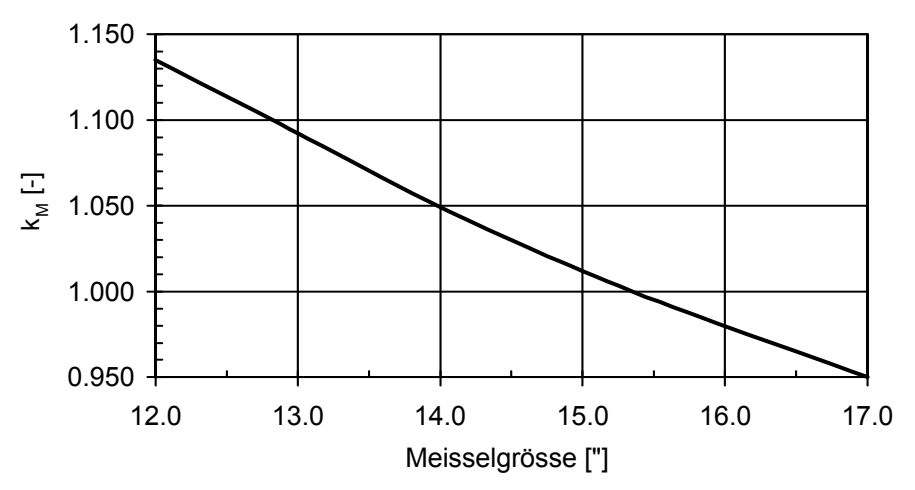


Bild 5-5: Einflussfaktor der Meisselgrösse [48]

# Maximale Bohrkopfumdrehungen für Diskenabrollgeschwindigkeit von v = 110 m/min [2]:

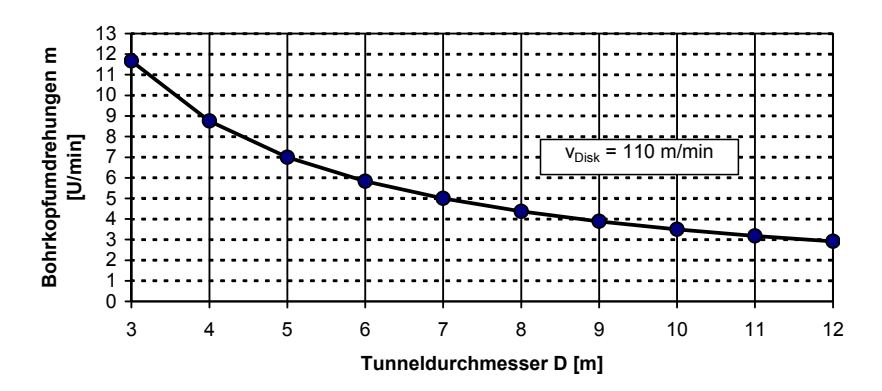


Bild 5-6: Maximale Bohrkopfumdrehungen m für die Diskenabrollgeschwindigkeit v = 110 m/min



### 5.2 Teilschnittmaschinen [2]

### Nutzabbauleistung Q<sub>N</sub> [fm<sup>3</sup>/h]

$Q_{N} = Q_{0} \times k_{S} \times k_{2} \times k_{3} \times \eta_{G}$	[fm <sup>3</sup> /h]
$k_S = k_C \times k_P$	[-]
$k_2 = f_4 \times f_5$	[-]
$\mathbf{k}_3 = \mathbf{\eta}_1 \times \mathbf{\eta}_2$	[-]

$\begin{matrix} Q_N \\ Q_0 \end{matrix}$	Nutzabbauleistung mittlere Grundabbauleistung, enthält Schwenkwinkel-	[fm³/h] [fm³/h]
f · f · f	faktor (Bestreichen der Ortsbrust von einem Punkt) nicht massgebend	r 1
_	Meisselzustand	[-]
f <sub>4</sub> f <sub>5</sub>	Verfügbarkeits-/Gerätezustandsfaktor	[-] [-]
k <sub>C</sub>	Zähigkeitsfaktor	[-] [-]
k <sub>P</sub>	Schichtabstandsfaktor	[-]
k <sub>s</sub>	Schrämbarkeitsfaktor	[-]
$\mathbf{k}_2$	Leistungseinflussfaktor	[-]
$k_3$	Betriebsbeiwert	[-]
$\eta_{G}$	Geräteausnutzungsgrad (einschliesslich Umsetzen	[-]
116	der Maschine an der Ortsbrust)	.,
$\eta_1$	Bedienungsfaktor	[-]
$\eta_2$	Betriebsbedingungen	ř-i
'12		



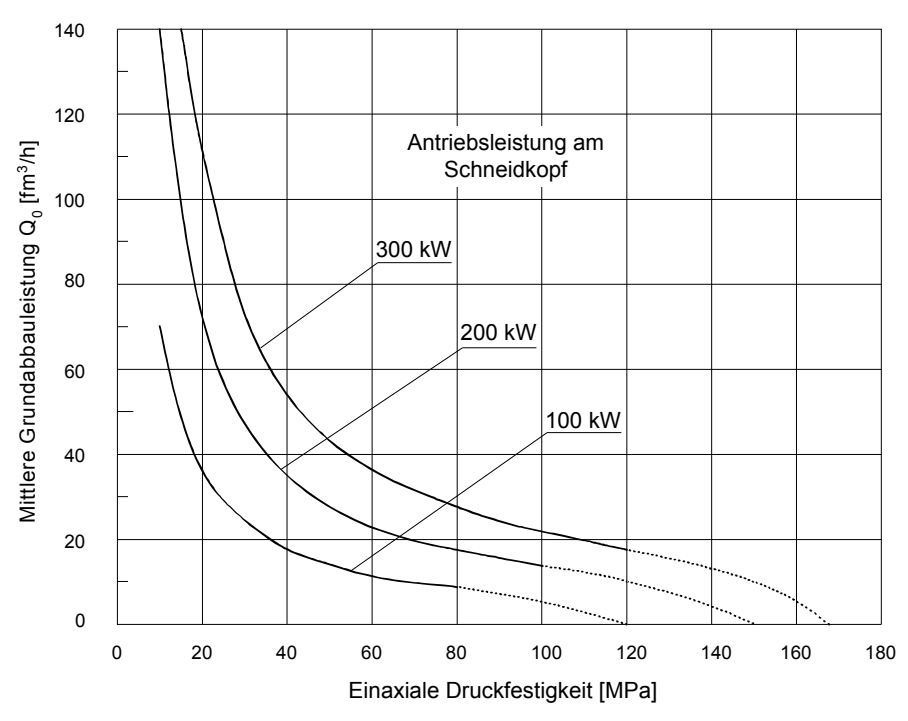
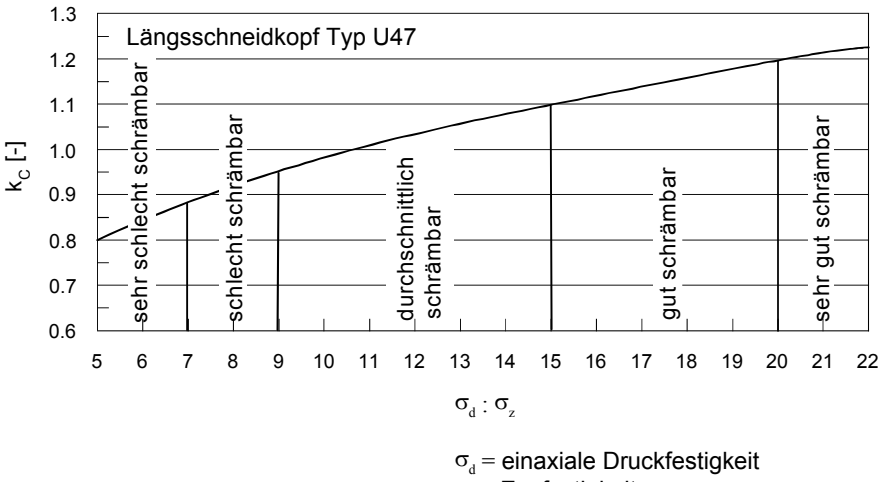


Bild 5-7: Diagramm zur überschlägigen Ermittlung der mittleren Grundabbauleistung Q₀ von TSM

Bild 5-7 zeigt die mittlere Grundabbauleistung von Teilschnittmaschinen als Funktion der einaxialen Druckfestigkeit und der Antriebsleistung am Schrämkopf. Die Zugfestigkeit  $\sigma_z$  des Gesteins wird durch den Zähigkeitsfaktor  $k_C$  berücksichtigt.





 $\sigma_{\rm d}$  = einaxiale Druckfestigkeit  $\sigma_{\rm z}$  = Zugfestigkeit

Bild 5-8: Zähigkeitsfaktor k\_C [-] – Einfluss des Spannungsverhältnisses  $\sigma_d/\sigma_z$  [49]

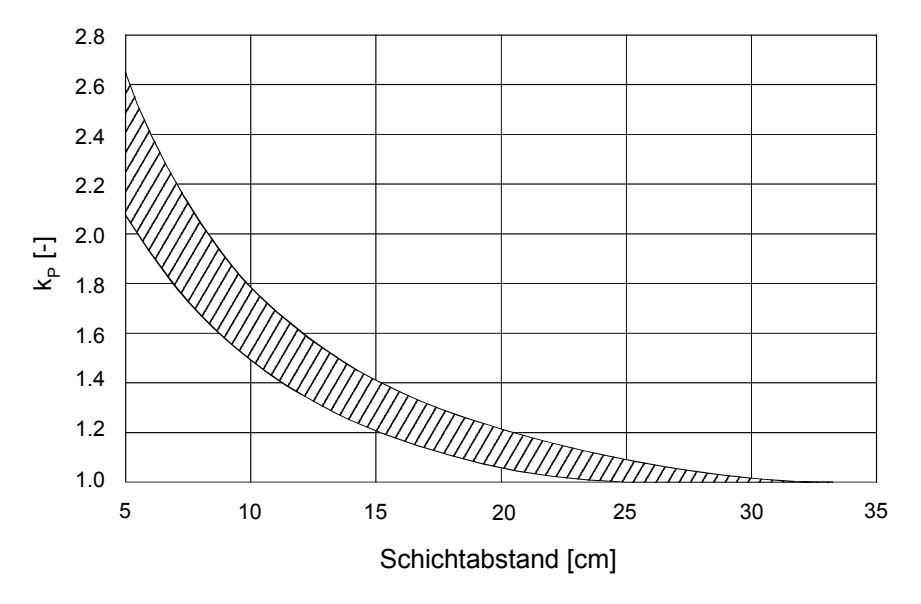
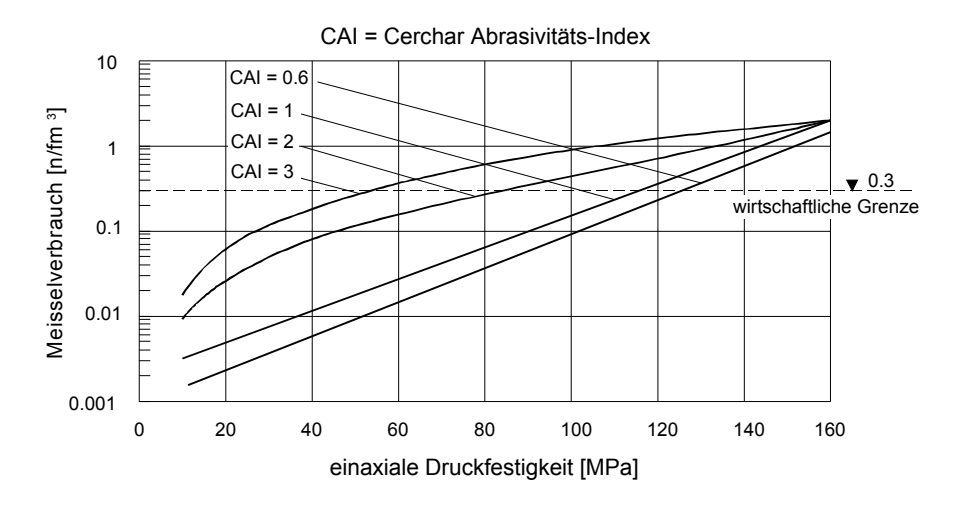


Bild 5-9: Schichtabstandsfaktor k<sub>P</sub> [-] [49]:





n = Anzahl der Meissel

Bild 5-10: Meisselverbrauch nach [49]

### Tagesmeisselverbrauch N<sub>AT</sub> [n]

N <sub>AT</sub> :	$= v_m \times Q_N \times T_A$	[n]
v <sub>m</sub> Q <sub>N</sub>	Meisselverbrauch Nutzabbauleistung	[n/fm³] [fm³/h]
TA	Arbeitsstunden pro Tag	[h]

#### Gesamtmeisselverbrauch über die Einsatzzeit N<sub>ET</sub> [n]

N <sub>ET</sub>	$=\sum_{i} v_{mi} \times V_{i}$	[n]
V <sub>mi</sub>	Meisselverbrauch im Bereich i	[n/fm³]
i	Bereich mit unterschiedlichem CAI und $\sigma_d$	[-]
$V_i$	Ausbruchvolumen im Bereich i	[fm <sup>3</sup> ]



### Optimale Abstimmung: Schrämleistung - Maschinengewicht [2]:

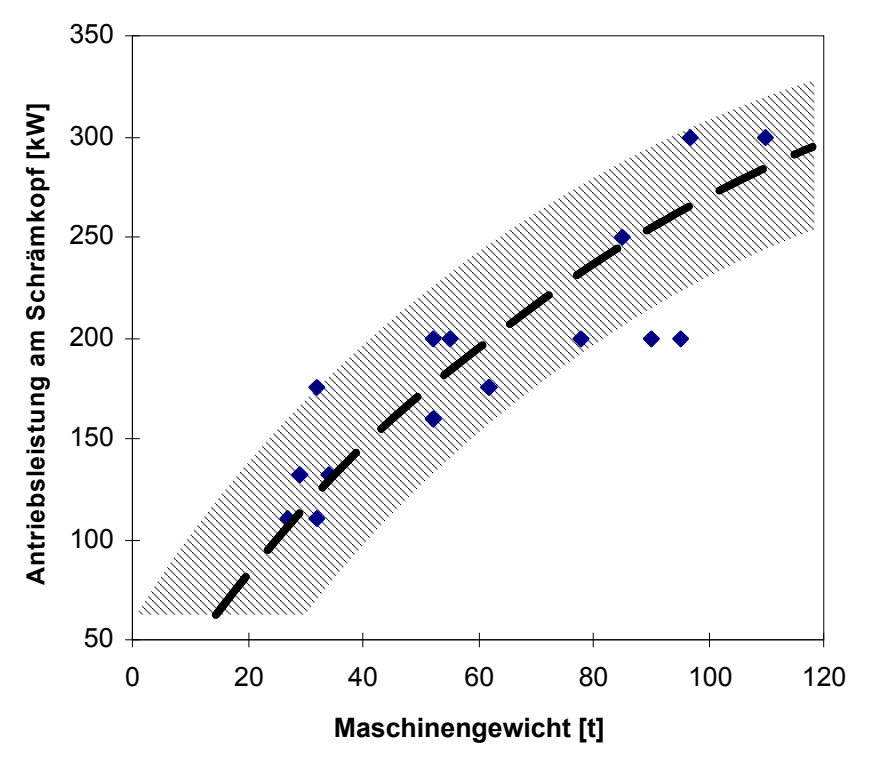
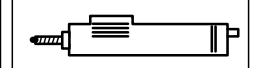


Bild 5-11: Optimierung Schrämleistung (Schneidkopfantrieb) und Maschinengewicht

## **Bohrmaschinen**



### 5.3 Bohrmaschinen

### Grundpenetration v<sub>Bohr,0</sub> [m/min]

$v_{Bohr,0} = i_b \times k_S \times k_M \times k_{BS}$	[m/min]

### Nutzpenetration v<sub>Bohr,N</sub> [m/min]

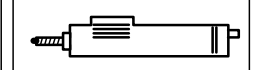
$v_{Bohr,N} = v_{Bohr,0} \times k_2 \times k_3 \times \eta_G$	[m/min]
$k_2 = f_4 \times f_5$	[-]
$\mathbf{k}_3 = \mathbf{\eta}_1 \times \mathbf{\eta}_2$	[-]

V <sub>Bohr.0</sub>	Grundpenetration	[m/min]
İb	Penetrationsrate	[m/min]
ks	Einflussfaktor der Schieferung/Anisotropie	[-]
$k_{M}$	Faktor für die Wahl des Bohrkopfdurchmessers	[-]
$k_{BS}$	Faktor zur Berücksichtigung der Art der Bohrstifte	[-]
$V_{Bohr,N}$	Nutzpenetration	[m/min]
$k_2$	Leistungseinflussfaktor	[-]
$k_3$	Betriebsbeiwert	[-]
$f_1$ ; $f_2$ ; $f_3$	nicht massgebend	[-]
$f_4$	Bohrstift-/Bohrkronenzustandsfaktor	[-]
$f_5$	Verfügbarkeits-/Gerätezustandsfaktor	[-]
$\eta_1$	Bedienungsfaktor	[-]
$\eta_2$	Betriebsbedingungen	[-]
$\eta_{G}$	Geräteausnutzungsgrad	[-]

### Die erzielbare Bohrleistung ist abhängig von:

- Leistung, Antriebs- bzw. Kraftübertragungsart, Bohrverfahren, Anpressdruck, Schlagimpuls und -frequenz etc.
- Bohrbarkeit des Gesteins, abhängig von Druckfestigkeit, Zähigkeit, Quarzgehalt etc.
- Anisotropie/Schieferung des Gesteins
- Bohrkronenwahl, Stiftform
- Durchmesser der Bohrung

## **Bohrmaschinen**



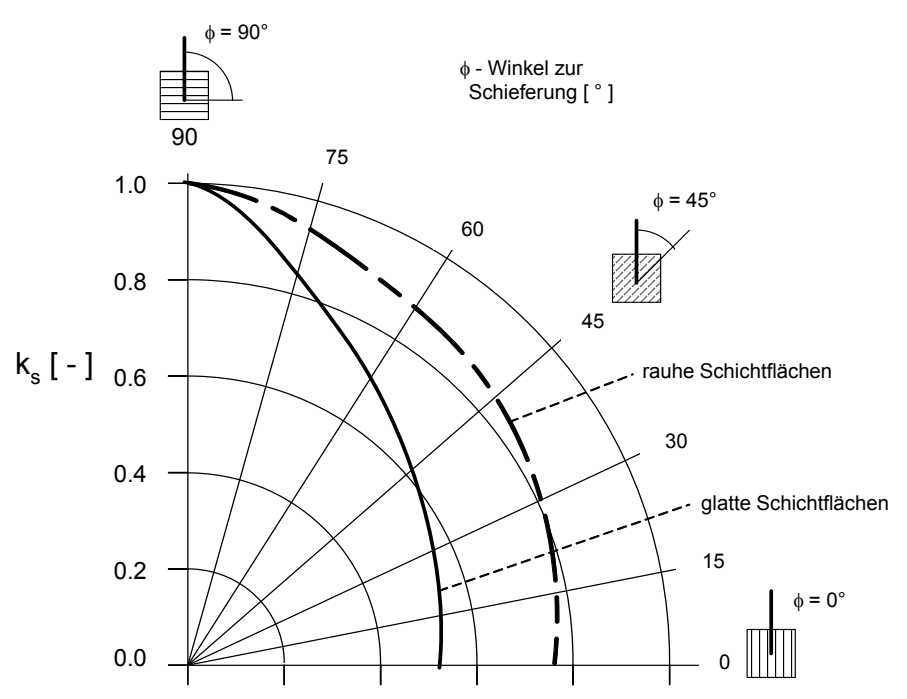


Bild 5-12: Faktor  $k_S$  [-] – Einfluss der Anisotropie bei geschieferten Gebirgen nach [50]

#### Zu Bild 5-12:

Verlauf des Einflussfaktors k<sub>S</sub> in Abhängigkeit von der Bohrrichtung für ein Quarzphyllit mit ebenen, glatten Schieferungsflächen (hochgradige Anisotropie; durchgehende Linie) und mit welligen Schieferungsflächen (starke Anisotropie; gestrichelte Linie) [50].

Tabelle 5-1: Faktor k<sub>M</sub> [-] − Berücksichtigung der Wahl des Bohrkopfdurchmessers bei gleicher Hammerleistung

Bohrkopfdurchmesser Ø [mm]	45	64	128
Anzahl der Bohrstifte [-]	6 bzw. 9	12	22
Abminderungsfaktor k <sub>M</sub> [-]	1	0.8 – 0.6	0.4 – 0.6

## **Bohrmaschinen**

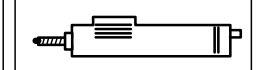


Tabelle 5-2: Faktor k<sub>BS</sub> [-] zur Berücksichtigung der Art der Bohrstifte nach [50]

Stiftform	Faktor k <sub>BS</sub> [-]
ballistisch	1.0
sphärisch	0.85

Tabelle 5-3: Praxiswerte für die Penetrationsrate i₀ [m/min] in Abhängigkeit von der Gesteinsart und der einaxialen Druckfestigkeit nach [51]

Drehschlagbohrmaschine: Leistung 20 kW, z.B. Atlas Copco COP 1838		
Gesteins art	einaxiale Druckfestigkeit $\sigma_{c}$ [N/mm $^{2}$ ]	typische Penetrationsrate i₀ [m/min]
Granit / Gneis	150 – 220	2.8 – 3.5
Kieselkalk	200 – 270	2.5 – 3.5
Tonstein (Mergel)	20* - 80	2.0 – 3.0
Sandstein (Molasse)	40* – 150	3.0 – 4.0
* Anmerkung: Gebirge mit tonigen Anteilen führt beim Bohren zu Leistungsminderungen durch Verkleben / Verstopfen der Spülöffnungen der Bohrkrone		

Tabelle 5-4: Trendbeziehung Bohrbarkeit – Bohrgeschwindigkeit – Bohrkronenverbrauch nach [52]

	Grundpenetration		Verschleiss / Standzeit	
Bohrbarkeit	Bezeichnung	v <sub>Bohr,0</sub> [m/min]	Bezeichnung	I <sub>stand</sub> [Bohrmeter/Krone]*
leicht	sehr hoch	> 4	sehr gering	> 2500
normal	hoch	3 – 4	gering	1500 – 2500
schwer	mittel	2 – 3	mittel	1000 – 1500
sehr schwer	gering	1 – 2	hoch	500 – 1000
extrem schwer	sehr gering	< 1	sehr hoch	200 - 500
extrem schwer	sehr gering	< 1	extrem hoch	< 200

<sup>\*</sup> bezogen auf Stiftkronen mit Bohrkronendurchmesser zwischen 43 und 48 mm, hauptsächlich 45 mm

## Sprengen



[min]

[min]

### 5.4 Bohren und Sprengen einer Ortsbrust [2]

# Gesamte Bohrzeit T<sub>B</sub> [min] $T_{-} = \sum_{t} t_{-} + \sum_{t} \Delta t_{+} + t_{+}$

'B	B ' Z A'Umsetz ' Vermess	נוווווון
$  I_{D} =$	$\frac{n \times l_{B}}{\langle v_{Bohr,N}} + \frac{n \times \Delta t_{Umsetz}}{n_{B}} + n \times \Delta t_{Vermess}$	[min]
$\sum t_{\text{B}}$	Gesamte Bohrzeit für die Bohrlöcher eines Abschlags	[min]
n	Anzahl Bohrlöcher	[-]
I <sub>B</sub>	Bohrlochtiefe	[m]
$n_B$	Anzahl der Bohrarme am Jumbo (2 bis 3)	[-]
$V_{Bohr,N}$	reine Bohrgeschwindigkeit, abhängig von der	[m/min]
	Gesteinsfestigkeit, Abrasivität etc.	

Umsetzzeit eines Bohrarms zum nächsten

Bohransatzpunkt

t<sub>Vermess</sub> Gesamteinmesszeit aller Bohrlöcher, bei [min]

automatischen Bohrgeräten ≈ 0

 $\Delta t_{Vermess}$  Einmessung und Markierung eines [min]

Bohransatzpunkts (bei teil- bzw.

vollautomatisierten Jumbos  $\Delta t_{Vermess} = 0$ )

## Zeit für das Umsetzen des Bohrjumbos von einer Ortsbrustseite zur anderen und das Einrichten:

$$T_{Fin} = 15 \text{ min}$$

 $\Delta t_{\text{LImsetz}}$ 

Die **Sprengzeit** setzt sich zusammen aus der Zeit für das Laden der Bohrlöcher, das Verdrahten, das Prüfen und Zünden der Ladungen sowie aus der Zeit für das anschliessende Lüften.

### Ladezeit T<sub>L</sub> [min]

$T_{L} = \frac{n \times I_{B}}{n_{A} \times q_{A}}$	[min]
---	-------

 $n_A$  Anzahl der Arbeiter [-]  $q_A$  Ladeleistung pro Arbeiter (1 – 2 m/min) [m/min]

## Sprengen



### Verdrahtungszeit T<sub>V</sub> [min]

_	
$T_V = n \times \bar{t}_{Verd}$	[min]

 $T_V$  Verdrahtungszeit [min]  $\bar{t}_{Verd}$  Verdrahtungszeit pro Bohrloch (0.2 – 0.5 min/Loch) [min/Loch]

Zeit für Prüfen und Zünden  $T_{PZ}$  [min]:  $T_{PZ} = 15 \text{ min}$ Zeit für das Lüften  $T_{Lüft}$  [min]:  $T_{Lüft} = 15 \text{ min}$ 

Da die Arbeiten heute weitgehend parallel verlaufen, können sie nicht als einfache Summe abgebildet werden. Beim Einsatz von lafettierten Bohrgeräten und Verwendung von patroniertem oder Emulsionssprengstoff darf bei gebotener Vorsicht bis zum Abstand eines Fünftels der Bohrlochtiefe, **mindestens aber 1 m**, von geladenen Bohrlöchern gebohrt werden [53]. Dies bedeutet, dass das Laden der Bohrlöcher parallel zum Bohren durchgeführt und nach ca. einem Viertel bis der Hälfte der gebohrten Löcher begonnen werden kann. Gleichzeitig kann nach Fertigstellung des Ladevorgangs einer Ortsbrusthälfte bereits mit dem Verdrahten der Zündstufen begonnen werden.

Nachfolgend wird ein solches Beispiel dargestellt, das eine weitgehende Parallelität eines Teils des Sprengvortriebszyklus ermöglicht.

Folgende Arbeiten verlaufen parallel:

#### 1. Phase:

- Der Bohrjumbo bohrt Sprenglöcher auf der linken Hälfte der Ortsbrust.
- Das Ankerbohrgerät setzt auf der rechten Tunnelgewölbeseite Anker.

#### Zwischenphase: Gerätewechsel

#### 2. Phase:

- Der Bohrjumbo bohrt Sprenglöcher auf der rechten Hälfte der Ortsbrust.
- Das Ankerbohrgerät setzt auf der linken Tunnelgewölbeseite Anker.
- Vom Ankerbohrgerät wird mittels Ladekorb auf der linken Ortsbrusthälfte patronierter oder Emulsionssprengstoff geladen.
- Anschliessend folgt auf der linken Ortsbrusthälfte die Verdrahtung der Sprengladungen.

## **Sprengen**



#### 3. Phase:

- Laden der rechten Seite der Ortsbrust vom Ladekorb des Bohrjumbos
- Anschliessend folgt auf der rechten Ortsbrusthälfte die Verdrahtung der Sprengladungen.
- Rückziehen des Bohrjumbos

#### 4. Phase:

Prüfen und Zünden der Ladungen

#### 5. Phase:

Lüften

Des Weiteren folgt das Profilieren des Querschnitts nach dem Sprengen und das anschliessende Schuttern.

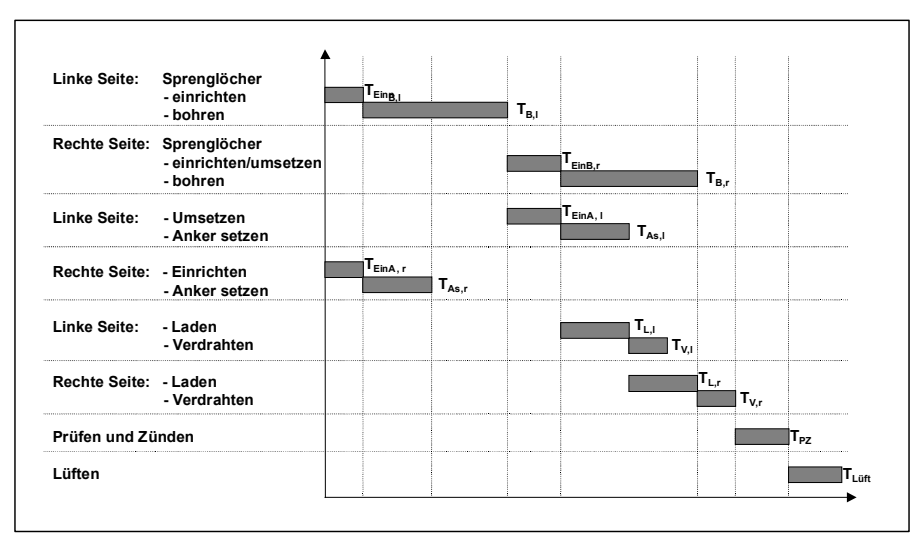
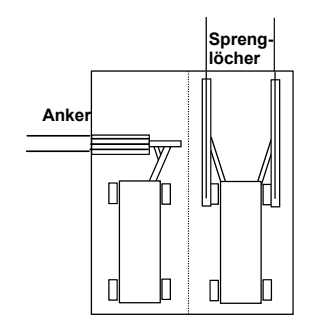


Bild 5-13: Zeitlicher Ablauf eines parallel verlaufenden Sprengvortriebszyklus



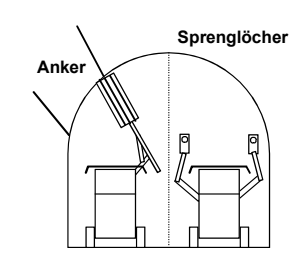


Bild 5-14: Parallel verlaufender Vortrieb



### 5.5 Lüftung [2]

Entsprechend SUVA [54] bzw. TBG [55], [56] ist eine ausreichende Lüftung sicherzustellen. Es gelten folgende Mindestanforderungen:

- Dauernde Bereitstellung von Atemluft mit einem Sauerstoffanteil von mindestens 20 Vol.-%.
- Die Anteile der gesundheitsschädlichen Staube und Gase dürfen die MAK-Werte (maximale Arbeitsplatzkonzentration) nicht übersteigen.

#### Abbau durch Sprengen:

- Aufnahme der Arbeit an der Sprengstelle nach frühestens 15 Minuten Lüftungszeit.
- Die F\u00f6rderleistung der L\u00fcftung muss im gr\u00f6ssten ausgebrochenen Profil eine Luftgeschwindigkeit von mindestens 0.30 m/s erzielen (dieser Wert gilt bei einer Sprengpause von 15 Minuten; bei Verl\u00e4ngerung der Wartezeit kann die Leistung der L\u00fcftung im umgekehrten Verh\u00e4ltnis herabgesetzt werden).
- Für die gleichzeitig unter Tag in Betrieb stehenden Fahrzeuge und Maschinen sollen mindestens 4 m³ Frischluft pro Minute und DIN-PS zur Verfügung stehen (berücksichtigt werden nur die Nennleistungen aller Grossgeräte).

#### Sprengfreier Abbau

- Für jede unter Tag beschäftigte Person sind 1.5 m³ Frischluft pro Minute zuzuführen.
- Für die gleichzeitig unter Tag in Betrieb stehenden Fahrzeuge und Maschinen sollen mindestens 4 m³ Frischluft pro Minute und DIN-PS zur Verfügung stehen (berücksichtigt werden nur die Nennleistungen aller Grossgeräte).

Die Zuführung der Frischluft erfolgt meistens mittels Lutten. Bei diesen, aus einzelnen Luttenelementen von gleich grossem Durchmesser bestehenden Lüftungsaggregaten, können die Druck- und Leckverluste in den verschiedenen Bauphasen direkt aus den Berechnungsdiagrammen abgelesen werden.

Für Lutten mit spürbaren Drucksprüngen infolge Durchmesseränderungen, Umlenkungen, Vereinigungen, Abzweigungen oder Zwischenventilatoren sei auf Norm SIA 196 [57] verwiesen.



#### Luttengüteklasse S:

neue Lutten, nur sehr geringe Verluste, regelmässig gewartet, meist Luttenspeicher erforderlich (Undichtigkeit ca. 5 mm²/m²)

#### Luttengüteklasse A:

neue Lutten, nur geringe Verluste (Undichtigkeit ca. 10 mm²/m²)

#### Luttengüteklasse B:

gebrauchte Lutten mit höheren Verlusten, etwas höhere Porosität des Luttenrohrs (Undichtigkeit ca. 20 mm²/m²)

Die Lutte hat an den Stossstellen der Luttenelemente und durch kleine Beschädigungen immer undichte Stellen. Es ist rechnerisch zulässig, die unvermeidlichen Undichtigkeiten als über die ganze Abschnittlänge gleichmässig verteilt anzunehmen.

Grosse Einzellecks werden mit dieser Berechnungsmethode nicht erfasst, sie lassen sich jedoch leicht feststellen und sollten gedichtet werden.

#### Bemessungsverfahren

Ausgehend von einem sicherzustellenden Luftwechsel (gegeben als Q, u und p) im Tunnelquerschnitt werden die erforderlichen Werte am Ende der Lutte ( $Q_0$ ,  $u_0$ ,  $p_0$ ) bestimmt. Mit Hilfe der Diagramme Bild 5-17 bis Bild 5-19 sind die entsprechenden Kennwerte am Luttenanfang ( $Q_1$ ,  $u_1$ ,  $p_1$ ) festzulegen. Diese Werte bilden die Basis zur nachfolgenden Bemessung des entsprechenden Ventilators.

Es ist darauf zu achten, dass der zulässigen Werte für den Innendruck der Lutte an keiner Stelle der Lutte überschritten werden. Für den Fall der Überschreitung des zulässigen Lutteninnendruckes sind alternativ zu wenigen grösseren Ventilatoren entsprechend dimensionierte, kleinere Ventilatoren im Verlauf der Lutte anzuordnen (Bild 5-15).



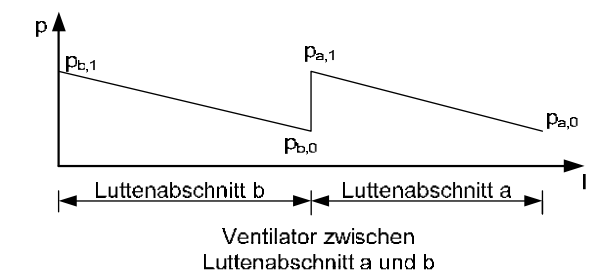


Bild 5-15: schematischer Druckverlauf bei der Anordnung mehrerer Luttenabschnitte mit Ventilator zwischen den Abschnitten

#### Erklärung zu den nachfolgenden Diagrammen:

#### Gegeben sind die Grössen

- Güte der Lutte (S; A; B)
- Länge der Lutte (L)
- Durchmesser der Lutte (d)
- Statischer Druck p<sub>i,1</sub> am Luttenabschnittsanfang
- Statischer Druck p<sub>i,0</sub> am Luttenabschnittsende
- Lage des Luttenabschnittes im Lüftungssystem, ausgedrückt durch den statischen Druck p₀ am Luttenende
- Luftmenge Q<sub>0</sub> am Abschnittsende

#### Herausgelesen werden

- ullet die Luftmenge  $Q_1$  am Abschnittsanfang relativ zu  $Q_0$  am Abschnittsende
- der statische Überdruck p₁ in der Lutte beim Ventilator am Abschnittsanfang

### Berechnung der erforderlichen Ventilationsleistung:

#### Kontinuitätsgleichung:

$Q_1 = Q_0 + \Delta$	Q (f <sup>0</sup> , u, p)	[m <sup>3</sup> /s]
$Q_1$	Erforderliche Ventilatorsaugleistung	[m <sup>3</sup> /s]
$Q_0$	Erforderliche Luftmenge am Luttenende	[m <sup>3</sup> /s]
	Leckverlustmenge in Abhängigkeit von f <sup>0</sup> , u, p	[m <sup>3</sup> /s]
f <sup>0</sup> (S; A; B)	Undichtigkeit der Lutte (Klassen S. A und B [57])	$[mm^2/m^2]$



Der **Gesamtdruck am Ventilator p\_{Vent} [Pa]** ergibt sich aus der Bernoulli'schen Gleichung [57]:

$p_{vent} = \frac{\rho}{2} u_1^2 + \sum_{i} \zeta_i \frac{\rho}{2} u_i^2 + p_1$		[Pa]
$p_1 = p_0 + \frac{\rho}{2} u_0^2 + \Delta p(\lambda, L/d, f^0, u_i)$	; f <sup>0</sup> = f <sup>0</sup> (S; A; B)	[Pa]

_		
p <sub>Vent</sub>	Gesamtdruck am Ventilator (vor Punkt 1)	[Pa]
$\frac{\rho}{2}u_1^2$	Dynamischer Druck am Luttenanfang	[Pa]
$\sum_{i} \zeta_{i} \frac{\rho}{2} u_{i}^{2}$	Einzelverluste aus Eintritts-, Schutzgitter-, Krümmungs-, Verengungs- und Erweiterungs- verlusten	[Pa]
u <sub>0</sub> u <sub>1</sub> p <sub>0</sub> P <sub>1</sub>	Luftaustrittsgeschwindigkeit (Punkt 0) Lufteintrittsgeschwindigkeit (Punkt 1) Druck am Luttenende Statischer Druck am Ventilator, zusammengesetzt aus Reibungsverlust der Luttenwand, Leckverlust durch Undichtigkeit und Ausblasverlust (wird mit Hilfe der Diagramme ermittelt).	[m/s] [m/s] [Pa] [Pa]
$\frac{\rho}{2}u_0^2$	Dynamischer Druck am Luttenende	[Pa]
$\begin{array}{l} \Sigma \\ \Delta p(\lambda,L/d,f^0,u_i) \\ \lambda \\ A_L \\ d \\ L \end{array}$	Druckverlust entlang der Lutte Gemittelter Rohrreibungskoeffizient der Lutte Luttenquerschnitt Durchmesser der Lutte Luttenlänge	[Pa] [-] [m²] [m] [m]



Die Berechnung von  $Q_1$  und  $p_1$  mit Hilfe der Diagramme wird wie folgt durchgeführt:

### Ventilatorleistung Q₁ [m³/s]

$$\begin{split} \Pi_0 = & \left( \frac{p_0}{2} u_0^2; \frac{L}{d}; f^0(S; A; B) \right) \Rightarrow \omega = \frac{Q_1}{Q_0} \\ Q_1 = \omega \times Q_0 & [m^3/s] \\ A_L = & \frac{d^2 \times \pi}{4} & [m^2] \\ u_1 = & \frac{Q_1}{A_L} & [m/s] \end{split}$$

### Statischer Druck am Ventilator p<sub>1</sub> [Pa]

$$\begin{split} \Pi_0 = & \left( \frac{p_0}{\frac{\rho}{2} u_0^2}; \frac{L}{d}; f^0(S; A; B) \right) \Rightarrow \Pi_1 = \frac{p_1}{\frac{\rho}{2} u_0^2} \\ p_1 = & \Pi_1 \frac{\rho}{2} u_0^2 & \text{Der zulässige Luttendruck darf nicht überschritten werden.} \\ p_1 \leq & p & \text{zulässiger Luttendruck} \end{split} \qquad \text{[Pa]}$$

Mittels der Parameter  $u_1$  und  $p_1$  kann  $p_{\text{vent}}$  bestimmt werden. Zur Ermittlung des optimalen Ventilators muss die Luttenkennlinie p-Q aufgestellt werden. Dies geschieht durch die Wiederholung des obigen Rechengangs für verschiedene Bauabschnittslängen  $L_i$  bei konstantem  $Q_0$ . Die Luttenkennlinie wird in die jeweilige Ventilator-Drosselkurve eingetragen, um das optimale Gerät in Abhängigkeit seiner Umdrehungszahl mit den optimalen Betriebsbedingungen für die



verschiedenen Bauabschnittslängen  $L_i$  zu ermitteln (siehe analog Pumpen-Rohrleitungskennlinie bei der Flüssigkeitsförderung in Kapitel 4). Aus der Luttenkennlinie bestimmt man  $(Q_1^{max};p_{vent}^{max}) = f(L_{Tunnel}^{max})$  zur Dimensionierung der maximalen elektrischen Anschlussleistung des Ventilators.

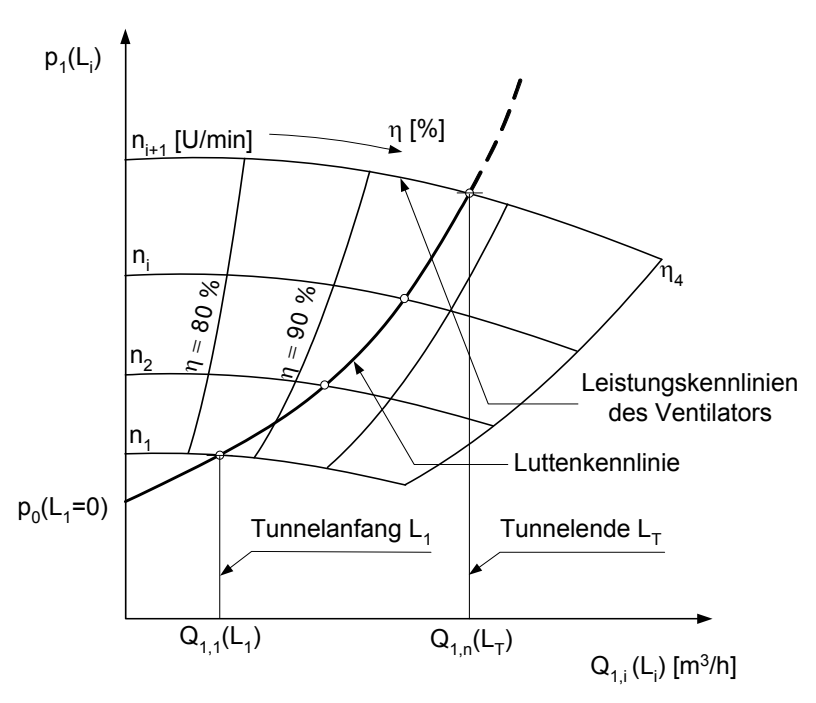


Bild 5-16: Dimensionierung des Ventilators

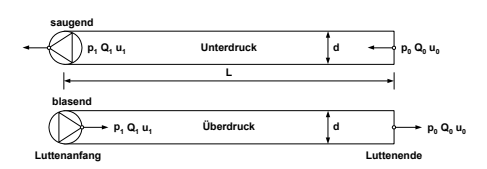
### Elektrische Anschlussleistung des Ventilators N [kW]

$N = \frac{Q_1}{\eta_{vent}} \times \frac{p_{vent}}{\eta_{Motor}} \times 10^3$		[kW]
$\eta_{\text{vent}}$ $\eta_{\text{Motor}}$	Ventilatorwirkungsgrad Motorenwirkungsgrad	[-] [-]



Berechnungsdiagramm [57] für Lutten der Güteklasse S:

$$\lambda = 0.015$$
  $f^{0}(S) = 5 \times 10^{-6} \text{ m}^{2}/\text{m}^{2} = 5 \text{ mm}^{2}/\text{m}^{2}$ 



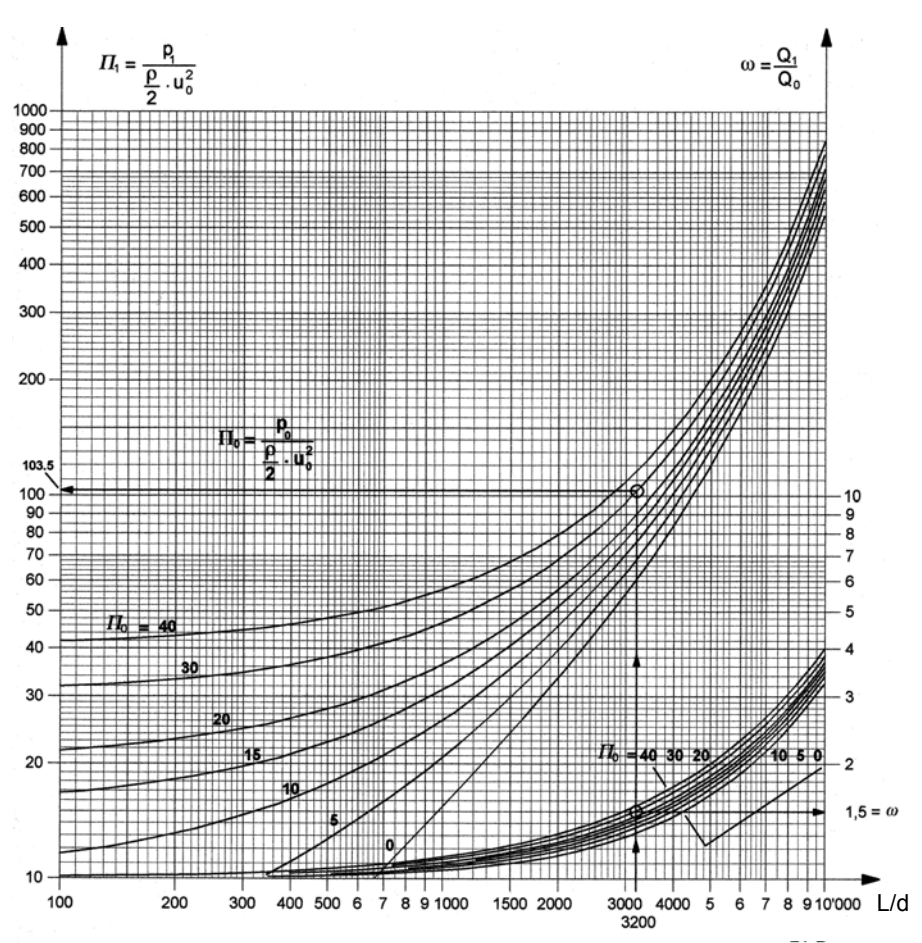
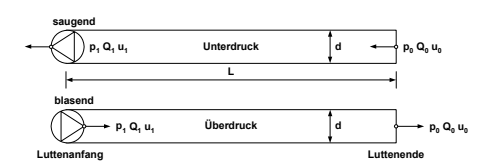


Bild 5-17: Berechnungsdiagramm [57] für Lutten der Güteklasse S



Berechnungsdiagramm [57] für Lutten der Güteklasse A:

$$\lambda = 0.018$$
  $f^{0}(A) = 10 \times 10^{-6} \text{ m}^{2}/\text{m}^{2} = 10 \text{ mm}^{2}/\text{m}^{2}$ 



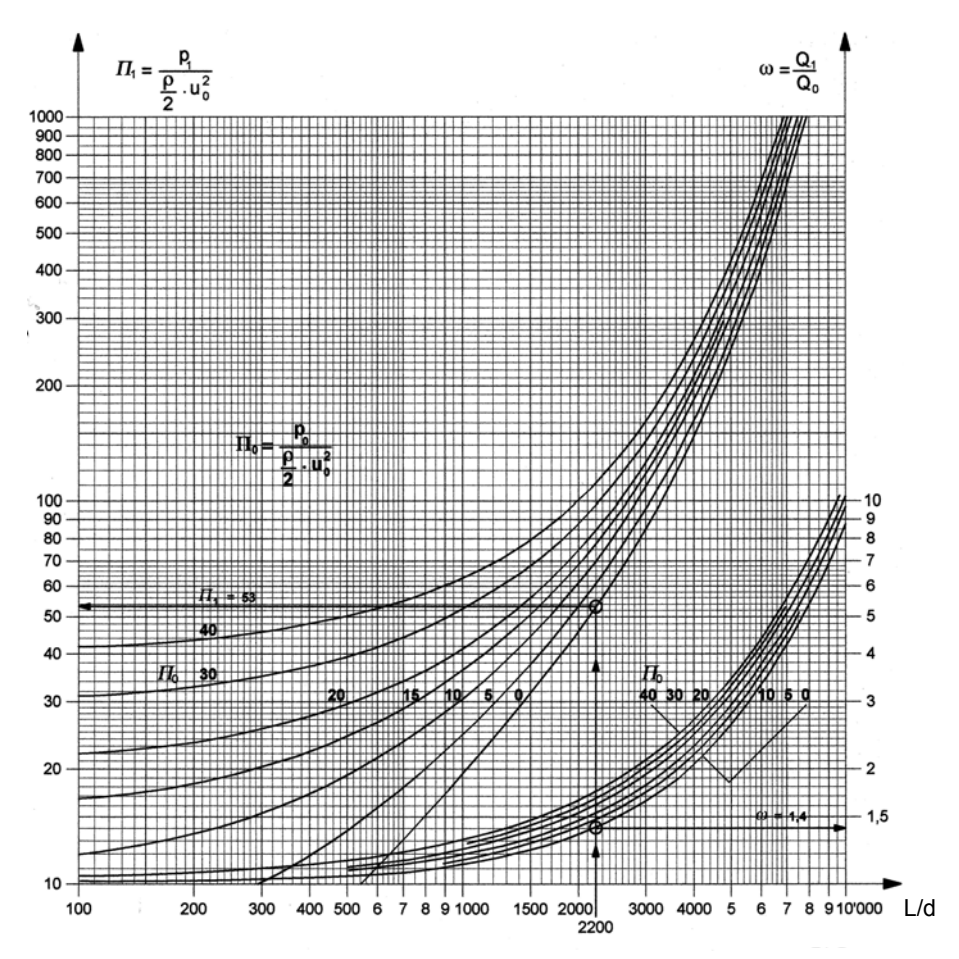
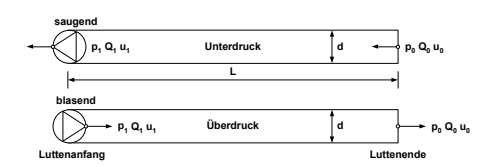


Bild 5-18: Berechnungsdiagramm [57] für Lutten der Güteklasse A



Berechnungsdiagramm [57] für Lutten der Güteklasse B:

$$\lambda = 0.024$$
  $f^{0}(B) = 20 \times 10^{-6} \text{ m}^{2}/\text{m}^{2} = 20 \text{ mm}^{2}/\text{m}^{2}$ 



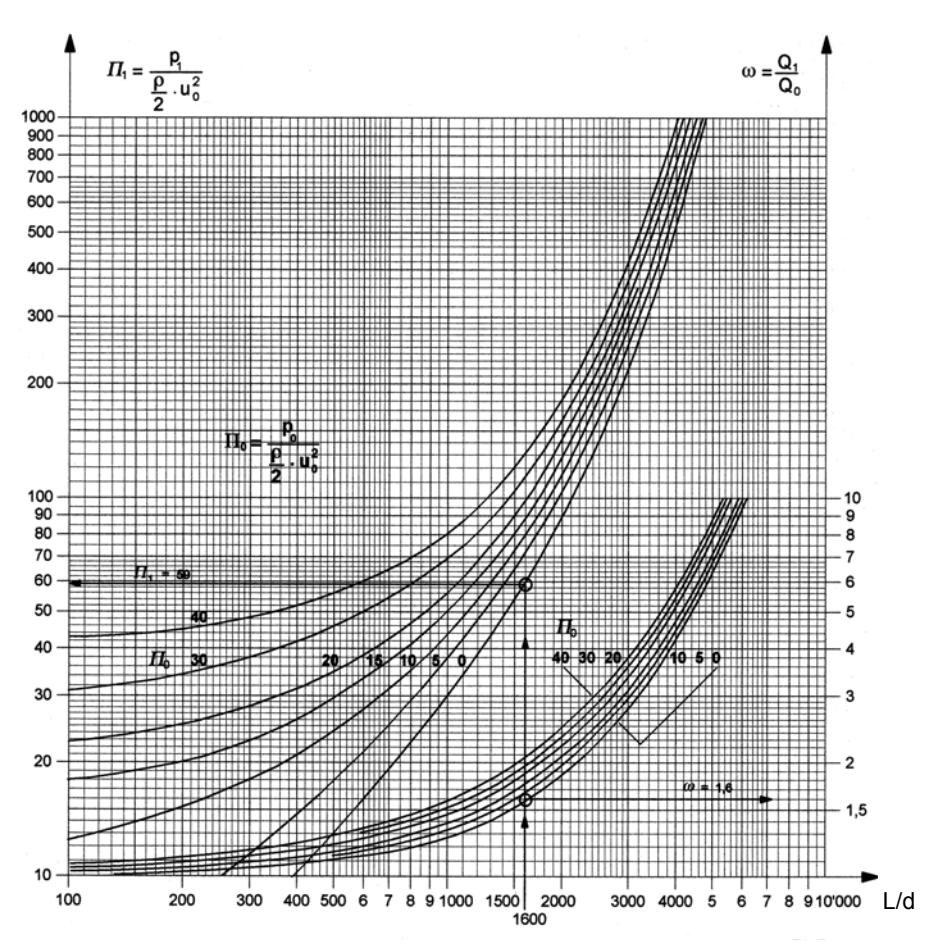


Bild 5-19: Berechnungsdiagramm [57] für Lutten der Güteklasse B

## 6 Spezialtiefbau

Jetgrouting Rammen



### 6.1 Jetgrouting

Die **Strahlenergie E [J]** des Düsenstrahls repräsentiert die Schneidkraft eines Flüssigkeitsstrahls und beträgt [2]:

$E = \frac{m \times v^2}{2}$		[J]
Е	Strahlenergie	[J]
m	Injektionsmedium-/suspension	[kg]
V	Strahlgeschwindigkeit	[m/s]

Folgende Beziehungen gelten für den Kontrollbereich des Injektionsdüsenkopfs:

Kontinuitätsgleichung: $v_G \times A_G = v_{D\bar{u},aus} \times A_{D\bar{u},aus}$ [m/s]		[m/s]
$V_{G}$	Geschwindigkeit im Bohrgestänge (vor Eintritt in die Düse)	[m/s]
$\begin{array}{l} A_G \\ v_{D\ddot{u},aus} \\ A_{D\ddot{u},aus} \end{array}$	Querschnitt im Bohrgestänge Austrittsgeschwindigkeit aus der Düse Querschnitt am Düsenaustritt	[m²] [m/s] [m²]

### Druckverlust ∆p [kN/m²] in der Düse

Δp =	$= \zeta \times \rho \times \frac{v_{D\ddot{u},aus}^2}{2}$	[kN/m²]
Δр	Druckverlust in der Düse	[kN/m²]
ζ.	Düsenabhängiger Verlustbeiwert	[-]
ρ	Dichte der Injektionssuspension	[kg/m³]



$$\text{Bernoulli: } p_{\text{G}} + \frac{\rho}{2} \times v_{\text{G}}^2 = p_{\text{Dü,aus}} + \frac{\rho}{2} \times v_{\text{Dü,aus}}^2 \times (1 + \zeta) \qquad \qquad \text{[kN/m²]}$$

$$\text{mit} \hspace{1cm} v_{\text{G}} = v_{\text{D\"{u}},\text{aus}} \times \frac{A_{\text{D\~{u}},\text{aus}}}{A_{\text{G}}} = v_{\text{D\~{u}},\text{aus}} \times \beta \hspace{1cm} [\text{m/s}]$$

 $\begin{array}{lll} p_G & \text{Injektionsdruck im Bohrgestänge} & [kN/m^2] \\ p_{D\bar{u},aus} & \text{Injektionsdruck am Düsenaustritt} & [kN/m^2] \\ \beta & \text{Querschnittsverhältnis aus $A_{D\bar{u},aus}$ und $A_G$} & [-] \end{array}$ 

### Somit beträgt die Düsenstrahlaustrittsgeschwindigkeit v<sub>Dü,aus</sub> [m/s]:

$$\begin{aligned} v_{\text{Dü,aus}} &= \sqrt{\frac{2}{\rho \times (1 + \zeta - \beta^2)} \times (p_{\text{G}} - p_{\text{Dü,aus}})} \\ &= \alpha \times A_{\text{Dü,aus}} \times \sqrt{\frac{2}{\rho}} \times \sqrt{(p_{\text{G}} - p_{\text{Dü,aus}})} \end{aligned}$$
 [m/s]

$$\alpha = \frac{1}{A_{D\ddot{u},aus}} \times \sqrt{\frac{1}{1 + \zeta - \beta^2}} \qquad \beta = \frac{A_{D\ddot{u},aus}}{A_G}$$

lpha Düsenkorrekturfaktor [-]

### Austrittsmenge an Injektionsgut Q<sub>Suspension</sub> [m³/s]

$$Q_{\text{Suspension}} = \frac{\pi}{4} \times d^2 \times V_{\text{Dü,aus}}$$
 [m<sup>3</sup>/s]

 $\begin{array}{ll} Q_{Suspension} & Injektions volumens trom \ am \ Austritt & [m^3/s] \\ d & D \ddot{u}sendurch messer & [m] \end{array}$ 



#### Pumpendruck - manometrischer Druck

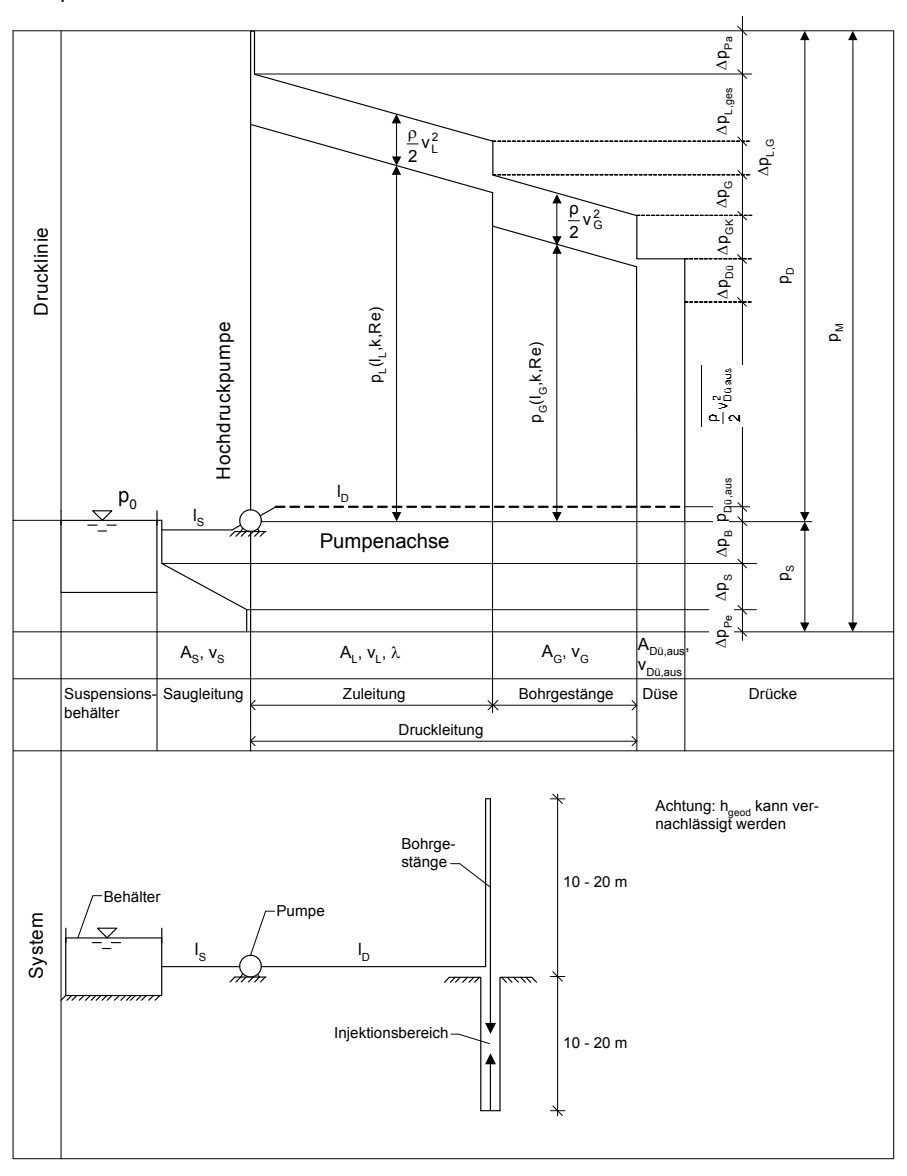


Bild 6-1: Ermittlung des erforderlichen manometrischen Pumpendrucks



### Saugleitungsdruck p<sub>S</sub> [kN/m<sup>2</sup>]

$p_{S} = p_{0} + \Delta p_{B} + \Delta p_{S} + \Delta p_{Pe}$	[kN/m <sup>2</sup> ]
$Q_{Suspension} = A_S \times V_S$	[m³/s]

$p_{S}$	Druck in der Saugleitung	[kN/m <sup>2</sup> ]
$p_0$	Druck im Suspensionskessel (meist atmosphärisch)	$[kN/m^2]$
$\Delta p_{\text{B}}$	Druckverlust am Austritt aus dem Behälter	$[kN/m^2]$
$\Delta p_S$	Druckverlust in der Saugleitung (siehe "Flüssigkeitsförderung")	[kN/m <sup>2</sup> ]
$\Delta p_{\text{Pe}}$	Druckverlust beim Eintritt in die Pumpe	$[kN/m^2]$
$A_S$	Querschnitt der Saugleitung	$[m^2]$
$V_S$	Geschwindigkeit in der Saugleitung	[m/s]

### Druckleitungsdruck p<sub>D</sub> [kN/m<sup>2</sup>]

$$\begin{split} p_D &= \Delta p_{Pa} + \Delta p_{L,ges} + \Delta p_{L/G} + \Delta p_G + \Delta p_{GK} \\ &+ \Delta p_{D\ddot{u}} + \frac{\rho}{2} \, v_{D\ddot{u},aus}^2 + p_{D\ddot{u},aus} \\ Q_{Suspension} &= A_G \times v_G = A_{D\ddot{u},aus} \times v_{D\ddot{u},aus} = A_L \times v_L = A_S \times v_S \\ v_S &= \frac{A_{D\ddot{u},aus}}{A_S} \, v_{D\ddot{u},aus}; \quad v_L = \frac{A_{D\ddot{u},aus}}{A_L} \, v_{D\ddot{u},aus}; \quad v_G = \frac{A_{D\ddot{u},aus}}{A_G} \, v_{D\ddot{u},aus}; \end{split}$$

$p_{D}$	Druck in der Druckleitung	$[kN/m^2]$
$\Delta p_{Pa}$	Druckverlust beim Austritt aus der Pumpe	$[kN/m^2]$
$\Delta p_{L,ges}$	Druckverlust in der Zuleitung von der Pumpe zum Bohrgestänge (siehe "Flüssigkeitsförderung")	[kN/m <sup>2</sup> ]
$\Delta p_{\text{L/G}}$	Übergangsverlust Zuleitung – Bohrgestänge	$[kN/m^2]$
$\Delta p_G$	Druckverlust im Injektionsgestänge (siehe Kapitel "Flüssigkeitsförderung")	[kN/m <sup>2</sup> ]
$\Delta p_{GK}$	Druckverlust durch die Strahlumlenkung (90°) am Fusspunkt des Gestänges in die Düse	[kN/m <sup>2</sup> ]
$\Delta p_{D\ddot{u}}$	Druckverlust durch Querschnittsänderung in der Düse	[kN/m <sup>2</sup> ]
$p_{\text{D}\ddot{\text{u}},\text{aus}}$	Austrittsdruck aus der Düse im Bohrloch	$[kN/m^2]$



 $A_L$  Querschnitt in der Zuleitung [m²]  $V_L$  Geschwindigkeit in der Zuleitung [m/s]

### Pumpendruck – manometrischer Druck p<sub>M</sub> [kN/m²]

$$\begin{split} \Delta p_{L,ges} &= \Delta p_L + \frac{\rho}{2} \, V_{D\ddot{u},aus}^2 \bigg( \frac{A_{D\ddot{u},aus}}{A_L} \bigg)^2 \sum_i \zeta_{L,i} & [kN/m^2] \\ p_M &= p_S + p_D & [kN/m^2] \\ p_M &= p_0 + \Delta p_S + \Delta p_L + \Delta p_G + p_{D\ddot{u},aus} + \\ &+ \frac{\rho}{2} \, V_{D\ddot{u},aus}^2 \Bigg\{ \bigg( \frac{A_{D\ddot{u},aus}}{A_S} \bigg)^2 \bigg( \zeta_B + \zeta_{Pe} \bigg) + \bigg( \frac{A_{D\ddot{u},aus}}{A_L} \bigg)^2 \bigg( \zeta_{Pa} + \sum_i \zeta_{L,i} \bigg) + \\ &+ \bigg( \frac{A_{D\ddot{u},aus}}{A_G} \bigg)^2 \bigg( \zeta_{L/G} + \zeta_{GK} \bigg) + \bigg( 1 + \zeta_{D\ddot{u}} \bigg) \end{split}$$

$p_{M}$	Manometrischer Druck	$[kN/m^2]$
$\Delta p_{L}$	Druckverlust durch Rohrreibung in der Zuleitung	$[kN/m^2]$
$\zeta_{B}$	Verlustbeiwert für den Austritt aus dem Behälter in die Saugleitung	[-]
$\zeta_{\text{Pe}}$	Verlustbeiwert für den Eintritt in die Pumpe	[-]
$\zeta_{\text{Pa}}$	Verlustbeiwert für den Austritt aus der Pumpe	[-]
$\zeta_{L,i}$	Beiwerte für lokale Verluste in der Zuleitung (z.B. durch Krümmer, Kreisbögen)	[-]
ζ <sub>L/G</sub>	Verlustbeiwert für den Übergang von Zuleitung zum Gestänge (z.B. Querschnittsverengung etc.)	[-]
ζgκ	Verlustbeiwert für die Strahlumlenkung (90°) am Fusspunkt des Gestänges in die Düse	[-]
$\zeta_{D\ddot{u}}$	Verlustbeiwert für die Querschnittsveränderung an der Düse	[-]

#### Anmerkung:

Zur Berücksichtigung von Viskosität und  $\rho_{FF}$  der Suspension siehe Flüssigkeitsförderung von Flüssigkeits-Feststoff-Gemischen in Kapitel 4.



#### Kolbenpumpendimensionierung

Siehe "Flüssigkeitsförderung" in Kapitel 4.

Folgende Pumpendrücke sind für die verschiedenen Injektionsverfahren notwendig [2]:

Niederdruckverfahren	chemische Verfestigungen	bis ca.	4 bar
Mitteldruckverfahren	Soilfracturing-Verfahren	bis ca.	100 bar
Hochdruckverfahren	HDI-Verfahren	bis ca.	600 bar
Höchstdruckverfahren	Gesteinszertrümmerung	bis ca.	4000 bar

Die Hochdruckinjektion muss auf folgende Bodenparameter eingestellt werden:

- · Druckfestigkeit, E-Modul
- Kohäsion, Scherfestigkeit
- · Kornverteilung, Kornaufbau
- Permeabilität, Wassersättigungsgrad

Daraus werden die folgenden Düsenstrahlparameter ermittelt [2]:

- · Schneidleistung, Durchflussmenge, Ziehgeschwindigkeit
- · Strahlgeschwindigkeit, Druck, Düsenform und -durchmesser
- Reichweite
- Injektionsmedium
- Einwirkzeit
- Rückflussmenge des gelösten Bodens sowie Bohrkopf- und Bohrgestängedurchmesser

Die Anwendungsgrenzen des HDI-Verfahrens werden von der maximalen vorhandenen Energie bestimmt. Die Hochdruckinjektionen werden mit Pumpendrücken von 300 – 600 bar durchgeführt. Die Düsen haben meist einen Durchmesser von 1.5 – 4.0 mm. Die Strahlgeschwindigkeiten liegen zwischen 150 und 300 m/s. Bei den vorgenannten Anwendungsparametern ist bei Verwendung von Zementsuspensionen ein Energiebedarf von ca. 250 kW notwendig.

Der Einwirkbereich des Düsenstrahls hängt ab von:

- der Strahlaustrittsgeschwindigkeit
- der Festigkeit des zu erodierenden Bodens
- dem Entspannungsdruck des abfliessenden Rückflussmaterials



Eine Verbesserung des Wirkungsradius wird durch Zugabe von Luftdruck (3 – 6 bar) erzielt; dadurch wird das erodierende Bodenmaterial aufgeschäumt und die Penetrationstiefe des Suspensionsstrahls erhöht.

Die Suspensionsmischung hat oft folgende Charakteristik [58]:

- Wasser-Zementfaktor W/Z = 0.4 1.0
- Zement und Füller 600 1000 I
- Rohdichte der Injektionssuspension  $\rho = 1.5 1.7 \text{ t/m}^3$
- Rohdichte der fertigen Injektionsbodensäule ρ<sub>Soilcrete</sub> = 1.6 2.1 t/m<sup>3</sup>
- Druckfestigkeit der fertigen Injektionsbodensäule f<sub>Soilcrete</sub> = 2 – 15 N/mm<sup>2</sup>

Der Durchmesser einer Säule kann empirisch wie folgt bestimmt werden:

Das Volumen des ausgespülten Bodens entspricht der **Durchflussmen**ge der Rückspülflüssigkeit Q<sub>Rücklauf</sub> [m³/s]

$$Q_{\text{R\"{u}cklauf}} = \frac{\left(\rho_{\text{R\"{u}cklauf}} - \rho_{\text{S}}\right)}{\left(\rho_{\text{Boden}} - \rho_{\text{R\"{u}cklauf}}\right)} \times \left(Q_{\text{Suspension}}\right)$$
 [m³/s]

Das Volumen des ausgespülten Bodens beim Triplex-Verfahren ergibt sich aus der Berücksichtigung der eingebrachten Volumina von Wasser und Injektionssuspension wie folgt:

$$Q_{\text{R\"{u}cklauf}} = \frac{\left(\rho_{\text{R\"{u}cklauf}} - \rho_{\text{S+W}}\right)}{\left(\rho_{\text{Boden}} - \rho_{\text{R\"{u}cklauf}}\right)} \times \left(Q_{\text{Suspension}} + Q_{\text{Wasser}}\right) \qquad \qquad [\text{m}^3/\text{s}]$$

Die **mittlere Rohdichte**  $\rho_{S+W}$  [t/m³] der beim Triplex-Verfahren eingebrachten Flüssigkeiten (Wasser und Suspension) ergibt sich zu:

$$\rho_{S+W} = \frac{\left(Q_W \times \rho_W + Q_{Suspension} \times \rho_S\right)}{\left(Q_W + Q_{Suspension}\right)}$$
 [t/m<sup>3</sup>]



#### Ziehgeschwindigkeit und Injektionssäulendurchmesser

$$\begin{array}{ll} Q_{Suspension} &\approx Q_{Injektion} + Q_{R\ddot{u}cklauf} \\ \\ Q_{Injektion} &= Q_{Suspension} - Q_{R\ddot{u}cklauf} \\ \\ Q_{Injektion} &= Q_{Suspension} \times \left(1 - \frac{\rho_{R\ddot{u}cklauf} - \rho_{S}}{\rho_{Boden} - \rho_{R\ddot{u}cklauf}}\right) \\ \\ V_{Injektion} &= V_{Boden} \times \eta_{F\ddot{u}II} \\ \\ Q_{Injektion} &= V_{Injektion} \times V_{Ziehen} \\ \\ V_{Boden} &= D^2 \times \frac{\pi}{4} \end{array}$$

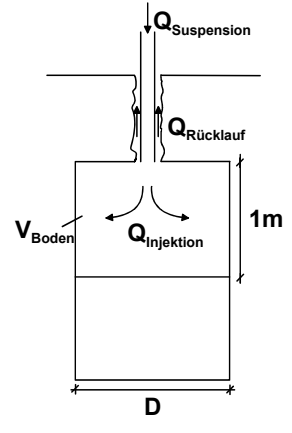


Bild 6-2: Erstellung einer Säule

#### Ziehgeschwindigkeit vziehen [m/s]

$$v_{Ziehen} = \frac{Q_{Injektion}}{V_{Injektion}} = \frac{Q_{Suspension} \times \left(1 - \frac{\rho_{R\ddot{u}cklauf} - \rho_{S}}{\rho_{Boden} - \rho_{R\ddot{u}cklauf}}\right)}{D^{2} \times \frac{\pi}{4} \times \eta_{F\ddot{u}II}}$$
 [m/s]

#### Injektionssäulendurchmesser D [m]

$$D = \sqrt{\frac{Q_{Suspension} \times \left(1 - \frac{\rho_{R\ddot{u}cklauf} - \rho_{S}}{\rho_{Boden} - \rho_{R\ddot{u}cklauf}}\right)}{V_{Ziehen} \times \frac{\pi}{4} \times \eta_{F\ddot{u}ll}}}$$
 [m]

Q<sub>Rücklauf</sub> Durchflussmenge der Rückspülflüssigkeit [m³/s] Q<sub>Suspension</sub> Durchflussmenge der Suspension (Gesamtmenge) [m³/s]



$Q_{\text{Injektion}}$	Suspensionsvolumenstrom,	$[m^3/s]$
Q <sub>Wasser</sub> PRücklauf	der in das Bodenvolumen V <sub>Boden</sub> injiziert wird Durchflussmenge des Wassers Dichte der Rückspülflüssigkeit	[m <sup>3</sup> /s] [t/m <sup>3</sup> ]
ρs	Dichte der Suspension	[t/m³]
ρw	Dichte des Wassers	[t/m <sup>3</sup> ]
ρ <sub>Boden</sub>	Dichte des vorhandenen Bodens	[t/m <sup>3</sup> ]
V <sub>Ziehen</sub>	Ziehgeschwindigkeit des Injektionsgestänges	[m/s]
$\eta_{\text{Füll}}$	Füllanteil der Zementinjektion am Bodenvolumen (20 – 30 %)	[%]
$V_{Boden}$	Bodenvolumen der Injektionssäule pro Meter Länge	[m <sup>3</sup> /m]
$V_{\text{Injektion}}$	Suspensionsmenge pro Meter Bodenvolumen der Injektionssäule	[m <sup>3</sup> /m]



### 6.2 Rammen

### Grundrammleistung für Pfähle Q<sub>0</sub> [m/h]

$Q_0 = \frac{\Delta I}{1}$	$\frac{S,m}{00} \times n_{Gerät}$	[m/h]
$Q_0$	Grundrammleistung für Pfähle	[m/h]
$\Delta I_{S,m}$	mittlere Eindringtiefe pro Schlag	[cm]
n <sub>Gerät</sub>	Schläge pro Stunde	[h <sup>-1</sup> ]

### Nutzrammleistung Q<sub>N</sub> [m/h]

$Q_N = Q_0 \times k_1 \times k_2 \times k_3 \times \eta_G$	[m/h]
k <sub>1</sub> = 1	[-]
$k_2 = f_5$	[-]
$k_3 = \eta_1 \times \eta_2$	[-]

$Q_N$	Nutzrammleistung	[m/h]
$Q_0$	Grundrammleistung für Pfähle	[m/h]
$k_1$	nicht massgebend	[-]
$k_2$	Leistungseinflussfaktor	[-]
$k_3$	Betriebsbeiwert	[-]
$\eta_1$	Bedienungsfaktor	[-]
$\eta_2$	Betriebsbedingungen	[-]
f <sub>5</sub>	Verfügbarkeits-/Gerätezustandsfaktor	[-]
$\eta_G$	Geräteausnutzungsgrad	[-]



### Schlagrammen

### Ermittlung der **erforderlichen Schlagenergie E**<sub>erf</sub> **[kNm]** [59]

$E_{vorh} = m_B \times g \times h$	[kNm]
$E_{erf} = \frac{F_{dyn} \times (\Delta I_S(x) + \frac{\Delta_{elast}}{2})}{\eta_R \times 100}$	[kNm]
$F_{stat}\left(x\right) = A_{S} \times q_{S} + A_{M}(x) \times \tau_{M} \cong A_{S} \times q_{S} + U \times x \times \tau_{M}$	[kN]
$F_{dyn} = \frac{F_{stat}}{\mu_{dyn}}$	[kN]
$\Delta_{\text{elast}} = F_{\text{dyn}} \times \frac{L}{E_{\text{P}} \times A_{\text{S}}}$	[cm]
$\eta_R = \frac{m_B + k^2 \times m_P}{m_B + m_P}$	[-]

$E_{vorh}$	Energie des Rammbärs pro Schlag	[kNm]
$m_{\text{B}}$	Fallmasse des Rammbärs	[t]
g	Erdbeschleunigung	[m/s <sup>2</sup> ]
ĥ	Fallhöhe des Rammbärs	[m]
$E_{erf}$	erforderliche Energie zum Einrammen des Pfahls/	[kNm]
	Rammguts	
$F_{dyn}$	dynamischer Eindringwiderstand	[kN]
$\Delta l_S$	bleibende Eindringtiefe pro Rammschlag	[cm]
X	Tiefe der Pfahl-/Rammgutspitze	[m]
$\Delta_{elast}$	elastische Deformation des Pfahls/Rammguts	[cm]
$\eta_{R}$	Wirkungsgrad des Rammstosses [0.1 – 0.5]	[-]
$F_{stat}$	statischer Eindringwiderstand des Rammguts	[kN]
$A_S$	Querschnittsfläche des Pfahls/Rammguts	[cm <sup>2</sup> ]
$q_s$	Grundbruch-/Pfahlspitzenwiderstand	[kN/cm <sup>2</sup> ]
$A_{M}$	Mantelfläche des Pfahls/Rammguts	$[m^2]$
$\tau_{M}$	Mantelreibung (Haftreibung) des Pfahls/Rammguts	[kN/m <sup>2</sup> ]
U	Umfang des Pfahls/Rammguts	[m]
$\mu_{\text{dyn}}$	Widerstandsbeiwert des Bodens	[-]
L	Pfahllänge/Rammgutlänge	[cm]
$E_P$	Elastizitätsmodul des Pfahls/Rammguts	[kN/cm <sup>2</sup> ]
k	Stossziffer	[-]
$m_{\text{P}}$	Pfahl-/Rammgutmasse	[t]



#### Selektion der Schlagramme durch Iteration

Bedingung für die Ermittlung der erforderlichen Schlagenergie bei der Endtiefe des Rammguts:

 $\Delta I_{S}(L) \approx 0$ ; Iteration für Gerät i = 1 bis k:

$$\mathsf{E}_{\mathsf{erf}\,\mathsf{j}} = \frac{\mathsf{F}_{\mathsf{dyn}}^{} \times (\Delta \mathsf{I}_{\mathsf{S}}^{}(\mathsf{L}) + \frac{\Delta_{\mathsf{elast}}}{2})}{\frac{\mathsf{m}_{\mathsf{B},\mathsf{i}}^{} + \mathsf{k}^{2} \times \mathsf{m}_{\mathsf{P}}^{}}{\mathsf{m}_{\mathsf{B},\mathsf{i}}^{} + \mathsf{m}_{\mathsf{P}}^{}} \times 100} = \frac{\mathsf{F}_{\mathsf{dyn}}^{2} \times (\frac{1}{2} \times \frac{\mathsf{L}}{\mathsf{E}_{\mathsf{P}}^{} \times \mathsf{A}_{\mathsf{S}}^{}})}{\frac{\mathsf{m}_{\mathsf{B},\mathsf{i}}^{} + \mathsf{k}^{2} \times \mathsf{m}_{\mathsf{P}}^{}}{\mathsf{m}_{\mathsf{B},\mathsf{i}}^{} + \mathsf{m}_{\mathsf{P}}^{}} \times 100}$$
 [kNm]

Iterationslauf i = 1 bis k:

Für i = 1: Annahme eines Rammgeräts mit der Fallmasse m<sub>B 1</sub>

$$E_{erf,i} = \frac{(A_S \times q_S + U \times L \times \tau_M)^2 \times \frac{L}{E_P \times A_S}}{2 \times \mu_{dyn}^2 \times (m_{B,i} + k^2 \times m_P) \times 100} \times (m_{B,i} + m_P)$$
 [kNm]

Bedingung prüfen:

$$E_{erfi} \leq E_{vorhi} \Rightarrow m_{B.i} \times g \times h_i$$

wenn

 $E_{erfi} > E_{vorhj}$  dann i = i + 1 mit Geräteparameter der nächsten Leistungsstufe

$$m_{\scriptscriptstyle B,i+1}\!\times\! h_{\scriptscriptstyle i+1}>\! m_{\scriptscriptstyle B,i}\!\times\! h_{\scriptscriptstyle i} \ \ \text{bis i = k mit}$$

$$\textbf{E}_{\text{erf},k} \leq \textbf{E}_{v\,\text{orh},k} = m_{\text{B},k} \times g \times h_k$$

$$\Rightarrow$$
  $n_{Gerät,k}$   $[h^{-1}]$ 

İ	Iterationsschritt	[-]
k	maximale Anzahl von Iterationsschritten	[-]
n <sub>Gerät</sub>	Schläge des Rammbärs pro Stunde	[h <sup>-1</sup> ]



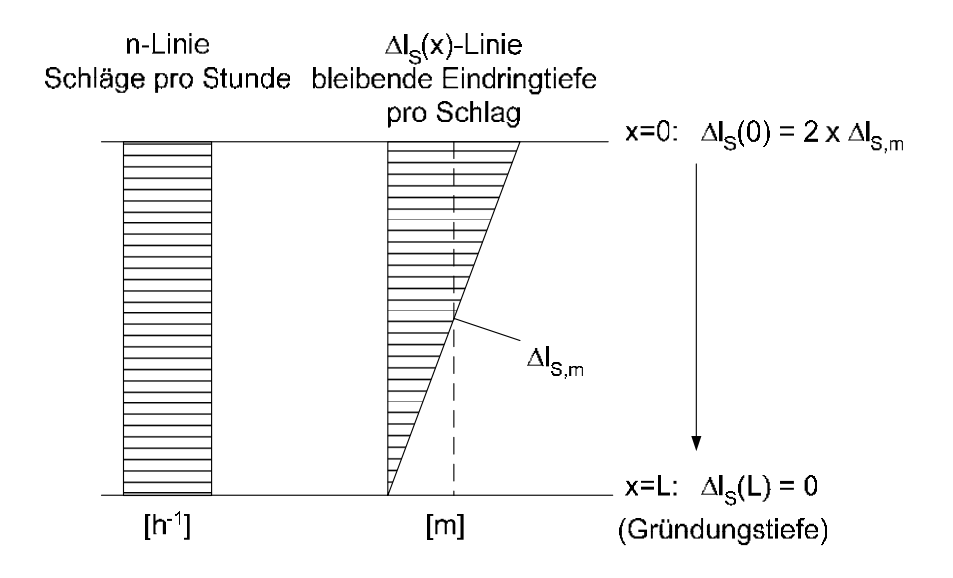


Bild 6-3: Schematische Darstellung der ideellen/statischen Eindringung des Pfahls

Bei Freifall-, Diesel- und Hydraulikbären kann die Ermittlung der **erforderlichen Energie zum Einrammen des Pfahls E**erf durch Iteration der obigen Gleichungen vorgenommen werden. In einem weiteren Schritt kann nun die mittlere bleibende Eindringtiefe  $\Delta I_{S,m}$  pro Rammschlag ermittelt werden. Daraus kann dann die Grundrammleistung  $Q_0$  berechnet werden.

Im Allgemeinen kann davon ausgegangen werden, dass Diesel- bzw. Hydraulikbären eine höhere Energie des Rammbärs  $E_{vorh}$  aufweisen als lediglich durch die Gleichung rechnerisch ermittelt. Dies ist bedingt durch die Ausnutzung der Explosionsenergie bzw. des besseren kraftschlüssigen Verbunds zwischen Rammkissen und Pfahl. Auch tragen die ständigen Bewegungen des Systems zur Verringerung der Eindringwiderstände (dynamische statt statische Reibung) bei schnellerer Schlagfrequenz, wie den Diesel- und Hydraulikrammen, und zu einer höheren erreichbaren bleibenden Eindringtiefe pro Rammschlag  $\Delta I_{S,m}$  bei.



# Bestimmung der mittleren Eindringtiefe $\Delta I_{s,m}$ [cm] und der Grundrammleistung $Q_0$ [m/h]

$$\begin{split} E_{vorh} &= E_{erf} & [kNm] \\ m_B \times g \times h = \\ &= \frac{A_S \times q_S + U \times x \times \tau_M}{\mu_{dyn}} \times \left( \Delta I_S(x) + \left( \frac{A_S \times q_S + U \times x \times \tau_M}{\mu_{dyn}} \times \frac{L}{2 \times E_P \times A_S} \right) \right)}{\frac{m_B + k^2 \times m_P}{m_B + m_P} \times 100} \\ \chi &= 100 \times m_B \times g \times h \times \eta_R \times \mu_{dyn} \\ \alpha &= A_S \times q_S \\ \beta &= U \times \tau_M \\ \gamma &= \frac{2 \times E_P \times A_S}{L} \times \mu_{dyn} \\ \Delta I_S(x) &= \frac{\left( \chi - \frac{\alpha^2}{\gamma} \right) - x \times \frac{\beta}{\gamma} \times (\beta \times x + 2 \times \alpha)}{x \times \beta + \alpha} \quad \text{mit } 0 \le x \le L \end{split}$$

$$\Delta I_S(m) = \frac{\Delta I_S(m)}{M_S(m)} \times \frac{\Delta I$$



$$\begin{aligned} & \text{F\"{u}r } \textbf{x} = 0 \text{: } I_{S}(0) = 2 \times \Delta I_{S,m} \\ & E_{vorh} = \\ & \frac{A_{S} \times q_{S} \times \left(2 \times \Delta I_{S,m} + \frac{q_{S} \times L}{2 \times \mu_{dyn} \times E_{P}}\right) \times (m_{B} + m_{P})}{\mu_{dyn} \times (m_{B} + k^{2} \times m_{P}) \times 100} \end{aligned} [kNm]$$

#### Daraus lässt sich $\Delta I_{s,m}$ ermitteln:

$$\begin{split} \Delta I_{S,m} &= \\ \frac{1}{2} \times \left( \frac{E_{vorh} \times \mu_{dyn} \times (m_B + k^2 \times m_P) \times 100}{(m_B + m_P) \times A_S \times q_S} - \frac{q_S \times L}{2 \times \mu_{dyn} \times E_P} \right) \end{split} \eqno(cm)$$

#### Grundrammleistung Q<sub>0</sub> [m/h]

Bei bekannter Schlagzahl  $n_{Gerät}$  [ $h^{-1}$ ] des Rammgeräts lässt sich die Grundrammleistung  $Q_0$  berechnen:

$$Q_0 = \frac{\Delta I_{S,m} \times n_{Gerät}}{100}$$
 [m/h]

#### Die mittlere Schlagzahl pro Pfahl n<sub>Pfahl</sub> [-]

$$n_{\text{Pfahl}} = \frac{L}{\Delta I_{\text{S,m}}}$$
 [-]

#### Rammzeit T<sub>R</sub> pro Pfahl [h]

$$T_{R} = \frac{n_{Pfahl}}{n_{Gerät}} = \frac{L}{100 \times Q_{0}}$$
 [h]



#### Zeitaufwand pro Pfahl T<sub>Pfahl</sub> [h]

$T_{Pfahl} = \sum_{i} (T_{R} + \frac{T_{R\ddot{u}st}}{60})_{i}$	[h]
	F1 2

$$T_{R\ddot{u}st} = T_{P,um} + T_{P,auf} + T_{P,aus} + T_{P,verl}$$
 [h]

· Kusi	- F,uiii · · F,aui · · F,aus · · F,veii	r1	
T <sub>Pfahl</sub>	Zeitaufwand pro Pfahl	[h]	
T <sub>Rüst</sub>	Rüstzeit	[min]	
$T_{P,um}$	Zeit für das Umsetzen des Geräts zum nächsten	[min]	
	Rammpfahl		
$T_{P,auf}$	Zeit für das Aufnehmen des angelieferten Pfahls	[min]	
$T_{P,aus}$	Ausrichten des Pfahls am Mäkler	[min]	
$T_{P,verl}$	Verlängern des Pfahls	[min]	

### Anzahl der Pfähle pro Tag n<sub>AT</sub> [AT<sup>-1</sup>]

$n_{AT} = \left(\frac{T_{AT}}{T_{Pfabl}}\right)$	[AT <sup>-1</sup> ]
--	---------------------

$n_{AT}$	Anzahl der gerammten Pfähle pro Arbeitstag,	[AT⁻
	ganzzahlig aufgerundet	1]
$T_{AT}$	Arbeitsstunden pro Arbeitstag	[h/Ā
		T1

#### Gesamtrammzeit T [AT]

T = n	/ n <sub>AT</sub>	[AT]
Т	Rammzeit für alle Pfähle	[AT]
n	Gesamtanzahl Rammpfähle	[-]

### Leistung über die Einsatzzeit $Q_{\text{ET}}$ [m/AT]

$Q_{ET} = n \times L_m / T = \sum_i L_i / T$		[m/AT]
n	Gesamtanzahl Rammpfähle	[-]
L <sub>m</sub>	Mittlere Pfahllänge	[m]
Li	Einzelpfahllänge	ľmĺ



Tabelle 6-1: Grundbruch-/Pfahlspitzenwiderstand  $q_8$  [kN/cm²] und Mantelreibung  $\tau_M$  [kN/m²] [59]

	Grundbruch-/ Pfahlspitzenwiderstand		Mantelreibung	
Bodenart	q <sub>S</sub> [kN/cm²]		$\tau_{\rm M}$ [kN/m <sup>2</sup> ]	
	Rechteck- profil	l – Träger- profil	Rechteck- profil	l – Träger- profil
Ton, weich	_	_	15	bis 25
Ton, steif	_	_	30	bis 45
Klei, sandig	_	_	_	bis 50
Mergel, halbfest	_	_	_	bis 55
Feinsand	0.70 – 1.20	0.30 - 0.50	50 – 70	40 – 80
Mittelsand	0.70 – 1.20	0.30 - 0.50	50 – 70	30 – 70
Grobsand	0.45 - 0.65	0.30 - 0.50	40 – 70	30 – 50
Kies	0.70 – 1.25	0.30 - 0.50	50 – 70	30 – 60

Tabelle 6-2: Widerstandsbeiwert  $\mu_{Dyn}$  [-] des Bodens [58]

Beschreibung des Bodens	Widerstandsbeiwert μ <sub>Dyn</sub> [-]
gut rammbar	≈ 1.0
mittelmässig rammbar	≈ 0.7
schwierig rammbar	≈ 0.5

Tabelle 6-3: Stossziffer k [-] nach [59]

Bär – Schlaghaube – Pfahlkopf	Stossziffer k [-]
Stahl – Stahl (ohne Schlaghaube)	≈ 0.6
Stahl – Holz – Stahl	≈ 0.5
Stahl – Holz (ohne Schlaghaube)	≈ 0.4
Stahl – Holz - Stahlbeton	≈ 0.3



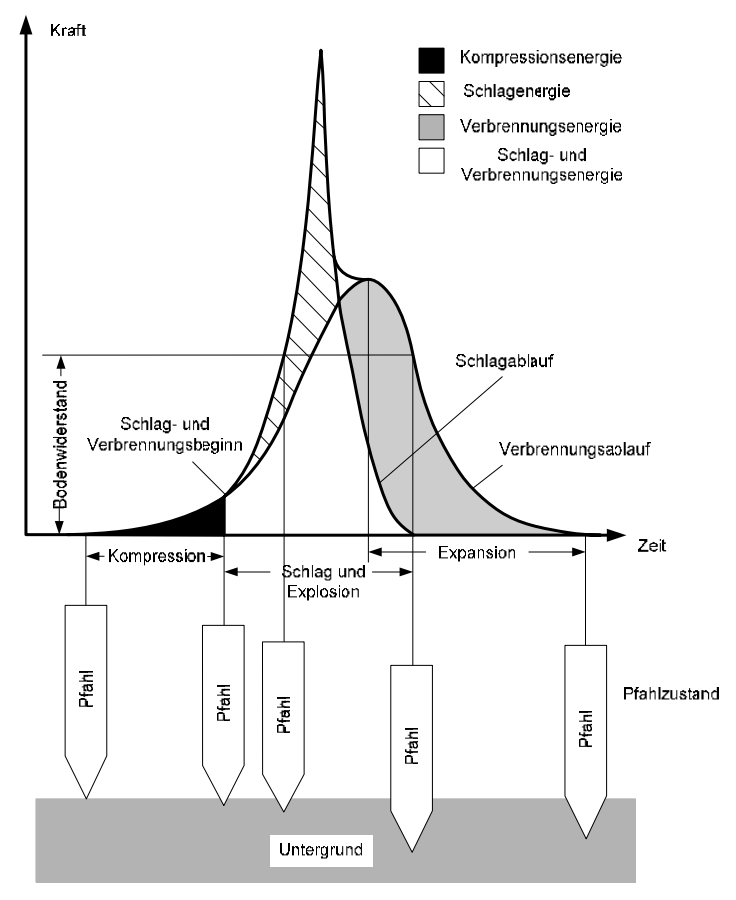


Bild 6-4: Kraft-Zeit-Diagramm für Dieselbären (Explosionsrammen) [61]

## Grundrammleistung für Spundbohlen $Q_0$ [m²/h]

$Q_0 = \frac{1}{2}$	$\frac{0 \times 1}{t}$	[m²/h]
$Q_0$	Grundrammleistung für Spundbohlen	[m <sup>2</sup> /h]
b	Breite der Spundbohle	[m]
1	Einbindetiefe der Spundbohle	[m]
t	Rammzeit pro Spundbohle	[h]



### Nutzrammleistung Q<sub>N</sub> [m²/h]

$\mathbf{Q}_{N} = \mathbf{Q}_{0} \times \mathbf{k}_{1} \times \mathbf{k}_{2} \times \mathbf{k}_{3} \times \mathbf{\eta}_{G}$	[m²/h]
k <sub>1</sub> = 1	[-]
$k_2 = f_5$	[-]
$k_3 = \eta_1 \times \eta_2$	[-]

$Q_N$	Nutzrammleistung	[m/h]
$Q_0$	Grundrammleistung	[m/h]
$\mathbf{k}_1$	nicht massgebend	[-]
$k_2$	Leistungseinflussfaktor	[-]
$k_3$	Betriebsbeiwert	[-]
$\eta_1$	Bedienungsfaktor	[-]
$\eta_2$	Betriebsbedingungen	[-]
f <sub>5</sub>	Verfügbarkeits-/Gerätezustandsfaktor	[-]
ng	Geräteausnutzungsgrad	Ĩ-Ĩ

Der Berechnungsablauf zur Ermittlung von

- Zeitaufwand pro Spundbohle
- Anzahl der gesetzten Spundbohlen pro Tag
- Gesamtrammzeit
- Leistung über die Einsatzzeit

kann vom vorigen Kapitel "Rammen von Rammpfählen" übernommen werden.



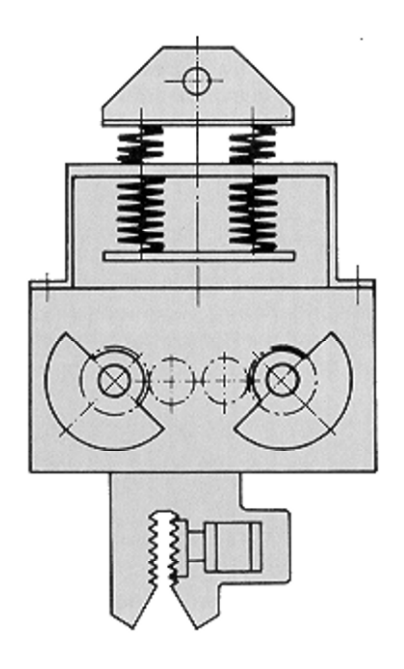
#### Vibrationsrammen

# Prinzip der wirkenden Fliehkräfte F [kN] einer Vibrationsramme mit mehreren Unwuchten

Kräfte einer Unwucht:	
$F_i = m_i \times \omega^2 \times r$	[kN]
mit	
$\omega = 2 \times \pi \times f$	[s <sup>-1</sup> ]
$f = \frac{1}{T}$	[Hz]
$a = \omega^2 \times r$	$[m/s^2]$
$F_{i,V} = m_i \times \omega^2 \times r \times \sin \varphi$	[kN]
$F_{i,H} = m_i \times \omega^2 \times r \times \cos \varphi$	[kN]

$F_{i}$	Fliehkraft einer Unwucht i	[kN]
$m_i$	Masse der Unwucht i	[t]
ω	Kreisfrequenz der Unwucht	[s <sup>-1</sup> ]
r	Abstand des Massenschwerpunktes der Unwucht i von der Auflagerung	[m]
f	Frequenz der Vibrationsramme/Unwucht	[Hz]
T	Umlaufzeit der Unwucht	[s]
а	radiale Beschleunigung	$[m/s^2]$
φ	Winkel der Unwuchtstellung	[°]
$\dot{F}_{i,V}$	vertikaler Anteil der Fliehkraft einer rotierenden Unwucht i	[kN]
$F_{i,H}$	horizontaler Anteil der Fliehkraft einer rotierenden Unwucht i	[kN]
i	Bezeichnung der Unwucht i	[-]





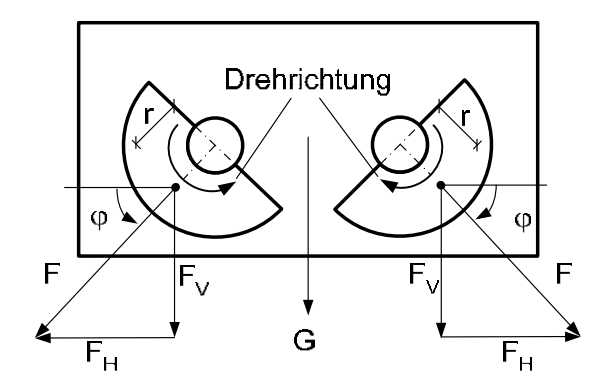


Bild 6-5: Vibrationsramme und wirkende Kräfte nach [62]



#### Dynamische Grössen der Vibrationsramme

Summe der Unwuchtkräfte:

$$F_{VZ} = \sum_{i=1}^{n} F_{i,V} = \sum_{i=1}^{n} m_i \times r_i \times \omega^2 \times \sin \phi = M_{stat} \times \omega^2 \times \sin \phi$$
 [kN]

$$M_{\text{stat}} = \sum_{i=1}^{n} m_i \times r_i$$
 [tm]

$$F_{HZ} = \sum_{i=1}^{n} F_{i,H} = 0$$
 [kN]

Gesamte vertikale Kraft des Rammbärs:

$$\begin{aligned} F_{V,tot} &= G + F_{VZ} = m_{B\ddot{a}r} \times g + \sum_{i=1}^{n} m_{i} \times r_{i} \times \omega^{2} \times \sin \phi \\ &= m_{B\ddot{a}r} \times g + M_{stat} \times \omega^{2} \times \sin \phi \end{aligned}$$
 [kN]

Dynamische Masse des Rammsystems:

$$m_{dyn} = m_{B\ddot{a}r} + m_{Rammgut} + m_{Boden}$$
 [t]

$$m_{Boden} = f(\phi'; c'; \gamma'; w)$$
 [t]

Effektive Beschleunigung der Rammmassen:

$$a_{\text{max}} = \omega^2 \times r = \omega^2 \times \frac{\sum_{i=1}^{n} m_i \times r_i}{m_{\text{dyn}}}$$
 [m/s<sup>2</sup>]

für  $r_i = r = const. gilt$ 

$$a_{\text{max}} = \omega^2 \times r \times \frac{\sum_{i=1}^{n} m_i}{m_{\text{dyn}}}$$
 [m/s<sup>2</sup>]

$F_{VZ}$	Summe der vertikalen Anteile der Fliehkräfte	[kN]
$F_{i,V}$	vertikaler Anteil der Fliehkraft einer rotierenden	[kN]
	Unwucht i	
$m_i$	Masse der Unwucht i	[t]
$\mathbf{r}_{i}$	Abstand des Massenschwerpunktes der Unwucht i	[m]
	vom Auflager	
ω	Kreisfrequenz der Vibrationsramme	[s <sup>-1</sup> ]



$\phi$ $M_{stat}$ $F_{HZ}$ $F_{i,H}$	Winkel der Unwuchtstellung statisches Moment der Vibrationsramme Summe der horizontalen Anteile der Fliehkräfte horizontaler Anteil der Fliehkraft einer rotierenden Unwucht i	[°] [tm] [kN] [kN]
$F_{V,tot}$	Summe aller vertikal wirkenden Kräfte	[kN]
G	Eigengewicht der Vibrationsramme	[kN]
$m_{Bar}$	Masse der Vibrationsramme	[t]
g	Erdbeschleunigung	$[m/s^2]$
$m_{\text{dyn}}$	dynamische Masse des Rammsystems	[t]
$m_{Rammgut}$	Masse des Rammgutes	[t]
$m_{Boden}$	Masse des mitschwingenden Bodens	[t]
φ'	Reibungswinkel des Bodens	[°]
C'	Kohäsion des Bodens	$[kN/m^2]$
γ'	Spezifisches Gewicht des Bodens	[kN/m <sup>3</sup> ]
w	Wassergehalt des Bodens	[%]
$a_{\text{max}}$	effektive Beschleunigung	[m/s <sup>2</sup> ]
i	Bezeichnung der Unwucht	[-]
n	Anzahl der Unwuchtmassen	[-]
	$n = \left\{ \left. n \right  n = 2 \times m; m \in N \right\}$	



#### Selektion der Vibrationsramme

Erforderliche vertikale Fliehkraft  $F_{VZ,erf}$  [kN] der Vibrationsramme aus Bsp: Zum

Rammen eines Rammgutes mit 4.5 t Gewicht ist bei einer Eindringtiefe von 30 m sowie dicht gelagerten Sanden und Kiesen eine vertikale Fliehkraft von ca. 2280 kN erforderlich.

Bild 6-6:

Erforderliche Mindesteigenfrequenz  $\omega_{\text{erf}}$  der Vibrationsramme aus Tabelle 6-4:

 $\omega_{\text{erf}} = f(Bodenart)$ 

Bestimmung der Vibrationsramme – Iterationsablauf i=1 bis k

Iterationsschritt i:

Gerätewahl i mit:  $M_{Stat,i}$  und  $\omega_i > \omega_{erf}$ 

Ermittlung der vorhandenen maximalen Unwuchtkräfte mit  $\varphi = 90 \Rightarrow \sin \varphi = 1$ :

$$\textbf{F}_{\textbf{VZ},i} = \textbf{M}_{\textbf{Stat},i} \times \omega_{i}^{2}$$

$$\omega_{\text{erf,i}} = \sqrt{\frac{F_{\text{VZ,erf}}}{M_{\text{stat,i}}}}$$

Bedingungen prüfen:

$$F_{\text{VZ,erf}} \leq F_{\text{VZ,i}} \wedge \omega_{i} > \omega_{\text{erf,i}}$$

falls: 
$$F_{VZ,i} < F_{VZ,erf} \wedge \omega_i > \omega_{erf,i}$$
 oder

$$F_{VZ,i} < F_{VZ,erf} \wedge \omega_i < \omega_{erf,i}$$
 oder

$$F_{VZ,i} > F_{VZ,erf} \wedge \omega_i < \omega_{erf,i}$$
 dann nächste Iteration i=i+1

Letzte Iteration i=k

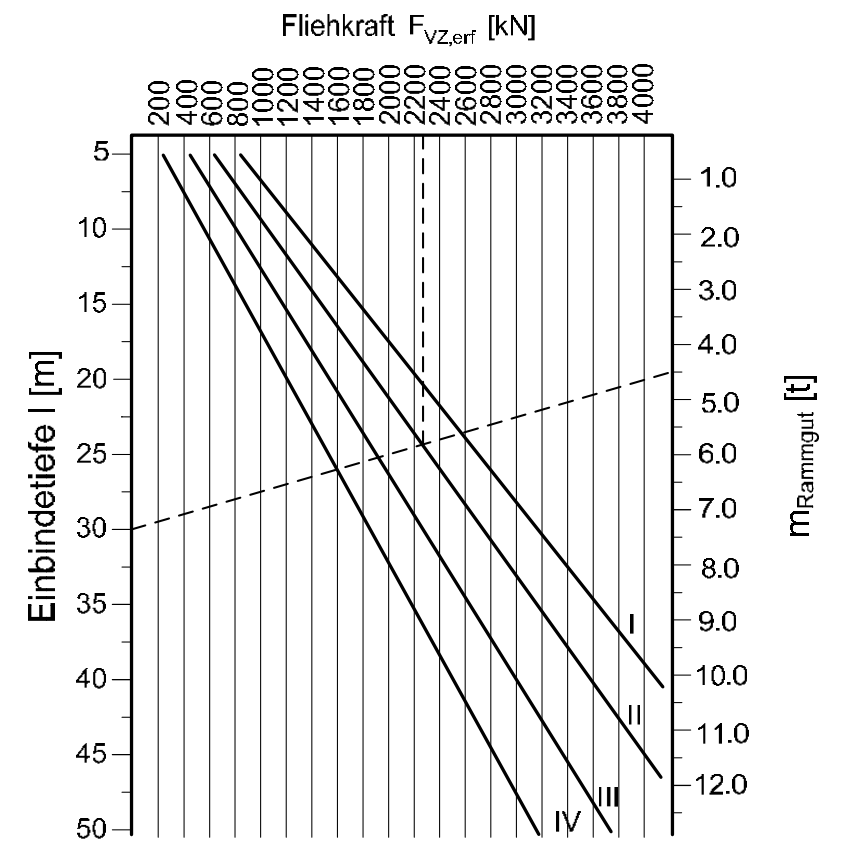
falls: 
$$F_{VZ,k} > F_{VZ,erf} \wedge \omega_i > \omega_{erf,i}$$



Erforderliche vertikale Fliehkraft der Vibrations- ramme, um das Rammgut in die spezifischen Bö-	[kN]
	1
	[min <sup>-1</sup> ]
,	
Iterationsschritt	[-]
Letzter Iterationsschritt	[-]
Statisches Moment der Vibrationsramme i	[tm]
Maximale Eigenfrequenz der Vibrationsramme i (Eigenfrequenzbereich)	[min <sup>-1</sup> ]
	ramme, um das Rammgut in die spezifischen Böden einzubringen (s. Bild 6-6) Eigenfrequenzbereiche der Böden bzw. erforderlicher Kreisfrequenzbereich der Vibrationsramme (s. Tabelle 6-4) Iterationsschritt Letzter Iterationsschritt Statisches Moment der Vibrationsramme i Maximale Eigenfrequenz der Vibrationsramme i

Für einen optimalen Rammvorgang sollte die Frequenz der Vibrationsramme im Bereich nahe der Eigenfrequenz des Bodens gewählt werden.





Kurve	Rammbarkeit	Sand- und Kies- lagerung	bindige und schluffige Böden
I	sehr schwer	sehr dicht	sehr hart
II	schwer	dicht	hart
III	mittelschwer	mittel	plastisch
IV	leicht	locker	weich

Bsp: Zum Rammen eines Rammgutes mit 4.5 t Gewicht ist bei einer Eindringtiefe von 30 m sowie dicht gelagerten Sanden und Kiesen eine vertikale Fliehkraft von ca. 2280 kN erforderlich.

Bild 6-6: Diagramm zur Bestimmung der erforderlichen vertikalen Fliehkraft  $F_{VZ,erf}$  [61]



Tabelle 6-4: Eigenfrequenzen ausgesuchter Bodenarten nach [59]

Bodenart	f [Hz]	ω [min <sup>-1</sup> ]
Moorboden	10 – 13	3800 – 4900
Mittelsand	15 – 18	5650 - 6800
Lehmiger Boden	21 – 23	7900 – 8700
Lehm feucht	19 – 20	7150 – 7550
Lehm trocken	20 – 22	7550 – 8300
Sand fest	26 – 28	9800 – 10550
Schluffsand	19 – 20	7200 – 7550
Löss trocken	23 – 24	8700 – 9050

Funktionsweise von Vibrationsrammen: Herkömmliche und Vibrationsrammen mit variabler, computergesteuerter Fliehkraft.

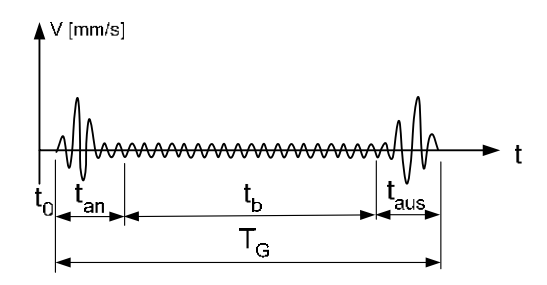


Bild 6-7: Herkömmliche Vibrationsrammen

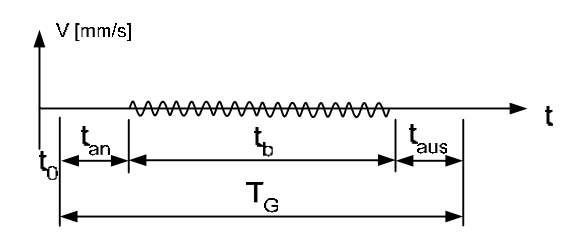


Bild 6-8: Vibrationsrammen mit variabler Fliehkraft



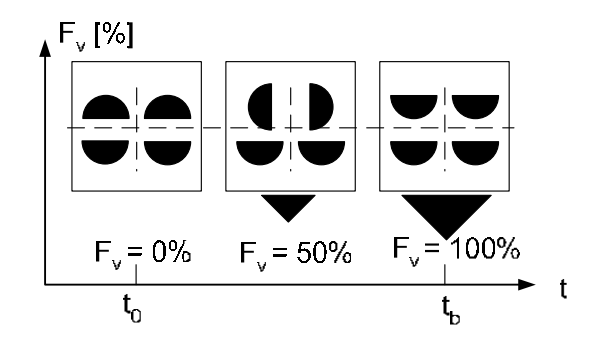


Bild 6-9: Variable vertikale Fliehkraft – Prinzip der Unwuchtstellung

Legende zu Bild 6-7, Bild 6-8 und Bild 6-9:

t<sub>an</sub> – Anlaufphase t<sub>aus</sub> – Auslaufphase

 $t_{\text{b}}$  – Betriebsphase;  $T_{\text{G}}$  – Gesamtbetriebszeit

## 7 Hochbau

Krane Betonanlagen Stahlbetonarbeiten

# Krane



### 7.1 Krane

## Theoretische Leistung $\mathbf{Q}_{T}$ [t/h] und Nutzleistung $\mathbf{Q}_{N}$ [t/h] von Kranen

$Q_{T} = \frac{\left(m_{\text{max}} - m_{0}\right) \times 3600}{t_{S}}$	[t/h]
$\mathbf{Q}_{N} = \mathbf{Q}_{T} \times \mathbf{k}_{1} \times \mathbf{k}_{2} \times \mathbf{k}_{3} \times \mathbf{\eta}_{G}$	[t/h]
$M \le m_{max} - m_0$	[t]
k <sub>1</sub> = 1	[-]
$\mathbf{k}_2 = \mathbf{f}_2 \times \mathbf{f}_5$	[-]
$k_3 = \eta_1 \times \eta_2$	[-]

$Q_T$	theoretische Leistung	[t/h]
$Q_N$	Nutzleistung/Dauerleistung	[t/h]
$m_{\text{max}}$	zulässige Hubmasse	[t]
$m_0$	Masse der Lasthalterung (Haken-, Betonkübelgewicht etc.)	[t]
M	geförderte Menge (maximal: m <sub>max</sub> - m <sub>0</sub> )	[t]
$t_S$	Grundspielzeit	[s]
$f_2$	Hebe- und Absetzgenauigkeit	[-]
$f_5$	Gerätezustandsfaktor	[-]
$\eta_1$	Bedienungsfaktor	[-]
$\eta_2$	Betriebsbedingungen	[-]
$\mathbf{k}_1$	Ladefaktor	[-]
$k_2$	Leistungseinflussfaktor	[-]
$k_3$	Betriebsbeiwert	[-]
$\eta_{G}$	Geräteausnutzungsgrad (0.5 – 0.85)	[-]

## Krane



Tabelle 7-1: Anhaltswerte zur Ermittlung der Grundspielzeit t<sub>S</sub> [s] nach [63]

Zeit	Einheit	Bewegung	Wert
$t_H$	[s/m]	Hub- bzw. Senkzeit des Hakens	1 – 20
$t_{\sf sch}$	$[s/\alpha^{\circ}]$	Schwenkzeit des Krans	0.1 - 0.2
$t_{K}$	[s/m]	Fahrzeit der Laufkatze	1 – 3
t <sub>A</sub>	[s]	Zeit für das Anhängen der Last bzw. Füllen des Betonkübels	30 – 180
t <sub>E</sub>	[s]	Zeit für das Entleeren des Kübels bzw. Abhängen von Lasten	30 – 180

Die Grundspielzeit  $t_{\rm S}$  [s] ergibt sich je nach Einsatzbedingungen aus sequentiellen und parallelen Vorgängen.

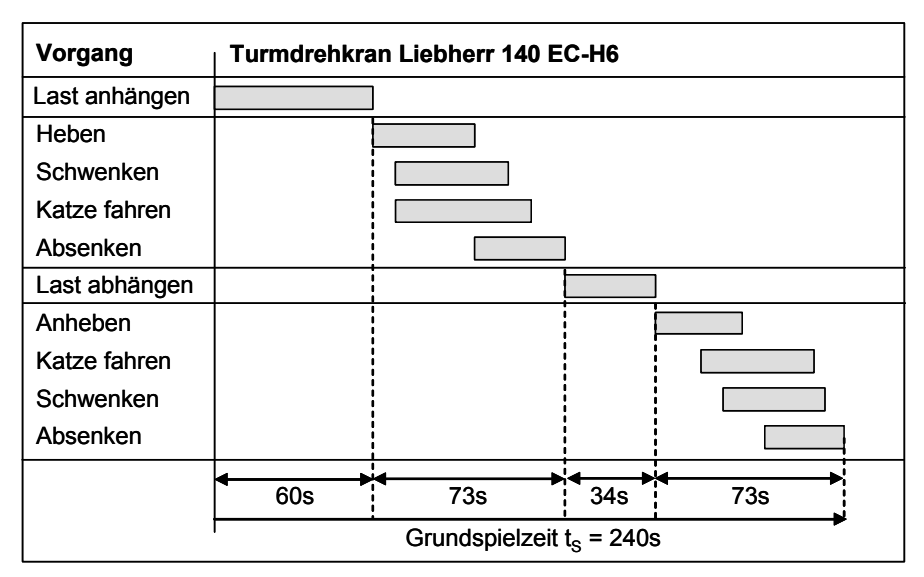


Bild 7-1: Beispiel für eine Grundspielzeit  $t_{\rm S}$  [s] des Turmdrehkrans 140 EC-H6 von Liebherr

# Krane



Tabelle 7-2: Richtwerte zur Abschätzung: Anzahl Arbeitskräfte/Kran [18], [63], [64]:

Bauwerkstyp	Beschäftigte pro Kran
Mauerwerksbau	15
Betonbau, Betonieren mittels Rohrförderung	20 – 30
Betonbau, Betonieren mit Kran	15 – 20
Fertigteilmontage	3 - 5

Richtwerte zur Abschätzung: Kranförderleistung im Hochbau – Baustoffbedarf/m³-Bruttogebäuderauminhalt [63]:

Tabelle 7-3: Richtwerte zur Abschätzung der Kranförderung im Hochbau [63], [64]:

Baustoffbedarf pro m <sup>3</sup> -Bruttogebäuderauminhalt	0.35 – 0.65 t
durchschnittliche Förderleistung	300 – 500 t/(Schicht u. Monat)

Tabelle 7-4: Kranaufwandswerte [63]

Vorgang	Aufwand
Konventionelle Deckenschalung	$0.02 - 0.09 \text{ h/m}^2$
Deckenschaltische	$0.02 - 0.03 \text{ h/m}^2$
Stützenschalung	$0.02 - 0.05 \text{ h/m}^2$
Grossflächige Wandschalung	$0.04 - 0.08 \text{ h/m}^2$
Bewehrung – Matten	0.30 - 0.60 h/t
Bewehrung – Stabstahl	0.20 - 0.35 h/t
Fertigteilplatten	0.15 - 0.20 h/St.
Fertigteilstützen	0.50 - 0.90 h/St.
Fundamente betonieren	0.05 – 0.09 h/m <sup>3</sup>
Wände betonieren	0.08 – 0.15 h/m <sup>3</sup>
Stützen betonieren	0.15 – 0.35 h/m <sup>3</sup>
Decken betonieren	0.06 – 0.12 h/m <sup>3</sup>
Mauerwerksbau	0.15 – 0.25 h/m <sup>3</sup>



## 7.2 Betonanlagen

### Betonmischer

$Q_N = V_N \times n \times k_2 \times k_3 \times \eta_G$	[fm³/h]
$Q_0 = V_N \times n$	[fm³/h]
$\tilde{Q}_0 = V_N \times n \times k_V$	[lm³/h]
$\widetilde{Q}_{N} = V_{N} \times n \times k_{V} \times k_{2} \times k_{3} \times \eta_{G}$	[lm³/h]
$V_{N,lose} = V_N \times k_V$	[lm³/h]
$k_V = \frac{1}{\delta_{Bet,i}}$	[-]
$(f_1, f_2, f_3, f_4) = 1$	[-]
$k_2 = f_5$	[-]
$\mathbf{k}_3 = \mathbf{\eta}_1 \times \mathbf{\eta}_2$	[-]

$V_N$	Nenninhalt des Mischers ≜ Volumen des mit einem Arbeitsspiel herstellbaren Frischbetons im verdichteten Zustand (Verdichtungsmass 1.45) [65]	[fm³]
$V_{N,lose}$	Volumetrischer Inhalt des Mischers in losem Zustand	[lm <sup>3</sup> ]
$egin{array}{l} Q_0 \ Q_N \ \widetilde{Q}_0 \end{array}$	Grundmischleistung verdichteter Beton Nutzmischleistung verdichteter Beton Grundmischleistung unverdichteter Beton	[fm³/h] [fm³/h] [lm³/h]
$\widetilde{Q}_{N}$	Nutzmischleistung unverdichteter Beton	[lm³/h]
n	Spiele pro Stunde	[h <sup>-1</sup> ]
$\delta_{\text{Bet},i}$	Verdichtungsfaktor (Tabelle 7-5)	[fm <sup>3</sup> /lm <sup>3</sup> ]
$f_5$	Gerätezustandsfaktor	[-]
$\eta_1$	Bedienungsfaktor	[-]
$\eta_2$	Betriebsbedingungen im Verladebereich auf den Transporter	[-]
$k_V$	Ladefaktor des Mischers	[-]
$k_2$	Leistungseinflussfaktor	[-]
$k_3$	Betriebsbeiwert	[-]
$\eta_{G}$	Geräteausnutzungsgrad	[-]



Anzahl der Arbeitsspiele pro Stunde n [h<sup>-1</sup>] [3]:

TrommelmischerZwangsmischer30

#### Tabelle 7-5: Verdichtungsfaktor $\delta_{\text{Bet},i}$ [-] [66]:

$\delta_{Bet,i}$	Bezeichnung	Ausbreitmass
$\delta_{\text{Bet,i}} \le 0.83$	steifer Beton	
$\delta_{\text{Bet,i}} = 0.83 - 0.93$	plastischer Beton	35 – 41 cm
$\delta_{\text{Bet,i}} = 0.93 - 0.98$	weicher Beton	42 – 48 cm
δ <sub>Bet,i</sub> ≈ 1	fliessfähiger Beton	49 – 60 cm

Geräteausnutzungsgrad η<sub>G</sub> [-]

 $\eta_G = 0.8 - 0.9$ 



## Betonpumpen

$P = \frac{\widetilde{Q}_{T} \times p}{36 \times \eta_{W}}$	[kW]
$\widetilde{\mathbf{Q}}_0 = \widetilde{\mathbf{Q}}_T \times \phi_k$	[m³/h]
$\widetilde{\mathbf{Q}}_{N} = \widetilde{\mathbf{Q}}_{T} \times \phi_{k} \times \mathbf{k}_2 \times \mathbf{k}_3 \times \eta_{G}$	[m³/h]
$\mathbf{Q}_{N} = \widetilde{\mathbf{Q}}_{T} \times \mathbf{k}_{1} \times \mathbf{k}_{2} \times \mathbf{k}_{3} \times \mathbf{\eta}_{G}$	[fm³/h]
$\mathbf{Q}_{N} = \widetilde{\mathbf{Q}}_{0} \times \delta_{\text{Bet},i} \times \mathbf{k}_{2} \times \mathbf{k}_{3} \times \mathbf{\eta}_{G}$	[fm³/h]
$k_1 = \delta_{Bet,i} \times \phi_k$	[-]
$\left(f_1;f_4\right)=1$	[-]
$k_2 = f_2 \times f_3 \times f_5$	[-]
$\mathbf{k}_3 = \mathbf{\eta}_1 \times \mathbf{\eta}_2$	[-]

P Õ <sub>T</sub>	Pumpenleistung (Motor) theoretische, volumetrische Förderleistung –	[kW] [m³/h]
•	unverdichteter Beton	
$\widetilde{Q}_{\scriptscriptstyle{0}}$	Grundförderleistung (unverdichteter Beton unter Berücksichtigung der Kolbenfüllung)	[m <sup>3</sup> /h]
$\widetilde{Q}_{N}$	Nutzförderleistung – unverdichteter Beton	[m <sup>3</sup> /h]
$Q_N$	Nutzförderleistung – verdichteter Beton	[fm <sup>3</sup> /h]
p	massgebender Betondruck an der Betonpumpe	[bar]
$\eta_{W}$	Wirkungsgrad der Pumpe (~ 0.7)	[-]
$\delta_{Bet,i}$	Verdichtungsfaktor des Betons (Tabelle 7-5)	[-]
$\phi_{\textbf{k}}$	Kolbenfüllungsgrad	[-]
$f_2$	Beschickung des Trichters	[-]
	$3/4$ bis voll: $f_2 = 1$	
	$1/2$ bis $3/4$ : $f_2 = 0.8$	
f <sub>3</sub>	Entleerungsgenauigkeit/Umsetzhäufigkeit des Betonverteilerschlauchs:	[-]
	Decke: $f_3 = 1$	
	kleine Stützen: $f_3 = 0.5 - 0.7$	
	Wände: $f_3 = 0.7 - 1.0$	
$f_5$	Gerätezustandsfaktor ≈1	[-]
$\eta_1 \\$	Bedienungsfaktor am Betonverteilerschlauch (Mensch)	[-]



$\eta_2$	Betriebsbedingungen am Betonverteilerschlauch	[-]
$k_1$	Beladungsfaktor der Pumpe	[-]
$k_2$	Leistungseinflussfaktor (Beschickung)	[-]
$k_3$	Betriebsbeiwert	[-]
$\eta_{G}$	Geräteausnutzungsgrad (z.B. durch effektiven Betrieb der Pumpe von nur 45 min/h: 0.75)	[-]
	men der Pumbe von hur 45 min/h († 75)	

#### Tabelle 7-6: Grenzwerte von Betonpumpen

Förderleistung von Betonpumpen	140	m³/h
Förderweite	1200	m
Förderhöhe	450	m



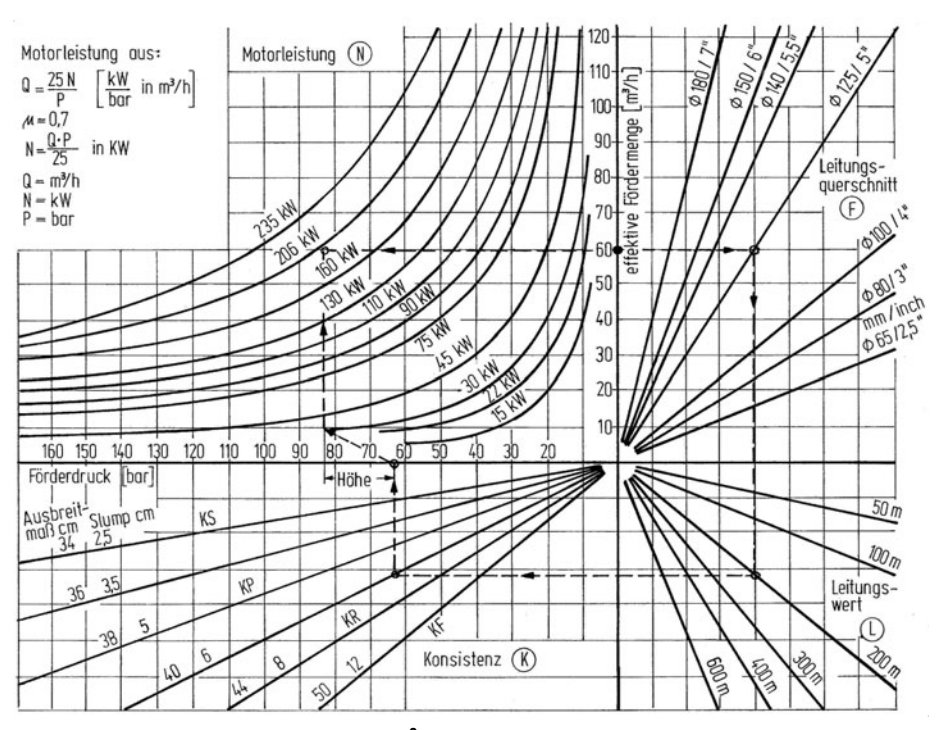


Bild 7-2: Grundförderleistung Q₀ [m³/h] [67]

## **Stahlbetonarbeiten**



#### 7.3 Stahlbetonarbeiten

Zur Berechnung der Leistung bei Stahlbetonarbeiten muss man die Aufwandswerte für die Arbeitsgänge Schalen, Bewehren und Betonieren systematisch ermitteln. Eine mögliche Einteilung der Arbeitsgänge in weitere Tätigkeiten ist in Bild 7-3 dargestellt. Die Aufwandswerte für die einzelnen Tätigkeiten können der Fachliteratur [68] entnommen werden bzw. sind bei den Kalkulationsabteilungen der Baufirmen intern vorhanden.

	Arbeitsgänge	Tätigkeiten
Stahlbetonarbeiten	Schalen	Vorbereitung Einschalen Ausschalen
	Bewehren	Nachbehandlung Vorfertigung
		Einbau
ا ۾	Datanianan	Mischen
Stał		Einbringen
	Betonieren	Verdichten
		Oberflächenbehandlung

Bild 7-3: Einteilung der Arbeitsgänge und Tätigkeiten von Stahlbetonarbeiten

# **Stahlbetonarbeiten**



Der reale Gesamtstundenaufwand wird auf Basis des theoretischen Gesamtstundenaufwands unter Berücksichtigung der Abminderungsfaktoren bestimmt.

#### Realer und theoretischer Gesamtstundenaufwand [h]

$T_{N,k} = $	$\frac{1}{k_2} \cdot \frac{1}{k_3} \cdot \frac{1}{\eta_G} \cdot T_{T,k}$	[h]
$T_{N,k}$	Realer Gesamtstundenaufwand des	[h]
	Arbeitsvorganges k	
$T_{T,k}$	Theoretischer Gesamtstundenaufwand des	[h]
	Arbeitsvorganges k	
$k_2$	Technische Abminderungsfaktoren	[-]
	z.B. Alter der Schalung	
$k_3$	Betriebsbeiwert mit	[-]
	$\eta_1$ = Bedienungsfaktor (Qualifikation der Arbeiter)	
	$\eta_2$ = Betriebsfaktor (AVOR, Wetter,	
	Platzverhältnisse)	
$\eta_{G}$	Geräteausnutzungsgrad (Konzentration, Nebenar-	[-]
•	beiten, Zigarettenpausen)	
k	Arbeitsvorgänge: k = S: Schalen	[-]
	k = A: Bewehrungseinbau	
	k = Bet: Betonarbeiten	

# **Stahlbetonarbeiten**



## Schalungstechnik

#### Theoretischer Gesamtstundenaufwand zum Schalen $T_{T,S,1}$ [h]

T <sub>T,S,1</sub> =	$\sum_{j} (\sum_{i} \mathbf{a}_{Si,j} \times \mathbf{A}_{j}) + \sum_{k} (\mathbf{a}_{Z,k} \times \mathbf{Z}_{k})$	[h]
$T_{T,S,1}$	Theoretischer Gesamtstundenaufwand des Ein- und Ausschalens	[h]
$a_{\text{Si},j}$	Aufwandswert für die einzelnen Tätigkeiten i, für Systemschalungen: i = e: Einschalen und Ölen i = a: Ausschalen und Reinigen	[h/m²]
$A_i$	Fläche des geschalten Bauteils	[m <sup>2</sup> ]
$\mathbf{a}_{Z,k}$	Zuschlag für Sonderarbeiten (Ecken, Aussparungen, Beischalarbeiten etc.)	[h/LE]
$Z_k$	Leistungseinheiten für die Sonderarbeit, z.B. LE = m², LE = Stück etc.	[LE]
j	unterschiedliche Schalbereiche, z.B. Unterzüge, Hauptdeckenflächen oder Wände und Stützen.	[-]
k	Sonderarbeiten	[-]

# Theoretischer Gesamtaufwand zur Schalungsvorbereitung und Demontage $T_{\text{T},S,2}$ [h]

T <sub>T,S,2</sub> =	$= \sum_{i} a_{v,i} \times A_{s}$	[h]
$T_{T,S,2} \\$	Theoretischer Gesamtaufwand zur Schalungsvorbereitung/Demontage	[h]
$a_{\text{V},i}$	Aufwandswert zur Montage bzw. Demontage der Schalung als Grosselemente, Deckentische etc.	[h/m <sup>2</sup> ]
i	i = M: Montage/Zusammenbau	[-]
$A_S$	i = D: Demontage Fläche der vorbereiteten bzw. demontierten Scha- lung	[m <sup>2</sup> ]



# Theoretischer Gesamtstundenaufwand für die Schalungsarbeiten $T_{T,S}$ [h]

$T_{T,S} = T_{T,S}$	$T_{T,S,1} + T_{T,S,2}$	[h]
$T_{T,S}$	Theoretischer Gesamtstundenaufwand für die Schalungsarbeiten	[h]
$T_{T,S,1}$	Theoretischer Gesamtaufwand des Einschalens und Ausschalens	[h]
$T_{T,S,2}$	Theoretischer Gesamtaufwand zur Schalungsvorbereitung/Demontage	[h]



### Bewehrungsseinbau

Theoretischer Gesamtstundenaufwand zum Einbau der Bewehrung auf der Baustelle für ein Bauteil oder Bauwerk  $T_{T,A}$  [h]

$T_{T,A} =$	$\sum_{i} T_{T,A,j}$	[h]	
Theoretischer Gesamtstundenaufwand für Bewehrungsarbeiten des Durchmessers j:			
$T_{T,A,j} =$	$= (a_{A,b} + a_{A,ab} + a_{A,v})_{j} \times m_{A,j} + a_{R} \times A_{S}$	[h]	
$T_{T,A,j} =$	$= (\sum_{i} a_{A,i})_{j} \times m_{A,j} + a_{R} \times A_{S}$	[h]	
$m_{A,j} =$	$\frac{\mathbf{l}_{j} \times \mathbf{g}_{A,j}}{1000}$	[t]	
$T_{T,A}$	Theoretischer Gesamtaufwand zum Einbau der Bewehrung für ein Bauteil oder Bauwerk	[h]	
$T_{T,A,j}$	Theoretischer Gesamtaufwand zum Einbau der Bewehrung Ø = j	[h]	
$a_{A,i}$	Aufwandswert für die Tätigkeiten beim Einbau der Bewehrung, Tätigkeit: i = b: Biegen i = ab: Abladen i = v: Verlegen	[h/t]	
$m_{\text{A},j}$	Masse der einzubauenden Bewehrung eines bestimmten Durchmessers $\emptyset$ = j	[t]	
$\mathbf{a}_{R}$	Aufwandswert für Reinigung der Schalung vor dem Betonieren	[h/m <sup>2</sup> ]	
$A_S$	Schalungsfläche	[m <sup>2</sup> ]	
l <sub>j</sub>	Gesamtlänge der Bewehrung des Durchmessers Ø = j	[m]	
$g_{A,j}$	Masse der Bewehrung eines	[kg/m]	
j	Durchmessers $\emptyset$ = j pro m Durchmesser $\emptyset$ der Bewehrung	[mm]	



# Theoretischer Gesamtstundenaufwand zum Einbau von Spanngliedern auf der Baustelle $T_{\mathsf{T},\mathsf{Sp}}$ [h]

$T_{T,Sp} = \sum_{i} T_{T,Sp,j}$	[h]
Theoretischer Gesamtstundenaufwand für den Spanngliede	reinbau
des Typs i:	

$T_{T,Sp,j} = \left(\sum_{i} a_{Sp,i}\right)_{j} \times I_{Sp,j} + \sum_{k} a_{Sp,k} \times n$	[h]
i i i i i i i i i i i i i i i i i i i	

	i k	
$T_{T,Sp}$	Theoretischer Gesamtstundenaufwand zum Einbau der Spannglieder in ein Bauteil oder Bauwerk	[h]
$T_{T,Sp,j}$	Gesamtaufwand zum Einbau der Spannglieder des Typs i	[h]
$\mathbf{a}_{Sp,i}$	Aufwandswert für den Einbau der Spannglieder, Tätigkeiten: i = h: Hüllrohr und Anker verlegen	[h/m]
	i = I : Litzen einschiessen	
$I_{Sp,j}$	Länge der Spannstähle des Typs j	[m]
$a_{Sp,k}$	Aufwandswert für Tätigkeiten:	[h/Stk]
- 17 /	k = v: Vorspannen	-
	k = p: Verpressen	
	k = a: Anker einbetonieren	
n	Anzahl der Spannglieder	[-]
j	Spannglied Typ	[-]



Für die Berechnung des Stundenaufwands für Bewehrungsarbeiten ist es notwendig, zuvor die Bewehrungsarbeiten systematisch und auf das Bauwerksteil bezogen zu untergliedern. In einem zweiten Schritt sind die Aufwandswerte aus gängigen Katalogen zu entnehmen oder Erfahrungswerte zu nutzen und in die Formel einzusetzen.

Richtung	Bauteil		Form	Grad der Vorfertigung
		- Platten	flächig	- Teppichbewehrung - konventionell
ntal	Fundamente	- Einzel	Korb	- Korb-/Balken- bewehrung - konventionell
horizontal	Decken		flächig	- Teppichbewehrung - konventionell
	Unterzüge		stab- förmig	<ul><li>vorgefertigt</li><li>konventionell</li></ul>
	Anschlussbewehrungen für Wände, Stützen etc.			- konventionell
=	Wände		flächig	- Matten, vorgefertigt - konventionell
vertikal	Stützen		stab- förmig	<ul><li>vorgefertigt</li><li>konventionell</li></ul>
>	Anschlussbew Decken, Wänd			- konventionell

Bild 7-4: Systematische Untergliederung von Armierungsarten



### Betonarbeiten

### Theoretischer Gesamtstundenaufwand für Betonarbeiten $T_{T,Bet}$ [h]

T <sub>T,Bet</sub> =	$= T_{T,R} + \sum_{j} (a_{Bet,j} \times V_{Bet,j} + \sum_{i} a_{Zu,i,j} \times A_{Bet,i,j})$	[h]
$T_{T,Bet}$	Theoretischer Gesamtstundenaufwand für Betonarbeiten	[h]
$T_{T,R}$	Theoretische Rüstzeit für die Betonierarbeiten (Verlegen der Pumpleitung/Kübel an Kran anhängen	[h]
$\mathbf{a}_{\text{Bet,j}}$	bzw. reinigen, Anschluss Rüttler etc.) Aufwandswert für den Einbau des Betons im Bauteil i	[h/m <sup>3</sup> ]
$V_{\text{Bet},i}$ $a_{\text{Zu},i,j}$	Gesamtbetonvolumen des Bauteils j Zusatzaufwand für Oberflächenbehandlung, Tätigkeiten: i = g : Abgleichen der Betonhöhe i = z : Abziehen der Oberfläche	[m³] [h/m²]
$A_{\text{Bet},i,j}$	i = r : Abreiben/Glätten der Oberfläche Oberfläche des nachzubearbeitenden Betons des Bauteils j	[m <sup>2</sup> ]



Die reale Dauer der einzelnen Arbeitsvorgänge D<sub>N,k</sub> [h] kann anhand der Gruppen- oder Kolonnenleistungen hergeleitet werden:

Dauer	der Arbeitsvorgänge:	
D <sub>N,k</sub> =	[h]	
$D_{N,k}$	Reale Dauer der Arbeitsgänge k	[h]
$T_{N,k}$	Realer Gesamtstundenaufwand für die	[h]
	Arbeitsvorgänge k	
$m_LE$	Menge der herzustellenden Leistungseinheiten	[LE]
$q_{N,Grup}$	Reale Gruppenleistung	[LE/h]
k	Arbeitsvorgänge: k = S: Schalen	[-]
	k = A: Bewehrungseinbau	
	k = Bet: Betonarbeiten	
n	Leistungsmitglieder der Gruppe	[-]
LE	Leistungseinheit, z.B. m²; m³; Stück	

#### Beispiele für Gruppengrössen:

- n = 4 5 Aufstellen der Grossflächenschalungen wie Wandelemente oder Deckentische
- n = 4 6 Verlegen von Bewehrung für Decken und Wände
- n = 4Betonieren von Wänden und Decken, Betonierpumpe 1 Person, Verteilen auf Decke/Wand ca. 3 Personen

### 8 Faktoren

Muldeninhalt Transportfahrzeuge  $V_{FSAE}$  [m³] Nenninhalt des Grabgefässes  $V_{SAE}$  [m³] Schüttdichte  $\rho_S$  [t/lm³] Lösefaktor  $\alpha$  [fm³/lm³] Füllfaktor  $\phi$  [-] Bedienungsfaktor  $\eta_1$  [-] Betriebsfaktor  $\eta_2$  [-] Abbau-/Grabtiefenfaktor f $_1$  [-] Schwenkwinkeleinfluss-/Fahrwegfaktor f $_2$  [-] Entleerungsgenauigkeitsfaktor f $_3$  [-] Schneiden-/Zahnzustandsfaktor f $_4$  [-] Verfügbarkeits-/Gerätezustandsfaktor f $_5$  [-] Geräteausnutzungsgrad  $\eta_G$  [-] Kurvenwiderstandsbeiwert  $w_r(w)$  [‰]

### **Faktoren**

### Überblick

Die nachfolgend aufgeführten Faktoren können analog für die Leistungsberechnung bei unterschiedlichen Gerätegruppen verwendet werden. Faktoren, die nur speziell für ein bestimmtes Gerät benötigt werden, sind bei der Leistungsberechnung vom jeweiligen Maschinenhersteller (z.B. [6], [7]) zu erfragen.

	[Einheit]
Muldeninhalt des Fahrzeugs gemäss SAE	[m³]
Nenninhalt des Grabgefässes gemäss SAE	[m³]
Schüttdichte	[t/lm³]
Lösefaktor	[fm³/lm³]
Füllfaktor	[-]
Bedienungsfaktor	[-]
Betriebsfaktor	[-]
Abbau-/Grabtiefenfaktor	[-]
Schwenkwinkeleinfluss-/Fahrwegfaktor	[-]
Entleerungsgenauigkeitsfaktor	[-]
Schneiden-/Zahnzustandsfaktor	[-]
Verfügbarkeits-/Gerätezustandsfaktor	[-]
Geräteausnutzungsgrad	[-]
Kurvenwiderstandsbeiwert	[‰]
Rollwiderstandsbeiwert	[‰]
	Nenninhalt des Grabgefässes gemäss SAE Schüttdichte Lösefaktor Füllfaktor Bedienungsfaktor Betriebsfaktor Abbau-/Grabtiefenfaktor Schwenkwinkeleinfluss-/Fahrwegfaktor Entleerungsgenauigkeitsfaktor Schneiden-/Zahnzustandsfaktor Verfügbarkeits-/Gerätezustandsfaktor Geräteausnutzungsgrad Kurvenwiderstandsbeiwert

# Muldeninhalt des Fahrzeugs [m³]

V<sub>FSAE</sub>

### LKW, SKW, Dumper

Bezüglich des Muldeninhalts eines Fahrzeugs  $V_{\text{FSAE}}$  sind nach SAE-Norm die gestrichene und die gehäufte Füllung zu unterscheiden. Transportfahrzeuge dürfen im öffentlichen Strassenverkehr mit Schüttgütern nicht über den gestrichenen Muldeninhalt  $V_{\text{FSAE},1}$  hinaus beladen werden. Dies gilt auch für das Überqueren einer öffentlichen Strasse mit Baufahrzeugen. Lose, trockene und staubige Bodenmaterialien müssen für den Transport angefeuchtet bzw. abgedeckt werden, um eine Aufwirbelung während der Fahrt zu vermeiden.

Fahrzeug im Strassenverkehr:

Muldeninhalt = V<sub>FSAE.1</sub> = gestrichene SAE-Füllung = Wassermass

Für SKW und Dumper, die nur im Baustellenverkehr eingesetzt werden, kann neben der gestrichenen Füllung nach SAE auch der gehäufte Muldeninhalt  $V_{\text{FSAE},2}$  angenommen werden [69]. Die gehäufte Füllung hat eine Böschungsneigung nach SAE-Norm von 1:2.

Fahrzeug im Baustellenverkehr:

Muldeninhalt =  $V_{FSAE.2}$  = gehäufte SAE-Füllung (1:2)

Der Muldeninhalt gemäss SAE-Norm ist in den Prospekten der Fahrzeughersteller angegeben bzw. kann nach Bild 8-1 berechnet werden.

# Muldeninhalt des Fahrzeugs [m³]



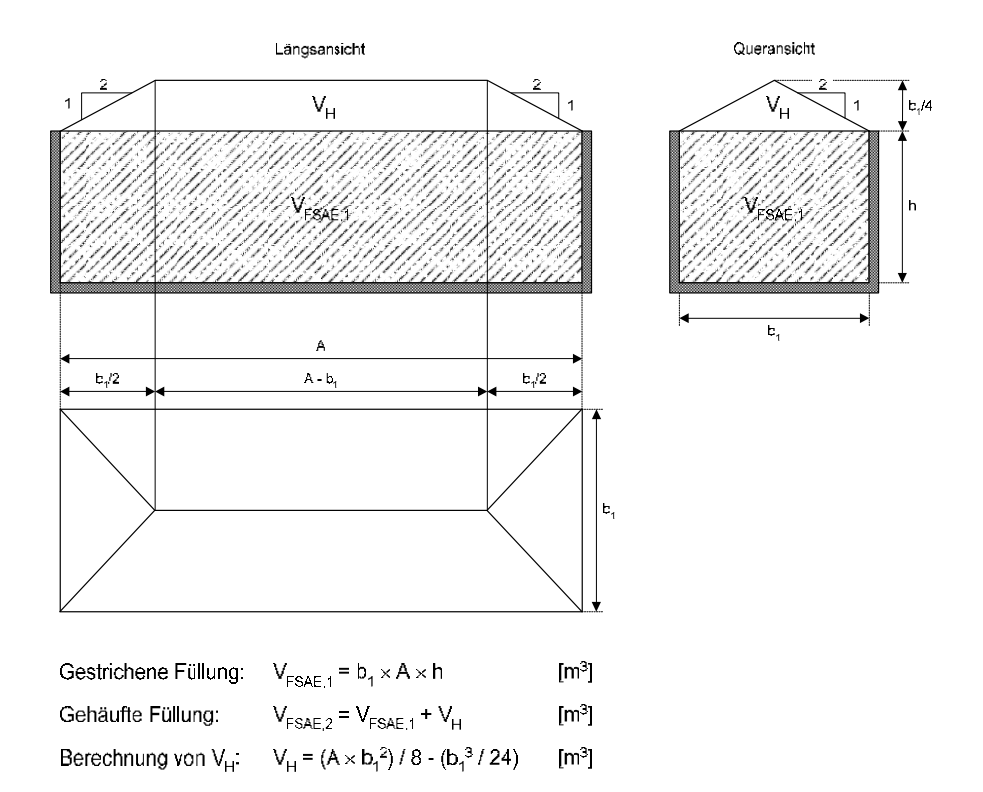


Bild 8-1: Muldeninhalt eines Fahrzeugs gemäss SAE-Norm [69]

### Nenninhalt Grabgefäss [m<sup>3</sup>]

 $\mathbf{V}_{\mathsf{SAE}}$ 

Der Nenninhalt  $V_{SAE}$  des Hochlöffels, des Tieflöffels und der Ladeschaufel ist definiert als deren gehäufte Füllung mit einer allseitigen Böschungsneigung nach SAE-Norm. Er wird vom Gerätehersteller angegeben oder kann mit Hilfe der nachfolgenden Gleichungen für Tieflöffel sowie Hochlöffel und Ladeschaufel errechnet werden [69], [70].

### Dimensionierung von Baggerlöffeln

Die Grösse von Grab- und Ladewerkzeugen und somit auch das maximale Fassungsvermögen  $V_{\text{SAE}}$  können mit nachstehender Überschlagsformel überschlägig aus der Motorleistung P (kW) des Baggers berechnet werden [8]:

$$V_{SAE} \le 0.015 \times P$$
 [m<sup>3</sup>]

In diese Formel geht die Lagerungsfestigkeit des Materials nicht ein. Die Formel ist nur anwendbar für locker gelagertes Material wie z.B. Sand. Fester gelagertes bzw. schwieriger zu lösendes Material wie z.B. fester Ton erfordert höhere Motorleistungen. Für eine entsprechende Ladeund Reissleistung muss das Gerät auch ein ausreichendes Gewicht aufweisen, um die Reaktionskräfte aufzunehmen.

## Nenninhalt Grabgefäss [m³]

 $\mathbf{V}_{\mathsf{SAE}}$ 

#### **Tieflöffel**

Der Nenninhalt (Kubikmeter Volumen) des Tieflöffels wird nach SAE-Norm berechnet, da die europäischen CECE-Richtlinien veraltet sind und keine Gültigkeit mehr haben [69], [70], [71].

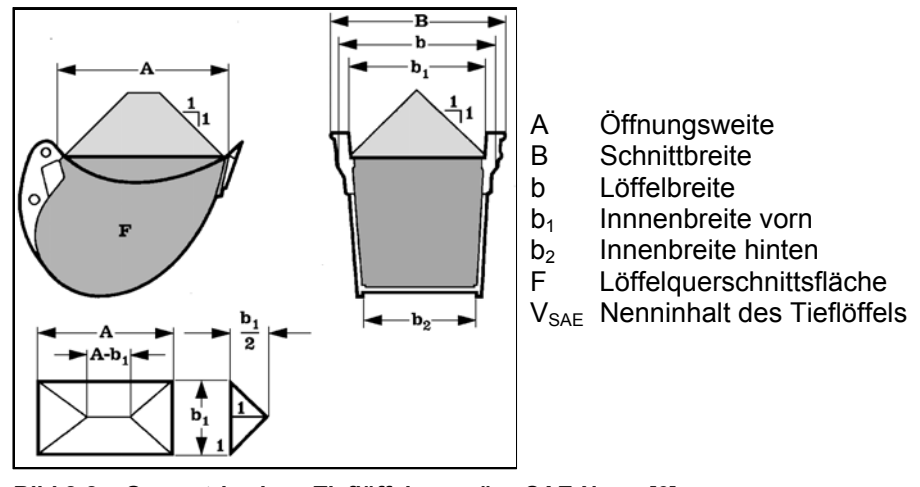


Bild 8-2: Geometrie eines Tieflöffels gemäss SAE-Norm [6]

$$V_{SAE} = F \times \frac{b_1 + b_2}{2} + \frac{A \times b_1^2}{4} - \frac{b_1^3}{12}$$
 [m<sup>3</sup>]

### Nenninhalt Grabgefäss [m<sup>3</sup>]



#### Hochlöffel und Ladeschaufel

Für die Berechnung des Nenninhalts (Kubikmeter Volumen) von Hochlöffel und Ladeschaufel ist die Neigung der Häufung bei den beiden Normen SAE und CECE identisch [69], [70], [71]:

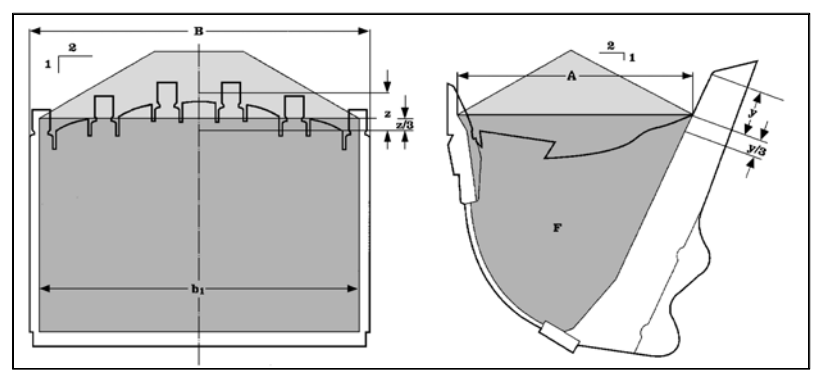


Bild 8-3: Geometrie einer Ladeschaufel [6]

A Öffnungsweite

B Schnittbreite

b₁ Innenbreite

F Löffelguerschnittsfläche

y Höhe des Überlaufblechs

z Vorsprung der Schneidelippe

V<sub>SAF</sub> Nenninhalt der Ladeschaufel

$$V_{SAE} = F \times b_1 + \frac{A \times b_1^2}{8} - \frac{b_1^3}{24}$$
 [m<sup>3</sup>]

### Schüttdichte [t/lm<sup>3</sup>]

 $\rho_{S}$ 

Die Schüttdichte  $\rho_S$  dient zur Berechnung des Transportvolumens bzw. Transportgewichts von Transportfahrzeugen. Sie gibt die Dichte von losem z.B. auf eine LKW-Mulde geschüttetem bzw. gelöstem Material an.

Die Schüttdichte  $\rho_S$  für verschiedene Bodenarten und Schüttgüter kann Tabelle 8-1 entnommen werden. Jedoch ist dabei zu beachten, dass Schwankungen auftreten infolge

- des Feuchtigkeits- bzw. Wassergehalts des Bodens,
- des Grads des Lösens aus der natürlichen Lagerung (z.B. bei bindigen Böden), abhängig von der Grösse des Grabgefässes,
- der Körnungslinie des Bodens, insbesondere bei bindigen Böden.

# Schüttdichte [t/lm³]

 $\rho_{\text{S}}$ 

Tabelle 8-1: Schüttdichte  $\rho_S$  und Lösefaktor  $\alpha$  für diverse Bodenarten nach [7]

Oberboden		Boden- und Fels- klasse nach DIN 18300		Boden	Rondichte p.* Mittelwert(धींग्री	Schüttdichte p.* Mittelwert [vllm?]	Schüttdichte p.* Bandbreite [t/lmf] 0.9		Lôsefaktor a Lôsefaktor a [fm³/lm³] Mittelwer Bandbreile 1.3 [fm³/lm³] 0.5
Fliessende Boden         ——	_	Oberboden	Mutterboden		1.37	0.95		0.69	
Erde         trocken, gelagert nocken, gelagert nocken, gelagert nocken, lose         1.90         1.51         1.60           Sand trocken, lose feucht nass nocken nass nocken nass nocken nass nocken trocken nass nocken nass by trocken nass by trocken bis sehr         2.02         1.72         1.69           Kies ungestekt nocken nass by trocken nass by trocken lose by trocken lose by trocken lose by trocken lose by trocken lose by trocken lose by trocken lose lose trocken nass by trocken lose lose by trocken lose lose by trocken lose lose by trocken lose lose by trocken lose by trocken lose lose by trocken lose lose by trocken lose lose by trocken lose lose by trocken lose lose by trocken lose lose by trocken lose lose by trocken lose lose by trocken lose lose by trocken lose lose by trocken lose lose by trocken lose lose by trocken lose lose by trocken lose lose by trocken lose lose lose lose lose lose lose lose	7	Fliessende Böden							
Leicht lösbare Böden         Sand trocken lose         160         1.42         1.69         1.69         1.69         1.69         1.69         1.69         1.69         1.69         1.69         1.69         1.72         1.69         1.72         1.69         1.72			Erde	trocken, gelagert nass, ausgehoben	1.90	1.51 1.60		0.75 0.80	1-1
Leicht lösbare Böden Sand und Kies trocken 1,93 1,72 1,93 1,72 1,93 1,72 1,93 1,72 1,93 1,72 1,93 1,72 1,93 1,72 1,93 1,72 1,93 1,72 1,93 1,72 1,93 1,72 1,93 1,72 1,93 1,72 1,93 1,72 1,93 1,72 1,93 1,72 1,93 1,94 1,94 1,94 1,94 1,94 1,94 1,94 1,94			Sand	trocken, lose feucht nass	1.60 1.90 2.08	1. <b>42</b> 1.69 1.84	#	0.89 0.89 0.88	
Kies ungesiebt 2.17 1.93   Figures	ന		Sand und Kies	trocken nass	1.93	1.72	+	0.89	-1-1
Erde   Lehn   190   1.69   1.69   1.69   1.69   1.69   1.69   1.69   1.69   1.69   1.69   1.69   1.69   1.69   1.60   1			Kies	ungesiebt	2.17	1.93	+	0.89	
Erde   Lehn   1:54   1:25				trocken 6-50 mm nass 6-50 mm	1.90	1.69	#	0.89	
Ton naturich gewachsen   2 02   1.66   1.48   1.48   1.48   1.48   1.48   1.48   1.48   1.54   1.55   1.5			Erde	Lehm	1.54	1.25	1	0.81	1
Mittelschwer bis sehr   Ton und Kies trocken   166   142   142   154			Ton	naturlich gewachsen trocken	2.02 1.84 2.08	1.66 1.48		0.82	-
Sand und Ton lose verdichtet         2 02           Zerfallenes         2.40           Zerfallenes         2.40           Gestein         25% Gestein, 75% Erde         1.96           Zerfallenes         Zerfallenes         1.96           Vergleichbare Fels und vergleichbare Bodenarten         75% Gestein, 25% Erde         2.79           Schiefer         gebrochen         1.66	ব ৹৹	Mittelschwer bis sehr schwer lösbare Böden	Ton und Kies	trocken	1.66	1.42		0.86	
Zerfallenes   Zerfallenes   Gestein   25% Gestein   75% Erde   1.96	ro.		Sand und Ton	lose verdichtet	2.02	1.60	-#	0.79	
Leicht lösbarer Fels und Gestein 50% Gestein, 50% Erde 2.28  vergleichbare Bodenarten Schiefer gebrochen 1.66			Zerfallenes Gestein	25% Gestein, 75% Erde	1.96	1.57		08'0	
Schiefer gebrochen 1.66	မ	Leicht lösbarer Fels und vergleichbare Bodenarten	Zerfallenes Gestein	50% Gestein, 50% Erde 75% Gestein, 25% Erde	2.28 2.79	1.72		0.75	##
			Schiefer	gebrochen	1.66	1.25		0.75	
			Sandstein	gebrochen / gesprengt	2.52	1.51		09:0	
gebrochen 2.73	~		Granit	gebrochen	2.73	1.66		0.61	
Basall gebrochen 2.97 1.96			Basall	gebrochen	2.97	1.96		0.66	

r Ändert sich entsprechend dem Feuchtigkeitsgehalt, der Komgrösse, dem Verdichtungsgrad usw. Die Materialeigenschaften lassen sich nur durch Tests genau bestimmen.

Da das natürliche Gefüge des anstehenden Bodens beim mechanischen Lösen, Brechen, Sprengen, Bewegen und Laden aufgerissen und aus seiner gewachsenen Lagerung gelockert wird, wächst das Material volumenmässig an. Die tatsächliche Füllung von Hoch- und Tieflöffel, Lade- und Klappschaufel besteht daher aus mehr oder weniger losem Material. Da die Nutzleistung Q<sub>N</sub> eines Erdbaugeräts jedoch immer in Relation zum fertigen Bauprodukt (Leistungsposition), z.B. zum Aufmass der ausgehobenen Baugruben oder Gräben bzw. des aufgeschütteten Damms, betrachtet wird, muss sie in Festkubikmeter pro Zeitstunde [fm<sup>3</sup>/h] angegeben werden. Den Zusammenhang zwischen den Volumen von gewachsenen und gelockerten Böden beschreibt der Lösefaktor  $\alpha$ . Er berechnet sich als Quotient aus der Schüttdichte os des gelockerten oder losen Bodens nach dem mechanischen Lösen und der Rohdichte ρ<sub>fest</sub> des gewachsenen Bodens in natürlicher Lagerung. In der Literatur wird der Lösefaktor auch als Auflockerung oder als Auflockerungsfaktor bezeichnet.

$$\alpha = \frac{\rho_{\text{S}}}{\rho_{\text{fest}}} \qquad \qquad \text{[fm}^{3}/\text{Im}^{3}\text{]}$$

Die Auflockerung von dicht bzw. kompakt gelagerten Böden ist grösser als die von locker gelagerten Böden. Aus diesem Grund besitzen kompakte Böden wie z.B. Fels nach dem Sprengen im Gegensatz zu den weniger dicht gelagerten kleinere Lösefaktoren. Die Bandbreite des Lösefaktors beläuft sich dabei von  $\alpha$  = 1.0 für bereits lose vorkommende Schüttgüter wie z.B. Splitt bis hinunter zu  $\alpha$  = 0.6 für aus seiner natürlichen Lagerung gesprengten Fels. Alle nicht wasserlöslichen, vollständig trockenen Schüttgüter, die zum Grossteil aus einer Korngrösse bestehen, lassen sich nicht wesentlich auflockern oder verdichten.

Der Lösefaktor eines bestimmten Bodens stellt allerdings keine konstante Grösse dar, sondern verändert sich je nach Feuchtigkeitsgehalt, Ausgangsverdichtung und Bedienungsqualifikation des Baggerfahrers, welche grossen Einfluss auf die Intensität der Gefügestörung beim Bodenabtrag besitzt. Der Einsatz grosser Grabgefässe und ein zügiges, gleichmässiges Abtragen führen zu einer niedrigeren Auflockerung und damit zu einem höheren Lösefaktor als die Verwendung kleinerer Grabgefässe oder der ruckartige Ansatz des Tieflöffels. Daher werden in Tabelle 8-1 die Werte auch in einer Bandbreite angegeben.

# Lösefaktor [fm³/lm³]

 $\alpha$ 

Wird der abgetragene Boden auf der Baustelle an anderer Stelle wieder eingebaut, so muss bei unterschiedlichen Lagerungsdichten für Abtragsund Einbaustelle (z.B. bei der Aufschüttung mit grob gesprengtem Fels) in der Kalkulation bzw. der Arbeitsvorbereitung Folgendes beachtet werden:

Soll das Mengenaufmass auf dem Bodeneinbau basieren, dann ist für die Leistungsberechnung neben dem Lösefaktor auch der geforderte Verdichtungsfaktor an der Einbaustelle massgebend.

Anhaltswerte für Verdichtungsfaktoren  $\delta_v$  können Tabelle 3-7 entnommen werden. Lösefaktoren  $\alpha$  für verschiedene Bodenarten/-klassen nach [7] befinden sich in Tabelle 8-1. Bei der Nutzleistungsermittlung für wiederverwendete Böden im Einbau gilt:

#### Abbau z.B. durch Hydraulikbagger:

$$Q_{\text{N,fest}} = \frac{V_{\text{SAE}}}{t_{\text{S}}} \times 3600 \times k_{1} \times k_{2} \times k_{3} \times \eta_{\text{G}}$$
 [fm<sup>3</sup>/h]

#### Transport:

$$Q_{\text{N,lose}} = Q_{\text{N,fest}} \times \frac{1}{\alpha}$$
 [Im<sup>3</sup>/h]

#### Einbau:

$$Q'_{N,\text{fest}} = Q_{N,\text{lose}} \times \delta_{v} = Q_{N,\text{fest}} \times \frac{\delta_{v}}{\alpha}$$
 [fm<sup>3</sup>/h]

Beim Einsatz von Verdichtungsgeräten für den Bodeneinbau kann in vielen Fällen ein höherer Verdichtungsgrad gegenüber dem gewachsenen Zustand erzielt werden, d.h.  $\frac{\delta_v}{\alpha}$  < 1 [6].

### Füllfaktor [-]

φ

Je nach Bodenstruktur und Feuchtigkeitsgehalt variiert aufgrund des sich ändernden inneren Reibungswinkels und/oder der Kohäsion der Neigungswinkel der über die Löffeloberkante hinausgehenden Aufhäufung und damit der effektive Inhalt des Grabgefässes. Da dieses Phänomen von der SAE-Norm abweicht, muss bei der Leistungsberechnung als Korrekturbeiwert der Füllfaktor  $\phi$  berücksichtigt werden. Der Füllfaktor  $\phi$  ist definiert als Quotient aus dem effektiven Inhalt und dem Nenninhalt des Grabgefässes gemäss SAE-Norm:

$$\varphi = \frac{\text{effektiver Inhalt}}{\text{Nenninhalt nach SAE - Norm}}$$
 [-]

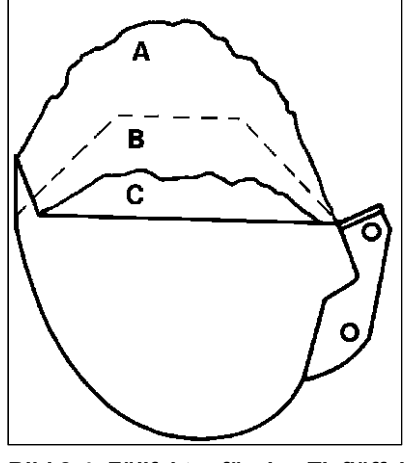


Bild 8-4: Füllfaktor für den Tieflöffel [7]

- A Füllfaktor φ = 1.2, effektiver Inhalt, z.B. bei feuchtem Ton
- **B** Füllfaktor φ = 1.0, Grabgefäss gefüllt nach SAE-Norm
- **C** Füllfaktor  $\varphi$  = 0.75, effektiver Inhalt, z.B. bei gesprengtem Fels

Bei bindigen Böden, z.B. feuchtem Ton, kann der Füllfaktor  $\phi$  deutlich über 1.0 betragen, wohingegen der effektive Inhalt des Grabgefässes bei geschichtetem oder gesprengtem Fels den SAE-Norminhalt deutlich unterschreitet (Bild 8-4).

Neben der Bodencharakteristik beeinflussen auch die Eigenschaften des Grabgeräts und des Grabgefässes den Füllfaktor  $\phi$ . Ein hohes Eindringvermögen, eine hohe wirksame Ausbrechkraft sowie neue Grabzähne und Löffelschneiden führen zu einer besseren effektiven Füllung und damit zu einem höheren Füllfaktor  $\phi$ . Bei neuen und daher langen Zähnen liegt das effektive Fassungsvermögen des Grabgefässes am

### Füllfaktor [-]

φ

stärksten über dessen Fassungsvermögen nach SAE-Norm. Mit zunehmendem Zahn- und Schneidenverschleiss sinkt das effektive Fassungsvermögen ab [8]. Diese technischen Einflussfaktoren werden gesondert durch die Faktoren f<sub>i</sub> berücksichtigt.

Die in den Tabellen angegebenen Füllfaktoren werden nur erreicht, wenn das Grabgefäss vor der Füllung leer gewesen ist. Deshalb ist besonders darauf zu achten, dass sich das Grab- und Ladegefäss bei jedem Arbeitsspiel auch vollständig entleert. In bindigen Böden oder in Sandböden mit stark bindigen Anteilen sowie bei der Arbeit mit schmalen Grabgefässen (z.B. Drainagelöffeln) ist die vollständige Entleerung nicht immer gewährleistet, da Bodenreste an den Grabgefässwänden haften bleiben und so das SAE-Nominalvolumen stetig verringern. Entleerungshilfen oder die regelmässige Reinigung des Grabgefässes durch Anschlagen des Löffels schaffen hier Abhilfe [8], allerdings verringert sich dann die Geräteausnutzung.

Tabelle 8-2: Werte für den Füllfaktor φ bei Tieflöffeln nach [6]

		Tieflöffel					
	Boden- und Fels- klasse nach DIN 18300	Boden	Füllfaktor φ [-] Mittelwert	0.6	Füllfaktor Bandbre	φ[-]	1.2
1	Oberboden	Mutterboden	1.20				+
2	Fliessende Böden						
3	Leicht lösbare Böden	Sand, Kies-Sand-Gemisch, erdfeucht Nassbaggerung Sand, Kies	1.05 0.80		-	+	
4	Mittelschwer lösbare Böden	Bindige Böden, Lehm, Ton sandiger Lehm, erdfeucht	1.05			-	
5	Schwer lösbare Böden	Harter Ton	0.90				
6	Leicht lösbarer Fels und vergleichbare Bodenarten	Fels, gut gesprengt Fels, grob gesprengt	0.90 0.80				
7	Schwer lösbarer Fels	Fels, schichtig gelagert, Direktabbau	0.75				

## Füllfaktor [-]

φ

Tabelle 8-3: Werte für den Füllfaktor  $\phi$  bei Hochlöffeln und Klappschaufeln nach [6]

		Hochlöffel / Klappschaufel						
	Boden- und Fels- klasse nach DIN 18300	Boden	Füllfaktor φ [-] Mittelwert	0.6		orφ[-] preite <sub>1.0</sub>		1.2
1	Oberboden	Mutterboden	1.05				-	
2	Fliessende Böden							
3	Leicht lösbare Böden	Lehmiger Sand, lehmiger Kiessand, erdfeucht	1.05				+	
4	Mittelschwer lösbare Böden	Bindige Böden, Lehm, Ton sandiger Lehm, erdfeucht	1.05				+	
5	Schwer lösbare Böden	Harter Ton	1.00					
6	Leicht lösbarer Fels und vergleichbare Bodenarten	Fels, gut gesprengt Fels, grob gesprengt	0.95 0.85					
7	Schwer lösbarer Fels	Fels, schichtig gelagert, Direktabbau	0.80					

Tabelle 8-4: Füllfaktor  $\phi$  [-] für LKW im Strassenverkehr mit  $V_{\text{FSAE},1}$  und LKW, Dumper und SKW im Baustellenverkehr mit  $V_{\text{FSAE},2}$ 

	Böden	Muldeninhalt	Füllfaktor φ
Strassenverkehr	Bindige Böden	V	1.00 – 1.10
LKW	Rollige Böden	$V_{FSAE,1}$	0.90 - 1.00
Baustellenverkehr LKW, Dumper, SKW	Bindige Böden	V <sub>FSAE,2</sub>	1.00 – 1.10

### Bedienungsfaktor [-]

 $\eta_1$ 

Bei der Ermittlung des SAE-Füllinhalts der Grab- und Ladegefässe sowie bei den angegebenen Füllfaktoren  $\phi$  wurde davon ausgegangen, dass die Arbeiten von bedienungstechnisch ausreichend qualifizierten Maschinenführern durchgeführt werden. Weicht die Qualifikation des Maschinenführers von der eines geübten Fahrers ab, so ist dies bei der Leistungsberechnung mit dem Bedienungsfaktor  $\eta_1$  zu berücksichtigen. Ungeübte Anfänger können die Nutzleistung gegenüber geübten Fahrern wesentlich unterschreiten. Die Skala der Qualifikationsunterschiede mit den Auswirkungen auf die Nutzleistung kann folgender Tabelle entnommen werden:

Tabelle 8-5: Bedienungsfaktoren η<sub>1</sub> [8]

Bedienungsfaktor	$\eta_1$
Vorführer	1.10
geübter Fahrer (sehr gut)	1.00
durchschnittlicher Fahrer	0.80
ungeübter Anfänger	0.65

Die Beurteilung eines Maschinenführers hinsichtlich seiner Qualifikation und bedienungstechnischen Erfahrung ist schwierig. Der Beurteilende sollte selbst über eine ausreichende Erfahrung und gute bedienungstechnische Kenntnisse und Fertigkeiten verfügen. Neben den Gerätebewegungen können so zusätzlich die Steuermanipulationen des Maschinenführers in die Bewertung einfliessen bzw. korrigiert und erlernt werden.

Werden Defizite bei Maschinenführern im Umgang mit Baumaschinen festgestellt, so sollten folgende alternative bzw. additive Massnahmen ergriffen werden:

- Externe Schulungen durch Maschinenhersteller, besonders bei neuen Geräten. Sie stellen sicher, dass die Geräte richtig benutzt und instandgehalten werden.
- Intern wechselnder Einsatz auf verschiedenen Erdbaustellen unter Anleitung eines erfahrenen Maschinenführers. Erst dadurch kann der Maschinenführer die Praxis und Routine erlangen, das Gerät unter den wechselnden Randbedingungen verschiedenster Baustellen optimal zu bedienen und die Leistung des Geräts voll auszuschöpfen.

Neben den bedienungstechnischen Qualifikationen des Geräteführers hat die Motivation in Abhängigkeit von Betriebsklima, Leistungsanerken-

## **Bedienungsfaktor** [-]

 $\eta_1$ 

nung, Prämien etc. einen ganz entscheidenden Einfluss auf seine Leistung. Diese eher arbeitspsychologischen Einflüsse werden in dem Bedienungsfaktor mitberücksichtigt, wie bereits im Kapitel 1.1 "Leistungsbegriffe" erläutert wurde.

Im Betriebsfaktor  $\eta_2$  werden die Bedingungen für den Einsatz der Geräte auf der Baustelle berücksichtigt.

Die Betriebsbedingungen werden beeinflusst durch:

- Optimale Abstimmung der Geräte in der Prozesskette
- Wetter und Sichtverhältnisse
- Zustand der Bewegungsoberfläche für die Lade- und Transportgeräte
- Platzverhältnisse für die optimalen Bewegungsabläufe der Geräte

#### Sehr gute Betriebsbedingungen zeichnen sich wie folgt aus:

gute Arbeitsvorbereitung gute Abstimmung der Geräte aufeinander keine besonderen örtlichen Erschwernisse keine Abhängigkeit vom Wetter gute Instandhaltung der Geräte durch den Bauhof

Tabelle 8-6: Betriebsfaktor η2

Betriebsbedingungen	$\eta_2$
sehr gut	1.00
gut	0.95
mittel	0.85
schlecht	0.70 - 0.80

Der Betriebsfaktor beinhaltet auch Unterbrechungen, die infolge von Organisationsmängeln oder bei der Zusammenarbeit mehrerer Maschinen entstehen können, z.B. durch ungenügende Abstimmung von Baugeräten in einer Prozesskette. Die Betriebsbedingungen werden durch örtliche Erschwernisse, wie z.B.

- schlechte Sichtverhältnisse
- Hindernisse in der Arbeitsumgebung, z.B. Grabenverbau,

beeinträchtigt. Zusätzlich kann das Wetter starken Einfluss auf die Betriebsbedingungen haben:

 Im Erdbau ist der Einfluss des Wetters auf den Wassergehalt und die Konsistenz des Bodens für die Durchführung der Arbeiten von besonderer Bedeutung. Der Wassergehalt und die Konsistenz der Böden werden z.B. durch Regen verändert. Dies betrifft vor allem bindige und

### **Betriebsfaktor** [-]

 $\eta_2$ 

tonige Böden. Pneu-Transportfahrzeuge können nicht befestigte Baustrassen so stark aufweichen und destabilisieren, dass sich schlechte Betriebsbedingungen einstellen. Bei stark bindigen und tonigen Böden sollte das Planum bei Einsetzen von Regen nicht mehr befahren werden, da sonst die natürliche Tragstruktur des Bodens zerstört wird. Das fertige Planum solcher Böden sollte immer mit Quergefälle versehen und abgewalzt/verdichtet werden. Dadurch kann Regen auf dem schnellstmöglichen Weg abgeleitet werden, ohne das Planum aufzuweichen

• Die Konsistenz des Bodens kann sich auch durch Frosteinwirkung verändern. Weiche bindige Böden erhalten eine temporäre Stabilisierung bzw. Verfestigung und sind dadurch ohne Zusatzmassnahmen befahrbar. Jedoch verschlechtert sich im Abbau die Lösbarkeit des Bodens für Grabgeräte, da der Boden durch die natürliche Froststabilisierung eine Verfestigung erfahren hat. Vorsicht ist beim Auftauen dieser Böden hinsichtlich der Befahrbarkeit und Destabilisierung geboten, da die Böden erst auf der Oberfläche auftauen und damit Wasser freisetzen, das nicht in den immer noch gefrorenen Boden abfliessen kann.

### Abbau-/Grabtiefenfaktor [-]

 $\mathsf{f}_{\scriptscriptstyle{1}}$ 

Für jedes Grabgefässvolumen existiert eine optimale Grabtiefe bzw. Abbauhöhe. Unter- oder überschreitet die vorhandene Abgrabungstiefe oder -höhe diesen optimalen Wert, so ist dies in der Leistungsberechnung durch den Abbau-/Grabtiefenfaktor f<sub>1</sub> leistungsmindernd zu berücksichtigen [5]. Die optimale Wand- und Grabtiefe hängt im Wesentlichen von der Sitz-/Sichtposition des Maschinenführers und der Grösse und Kinematik des Geräts, die durch den Löffelinhalt charakterisiert sind, ab.

Tabelle 8-7: Optimale Wandhöhen [72]

		Löffelinhalt [m³]						
Optimale Wandhöhe bei:		8.0	1.0	1.5	2.0	2.5	3.0	4.0
Rolligem Material Schüttfähigem Material	[m] [m]	1.9 2.4	2.0 2.6	2.4 3.2	2.6 3.5	2.8 3.8	3.0 4.2	3.5 4.9
Stark bindigem Material	[m]	2.8	3.0	3.8	4.1	4.5	5.0	6.2

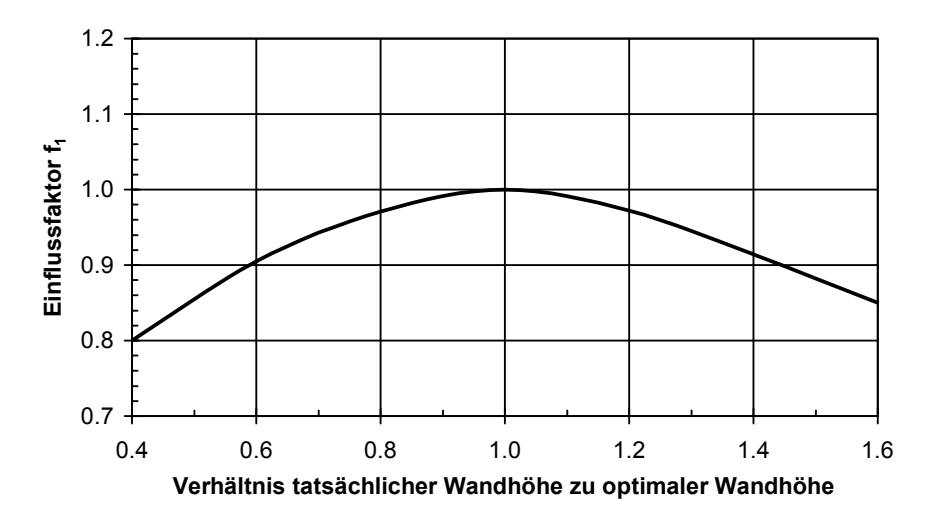


Bild 8-5: Verhältnis tatsächlicher Wandhöhe zu optimaler Wandhöhe [72]

### Abbau-/Grabtiefenfaktor [-]

 $\mathsf{f}_{\scriptscriptstyle{1}}$ 

Der optimale Abbau-/Grabtiefenfaktor f<sub>1</sub> verlangt ein weitgehend behinderungsfreies Arbeiten. Dann kann der Baggerfahrer bereits während des Rückschwenkens des Oberwagens ohne zusätzlichen Zeitaufwand den Baggerausleger auf das Niveau der Grabtiefe absenken. Befinden sich dagegen in unmittelbarer Nähe höhere Hindernisse, die zwingend zu überschwenken sind, so muss zumindest ein Teil des damit verbundenen vertikalen Zusatzwegs zur effektiven Grabtiefe addiert werden.

Auch die Komplexität und die Platzverhältnisse innerhalb des Grabenverbaus sowie die Wirkungen unterschiedlicher Sichtverhältnisse haben Einfluss auf die Nutzleistung [8]. Die Abweichungen von den optimalen Betriebsbedingungen finden Berücksichtigung im Betriebsfaktor  $\eta_2$ .

# Schwenkwinkeleinfluss-/ Fahrwegfaktor [-]

f,

Der Schwenkwinkeleinfluss-/Fahrwegfaktor  $f_2$  berücksichtigt die Abweichung vom 90°-Schwenkwinkel vom Füllen bis zum Entleeren des Grabund Ladegefässes bzw. die Abweichung des tatsächlichen Rangierwegs vom optimalen Rangierweg beim Einsatz von Rad- und Kettenladern. Er charakterisiert die optimale Position im Grundriss zwischen Lade- und Transportgerät.

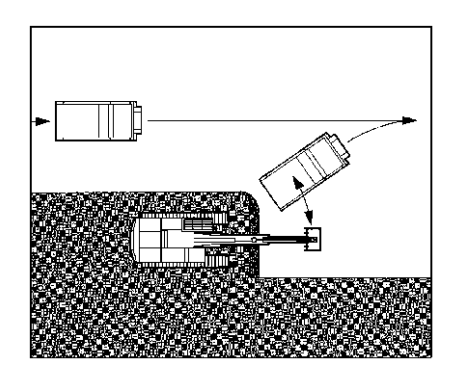


Bild 8-6: Optimale Schwenkbewegung beim Beladen des LKW [6]

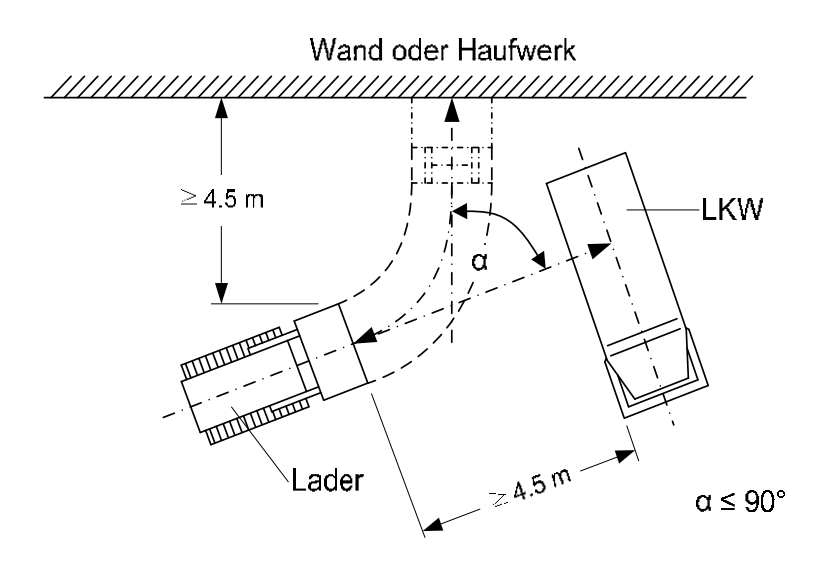


Bild 8-7: Optimaler Rad-/Raupenlader - LKW-Betrieb [5]

# Schwenkwinkeleinfluss-/ Fahrwegfaktor [-]

f

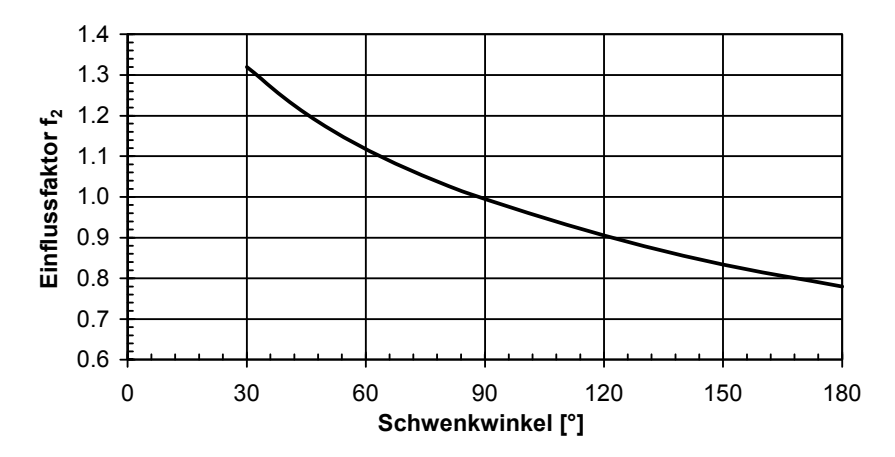


Bild 8-8: Einflussfaktor f<sub>2</sub> des Schwenkwinkels bzw. Fahrwegs [72]

Um eine grosse Nutzleistung zu erreichen, sollten Bagger stets mit einem möglichst kleinen Schwenkwinkel und Rad- und Kettenlader mit einem möglichst kleinen Rangierweg arbeiten. Optimal sind Schwenkwinkel zwischen 0° und 45°, die aber nicht auf jeder Baustelle realisierbar sind, bzw. Fahrwegwinkel ≤ 90°. Vorzugsweise sollte die Schwenkbewegung bei Baggern nach links erfolgen, da die Position der Fahrerkabine auf der linken Seite des Oberwagens es dem Baggerfahrer erlaubt, den gesamten Schwenkbereich im Voraus zu überblicken. Auf der rechten Seite des Oberwagens befinden sich der Ausleger sowie die Aufbauten, daher ist die Sicht über diese Seite stark eingeschränkt. Der Baggerfahrer kann deshalb nach rechts nur mit erhöhter Vorsicht und wesentlich langsamer schwenken. In der Arbeitsvorbereitung muss bei Erdarbeiten mit Bagger-LKW-Einsatz die Links-Schwenkseite berücksichtigt werden, um die optimale Leistung zu erzielen. Dies gilt auch für LKW-, SKW- und Dumperfahrer, denen die optimale Schwenkseite des Baggers bekannt sein muss, um die richtige Beladungsposition einnehmen zu können.

Bereits in der Arbeitsvorbereitung sind Baustrassen und Bauabläufe sowie die damit einhergehenden Maschinenpositionen festgelegt, welche die optimale Schwenkrichtung sowie den Schwenkwinkel bzw. Fahrweg und Fahrwinkel bestimmen und damit die erzielbare Nutzleistung maxi-

# Schwenkwinkeleinfluss-/ Fahrwegfaktor [-]

f<sub>2</sub>

mieren. Nachträgliche Änderungen an der Bauablaufplanung und der Baustelleneinrichtung sind in der Bauausführungsphase nur mit grossem Aufwand zu bewerkstelligen, da die hohe technologische Vernetzung der Prozesse untereinander häufig eine komplette und aufwendige Überarbeitung der Ablaufplanung erforderlich macht [8].

### Entleerungsgenauigkeitsfaktor [-]

 $f_3$ 

Der Entleerungsgenauigkeitsfaktor  $f_3$  berücksichtigt die Leistungsminderung, die durch das gezielte Entleeren des Grabgefässes z.B. in eine LKW-Mulde gegenüber dem ungezielten Entleeren auf eine räumlich nicht begrenzte Halde entsteht. Das ungezielte Entleeren wird als Bezugsgrösse mit dem Faktor  $f_3$  = 1.0 angesetzt.

Untersuchungen und Messungen in der Baustellenpraxis haben gezeigt, dass der Entleerungsgenauigkeitsfaktor f<sub>3</sub> für das zielgenaue Entleeren vom Volumenverhältnis von Transportgefäss und Grabgefäss abhängt.

Da das Lösen, Ausheben, Verladen und Transportieren von Bodenmaterial normalerweise durch eine Produktionskette aus Ladegerät und Transportfahrzeugen erfolgt, kommt der Faktor f<sub>3</sub> fast immer zur Anwendung. Je kleiner der Quotient aus geometrischem bzw. effektivem Fassungsvermögen von Fahrzeugmulde und Grabgefäss ist, desto exakter muss der Baggerfahrer arbeiten, um die ausgehobenen Bodenmassen auf der Mulde des Transportfahrzeugs ohne Verluste und lastausgeglichen zu verteilen. Die lastausgeglichene Beladung erfordert dann unter Umständen ein sehr sorgfältiges Verteilen des Materials über die gesamte Muldenfläche durch wiederholte Teilentleerungen.

Besondere Sorgfalt ist bei der Auswahl und Abstimmung der richtigen Grösse des Transportfahrzeugs auf das Ladegerät geboten. Wird das Volumen des Transportgefässes im Vergleich zum Grab- bzw. Ladegefässvolumen zu klein gewählt, führt dies zu häufigen Fahrzeugwechseln, die wiederum zu Stillstandzeiten beim Ladegerät als Leitgerät der Produktionskette führen können.

Für die Ermittlung des Entleerungsgenauigkeitsfaktors f<sub>3</sub> ist zunächst die Bestimmung des folgenden Volumenverhältnisses erforderlich:

$$Volumenverhältnis = \frac{Volumen des Transportgeräts}{Volumen der Löffelgrösse} = \frac{V_{FSAE}}{V_{SAE}}$$

## Entleerungsgenauigkeitsfaktor [-]

 $f_3$ 

Mit Hilfe von Bild 8-9 lässt sich nun der Entleerungsgenauigkeitsfaktor  $f_3$  in Abhängigkeit vom Volumenverhältnis ablesen:

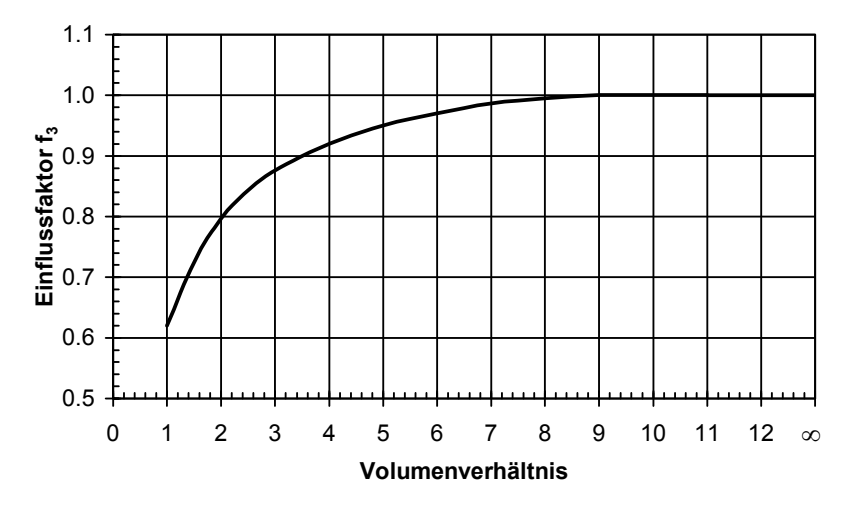


Bild 8-9: Entleerungsgenauigkeitsfaktor f<sub>3</sub> [72]

# Schneiden-/ Zahnzustandsfaktor [-]

f

Der Zustand der Löffelschneiden bzw. der Grabzähne beeinflusst die Leistungsfähigkeit von Löse- und Ladegeräten. Abgenutzte Bagger- bzw. Laderzähne können die Leistung eines Ladegeräts je nach Bodenart um bis zu 20 % senken. Im Allgemeinen können folgende Werte angenommen werden:

Tabelle 8-8: Schneiden-/Zahnzustandsfaktor f<sub>4</sub> [-] nach [8]

Schneiden-/Zahnzustandsfaktor	f <sub>4</sub> [-]
Neuzustand	1.00
mittlerer Verschleiss	0.90
hoher Verschleiss	0.80

## Verfügbarkeits-/ Gerätezustandsfaktor [-]

f<sub>5</sub>

Die Verfügbarkeit von Baumaschinen ist abhängig von der präventiven Wartung und Instandhaltung der Maschine. Mit wachsender Anzahl der Betriebsstunden und zunehmendem Alter von Baugeräten steigen die Instandsetzungserfordernisse. In den Wartungszeiten infolge Verschleisses oder den Reparaturzeiten aufgrund von Maschinendefekten stehen die Baumaschinen für den Baustelleneinsatz nicht zur Verfügung. Bei neuen Baumaschinen bzw. sehr kurzen Einsatzzeiten spielt der Instandhaltungszustand nur eine untergeordnete Rolle. Bei diesen Einsätzen kann die Leistungsberechnung ohne Minderung durch plötzliche Maschinenausfälle mit dem Faktor  $f_5$  = 1.0 vorgenommen werden. Bei allen anderen Leistungsberechnungen, vor allem bei Langzeiteinsätzen. kann entweder auf eigene Erfahrungswerte, z.B. aus der Maschinenkartei des eigenen Unternehmens, in der für jede Maschine jeweils Ursache und Umfang der Ausfallszeiten festgehalten sind, oder auf die Werte aus Tabelle 8-9 für den Gerätezustandsfaktor f<sub>5</sub> in Abhängigkeit von den bisher geleisteten Betriebsstunden zurückgegriffen werden:

Tabelle 8-9: Gerätezustandsfaktor f<sub>5</sub> [-] [8]

Gerätezustandsfaktor	f <sub>5</sub> [-]
<ul> <li>1000 Betriebsstunden</li> </ul>	1.00
1000 – 1500 Betriebsstunden	0.93
1500 – 2000 Betriebsstunden	0.85
2000 – 3500 Betriebsstunden	0.75
3500 – 5000 Betriebsstunden	0.65

Muss innerhalb einer Produktionskette eine bekanntermassen technisch sehr anfällige bzw. alte Maschine als Leitgerät eingesetzt werden und entsteht damit im Falle eines Ausfalls eine Gefährdung des planmässigen Baufortschritts, so sollte zur Kompensation immer eine "Springermaschine" als Ersatz zur Verfügung stehen oder bekannt sein, wo schnellstens ein Ersatzgerät gemietet werden kann. Besser ist in jeder Hinsicht der Einsatz von sorgfältig gewarteten und technisch zuverlässigen Baumaschinen. Aber auch hier sollte vor Arbeitsbeginn festgelegt sein, woher bei einem Maschinenausfall schnellstmöglich ein Ersatzgerät bezogen und die Reparartur durchgeführt werden kann [8]. Um ein Maximum der Maschinenausnutzung während der planmässigen Betriebsstunden zu gewähren, soll eine festgelegte Wartungs- und Reparaturzeit ausserhalb der Einsatzzeit unbedingt vorgesehen sein.

### Geräteausnutzungsgrad [-]

 $\eta_{\mathsf{G}}$ 

Der Geräteausnutzungsgrad wird durch technische Bedingungen sowie durch die physische und psychische Gesamtbelastung und die Belastungsfähigkeit des Geräteführers bestimmt. Daher kann man im Allgemeinen davon ausgehen, dass die Geräte nicht 60 Minuten pro Stunde im Einsatz sind. Beim Bagger ist es z.B. aufgrund technischer Bedingungen erforderlich, das Gerät nach Erreichen des maximalen/optimalen kinematischen Bewegungsbereichs seines Arms bzw. Arbeitsbereichs umzusetzen. Je komplizierter die Bedienvorgänge bzw. die Umweltbedingungen sind, umso konzentrierter muss der Geräteführer arbeiten. Arbeiten bei engen Grabenverhältnissen und naher Bebauung bzw. Verund kehrswegen erfordern höhere Konzentration vorsichtigere Bewegungungsabläufe als das Ausheben einer Baugrube im offenen Gelände. Diese technischen Bedingungen sowie die hauptsächlich psychische Belastung des Maschinenführers reduzieren die rechnerische Leistung durch z.B. Nebenarbeiten oder Kurzpausen. Auch das Umsetzen der Geräte im Arbeitsbereich während des Arbeitsfortschritts findet durch diesen Faktor (z.B. beim Grabenaushub) Berücksichtigung.

Folgende Reduktionsfaktoren werden bei Lade- und Aushubgeräten angesetzt:

Tabelle 8-10: Geräteausnutzungsgrad η<sub>G</sub> [-] [5]

Geräteausnutzungsgrad	η <sub>G</sub> [-]
offene Baugrube und Entleeren auf Fahrzeug	0.75 – 0.80
Grabenaushub und Entleeren auf Fahrzeug	0.60 - 0.75
Aushub im öffentlichen Verkehrsraum	0.50 - 0.65

Unter günstigen Bedingungen kann man mit einem Geräteausnutzungsgrad von 50 Minuten pro Stunde rechnen.

### Kurvenwiderstandsbeiwert [‰]

 $\mathbf{W}_{\mathbf{k}}$ 

Kurven-/Krümmungswiderstandsbeiwert [‰] für den einzelnen schienengebundenen Wagen [73] (massgebend hierfür ist die stärkste Krümmung der Förderstrecke!):

### 600 mm Schmalspur:

$$w_k = \frac{370 \times a - 167 \times a^2 + 75}{K} - 1.7$$
 [%]

### 900 mm Schmalspur:

$w_{1} = \frac{260 \times a - 30 \times a^{2} + 112.5}{-1.4}$	[‰]
K - K	[ /00 ]

$W_k$	Kurven-/Krümmungswiderstandsbeiwert	[‰]
а	Achsstand	[m]
K	Krümmungsradius	[m]

#### Tabelle 8-11: Richtwerte für w<sub>k</sub> [‰] [14]:

Kurvenwiderstandsbeiwert	<b>w</b> <sub>k</sub> [‰]
Normalspur	1 – 6
Schmalspur	3 – 10

# Rollwiderstandsbeiwert [‰] || w<sub>r(N</sub>



### Rollwiderstand der inneren Lager bei Schmalspurwagen [73]:

Formeln nach Engel für den einzelnen Wagen bei v ≅ 12 km/h

bei Gleitlager:

$$w_{r(W)} = \frac{16.3}{V_{FSAE} + 0.31} + 3.1 + 0.056 \times v^2$$
 [%]

bei Wälzlager:

$$W_{r(W)} = \frac{5.5}{V_{FSAE} - 0.1} + 1.85 + 0.058 \times v^2$$
 [%]

### Für den einzelnen Wagen beim Gleisbetrieb:

Tabelle 8-12: Rollwiderstandsbeiwerte der Räder für einzelne Wagen beim Gleisbetrieb [14]

Rollwiderstandsbeiwert		<b>w</b> <sub>r(W)</sub> [‰]	
Schmalspur	600 mm	8 – 10	
Schmalspur	900 mm	6 – 8	
Normalspur	1435 mm	5 – 6	

# Rollwiderstandsbeiwert [‰] w<sub>r(W)</sub>



#### Schwerkraftlastwagen:

Tabelle 8-13: Rollwiderstandsbeiwerte w<sub>r</sub> [‰] für Schwerkraftlastwagen [72]

		$w_r$ [%]
Beton, Asphalt		15
Erdstrassen		
	glatt, hart, trocken (Kies mit Lehm)	20
	trocken, nicht verdichtet, lockeres Material	30
	weicher, zerfurchter Boden, schlecht instandzusetzen	40
	feuchte, schlammige Oberfläche auf festem Grund	40
	weicher, zerfurchter Boden	60
	unverdichtete Kippe	80
	trockener Sand oder Kies	100
	tief zerfurchter, schlammiger Untergrund	160
Schnee		
	verdichtet	300
	10 cm locker	500



- [1] Girmscheid, G.: Bauhof- und Bauinventarmanagement als Schlüssel zur Ergebnis- und Liquiditätssteigerung. Hrsg.: Institut für Bauplanung und Baubetrieb, ETH Zürich, Zürich, 1999.
- [2] Girmscheid, G.: Baubetrieb und Bauverfahren im Tunnelbau. Ernst & Sohn Verlag, Berlin, 2000.
- [3] Schubert, E.: Baumaschinen, Bauverfahren, Baustelleneinrichtung. Vorlesungsskript, Textbuch II, Technische Universität Darmstadt, 1992.
- [4] N.N.: BGL-Baugeräteliste1991. Bauverlag, Wiesbaden, 1991.
- [5] Bauer, H.: Baubetrieb 1. Springer Verlag, Berlin, 1994.
- [6] Liebherr-International AG: Technisches Handbuch Erdbewegungen. Eigenverlag Liebherr-International AG, Bulle (CH), 2000.
- [7] Caterpillar Inc.: Caterpillar Performance Handbook. Eigenverlag Caterpillar, Peoria Illinois (USA), 1999.
- [8] Kotte, G.: Ermittlung der Nutzförderleistung von Hydraulikbaggern. In: TIS Tiefbau Ingenieurbau Strassenbau, Bertelsmann Fachzeitschriften, 9/1997, S. 18-28.
- [9] N.N.: Standard-Analysen SBV 1997 99 Untertagebau Band 1 und 2. SBV Schweizerischer Baumeisterverband, Zürich, 1997.
- [10] N.N.: Standard-Analysen SBV 1997 99 Hochbau Band 1 bis 5. SBV Schweizerischer Baumeisterverband, Zürich, 1997.
- [11] N.N.: Standard-Analysen SBV 1997 99 Tiefbau Band 1 bis 7. SBV Schweizerischer Baumeisterverband, Zürich, 1997.
- [12] N.N.: Standard-Analysen SBV 2000 Hochbau/Tiefbau Kombiband 1 bis 4. SBV Schweizerischer Baumeisterverband, Zürich, 2000.
- [13] Berner, F.: Verlustquellenforschung im Ingenieurbau: Entwicklung eines Diagnoseinstruments unter Berücksichtigung der Wirtschaftlichkeit und Genauigkeit von Zeitaufnahmen. Schriftenreihe des Instituts für Baubetriebslehre der Universität Stuttgart, Bd. 24, Bauverlag, Wiesbaden, 1983.
- [14] Kühn, G.: Die Mechanik des Baubetriebs Teil 1 Transportmechanik. Bauverlag, Wiesbaden, 1974.
- [15] N.N.: Richtlinie 92/57/EU des Rates 24. Juni 1992. Brüssel, 1992.
- [16] N.N.: Gesetze und Verordnungen über Arbeitsstätten und Unterkünfte in der BRD:
  - Gesetz über die Mindestaufwendungen an Unterkünfte für Arbeitnehmer vom 23.07.1973.
  - Ausführungsverordnung zum Gesetz über die Unterkunft bei Bauten vom 01.08.1968.
  - Arbeitsstättenverordnung / Arbeitsstätten-Richtlinien.
  - Richtlinien für die Unterkünfte ausländischer Arbeitnehmer in der Bundesrepublik Deutschland vom 01.04.1971.
- [17] Rosenheinrich, G.: Baustelleneinrichtungsplanung. Verlagsgesellschaft Rudolf Müller, Köln, 1981.
- [18] Böttcher, P.; Neuenhagen, H.: Baustelleneinrichtung. Bauverlag, Wiesbaden, 1997.



- [19] N.N.: Vorschriften für Elektroinstallationen auf Baustellen der BRD:
  - UVV Elektrische Anlagen und Betriebsmittel (VBG 4) 4.79.
  - ICE 439-4 Bestimmungen für Baustromverteiler für Nennspannungen bis 380V Wechselstrom und für Ströme bis 630A.
  - VDE 0100 Bestimmungen für das Errichten von Starkstromanlagen mit Nennspannungen bis 1000V.
- [20] Drees, G.; Reiff, K.-O.: Die Baustelleneinrichtung. Werner Verlag, Düsseldorf, 1971.
- [21] Jurecka, W.: Kosten und Leistungen von Baumaschinen. Springer Verlag, Berlin, 1975.
- [22] Ruppelt, E.: Druckluft-Handbuch. Vulkan Verlag, Essen, 1996.
- [23] Garbotz, G.: Baumaschinen und Baubetrieb Band II. Carl Hauser Verlag, München, 1958.
- [24] Rubarth, W. et.al.: Regeneration of Bentonite Mud in Special Civil Engineering Projects. Hrsg.: Schauenburg Maschinen- und Anlagen-Bau GmbH, Mülheim-Ruhr. o.J.
- [25] Bundesausschuss Leistungslohn Bau, Fachgruppe Erdbau: Handbuch BML, Daten für die Berechnung von Baumaschinenleistungen, Erdbaumaschinen. Zeittechnik-Verlag, Neu-Isenburg, 1983.
- [26] DIN Deutsches Institut für Normung e.V.: DIN 18300 VOB Verdingungsordnung für Bauleistungen – Teil C: Allgemeine Technische Vertragsbedingungen für Bauleistungen (ATV) – Erdarbeiten. Beuth Verlag, Berlin, 2000.
- [27] N.N.: ATM 4.132.2 Arbeitstechnische Merkblätter für den Baubetrieb. Hrsg.: Verband für Arbeitsstudien REFA, IfA-Verlag, Stuttgart, 1974.
- [28] Smoltczyk, U. (Hrsg.): Grundbautaschenbuch Teil 2. Ernst & Sohn Verlag, Berlin, 1996.
- [29] Türke, H.: Statik im Erdbau. Ernst Verlag für Architekten und bautechnische Wissenschaften, Berlin, 1984.
- [30] Gehbauer, F.: Stochastische Einflussgrössen für Transportsimulationen im Erdbau. Diss., Universität Karlsruhe, 1974.
- [31] Garbotz, G.: Die Leistungen von Baumaschinen. Verlagsgesellschaft Rudolf Müller, Köln, 1966.
- [32] DIN Deutsches Institut für Normung e.V.: DIN 5901 Breitfussschienen Masse, statische Werte und Stahlsorten. Beuth Verlag, Berlin, 1995.
- [33] N.N.: Fördergurte Berechnungen. Hrsg.: Continental Aktiengesellschaft, Hannover, 3. Aufl., 1990.
- [34] Zanke, U.: Zur Berechnung von Strömungs-Widerstandsbeiwerten. In: Wasser und Boden, Bonn, 1/1993, S. 14-16.
- [35] Weast, R.C.: CRC Handbook of chemistry and physics: A ready-reference book of chemical and physical data. CRC Press, Cleveland, 1976.
- [36] Richter, H.: Rohrhydraulik. Springer Verlag, Berlin, 1962.
- [37] Schneider, K.-J. (Hrsg.): Bautabellen für Ingenieure. Werner Verlag, Düsseldorf, 1994.
- [38] Press, H.; Schröder, R.: Hydromechanik im Wasserbau. Ernst & Sohn Verlag, Berlin, 1966.
- [39] Press, H.: Stauanlagen und Wasserkraftwerke III. Teil Wasserkraftwerke. Ernst & Sohn Verlag, Berlin, 1967.



- [40] Kaufmann, W.: Technische Hydro- und Aerodynamik. Springer Verlag, Berlin, 1963.
- [41] N.N.: Bentonit für Tunnelbau und unterirdische Bauverfahren Ein Handbuch für die Baupraxis. Hrsg.: IBECO, Mannheim, o.J.
- [42] N.N.: Hydraulische Grundlagen für den Entwurf von Kreiselpumpen-Anlagen. Hrsg.: Halberg Maschinenbau und Giesserei GmbH, Ludwigshafen, o.J.
- [43] Lindner, H.: Physik für Ingenieure. Fachbuchverlag, Leipzig, 2001.
- [44] Sauermann, H.D.: Hydraulische Transporte von groben Feststoffen in Kreisund Segmentrohren. Diss., Technische Universität Braunschweig, 1982.
- [45] Pürschel, W.: Bauingenieur-Praxis Heft 92 Fördern und Verteilen von Wasser. Ernst & Sohn Verlag, Kassel, 1965.
- [46] Thönnissen, J.: Kraft- und Arbeitsmaschinen Kreiselpumpen. Vorlesungsskript, FH Ulm, 2002.
- [47] DIN Deutsches Institut für Normung e.V.: DIN 15262 Stetigförderer, Schneckenförderer für Schüttgut, Berechnungsgrundsätze. Beuth Verlag, Berlin. 1983.
- [48] Lislerud, A.: Hard Rock Tunnel Boring: Prognosis and Costs Tunneling and Underground Space Technology. Elsevier Science Ltd., Oxford (UK), 3/1988, S. 9-17.
- [49] N.N.: Technische Unterlagen. Hrsg.: Voest Alpine, Zeltweg (A), o.J.
- [50] Thuro, K.: Geologisch geotechnische Grundlagen der Gebirgslösung in Fels. Lehrstuhl für allgemeine, angewandte und Ingenieur-Geologie, TU München, Expert Verlag, Esslingen, 1999.
- [51] N.N.: Technische Unterlagen. Hrsg.: Atlas Copco, Stockholm (SE), o.J.
- [52] Thuro, K.: Bohrbarkeit beim konventionellen Sprengvortrieb. Münchner geologische Hefte, Reihe B: Angewandte Geologie, München, 1996.
- [53] N.N.: Verordnung über explosionsgefährliche Sprengstoffe (Sprengstoffverordnung) vom 26. März 1980, 941.411. (CH), 1980.
- [54] N.N.: SUVA Form 1484.d Richtlinien für die Bemessung und den Betrieb der künstlichen Lüftung bei der Durchführung von Untertagarbeiten. Hrsg.: SUVA Schweizerische Unfallversicherungsanstalt, Luzern (CH), 1987.
- [55] N.N.: TBG-Heft Die Belüftung von Baustellen unter Tage.
- [56] N.N.: TBG-Heft Belüftungseinrichtungen im Tunnelbau Bemessung.
- [57] SIA Schweizerscher Ingenieur- und Architektenverein: SIA Norm 196 Baubelüftung von Untertagebauten. Eigenverlag SIA Schweizerischer Ingenieur- und Architektenverein, Zürich, 1983.
- [58] Esters, K.; Kalthoff, D.; Stewering, T.: Auffahren von Tunnel- und Hohlraumbauwerken in Lockergestein unter sensibler Bebauung. Taschenbuch für den Tunnelbau 1991, Verlag Glückauf, Essen, 1991.
- [59] Kühn, G.: Der maschinelle Tiefbau. Teubner Verlag, Stuttgart, 1992.
- [60] Gehbauer, F.: Baubetriebstechnik II, Teil B: Tiefbau. Schriftenreihe des Instituts für Maschinenwesen im Baubetrieb, Universität Karlsruhe, 1994.
- [61] N.N.: Technische Unterlagen. Hrsg.: Delmag, Esslingen, o.J.
- [62] N.N.: Technische Unterlagen. Hrsg.: Dr.-Ing. Ludwig Müller Söhne GmbH & Co KG, Marburg, 1989.
- [63] Drees, G.; Sommer, H.; Eckert, G.: Zweckmässiger Einsatz von Turmdrehkranen im Hochbau. In: BMT 12, 1980, S. 822-843.
- [64] Seeling, R.: Die Kranbemessung im Hochbau unter besonderer Berücksichtigung des Warteschlangenansatzes. In: BMT 3, 1981, S. 118-124.



- [65] DIN Deutsches Institut f
  ür Normung e.V.: DIN 459 Betonmischer, Begriffe, Leistungsermittlung, Gr
  össen. Beuth Verlag, Berlin, 1993.
- [66] DIN Deutsches Institut für Normung e.V.: DIN 1045 Beton und Stahlbeton Bemessung und Ausführung. Beuth Verlag, Berlin, 2001.
- [67] N.N.: Technische Unterlagen. Hrsg.: Fa. Putzmeister, Aichtal, o.J.
- [68] N.N.: Arbeitszeit-Richtwerte-Tabelle Hochbau. Hrsg.: Zentralverband des Deutschen Baugewerbes, Zeittechnik-Verlag, Neu-Isenburg, 2002.
- [69] Society of Automotive Engineers, Inc. SAE Standards:
  - SAE J 67: Shovel Dipper, Claim Bucket and Dragline Bucket Rating (1984).
  - SAE J 296: Excavator Hoe Bucket Rating (1984).
  - SAE J 742: Capacity Rating Loader Bucket (1985).
  - SAE J 1265: Capacity Rating Dozer (1988).
  - SAE J 1363: Capacity Rating Dumper Body and Trailer Body (1985). In: SAE Handbook 1990, Vol. 4: On-Highway Vehicles and Off-Highway

Machinery, Customer Service SAE, Warrendale, PA, USA.

- [70] Committee for European Construction Equipment CECE: Europäische Richtlinien:
  - Teil VI-1, für Hydraulikbagger und ihre Einrichtungen (1973).
  - Teil VI-2, für voll drehende Seilbagger und ihre Einrichtungen (1973).
  - Teil VII, für Dumper (Autoschütter und Muldenkipper) und ihre Anbaugeräte (1969).
  - Teil VIII, für Radlader und ihre Anbaugeräte (1972).

Fachgemeinschaft Bau- und Baustoffmaschinen im Verband Deutscher Maschinenbauanstalten VDMA e.V., Frankfurt/Main.

- [71] DIN Deutsches Institut für Normung e.V.:
  - DIN 5485: Benennungsgrundsätze für physikalische Grössen Wortzusammensetzungen mit Eigenschafts- und Grundwörtern (1986).
  - DIN ISO 6483: Erdbaumaschinen Muldenfahrzeuge Nenninhalt (1988).
  - DIN ISO 6484: Erdbaumaschinen Elevator-Scraper Nenninhalt (1986).
  - DIN ISO 6485: Erdbaumaschinen Scraper Nenninhalt (1980).
  - DIN ISO 7451: Erdbaumaschinen Hydraulikbagger Nenninhalt von Tieflöffeln (1997).
  - DIN ISO 7546: Érdbaumaschinen Lader und Bagger Nenninhalt von Ladeschaufeln (1985).
  - DIN ISO 9245: Erdbaumaschinen Leistung der Maschinen Begriffe, Formelzeichen und Einheiten (1995).
  - DIN ISO 9246: Erdbaumaschinen Schlepper auf Raupenketten oder R\u00e4dern – Plamierschild – Nenninhalt (1988).
  - Beuth Verlag, Berlin.
- [72] Kühn, G.: Der maschinelle Erdbau. Teubner Verlag, Stuttgart, 1984.
- [73] Engel, J.: Der Fahrwiderstand des Rollmaterials im Baubetrieb. Diss., TU Berlin, 1931.
- [74] Schexnayder, C. J.; Ledbetter, W. B.; Peurifoy, R. L.: Construction Planning, Equipment and Methods. McGraw-Hill Companies, New York (USA), 1996.
- [75] Halpin, D. W.; Riggs, L. S.: Planning and Analysis of Construction Operations. J. Wiley & Sons, New York (USA), 1992.
- [76] Drees, G.; Spranz, D.: Handbuch der Arbeitsvorbereitung in Bauunternehmen. Bauverlag, Wiesbaden, 1976.



Bild 1-1:	Zeitbegriffe für Baugeräteeinsatz und -bewertung	4
Bild 1-2:	Darstellung der Schutterleistung in Abschlagszyklen	
Bild 1-3:	Leistungsverlauf	
Bild 2-1:	Schematische Darstellung der Leistung von Motoren	30
Bild 2-2:	Schematische Darstellung der Gesamtleistung	31
Bild 2-3:	Elektroinstallationsschema einer Baustelle	
Bild 2-4:	Druckverlauf eines Druckluftsystems	
Bild 2-5:	Gleichzeitigkeitsfaktor f <sub>3</sub> [-] für Kompressoren	45
Bild 2-6:	Bemessungsdiagramm für Druckleitungen	47
Bild 2-7:	Darstellung einer Sieblinie j zur Erklärung der verwendeten Begriffe	49
Bild 2-8:	Beispiel einer Tunnelröhre in verschiedenen Böden	50
Bild 2-9:	Sieblinien der anfallenden Böden mit Bestimmung der Gewichtsprozente	51
Bild 2-10:	Schematische Darstellung einer vierstufigen Separationsanlage	53
Bild 3-1:	Spielzeit t <sub>S</sub> eines Hydraulikbaggers Liebherr R 942 Litronic mit Tieflöffel unter optimalen technischen Bedingungen	57
Bild 3-2:	Optimaler Einsatz Bagger – LKW	57 58
Bild 3-3:	Ideale Tieflöffeleinsätze	
Bild 3-4:	Spielzeit ts [s] von Baggern mit Tieflöffel in verschiedenen Bodenarten in Anlehnung an die DIN 18300	
Bild 3-5:	Spielzeit t <sub>S</sub> [s] von Baggern mit Hochlöffel/Klappschaufel in verschiedenen Bodenarten in Anlehnung an die DIN 18300	
Bild 3-6:	Schubleistung $\widetilde{Q}_0$ (w) [lm <sup>3</sup> /h] von Planierraupen	
Bild 3-7:	Steigungsfaktor f <sub>3</sub> (β)	72
Bild 3-8:	Leistungsdiagramm $\tilde{Q}_0$ (w; v; P; V <sub>P100</sub> ) [Im <sup>3</sup> /h] für Schubraupen im Entfernungsbereich bis 50 m	73
Bild 3-9:	Klassifizierung der Reissbarkeit des Gesteins nach seismischer Geschwindigkeit	
Bild 3-10:	Grundreissleistung Q <sub>0</sub> [fm <sup>3</sup> /h] einer Raupe mit 240 kW Leistung	76
Bild 3-11:	Fahrstrecke	
Bild 3-12:	Förderleistungsdiagramm für Scraper, Rad- und Raupenplanier- geräte	
Bild 4-1:	Idealfall einer Transportkette – Kreisverkehr	100
Bild 4-2:	Realfall instationärer Zustand mit Warteschlange – Kreisverkehr	
Bild 4-3:	Idealfall einer Transportkette – Rückstossverkehr	101
Bild 4-4:	Realfall instationärer Zustand mit Warteschlange – Rückstossverkehr	
Bild 4-5:	Leistung beim Ladegerät – LKW-System	
Bild 4-6:	Korrekturfaktor f <sub>β</sub> – Einfluss des Steigungswinkels auf den Fördergutstrom	
Bild 4-7:	Nomogramm zur Bestimmung des Widerstandsbeiwerts $\lambda_i$	
Bild 4-7.	Kreiskrümmer	132
		102



Bild 4-9:	Kreisrohr-Kniestück	133
Bild 4-10:	Querschnittsänderung	
Bild 4-11:	Prinzipdrucklinie Fall 1 – Pumpe mit Saugleitung	
Bild 4-12:	Prinzipdrucklinie Fall 2 – Pumpe mit Zulaufdruck	
Bild 4-13:	Dichteverlauf der Bentonitsuspension bei verschiedenen Bentonit-	
	Wasser-Konzentrationen	140
Bild 4-14:	Abhängigkeit der Froud'schen Zahl Frkrit vom mittleren Korn-	
	durchmesser d <sub>m</sub> und der Feststoff-Förderflüssigkeits-Volumen-	
	konzentration μ <sub>FS</sub> des zu transportierenden Korngemischs	. 143
Bild 4-15:	Materialfluss bei Hydroschildvortrieb	144
Bild 4-16:	H-Q-Diagramm für Pumpen- und Rohrkennlinien	146
Bild 4-17:	Schematische Darstellung eines Rechenbeispiels	152
Bild 4-18:	Schematische Darstellung der Drucklinie	153
Bild 4-19:	Fall 1 und 2 – Rohr- und Pumpenkennlinie sowie möglicher	100
Diid <del>4</del> -13.	Betriebsbereich (Pumpe Warman GG 12148)	165
Bild 4-20:	Schematische Darstellung eines TVM-Tunnelvortriebs mit	103
Diid <del>4</del> -20.	Förderschnecke zur Materialabfuhr	166
Bild 4-21:	Geometrie einer Förderschnecke	
Bild 4-21:	Steigungen der Schneckenganghöhe und der Schneckenachse	
Bild 4-22:	Betrachtung eines Ausschnitts der Förderschnecke bezüglich der	100
DIIU 4-23.	wirkenden Kräfte	170
	wirkenden Kraite	170
Bild 5-1:	Einfluss des Winkels $\beta$ [°] zwischen der Tunnelachse und den	
ыц 5-1.	Kluftflächen auf den Kluftfaktor k <sub>S</sub> [-]	176
Bild 5-2:		
	Bohrbarkeit DRI [-] Kräfte beim Einsatz einer Tunnelbohrmaschine	1//
Bild 5-3: Bild 5-4:	Diagramm zur Bestimmung der maximalen Penetration i <sub>b</sub>	
Bild 5-5:	Einflussfaktor der Meisselgrösse	160
Bild 5-6:	Maximale Bohrkopfumdrehungen m für die	400
D:: 1 5 7:	Diskenabrollgeschwindigkeit von v = 110 m/min	180
Bild 5-7:	Diagramm zur überschlägigen Ermittlung der mittleren Grundabbauleistung Q₀ von TSM	400
D:: 1 = 0	Grundabbauleistung Q <sub>0</sub> von 15W	180
Bild 5-8:	Zähigkeitsfaktor k <sub>C</sub> [-] – Einfluss des Spannungsverhältnisses	
	$\sigma_{d}/\sigma_{z}$	
Bild 5-9:	Schichtabstandsfaktor k <sub>P</sub> [-]	
Bild 5-10:	Meisselverbrauch	184
Bild 5-11:	Optimierung Schrämleistung (Schneidkopfantrieb) und	
	Maschinengewicht	
Bild 5-12:	Faktor k <sub>S</sub> [-] – Einfluss der Anisotropie bei geschieferten Gebirgen	187
Bild 5-13:	Zeitlicher Ablauf eines parallel verlaufenden Sprengvortriebs-	
	zyklus	
Bild 5-14:	Parallel verlaufender Vortrieb	191
Bild 5-15:	schematischer Druckverlauf bei der Anordnung mehrerer	
	Luttenabschnitte mit Ventilator zwischen den Abschnitten	
Bild 5-16:	Dimensionierung des Ventilators	197
Bild 5-17:	Berechnungsdiagramm für Lutten der Güteklasse S	198
Bild 5-18:	Berechnungsdiagramm für Lutten der Güteklasse A	199
Bild 5-19:	Berechnungsdiagramm für Lutten der Güteklasse B	200



Bild 6-1:	Ermittlung des erforderlichen manometrischen Pumpendrucks	
Bild 6-2:	Erstellung einer Säule	209
Bild 6-3:	Schematische Darstellung der ideellen/statischen Eindringung	
	des Pfahls	
Bild 6-4:	Kraft–Zeit–Diagramm für Dieselbären (Explosionsrammen)	219
Bild 6-5:	Vibrationsramme und wirkende Kräfte	222
Bild 6-6:	Diagramm zur Bestimmung der erforderlichen Fliehkraft F <sub>VZ,erf</sub>	227
Bild 6-7:	Herkömmliche Vibrationsrammen	228
Bild 6-8:	Vibrationsrammen mit variabler Fliehkraft	
Bild 6-9:	Variable Fliehkraft – Prinzip der Unwuchtstellung	229
Bild 7-1:	Beispiel für eine Grundspielzeit t <sub>S</sub> des Turmdrehkranes	
	140 EC-H6 von Liebherr	233
Bild 7-2:	Grundförderleistung Q <sub>0</sub> [m <sup>3</sup> /h]	239
Bild 7-3:	Einteilung der Arbeitsgänge und Tätigkeiten von	
	Stahlbetonarbeiten	240
Bild 7-4:	Systematische Untergliederung von Armierungsarten	243
Bild 8-1:	Muldeninhalt eines Fahrzeugs gemäss SAE-Norm	
Bild 8-2:	Geometrie eines Tieflöffels gemäss SAE-Norm	252
Bild 8-3:	Geometrie einer Ladeschaufel	253
Bild 8-4:	Füllfaktor für den Tieflöffel	258
Bild 8-5:	Verhältnis tatsächlicher Wandhöhe zu optimaler Wandhöhe	265
Bild 8-6:	Optimale Schwenkbewegung beim Beladen des LKW	267
Bild 8-7:	Optimaler Rad-/Raupenlader – LKW-Betrieb	267
Bild 8-8:	Einflussfaktor f <sub>2</sub> des Schwenkwinkels bzw. Fahrwegs	
Bild 8-9:	Entleerungsgenauigkeitsfaktor f <sub>3</sub>	271

G. Girmscheid, Leistungsermittlungshandbuch für Baumaschinen und Bauprozesse, DOI 10.1007/978-3-642-13795-2\_11, © Springer-Verlag Berlin Heidelberg 2010



Tabelle 1-1:	Werte für Bedienungsfaktoren η <sub>1</sub> [-]	5
Tabelle 1-2:	Leistungseinflussfaktoren	
Tabelle 2-1:	Richtwerte der Sozialeinrichtungen	20
Tabelle 2-2:	Wasserbedarf	24
Tabelle 2-3:	Formeln zur Berechnung des erforderlichen	
	Leitungsquerschnitts A [mm²]	32
Tabelle 2-4:	Zulässige Dauerbelastung und Zuordnung von Überstrom- Schutzorganen für isolierte Leitungen	3/1
Tabelle 2-5:	Motorleistung von Baumaschinen	
Tabelle 2-6:	Anschlusswerte diverser Elektrogeräte	
Tabelle 2-7:	Anschlusswerte verschiedener Beleuchtungskörper	36
Tabelle 2-8:	Motorleistung diverser Baumaschinen	
Tabelle 2-9:	Anschlusswerte diverser Elektrogeräte	
Tabelle 2-10:	Berechnungsbeispiel der eingesetzten Beleuchtungen	
Tabelle 2-10.	Abweichungsfaktor f <sub>1</sub> [-]	
Tabelle 2-11.	Verlustfaktor f <sub>2</sub> [-]	<del>44</del>
Tabelle 2-12.	Verlustfaktor f <sub>4</sub> [-] – Undichtigkeiten	44
	Druckluftbedarf Q <sub>m.V</sub>	
Tabelle 2-14:	Ärvivalanta Dahrlaituraniännan L. [m]	40
Tabelle 2-15:	Äquivalente Rohrleitungslängen L <sub>i</sub> [m]	40
Tabelle 2-16:	Einteilung möglicher Separationsintervalle	52
Tabelle 3-1:	Änderung der Spielzeit ∆t [s] eines Radladers	64
Tabelle 3-2:	Ladezeit t <sub>L</sub> [s]	
Tabelle 3-3:	Änderung der Spielzeit \( \Delta t \) [s] eines Kettenlader	67
Tabelle 3-4:	Faktoren im Erdbau	72
Tabelle 3-5:	Diverse Betriebsbeiwerte	80
Tabelle 3-6:	Leistung eines Caterpillar Graders 140H mit 138 kW	
	Leistung	82
Tabelle 3-7:	Anhaltswerte für den Verdichtungsfaktor $\delta_v$	
Tabelle 3-8:	Einsatzmöglichkeit von Verdichtungsgeräten	85
Tabelle 3-9:	Eignung von Verdichtungsmitteln in grobkörnigem, nicht bindigem Lockergestein	87
Tabelle 3-10:	Eignung von Verdichtungsmittel in feinkörnigem, bindigem	01
1000000	Lockergestein	88
Tabelle 3-11:	Eignung von Verdichtungsmitteln in gemischtkörnigem,	
1450110 0 111	bindigem Lockergestein	89
Tabelle 3-12:	Eignung von Verdichtungsmitteln in nicht bindigem Fels	90
Tabelle 4-1:	Durchschnittsgeschwindigkeiten v <sub>i</sub> [km/h] für LKW auf ver-	
rabelle 1 1.	schiedenen Untergründen	95
Tabelle 4-2:	Geschwindigkeitskorrekturfaktor k <sub>G</sub>	
Tabelle 4-3:	Bodenkraftschlussbeiwert μ	
Tabelle 4-4:	Geschwindigkeitsbeiwert κ <sub>1</sub> [-]	
Tabelle 4-5:	Rollwiderstandsbeiwert w <sub>r</sub> [-]	
Tabelle 4-6:	Auswahlkriterien der Spurweite	
Tabelle 4-7:	Daten verschiedener Profile	
Tabelle 4-8:	Bandsteigungsbereich ω [°]	



Tabelle 4-9:	Optimale Bandbreite b zur maximalen Korngrösse	124
Tabelle 4-10:	Gurtgeschwindigkeit v	
Tabelle 4-11:	Theoretischer Füllquerschnitt A <sub>F</sub> des Förderbandes	125
Tabelle 4-12:	Kinematische Viskosität v [m²/s] von Wasser	130
Tabelle 4-13:	Rauhigkeitswerte k [mm] für Rohre	130
Tabelle 4-14:	Verlustbeiwerte ζ <sub>E</sub> [-] für Einlauf aus offenem Becken in	
	ein Rohr	132
Tabelle 4-15:	Verlustbeiwertę ζ <sub>KK</sub> [-] für Kreiskrümmer	
Tabelle 4-16:	Verlustbeiwerte $\zeta_{K}$ [-] für Kreisrohr-Kniestücke	
Tabelle 4-17:	Formbeiwerte für Querschnittsänderungen	
Tabelle 4-17:	Dampfdruck von Wasser H <sub>D</sub> [m]	1/12
Tabelle 4-19:	Wirkungsgrade	
Tabelle 4-19:	Zulässige Saughöhen h <sub>S,zul</sub> bei Aussenatmosphärendruck	170
Tabelle 4-20.	(H <sub>B</sub> ) von 10 m Wassersäule	150
Tabelle 4-21:	Fall 1 – Ermittlung der Rohrkennlinie und Leistungen	150
Tabelle 4-21:	Fall 2 – Ermittlung der Rohrkennlinie und Leistungen	162
Tabelle 4-23:	Kritische Fördermengen für verschiedene Flüssigkeits-	102
Tabelle 4-25.	Feststoff-Gemische	163
Tabelle 4-24:	Matrix der Abhängigkeiten der Abbauleistung (Q <sub>0</sub> ) bzw.	100
Tabelle 4-24.	Nettovortriebsleistung (I) von der Fördermenge und der	
	Rohdichte des Feststoff-Flüssigkeits-Gemischs	164
Tabelle 4-25:	Grundwerte des Füllungsgrads φ <sub>0</sub>	
Tabelle 4-25.	Steigungsfaktor f <sub>δ</sub> der Schneckenganghöhe	
Tabelle 4-20.	Staufaktor f <sub>St</sub>	
Tabelle 4-27.	Betriebsbedingungen η <sub>2</sub>	
Tabelle 4-26.	Verschiebewiderstandsbeiwert λ in Abhängigkeit von den	109
Tabelle 4-29.	Materialien	171
	Waterialier	17 1
Tabelle 5-1:	Faktor k <sub>M</sub> [-] zur Berücksichtigung der Wahl des	
Tabelle 3-1.	Bohrkopfdurchmessers bei gleicher Hammerleistung	197
Tabelle 5-2:	Faktor k <sub>BS</sub> [-] zur Berücksichtigung der Art der Bohrstifte	
Tabelle 5-2.	Praxiswerte für die Penetrationsrate i <sub>b</sub> [m/min] in	100
rabelle 5-3.	Abhängigkeit von der Gesteinsart und einaxialen	
	Druckfestigkeit	100
Tabelle 5-4:	Trendbeziehung Bohrbarkeit – Bohrgeschwindigkeit – Bohr-	100
rabelle 5-4.	kronenverbrauch	100
	KIOHEHVEIDIAUCI	100
Tabelle 6-1:	Crundhrugh /Dfoblonitzonwiderstand a [kN/em²] und	
rabelle 6-1.	Grundbruch-/Pfahlspitzenwiderstand q <sub>S</sub> [kN/cm <sup>2</sup> ] und	040
T	Mantelreibung τ <sub>M</sub> [kN/m <sup>2</sup> ]	
Tabelle 6-2:	Widerstandsbeiwert μ <sub>Dyn</sub> [-] des Bodens	
Tabelle 6-3:	Stossziffer k [-]	
Tabelle 6-4:	Eigenfrequenzen ausgesuchter Bodenarten	228
Taballa 7 di	A placification of the Company of th	000
Tabelle 7-1:	Anhaltswerte zur Ermittlung der Grundspielzeit t <sub>S</sub> [s]	
Tabelle 7-2:	Richtwerte zur Abschätzung: Anzahl Arbeitskräfte/Kran	234
Tabelle 7-3:	Richtwerte zur Abschätzung der Kranförderung im	00.4
Taballa 7 4:	Hochbau	
Tabelle 7-4:	Kranaufwandswerte	234



Tabelle 7-5:	Auflockerungsfaktor δ <sub>Ai</sub> [-]	236
Tabelle 7-6:	Grenzwerte von Betonpumpen	
Tabelle 8-1:	Schüttdichte $\rho_S$ und Lösefaktor $\alpha$ für diverse Bodenarten	257
Tabelle 8-2:	Werte für den Füllfaktor φ bei Tieflöffeln	261
Tabelle 8-3:	Werte für den Füllfaktor φ bei Hochlöffeln und	
	Klappschaufeln	262
Tabelle 8-4:	Füllfaktor $\phi$ [-] für LKW im Strassenverkehr mit $V_{\text{FSAE},1}$ und	
	LKW, Dumper und SKW im Baustellenverkehr mit V <sub>FSAE,2</sub>	262
Tabelle 8-5:	Bedienungsfaktoren η <sub>1</sub>	263
Tabelle 8-6:	Betriebsfaktoren η <sub>2</sub>	265
Tabelle 8-7:	Optimale Wandhöhen	
Tabelle 8-8:	Schneiden-/Zahnzustandsfaktor f <sub>4</sub> [-]	274
Tabelle 8-9:	Gerätezustandsfaktor f <sub>5</sub> [-]	
Tabelle 8-10:	Geräteausnutzungsgrad η <sub>G</sub> [-]	276
Tabelle 8-11:	Richtwerte für w <sub>k</sub> [%]	
Tabelle 8-12:	Rollwiderstandsbeiwerte w <sub>r(W)</sub> [‰] der Räder für einzelne	
	Wagen beim Gleisbetrieb	278
Tabelle 8-13:	Rollwiderstandsbeiwerte w <sub>r</sub> [‰] für Schwerkraftlastwagen	279

#### 12 Stichwortverzeichnis

Α	220, 232, 235, 237, 263,
Abbauhöhe 6, 56, 57, 58, 265	Betriebsbeiwert 5, 12, 56,
Abbauvolumen	62, 65, 68, 69, 74, 77, 79,
Abnutzungsgrad6	80, 83, 92, 168, 175, 181,
Absetzgenauigkeit232	186, 211, 220, 232, 235,
Anisotropie186, 187	
Anker14, 17, 190, 245	Betriebsfaktor 167, 247,
Ankerbohrgerät190	248, 263, 266
Anlaufzeit8	Betriebszeit3, 4, 6, 7, 8,
Ansaugleistung 40, 43, 44, 45	9, 11, 12, 15, 16, 17, 18
Antriebsleistung 105, 126, 127,	Bohrbarkeit177, 186, 188
171, 172, 182	Bohren188, 189, 190
Anzugskraft106, 109, 117	Bohrjumbo
Äquivalente	Bohrkopfdurchmesser
Rohrleitungslängen46	Bohrmaschinen 173, 186
Arbeitsdruck44	Bohrzeit189
Arbeitstage15, 16	D
Arbeitszeit 3, 8, 12, 16, 17, 22	В
Aufgabemenge48	Dampfdruck142
Aufwandswerte 8, 240, 245	Deckentisch 242, 248
Aushub 2, 14, 17, 95, 103, 274	Dichte48, 127, 139,140,144,
_	145, 147, 151, 155, 157,
В	160, 167, 202, 210, 254
Bahnwiderstand106	Drehmoment
Bandförderung91, 123	Drehzahlregelung 149, 158
Baugerätekosten3	Dreiphasenwechselstrom 27, 33
Bauzeit2, 9	Druckhöhe
Bedienungsfaktor5, 12, 56,	Druckluftbedarf
62, 65, 69, 72, 74, 77, 80,	Druckverlust 194, 202, 205, 206
83, 92, 168, 175, 181,	Dumper91, 92, 249, 260
	Durchflussmenge 136, 207,
238, 247, 248, 261, 262	
Beladezeit 78, 93, 94, 97, 98	Dynamische Masse223
Beladungsverhältnis48, 52	,
Bentonit	E
145, 152, 154, 155 Bentonitkonzentration152	Effektivzeit7
Beschleunigung107, 117,	Eigenfrequenz 228
221, 223, 224	Einarbeitungszeit 15, 17, 18
Betonanlagen 10, 23, 231,	Eindringtiefe76, 176, 211, 212, 214,
235, 237, 238	215
Betonarbeiten247, 248	Einphasenwechselstrom 27, 33
Betonbau 10, 234	Einsatzleistung 13, 15, 16
Betonmischer10, 23, 235	Einsatzzeit
Betonpumpen10, 237, 238	15, 16, 17, 18, 184,
Betriebsbedingungen5, 6, 7,	217, 220, 273
11, 12, 56, 62, 65, 69, 72,	Entloorungaaganaujakaitafaktar
	Entleerungsgenauigkeitsfaktor
74, 77, 80, 83, 92, 169,	6, 12, 56, 62, 65, 92,

Erdbau	Gesamtwiderstand
Fahrwegfaktor	Geschwindigkeitshöhe
Fahrzeit	Gleisförderung
Flüssigkeitsförderung	Grader
Förderhöhe 135, 137, 140, 147,	
	Grundrammleistung
Förderschnecke	, ,
170, 171, 172 Füllfaktor12, 56, 62.	Н
Füllfaktor	<b>H</b> Hochbau2, 231, 234 Hubmasse232
Füllfaktor	Hochbau2, 231, 234
Füllfaktor	Hochbau

kritische Fliessgeschwindigkeit	Mantelreibung
	Meisselgrösse
Krümmung141, 275 Kurvenwiderstandsbeiwert114,	Meisselverbrauch
	Muldeninhalt
115, 116, 119, 247, 248 Kurzzeitleistungen11	98, 100, 247, 248,249,250, 260, 276
L	N
Laderaupe55, 65	Nenninhalt
Ladeschaufel 57, 251, 253	62, 65, 79, 94, 100, 113,
Langzeitleistung13, 103	114, 235, 247, 248, 251,
Lastkraftwagen LKW2,2,	252, 253, 258 Nettopenetrationsleistung 174
	Nettovortriebsleistung 174
260, 267, 268, 270	164, 166, 174
Leistung 1, 2, 4, 7, 8, 10,	Nutzleistung4, 12, 13,14,
11, 12, 13, 14, 15, 16, 17,	17, 56, 62, 65, 68, 69, 74,
	83, 92, 99, 105, 123, 232,
70, 76, 82, 98, 158, 161,	256, 261, 266, 268
	Nutzrammleistung 211, 220
232, 240, 261, 262, 268,	,
272, 274	0
Leistungsaufnahme28, 38,	Ortsbrust 145, 166,
147, 151, 159, 161	181, 189, 190, 191
Leistungsbegriff1, 2, 262	
Leistungseinflussfaktor6,	_
	Р
	-
	Penetration174, 177, 179
	Penetration174, 177, 179 Permeabilität207
	Penetration174, 177, 179 Permeabilität207 Pfahlspitzenwiderstand 212, 218
	Penetration174, 177, 179 Permeabilität
	Penetration

Raupenplaniergerät55, 68,79, 80, 81	Spannungsabfall
Reduktionsfaktor4, 12, 274	Spielzeit 12, 56, 57,
Reibungsverlusthöhe129	
	60, 61, 62, 63, 64, 65,
Reissbarkeit	66, 67, 94, 97, 98, 100
Reynoldszahl 129, 131, 138, 156	Sprengarbeiten 173
Rohrkennlinie 154, 158, 162	Sprengen13, 188, 191, 192, 256
Rohrleitung22, 23, 26,	Sprengloch190
45, 128, 129,	Spundbohlen219
138, 148, 153	Stahlbetonarbeiten 231, 240
Rollwiderstandsbeiwert96,	Stauungen 167, 168
108, 111, 114, 115, 116,	Steigung70, 96, 108, 114,
119, 120, 247, 248	118, 123, 168, 169,
_	170, 172
S	Steigungsfaktor 68, 72, 168, 169
SAE-Norm249, 250,	Steigungswiderstand 108
251, 251, 258, 259	Stossziffer 212, 218
Saughöhe	Streckenlast 170
	Stromversorgung 19, 27
	Systemschalung242
Schalungstechnik	-
Schalungsvorbereitung242	Т
Schieferung	Tagoodurahaahnittalaiatung 15 16
Schienen116, 122	Tagesdurchschnittsleistung 15, 16
Schildarteinflussfaktor 68, 72	Teilschnittmaschine173, 181, 182
Schlagenergie212, 213	Theoretische Leistung
Schlagramme	Tieflöffel 55, 58,
Schmalspur	251, 252, 256, 258
Schneckenachse 167, 169, 171	Trennschnitt
Schneckenförderung91, 165	Tunnelbaugerät
Schneckenganghöhe166,	Tunnelbohrmaschine 151,
168, 169, 172	173, 174, 178
Schneckenkraft170, 171	Tunnelvortrieb
Schneidkraft	Tunnelvortriebsmaschine TVM
Schneidleistung207	48, 165
Schubbahnfaktor72	Turmdrehkran 27, 232
Schüttdichte93, 114,	
	U
248, 254, 255, 256	Umlaufzeit68, 69, 77, 78,
Schutterleistung14	92, 93, 97, 102, 103, 221
Schütthöhe83, 86	
Schwerlastkraftwagen SKW91,	V
92, 93, 95, 97,	Mantilationalaiatus a 404
249, 260, 268	Ventilationsleistung
Scraper 55, 68, 77, 79, 80, 81	Verdichtungsfaktor
Separationsanlage19, 48,	235, 236, 257
51, 52, 152	Verdichtungsgerät 55, 83, 84
Separationsintervall48, 49,	Verlust
50, 51, 52	128, 138, 142, 145, 149,
Sieblinie	153, 156, 157, 159, 192,
Sozialeinrichtung	206, 270
Spannung28, 29, 32, 39	

Verlustbeiwert129, 132,
133, 134, 138, 202, 206
Verpressen245
Vibrationsramme 221, 222, 223, 224, 225, 226, 227
Volumenkonzentration 139, 143,145, 153
Vorhaltezeit3, 4, 15, 17, 18
W
Wandelement248
Wasserbedarfsermittlung21
Wasserversorgung19, 21
Widerstand28
Widerstandsbeiwert 115, 116,
Wirkungsgrad28, 39,
127, 148, 150, 151, 158,171, 212, 237
Z
Zahnzustandsfaktor6, 12,
56, 62, 65, 67, 76, 79,
Zeiteinheit
Zugkraft 75, 107, 109, 116, 119